



Tadumia (Eukoramius) autocrator Avinoff, Gynander; no. 701.

PARNASSIIDAE-TYPEN IN DER SAMMLUNG J. C. EISNER

von

CURT EISNER

Rijksmuseum van Natuurlijke Historie, Leiden

Mit Titelblatt und 84 Tafeln

Neue Namen. — *Parnassius apollo nivatus* Fruhstorfer f. **subtusrubrolacrimans** (no. 476), *P. a. geminus* Stichel f. **posteriormarginalis** (no. 491), *Koramius cephalus ares* Bryk & Eisner f. **cellopura** (no. 570), *Tadumia t. tenedius* Eversmann f. **tripicta** (no. 648) und f. **biexcelsior** (no. 649), und *Tadumia (Eukoramius) imperator uxoria* nom. nov. für *Parnassius imperator tyrannus* O. Bang-Haas (no. 694).

VORWORT

Schon im Alter von 8 Jahren begann ich mit dem Sammeln von Schmetterlingen. Die Parnassier, die in meiner oberschlesischen Heimat nicht vorkommen, waren mir Jahre lang nur aus Abbildungen bekannt. Erst als Neunzehnjähriger erbeutete ich die ersten *Parnassius apollo* und *P. phoebus* im Engadin, die, ohne besonderes Interesse für diese Arten, meiner Sammlung einverlebt wurden. Erst nach dem ersten Weltkriege weckte eine Auswahlsendung, in der sich vor allem auch asiatische Parnassier befanden, mein Interesse für deren grosse Variabilität; doch arbeitete ich auch noch weiter am Ausbau anderer Familien meiner Sammlung. Die grosse Veränderung trat erst ein, als ich mit meinem Freund Felix Bryk, dem Altmeister der Parnassiologie, in Kontakt kam, seine typenreiche Sammlung übernahm, und in gemeinsamer Arbeit mit ihm in „Parnassiana“ die „Kritische Revision der Gattung *Parnassius*“ begann. Die Jahre 1930 bis 1938 waren dem intensiven Studium aller Parnassiiden, deren wir habhaft werden konnten, gewidmet. Der zweite Weltkrieg unterbrach Bryk's und meine Zusammenarbeit, die nach dem Kriege nur sporadisch durch gelegentlichen Meinungsaustausch fortgesetzt werden konnte; Bryk lebte in Stockholm, ich in Den Haag. Meine Sammlung fand ich am Ende des zweiten Weltkrieges wohl behalten im Rijksmuseum van Natuurlijke Historie, Leiden, vor. Der ein dringlichen Ermunterung von Herrn Professor Dr. H. Boschma Folge leistend, habe ich die von Bryk und mir begonnene Revision der Parnassiidae in „Parnassiana nova“ weiter durchgeführt und meine Sammlung ausgebaut; diese darf als eine der vollständigsten auf ihrem Gebiet gelten. Um ihre Geschlossenheit sicher zu stellen, habe ich sie dem Leidener Museum geschenkt. Aber noch sind viele Stunden täglich der Arbeit an der Samm-

lung und dem Studium der Parnassiidae gewidmet. Wie aus meinen Veröffentlichungen ersichtlich ist, ist dabei die Bereitschaft von Entomologen-Freunden, in den verschiedensten Parnassius-Fluggebieten, grössere Serien für mich zu sammeln, eine sehr wertvolle Hilfe. Erst ausreichendes Material ermöglicht es, die Variabilitätsbreite einer Art und die karakteristischen Merkmale einer Unterart zu erkennen und festzustellen.

Angeregt durch die international erörterten Pläne, die Festlegung und Bekanntmachung der Typen von Heterocera betreffend, insbesondere aber auch auf Andringen des bekannten Parnassiologen Professor Leo Shcheljukho habe ich mich entschlossen, Abbildungen der zahlreichen Parnassiidae-Typen meiner Sammlung zu veröffentlichen. Das Rijksmuseum van Natuurlijke Historie, dessen Director Herrn Professor Dr. L. D. Brongersma ich für die Förderung meiner Bestrebungen zu besonderem Dank verpflichtet bin, hat es übernommen, für die Drucklegung Sorge zu tragen. Auch den Herren Dr. J. Th. Wiebes und Dr. L. B. Holthuis, die die mühevolle und zeitraubende Aufgabe auf sich genommen haben, die Redaktion zu überwachen, bin ich grossen Dank schuldig.

In Fällen, in denen die Type einer species, beziehungsweise subspecies nicht abgebildet wurde, für die mir aber einwandfreie Paratypen vorliegen, bringe ich deren Abbildungen. Dagegen werde ich von den Abbildungen der Typen absehen, die schon in allgemein zugänglichen Werken publiziert wurden.

Da bisher kein Register für „Parnassiana nova“ besteht, halte ich es für angebracht, dieses zur Ergänzung meiner Arbeit beizufügen. In diesem Register werden auch Daten aus „Parnassiana“ aufgeführt, da darauf in der „Kritische Revision der Gattung Parnassius“ in „Parnassiana nova“ wiederholt Bezug genommen wird.

Eine vierzigjährige taxonomische Betätigung auf dem Gebiet der Parnassiologie — die ersten Jahre in enger Zusammenarbeit mit Altmeister Felix Bryk — regt zu einem Rückblick an. Bryk's grosses Verdienst ist es, in seinem Werk „Über das Abändern von Parnassius Apollo L.“, in dem er bei Apollo festgestellte Eigenschaften auch mit denen anderer Parnassiidae-species vergleicht, die Grundlagen für das systematische Studium dieser Gruppe Lepidoptera geschaffen zu haben. Die meisten der früheren Publikationen, deren Bedeutung ich keinen Abbruch tun will, sind mehr oder weniger systemlose Bescheibungen. Die Erkenntnis auf dem parnassiologischen Feld im Laufe der letzten 50 Jahre ist als ein sehr grosser Fortschritt anzusprechen; vor allem konnte das Studium auf die vielen Arten ausgedehnt werden, von denen bis auf die jüngste Vergangenheit nur ganz unzureichendes Material verfügbar war.

Der übernommenen Gewohnheit folgend, haben Bryk und ich in der „Kritische Revision der Gattung *Parnassius*“ uns vorliegende Serien, deren habitus uns als abweichend von bereits bekannten, benachbarten Unterarten erschien, als subspecies novae abgetrennt. Wenn ich mit der Revision noch einmal beginnen würde, würde ich anders verfahren. Erst sollte man die Variabilitätsbreite jeder species so eingehend untersuchen, dass man bei Aufstellung einer subspecies einwandfrei feststellen kann, dass bestimmte Merkmale der Art bei einer Unterart besonders ausgebildet sind und vererbt werden. Die primäre Aufgabe sollte die Registrierung aller vorkommenden Formen einer species, die Art des Biotops sein. Wie ich schon früher ausgeführt habe, erwarte ich, dass weiteres Studium ergeben wird, dass geographisch getrennte Populationen, die einen gleichartigen Biotop bevölkern, häufig bei derselben subspecies eingereiht werden können. Erwähnen möchte ich an dieser Stelle noch, dass ich im gleichen Jahre auf engbegrenztem Flugareal Parnassier von verschiedenem habitus beobachtet habe, was zweifellos darauf zurückzuführen ist, dass die Entwicklung der betreffenden Populationen unter ungleichen klimatischen Bedingungen (Diapause!) stattgefunden hat.

Hinderlich bei der systematischen Arbeit habe ich es empfunden, dass man oft nach den Nomenklaturregeln an subspecies festhalten muss, auch wenn man von der Berechtigung deren Aufstellung nicht überzeugt ist, solange man nicht dafür einen einwandfreien Beweis erbringen kann, was in der Praxis meist nicht durchführbar ist. (Das gilt auch für von mir selbst beschriebene Unterarten). Für wichtig halte ich auch die Beobachtung geographischer Congruenzerscheinungen bei der Formung von Unterarten, nicht nur bei den verschiedenen *Parnassius*-Arten, sondern auch bei anderen Lepidopteren- und Insektengruppen. Die Feststellung einer gleichartigen Entwicklungstendenz gibt eine gewisse Sicherheit dafür, dass man es mit einer bona subspecies zu tun hat. Wie ich in meinen Arbeiten wiederholt erwähnt habe, gibt es in ihren Merkmalen bereits gefestigte Unterarten, die ein Parnassiologe auch, ohne den Fundort zu kennen, leicht bestimmen kann. Eine grosse Anzahl von subspecies verkehrt indessen noch im Zustand evolutionären Entwicklung mit verschiedenartigem habitus in den einzelnen Jahren, sodass deren karakteristische Erscheinungsform sich schwer definieren lässt: dies gilt besonders für Unterarten, die zu demselben „Rassenkreis“ gehören.

Das Interesse an dem Studium der Parnassiidae ist trotz der vielen Jahre, die ich es schon ausübe, keineswegs kleiner geworden, wächst vielmehr mit jeder neuen Serie, die ich erhalte, und die meine Kenntnis bereichert, mein Urteil schärft.

LISTE DER PARNASSIIDAE-TYPEN IN SAMMLUNG J. C. EISNER

Die fettgedruckten Tafelangaben stimmen überein mit den Nummern der betreffenden Tafeln im hiesigen Artikel.

1. *Baronia brevicornis* Salvin f. *gehleni* Bryk, 1931e, Parn. **1** (7-8): 9, ♀ Holotype, Guerrero, Mexico, abgebildet in Bryk, 1934a, Tierreich **64**: fig. 8a.
2. *Archon a. apollinus* Herbst f. *inornata* Eisner, 1954b, Zool. Meded.
- 33:** 50 (Parn. nov. ii), ♂ Holotype, Marasch, Taurus, Syrien.
3. *Archon apollinus bellargus* Staudinger f. *curiosa* Eisner, 1954b, Zool. Meded. **33:** 51 (Parn. nov. ii), ♂ Holotype, Haleb, Syrien, abgebildet in Eisner, 1955a, Zool. Meded. **33:** pl. 23 fig. 5 (Parn. nov. iv).
4. *Archon apollinus bellargus* Staudinger f. *flavomaculata* Eisner, 1954b, Zool. Meded. **33:** 51 (Parn. nov. ii), ♀ Holotype, Cheikhié, Syrien.
5. *Archon apollinus amasina* Staudinger f. *ochreomaculata* Eisner, 1954b, Zool. Meded. **33:** 52 (Parn. nov. ii), ♂ Holotype, Amasina, Türkei.
6. *Zerynthia h. hypermnestra* Scopoli f. *muelleri* Bryk, 1921d, Ent. Tidskr. **42:** 119, ♂ Holotype, Krems, Wachau, Österreich.
7. *Zerynthia hypermnestra bryki* Eisner, 1954c, Zool. Meded. **33:** 56 (Parn. nov. iii), ♂ Holotype, ♀ Allotype, Spila, Grenze Montenegro-Herzegovina, Jugoslavien, abgebildet **pl. 1 fig. 1** ♂, **pl. 1 fig. 2** ♀.
8. *Zerynthia hypermnestra bryki* Eisner f. *quincunx* Eisner, 1954c, Zool. Meded. **33:** 56 (Parn. nov. iii), ♂ Holotype, Spila, Grenze Montenegro-Herzegovina, Jugoslavien, abgebildet **pl. 1 fig. 3**.
9. *Zerynthia rumina australis* Esper f. *aperta* Eisner, 1954c, Zool. Meded.
- 33:** 57 (Parn. nov. iii), ♀ Holotype, Digne, Basses Alpes, Frankreich.
10. *Zerynthia rumina australis* Esper f. *honoratii* Boisduval f. *unipunctata* Eisner, 1954c, Zool. Meded. **33:** 57 (Parn. nov. iii), ♂ Holotype, Digne, Basses Alpes, Frankreich.
11. *Sericinus telamon kansuensis* Eisner, 1962, Zool. Meded. **38:** 121 (Parn. nov. xxxii), generatio aestivalis, ♂ Holotype, ♀ Allotype, Hweisi, Tsinlingshan, China, abgebildet **pl. 1 fig. 5** ♂, **pl. 2 fig. 1** ♀.
12. *Sericinus telamon kansuensis* Eisner, 1962, Zool. Meded. **38:** 121 (Parn. nov. xxxii), generatio vernalis, ♂, ♀, Tapaischan, China, abgebildet **pl. 1 fig. 4** ♂, **pl. 1 fig. 6** ♀.
13. *Sericinus telamon eisneri* Bryk, 1932i, Parn. **2:** 103, ♂ Holotype, ♀ Allotype, Seishin, Nordost-Korea, abgebildet **pl. 2 fig. 3** ♂, **pl. 2 fig. 5** ♀.
14. *Sericinus t. telamon* Donovan f. *cellopura* Eisner, 1954c, Zool. Meded.
- 33:** 55 (Parn. nov. iii), ♂ Holotype, Mienshan, Shansi, China.
15. *Sericinus telamon shantungensis* Hering f. *cellopurissima* Eisner,

- 1954c, Zool. Meded. **33**: 55 (Parn. nov. iii), ♂ Holotype, Taishan, Shantung, China, abgebildet **pl. 3 fig. 1**.
16. *Sericinus telamon shantungensis* Hering f. *elegantissima* Eisner, 1954c, Zool. Meded. **33**: 56 (Parn. nov. iii), ♂ Holotype, Taishan, Shantung, China, abgebildet **pl. 2 fig. 6**.
17. *Sericinus telamon shantungensis* Hering f. *rubrocatena* Eisner, 1954c, Zool. Meded. **33**: 56 (Parn. nov. iii), generatio vernalis, ♂ Holotype, Taishan, Shantung, China.
18. *Sericinus m. montela* Gray f. *ruth* Bryk & Eisner, 1935e, Parn. **3**: 67, generatio vernalis, ♂ Holotype, ♀ Allotype, Berg Paohan bei Nanking, China, abgebildet p. 68. Synonym von *S. m. m. f. montela* Gray. Vergleiche Eisner, 1962, Zool. Meded. **38**: 126 (Parn. nov. xxxii).
19. *Sericinus m. montela* Gray f. *eva* Bryk & Eisner, 1935e, Parn. **3**: 68, ♀ Holotype, Berg Paohan bei Nanking, China, abgebildet p. 68.
20. *Sericinus montela magnus* Fruhstorfer, generatio vernalis, Eisner, 1954c, Zool. Meded. **33**: 56 (Parn. nov. iii), ♂, ♀, Kiukiang, China, abgebildet **pl. 2 fig. 2 ♂**, **pl. 2 fig. 4 ♀**.
21. *Luehdorfia puziloi chinensis* Leech f. *rebeli* Bryk, 1921c, Zeitschr. Österr. Ent.-Ver. **6**: 33, ♂ Holotype, Chang-Yang, China, abgebildet fig. 4.
22. *Luehdorfia p. puziloi* Erschoff f. *laqueigera* Kardakoff, 1928, Ent. Mitt. **17**: 265, ♀ Holotype, Wladiwostok, Ussuri, Russland, abgebildet pl. 5 fig. 6.
23. *Luehdorfia p. puziloi* Erschoff f. *pallida* Eisner, 1954c, Zool. Meded. **33**: 55 (Parn. nov. iii), ♂ Holotype, Sutschans-Rudnik, Ussuri, Russland.
24. *Luehdorfia p. puziloi* Erschoff f. *ampliusmaculata* Bryk, 1921c, Zeitschr. Österr. Ent.-Ver. **6**: 33, ♂ Holotype, Wladiwostok, Ussuri, Russland, abgebildet fig. 3.
25. *Luehdorfia p. puziloi* Erschoff f. *harakiri* Bryk, 1921c, Zeitschr. Österr. Ent.-Ver. **6**: 33, ♀ Holotype, Wladiwostok, Ussuri, Russland, abgebildet fig. 5.
26. *Luehdorfia p. puziloi* Erschoff f. *coccinella* Bryk, 1921c, Zeitschr. Österr. Ent.-Ver. **6**: 33, ♂ Holotype, Wladiwostok, Ussuri, Russland, abgebildet fig. 1.
27. *Luehdorfia p. puziloi* Erschoff f. *anarchista* Bryk, 1921c, Zeitschr. Österr. Ent.-Ver. **6**: 33, ♀ Holotype, Wladiwostok, Ussuri, Russland.
28. *Luehdorfia puziloi bryki* Eisner, 1962, Zool. Meded. **38**: 116 (Parn. nov. xxxii), ♂ Holotype, ♀ Allotype, Seishin, Nordost-Korea, abgebildet **pl. 3 fig. 2 ♂**, **pl. 3 fig. 3 ♀**.
29. *Luehdorfia puziloi bryki* Eisner f. *fasciata* Eisner, 1954c, Zool.

Meded. **33**: 55 (Parn. nov. iii), ♂ Holotype, Seishin, Nordost-Korea. Beschrieben als f. *fasciata* von *L. p. coreana* Matsumura.

30. *Luehdorfia puziloi inexpectata* Sheljuzhko f. *rubrocatenaria* Eisner, 1954c, Zool. Meded. **33**: 55 (Parn. nov. iii), ♂ Holotype, ♀ Allotype, Kanoyma, Japan, abgebildet **pl. 3 fig. 4 ♂**, **pl. 3 fig. 5 ♀**.

31. *Parnassius mnemosyne ugrofennica* Bryk, 1912b, Soc. Ent. **27**: 24, ♂ Holotype, ♀ Allotype, Klinten, Åland, Schweden, abgebildet in Bryk, 1912d, Soc. Ent. **27**: fig. 2 ♂, fig. 3 ♀.

32. *Parnassius mnemosyne romani* Bryk, 1921a, Soc. Ent. **36**: 18, ♂ Holotype, ♂ Paratype, Backa, Schären bei Stockholm, Schweden, ♀ Allotype, Graddö, Schären bei Stockholm, Schweden, ♂ Paratype abgebildet fig. 3.

33. *Parnassius mnemosyne romani* Bryk f. *inversa* Bryk, 1921a, Soc. Ent. **36**: 18, ♀ Allotype, Björkö, Schären bei Stockholm, Schweden, abgebildet fig. 1.

34. *Parnassius mnemosyne perkele* Bryk, 1921a, Soc. Ent. **36**: 17, ♂ Holotype, ♀ Allotype, Åbo, West-Finnland.

35. *Parnassius mnemosyne perkele* Bryk f. *radiomarginata* Bryk & Eisner, 1931b, Parn. **1** (5): 4, ♂ Holotype, Nagu, Finnland.

36. *Parnassius mnemosyne perkele* Bryk f. *euclidiana* Bryk, 1914k, Soc. Ent. **29**: 42, ♀ Holotype, Nagu, Finnland.

37. *Parnassius mnemosyne karjala* Bryk, 1911d, Soc. Ent. **26**: 40, ♂ Holotype, ♀ Allotype, Myllykylæ, Karelien, Finnland, ♀ abgebildet fig. 4.

38. *Parnassius mnemosyne karjala* Bryk f. *ernestinae* Bryk, 1914l, Int. Ent. Zeitschr. **8**: 35, ♂ Holotype, Myllykylæ, Karelien, Finnland.

39. *Parnassius mnemosyne karjala* Bryk f. *perversus* Bryk, 1912e, Soc. Ent. **27**: 48, ♂ Holotype, Myllykylæ, Karelien, Finnland, abgebildet fig. 8.

40. *Parnassius mnemosyne karjala* Bryk f. *minusculus* Bryk, 1912e, Soc. Ent. **27**: 48, ♂ Holotype, Karjavala, Karelien, Finnland, abgebildet fig. 7.

41. *Parnassius mnemosyne poppii* Bryk, 1912m, Soc. Ent. **27**: 99, ♀, Klimskoj, Onega-Gebiet, Russland, abgebildet in Bryk, 1912j, Soc. Ent. **27**: fig. 11; ♂ Paratype, Klimskoj, ♂ Ideotype, Wolodga, Onega-Gebiet, Russland, abgebildet **pl. 3 fig. 6 ♂**, **pl. 3 fig. 7 ♀**.

42. *Parnassius mnemosyne estonicus* Bryk, 1922a, Soc. Ent. **37**: 5, ♂ Holotype, ♀ Allotype, Toila, Estland, abgebildet **pl. 3 fig. 8 ♂**, **pl. 4 fig. 1 ♀**.

43. *Parnassius mnemosyne borussianus* Fruhstorfer, 1916, Soc. Ent. **31**: 49, ♀ Iconotype, Rominten, Ostpreussen, Deutschland, abgebildet in Bryk, 1921b, Soc. Ent. **36**: fig. 5.

44. *Parnassius mnemosyne banghaasi* Bryk, 1912d, Soc. Ent. **27**: 40,

♀ Holotype, ♂ Allotype, Vordingborg, Seeland, Dänemark, abgebildet fig. 5 ♀, fig. 6 ♂.

45. *Parnassius mnemosyne esperi* Bryk, 1922e, Soc. Ent. **37**: 15, ♂ Holotype, ♀ Allotype, Mt. Superga, Piemont, Italien (patria falsa, in vero Würtemberg, = subspec. *ariovistus* Fruhstorfer), ♀ abgebildet fig. 6-7, ♂ abgebildet in Bryk, 1922f, Soc. Ent. **37**: fig. 8.

46. *Parnassius mnemosyne balcanicus* Bryk & Eisner, 1930f, Parn. **1** (2): 3, ♂ Holotype, ♀ Allotype, Schar-Dagh, Kacanik, Jugoslavien (patria falsa, in vero Silesia, = subspec. *silesiacus* Fruhstorfer), abgebildet fig. 5 ♂, fig. 6 ♀.

47. *Parnassius mnemosyne hercynianus* Pagenstecher f. *flavocentrata* Bryk & Eisner, 1932b, Parn. **2**: 14, ♀ Holotype, Treseburg, Harz, Deutschland.

48. *Parnassius mnemosyne hassicus* Pagenstecher f. *siegeli* Bryk, 1912i, Soc. Ent. **27**: 65, ♂ Holotype, Vogelsberg, Hessen, Deutschland, abgebildet p. 65.

49. *Parnassius mnemosyne bohemien* Bryk, 1914l, Int. Ent. Zeitschr. **8**: 35, ♂ Holotype, ♀ Allotype, Gross-Wossek, Böhmen, Tschechoslowakei.

50. *Parnassius mnemosyne bohemien* Bryk f. *ernestinac* + *marginata* Bryk & Eisner, 1932f, Parn. **2**: 28, ♂ Holotype, Gross-Wossek, Böhmen, Tschechoslowakei.

51. *Parnassius mnemosyne litavia* Bryk, 1912n, Soc. Ent. **27**: 106, ♂ Holotype, ♀ Allotype, Wiener Wald, Österreich, ♂ abgebildet in Bryk, 1913b, Soc. Ent. **28**: fig. 27.

52. *Parnassius mnemosyne litavia* Bryk f. *grundi* + *atroguttata* Bryk & Eisner, 1932f, Parn. **2**: 28, ♂ Holotype, Leitha-Gebirge, Österreich, abgebildet **pl. 4 fig. 2**.

53. *Parnassius mnemosyne litavia* Bryk f. *semifasciata* Hirschke, 1913, Jahrb. Wien Ent.-Ver **23**: vii, ♀ Holotype, Hochschwab, Steiermark, Österreich.

54. *Parnassius mnemosyne compositus* Bryk & Eisner, 1932f, Parn. **2**: 29, ♀ Holotype, ♂ Allotype, Aggsbach, Wachau, Österreich, abgebildet **pl. 4 fig. 3 ♀**, **pl. 4 fig. 4 ♂**.

55. *Parnassius mnemosyne similis* Bryk & Eisner, 1932h, Parn. **2**: 35, ♂ Holotype, ♀ Allotype, Vlara-Pass, Weisse Karpathen, Tschechoslowakei, ♂ ♀ Iconotypen abgebildet in Bryk, 1935f, Tierreich **65**: fig. 67 ♂, 67a ♀, und **pl. 4 fig. 5 ♂**, **pl. 4 fig. 6 ♀**.

56. *Parnassius mnemosyne memnon* Bryk & Eisner, 1934a, Parn. **3**: 5, ♂ Holotype, ♀ Allotype, Berg Inovec, Galgoczer-Gebirge, Tschechoslowakei, abgebildet **pl. 4 fig. 7 ♂**, **pl. 4 fig. 8 ♀**.

57. *Parnassius mnemosyne kassaensis* Bryk & Eisner, 1932h, Parn. 2: 35, ♂ Holotype, ♀ Allotype, Kaschau, Tschechoslowakei, abgebildet **pl. 5** fig. 1 ♂, **pl. 5** fig. 2 ♀, ♀ Iconotype, Kaschau, abgebildet in Bryk, 1935f, Tierreich 65: fig. 68.
58. *Parnassius mnemosyne czekeleii* Bryk & Eisner, 1934a, Parn. 3: 7, ♂ Holotype, ♀ Allotype, Kokelburg, Komitat Klein Kokel, Rumänien, abgebildet fig. 1 ♂, fig. 2 ♀.
59. *Parnassius mnemosyne bischoffi* Bryk & Eisner, 1930e, Parn. 1 (2): 2, ♂ Holotype, ♀ Allotype, Rodna-Gebirge, Rumänien, abgebildet fig. 3 ♂, fig. 4 ♀.
60. *Parnassius mnemosyne distincta* Bryk & Eisner, 1930e, Parn. 1 (2): 2, ♂ Holotype, ♀ Allotype, Poina, Cibin-Gebirge, Rumänien, abgebildet fig. 1 ♂, fig. 2 ♀.
61. *Parnassius mnemosyne serbicus* Bryk & Eisner, 1932h, Parn. 2: 37, ♂ Holotype, ♀ Allotype, Doboj a. d. Usora, Jugoslavien, abgebildet **pl. 5** fig. 3 ♂, **pl. 5** fig. 4 ♀.
62. *Parnassius mnemosyne orminion* Fruhstorfer f. *atroguttata* Bryk, 1912m, Soc. Ent. 27: 101, ♀ Holotype, Agram, Jugoslavien, abgebildet **pl. 5** fig. 5.
63. *Parnassius mnemosyne leonhardiana* (Bryk i.l.) Fruhstorfer, 1917, Arch. Naturgesch. 82 (2): 25, ♂ Holotype, ♀ Allotype, Maklen-Pass, Bulgarien, ♂ Iconotype, abgebildet in Bryk, 1921d, Ent. Tidskr. 42: fig. 11, und in Bryk, 1935f, Tierreich 65: fig. 69 (♂, aberratives ♀).
64. *Parnassius mnemosyne burescii* Bryk, 1921d, Ent. Tidskr. 42: 114, ♂ Holotype, ♀ Allotype, Hudowa, Mazedonien, Jugoslavien, abgebildet fig. 8 ♂, fig. 9 ♀, und in Bryk, 1935f, Tierreich 65: fig. 74.
65. *Parnassius mnemosyne cupidus* Bryk & Eisner, 1934a, Parn. 3: 8, ♂ Holotype, ♀ Allotype, Belastica-Planina, Jugoslavien, abgebildet **pl. 5** fig. 6 ♂, **pl. 5** fig. 7 ♀.
66. *Parnassius mnemosyne bulgarica* Eisner, 1936d, Parn. 4: 9, ♂ Holotype, ♀ Allotype, Pisane am Lom, Nordost-Bulgarien, abgebildet **pl. 5** fig. 8 ♂, **pl. 6** fig. 1 ♀.
67. *Parnassius mnemosyne schillei* Bryk, 1925, Soc. Ent. 40: 30, ♀ Holotype, ♂ Allotype, Umgebung von Stry, Galizien, Polen, abgebildet **pl. 6** fig. 2 ♂, **pl. 6** fig. 3 ♀.
68. *Parnassius mnemosyne grosssei* Bryk, 1925, Soc. Ent. 40: 29, ♂ Holotype, ♀ Allotype, Hodow, West-Galizien, Polen, abgebildet **pl. 6** fig. 4 ♂, **pl. 6** fig. 5 ♀.
69. *Parnassius mnemosyne wagneri* Bryk, 1925, Soc. Ent. 40: 30, ♂

Holotype, ♀ Allotype, Hatcarau, District Prahova, Rumänien, abgebildet
pl. 6 fig. 6 ♂, pl. 6 fig. 7 ♀.

70. *Parnassius mnemosyne drenowskyi* Bryk & Eisner, 1934a, Parn. **3**: 9,
♂ Holotype, ♀ Allotype, Varna, Klein-Galata, Rumänien, abgebildet in Bryk,
1935 f, Tierreich **65**: fig. 43 ♂, fig. 43a ♀.

71. *Parnassius mnemosyne ucrainicus* Bryk, 1932c, Parn. **2**: 33, ♂ ♀
Paratypen, Iljinzi Lipowetzky, Ukraine, Russland, ♂ ♀ Iconotypen, ab-
gebildet **pl. 6 fig. 8 ♂, pl. 7 fig. 1 ♀.**

72. *Parnassius mnemosyne weidingeri* Bryk & Eisner, 1932h, Parn. **2**:
40, ♂ Holotype, ♀ Allotype, Pensa, Russland, abgebildet **pl. 7 fig. 2 ♂,**
pl. 7 fig. 3 ♀.

73. *Parnassius mnemosyne uralka* Bryk, 1921d, Ent. Tidskr. **42**: 115,
♂ Holotype, ♀ Allotype, Uralka, Ural, Russland, abgebildet fig. 5 ♀, fig. 7
♂, und in Bryk, 1935 f, Tierreich **65**: fig. 37 ♂, fig. 38 ♀.

74. *Parnassius mnemosyne timanica* Eisner & Sedych, 1964, Zool. Meded.
40: 137 (Parn. nov. xxxvii), ♂ Holotype, ♀ Allotype, Timan-Gebirge,
Uchta-Gebiet, Nord-Russland, abgebildet pl. 1 fig. 1 ♂, pl. 1 fig. 2 ♀.

75. *Parnassius mnemosyne ugrjumovi* Bryk, 1914a, Berl. Ent. Zeitschr.
58: 201, ♂ Holotype, ♀ Allotype, Jelabuga, Wiatka, Russland, abgebildet
pl. 2 fig. 1 ♂, pl. 2 fig. 5 ♀, und in Bryk, 1935 f, Tierreich **65**: fig. 36.

76. *Parnassius mnemosyne teberdaensis* Eisner, 1954a, Zool. Meded. **33**:
46 (Parn. nov. i), ♂ Holotype, ♀ Allotype, Teberda, Kaukasus, Russland,
abgebildet **pl. 7 fig. 4 ♂, pl. 7 fig. 5 ♀.**

77. *Parnassius mnemosyne daghestanus* Bryk & Eisner, 1934e, Parn. **3**:
39, ♀ Holotype, Tindi, Bogos-Kette, Daghestan, Russland, abgebildet
pl. 7 fig. 6.

78. *Parnassius mnemosyne rjabovi* Sheljuzhko, 1935, Zeitschr. Österr.
Ent. Ver. **20**: 22, ♂ ♀ Topotypen (Paratypen?), Daratshitshag, Gouv.
Erivan, Russland, abgebildet **pl. 7 fig. 7 ♀, pl. 7 fig. 8 ♂.**

79. *Parnassius mnemosyne venetus* Wagner, 1910, Int. Ent. Zeitschr. **4**:
208, ♂ Holotype, ♀ Allotype, Bosco del Cansiglio, Venetianische Alpen,
Italien, abgebildet p. 208.

80. *Parnassius mnemosyne korbi* Bryk, 1922g, Soc. Ent. **37**: 22, ♂ Holotype,
♀ Allotype, Oythal, Allgäuer Alpen, Deutschland, ♂ abgebildet fig. 9.

81. *Parnassius mnemosyne carmenta* Fruhstorfer, 1917, Arch. Natur-
gesch. **82** (2): 26, ♀ Holotype, Bregenzer Wald, Vorarlberg, Österreich.

82. *Parnassius mnemosyne puschlavensis* Eisner, 1958a, Zool. Meded. **36**:
1 (Parn. nov. xviii), ♂ Holotype, ♀ Allotype, Le Prese, Puschlav, Schweiz,
abgebildet **pl. 8 fig. 1 ♂, pl. 8 fig. 2 ♀.**

83. *Parnassius mnemosyne mixtus* Fruhstorfer f. *warneckeii* Eisner, 1965,

Mitt. Ent. Ges. Basel **15**: 16, ♂ Holotype, ♀ Allotype, Umgebung von Montana, Wallis, Schweiz, abgebildet p. 17.

84. *Parnassius mnemosyne arollensis* Eisner, 1938 g, Parn. **6**: 6, ♂ Holotype, ♀ Allotype, Arolla, Wallis, Schweiz, abgebildet **pl. 8 fig. 3** ♂, **pl. 8 fig. 4** ♀.

85. *Parnassius mnemosyne sire* Bryk, 1922 f, Soc. Ent. **37**: 19, ♂ Holotype, ♀ Allotype, Macugnaga, Schweiz, abgebildet **pl. 8 fig. 5** ♂, **pl. 8 fig. 6** ♀. Synonym von *P. m. symphorus* Fruhstorfer.

86. *Parnassius mnemosyne sire* Bryk f. *kernerii* Bryk, 1922 f, Soc. Ent. **37**: 19, ♂ Holotype, Macugnaga, Schweiz, abgebildet fig. 15.

87. *Parnassius mnemosyne benacensis* Dürck, 1922, Ent. Rundschau **39**: 33, ♂ Holotype, ♀ Allotype, Monte Baldo, Italien, abgebildet fig. 1 ♂, fig. 2 ♀.

88. *Parnassius mnemosyne ausonicus* Bryk, 1912 j, Soc. Ent. **27**: 73, ♂ Holotype, ♀ Allotype, Cima d'Asta, Dolomiten, Italien, abgebildet in Bryk, 1922 h, Soc. Ent. **37**: fig. 10 ♀, fig. 11 ♂.

89. *Parnassius mnemosyne schawerdae* Bryk, 1922 b, Soc. Ent. **37**: 11, ♂ Holotype, ♀ Allotype, Mt. Pennino, Umbrischer Apennin, Italien, ♂ abgebildet fig. 2.

90. *Parnassius mnemosyne comitis* Bryk, 1912 k, Soc. Ent. **27**: 88, ♂ Holotype, ♀ Allotype, Majella, Abruzzen, Italien (patria falsa, in vero Würtemberg, = subsp. *ariovistus* Fruhstorfer), abgebildet **pl. 8 fig. 7** ♂, **pl. 8 fig. 8** ♀.

91. *Parnassius mnemosyne eucomitis* Bryk & Eisner, 1932 k, Parn. **2**: 59, ♂ Holotype, ♀ Allotype, Majella, Abruzzen, Italien, abgebildet **pl. 9 fig. 1** ♂, **pl. 9 fig. 2** ♀.

92. *Parnassius mnemosyne aquilensis* Bryk, 1912 n, Soc. Ent. **27**: 107, ♂ Holotype, ♀ Allotype, Gran Sasso, Italien (patria falsa, in vero Würtemberg, = subsp. *ariovistus* Fruhstorfer), abgebildet **pl. 9 fig. 3** ♂, **pl. 9 fig. 4** ♀.

93. *Parnassius mnemosyne euquilensis* Bryk & Eisner, 1932 k, Parn. **2**: 60, ♂ Holotype, ♀ Allotype, Gran Sasso, Italien, abgebildet **pl. 9 fig. 5** ♂, **pl. 9 fig. 6** ♀.

94. *Parnassius mnemosyne costarum* Bryk, 1922 e, Soc. Ent. **37**: 13, ♀ Holotype, ♂ Allotype, Mt. Aurunci, Valle de Petrella, Italien, ♀ abgebildet fig. 3, ♂ abgebildet **pl. 9 fig. 7**.

95. *Parnassius mnemosyne calabrica* f. *normalis* Bryk, 1923 b, Lep. Cat. **24** (27): 172, Holotype ♀ ohne den für die Unterart typischen *ocelloconjuncta*-Zustand, Aspromonte, Calabrien, Italien.

96. *Parnassius mnemosyne matuta* Bryk, 1922 f, Soc. Ent. **37**: 20, ♂

Holotype, ♀ Allotype, Mt. Authion bei Sospel, Alpes maritimes, Frankreich, ♂ ♀ Paratypen und Iconotypen, Mt. Cheiron, Alpes maritimes, Frankreich, abgebildet in Bryk, 1935 f, Tierreich **65**: fig. 51 ♂, fig. 51a ♀.

97. *Parnassius mnemosyne gallicus* Bryk & Eisner, 1930a, Soc. Ent. **45**: 4, ♂ Holotype, ♀ Allotype, Bonnival-sur-Arc, Savoie, Frankreich, abgebildet fig. 1 ♂, fig. 2 ♀, und in Bryk, 1935 f, Tierreich **65**: fig. 60.

98. *Parnassius mnemosyne ccuzensis* Eisner, 1957a, Zool. Meded. **35**: 47 (Parn. nov. xii), ♂ Holotype, ♀ Allotype, Col de Céuze, Hautes Alpes, Frankreich, abgebildet **pl. 9 fig. 8 ♂, pl. 10 fig. 1 ♀**.

99. *Parnassius mnemosyne republicanus* Peebles & Bryk, 1931a, Parn. **1** (6): 4, ♂ ♀ Iconotypen, Maladetta, Val d'Aran, Spanien, abgebildet in Bryk, 1935 f, Tierreich **65**: fig. 53.

100. *Parnassius mnemosyne athene* Stichel f. *flavoocellata* Bryk & Eisner, 1939b, Parn. **6**: 43, ♀ Holotype, Chelmos, Peloponnes, Griechenland (beide Ozellen ober- und unterseits deutlich gelb ausgefüllt).

101. *Parnassius mnemosyne taygetana* Bryk & Eisner, 1939b, Parn. **6**: 43, ♀ Holotype, ♂ Allotype, Taygetos-Gebirge, Griechenland, abgebildet **pl. 10 fig. 2 ♀, pl. 10 fig. 3 ♂**.

102. *Parnassius mnemosyne angorae* Bryk in Bryk & Eisner, 1931 i, Parn. **1** (7-8): 3, ♀ Holotype, Tokat, Kleinasien, Türkei, abgebildet **pl. 10 fig. 4**.

103. *Parnassius mnemosyne pfeifferi* Bryk & Eisner, 1931 i, Parn. **1** (7-8): 1, ♀ Allotype, Egerdir, Kleinasien, Türkei; ♂ ♀ Iconotypen, Ak-Schedir, Kleinasien, Türkei, abgebildet fig. 1 ♂, fig. 2 ♀, und in Bryk, 1935 f, Tierreich **65**: fig. 77.

104. *Parnassius mnemosyne sheljuzhkoi* Bryk f. *casta* Bryk, 1914 k, Soc. Ent. **29**: 44, ♀ Holotype, Adana, Kilikischer Taurus, Türkei, abgebildet fig. 32.

105. *Parnassius mnemosyne libanoticus* Bryk, 1914 n, Soc. Ent. **29**: 68, ♂ Holotype, ♀ Allotype, Libanon, Syrien, abgebildet fig. 37 ♀, fig. 38 ♂, und in Bryk, 1935 f, Tierreich **65**: fig. 83 ♂, fig. 83 a ♀.

106. *Parnassius mnemosyne subnubilosus* Bryk, 1914 n, Soc. Ent. **29**: 67, ♂ Holotype, ♀ Allotype, Wan-See, Armenien, Türkei, ♀ abgebildet fig. 36, ♂ abgebildet **pl. 10 fig. 5**.

107. *Parnassius mnemosyne problematicus* Bryk, 1912 k, Soc. Ent. **27**: 89, ♀ Allotype, Kuldsur, Irak, abgebildet in Bryk, 1914 k, Soc. Ent. **29**: fig. 34 a, und in Bryk, 1935 f, Tierreich **65**: fig. 81 a.

108. *Parnassius mnemosyne strix* Bryk, 1914 k, Soc. Ent. **29**: 42, ♂ Holotype, ♀ Allotype, Nova Nikolajewkaja, Armenien, Russland, ♀ abgebildet in Bryk, 1914 q, Soc. Ent. **29**: fig. 42.

109. *Parnassius mnemosyne strix* Bryk f. *cardinalis* Bryk, 1914 n, Soc. Ent. **29**: 67, ♂ Holotype, Nova Nikolajewkaja, Armenien, Russland, abgebildet in Bryk, 1914 q, Soc. Ent. **29**: fig. 41.
110. *Parnassius mnemosyneadolphi* Bryk, 1911 f, Soc. Ent. **26**: 60, ♂ Holotype, ♀ Allotype, Sultanabad, Luristan, Irak, ♂ abgebildet in Bryk, 1911 g, Soc. Ent. **26**: fig. 1, ♂, ♀, abgebildet in Bryk, 1935 f, Tierreich **65**: fig. 84 ♂, fig. 84 a ♀.
111. *Parnassius mnemosyne elisabethae* Bryk & Eisner, 1934 e, Parn. **3**: 38, ♂ Holotype, ♀ Allotype, Kash-Kash-Dagh, südöstlich von Kagysman, Türkei, ♀ ♂ Paratypen abgebildet fig. 3 ♀, fig. 4 ♂, und in Bryk, 1935 f, Tierreich **65**: fig. 696 ♂, fig. 696 a ♀.
112. *Parnassius mnemosyne bucharanus* Bryk, 1912 m, Soc. Ent. **27**: 101, ♂ Holotype, ♀ Allotype, Hissar-Gebirge, Buchara, Russland, abgebildet in Bryk, 1913 b, Soc. Ent. **28**: fig. 26 ♂, fig. 28 ♀, und in Bryk, 1935 f, Tierreich **65**: fig. 89 ♂, fig. 89 a ♀.
113. *Parnassius mnemosyne sarafschanus* Bryk & Eisner, 1932 m, Parn. **2**: 74, ♂ Holotype, ♀ Allotype, Dukdan, Sarafschan, Russland, abgebildet in Bryk, 1935 f, Tierreich **65**: fig. 90 ♂, fig. 90 a ♀.
114. *Parnassius mnemosyne pytania* Bryk, 1923 b, Lep. Cat. **24** (27): 188, ♀ Holotype, ♂ Allotype (f. *maculata* Bryk), Alai, Russland, abgebildet in Bryk, 1912 m, Soc. Ent. **27**: fig. 23 ♀, fig. 24 ♂.
115. *Parnassius mnemosyne danilovi* Bryk & Eisner, 1934 a, Parn. **3**: 12, ♂ Holotype, ♀ Allotype, Andischan, Fergana, Russland, abgebildet pl. **10** fig. **6** ♂, pl. **10** fig. **7** ♀.
116. *Parnassius mnemosyne falsa* Bryk, 1912 f, Soc. Ent. **27**: 53, ♂ Holotype, ♀ Allotype, Aulie-Ata, Fergana, Russland, abgebildet in Bryk, 1912 k, Soc. Ent. **27**: fig. 20 ♀, fig. 21 ♂, und in Bryk, 1935 f, Tierreich **65**: fig. 88 ♂, fig. 88 a ♀.
117. *Parnassius mnemosyne orientalis* Verity f. *maxbarteli* Bryk, 1912 j, Soc. Ent. **27**: 74, ♀ Holotype, Issykul, Russland, abgebildet in Bryk, 1914 t, Arch. Naturgesch. **80** (6): pl. 4 fig. 28 (= f. *subtus-flavocentrata* Bryk & Eisner).
118. *Parnassius mnemosyne mneme* Bryk & Eisner, 1932 m, Parn. **2**: 76, ♂ Holotype, ♀ Allotype, Karagaitau-Narynsk, Turkestan, Russland.
119. *Parnassius stubbendorfi typica* Bryk, 1914 g, Int. Ent. Zeitschr. **8**: 12, ♀ Holotype, ♂ Allotype, Ongodai, Altai, Russland, ♀ abgebildet in Bryk, 1914 b, Int. Ent. Zeitschr. **8**: fig. 1, und in Bryk, 1935 f, Tierreich **65**: fig. 101.
120. *Parnassius stubbendorfi bodemeyeri* Bryk, 1923 b, Lep. Cat. **24** (27):

- 220, ♂ Holotype, ♀ Allotype, Schilka-Gora, Amur-Gebiet, Russland, ♀ abgebildet in Bryk, 1914 b, Int. Ent. Zeitschr. **8**: fig. 5.
121. *Parnassius stubbendorfi bodemeyeri* Bryk f. *antiquincunx* Bryk, 1914 f, Int. Ent. Zeitschr. **8**: 7, ♀ Holotype, Schilka-Gora, Amur-Gebiet, Russland, abgebildet in Bryk, 1914 b, Int. Ent. Zeitschr. **8**: fig. 6.
122. *Parnassius stubbendorfi bodemeyeri* Bryk f. *aporiides* Bryk, 1914 f, Int. Ent. Zeitschr. **8**: 7, ♀ Holotype, Schilka-Gora, Amur-Gebiet, Russland.
123. *Parnassius stubbendorfi bodemeyeri* Bryk f. *grundii* Bryk & Eisner, 1932 m, Parn. **2**: 78, ♀ Holotype, Schilka-Gora, Amur-Gebiet, Russland.
124. *Parnassius stubbendorfi standfussi* Bryk, 1912 j, Soc. Ent. **27**: 73, ♂ Holotype, ♀ Allotype, Nikolajewsk, Amur-Mündung, Russland, abgebildet in Bryk, 1914 b, Int. Ent. Zeitschr. **8**: fig. 2 ♀, fig. 4 ♂, und in Bryk, 1935 f, Tierreich **65**: fig. 109.
125. *Parnassius stubbendorfi standfussi* Bryk f. *maculata* Bryk, 1914 f, Int. Ent. Zeitschr. **8**: 7, ♀ Holotype, Nikolajewsk, Amur-Mündung, Russland, abgebildet in Bryk, 1914 b, Int. Ent. Zeitschr. **8**: fig. 3.
126. *Parnassius stubbendorfi kjoengsoengensis* Bryk, 1932 e, Parn. **2**: 47, ♀ ♂ Paratypen, Umgebung von Sei-Shin, Kjöngsöng, Korea, abgebildet pl. **10** fig. **8** ♀, pl. **11** fig. **1** ♂.
127. *Parnassius stubbendorfi koyaensis* O. Bang-Haas, 1938 d, Parn. **6**: 20, ♂ ♀ Paratypen, Mons Koya, Heianhokudo, Korea sept., abgebildet pl. **11** fig. **2** ♂, pl. **11** fig. **3** ♀.
128. *Parnassius stubbendorfi kashini* O. Bang-Haas, 1938 d, Parn. **6**: 19, ♂ ♀ Paratypen, Mons Rosin, südlich von Kaiko, Korea centr., abgebildet pl. **11** fig. **4** ♂, pl. **11** fig. **5** ♀.
129. *Parnassius stubbendorfi arakawai* O. Bang-Haas, 1938 d, Parn. **6**: 19, ♂ ♀ Paratypen, Mons Myoka, Kiujo, Korea centr., abgebildet pl. **11** fig. **6** ♂, pl. **11** fig. **7** ♀.
130. *Parnassius stubbendorfi esakii* Nakahara, 1926, Ins. Insc. Menstr. **14**: 46, ♀ Iconotype, Sachalin sept., Japan, abgebildet in Bryk, 1935 f, Tierreich **65**: fig. 116.
131. *Parnassius stubbendorfi doii* Matsumura, 1928, Ins. Mats. **2**: 201, ♀ Allotype, Shikotan-Insel, Kurilen, Japan, abgebildet in Bryk & Eisner, 1932 m, Parn. **2**: fig. 2, und in Bryk, 1935 f, Tierreich **65**: fig. 118.
132. *Parnassius stubbendorfi inexpectatus* Eisner, 1960 b, Zool. Meded. **37**: 136 (Parn. nov. xxix), ♂ Holotype, ♀ Allotype, Nisyonal, Aomori, Japan, abgebildet pl. **11** fig. **8** ♂, pl. **12** fig. **1** ♀.
133. *Parnassius stubbendorfi hoencii* Schweitzer f. *feminina* Bryk & Eisner, 1932 m, Parn. **2**: 81, ♂ Holotype, ♀ Iconotype, Iburi, Hokkaido, Japan, ♀ abgebildet in Bryk, 1935 f, Tierreich **65**: fig. 114.

134. *Parnassius stubbendorfi conjungens* Bryk & Eisner, 1932 m, Parn. 2: 82, ♂ Holotype, ♀ Allotype, Buchatu, Chingan-Montes, Mandschurei, Russland, abgebildet **pl. 12 fig. 2** ♀, **pl. 12 fig. 2** ♂.
135. *Parnassius stubbendorfi siegfriedi* Bryk, 1914 g, Int. Ent. Zeitschr. 8: 12, ♀ Holotype, ♂ Allotype, Taipinglin, Mandschurei, Russland, abgebildet in Bryk, 1914 f, Int. Ent. Zeitschr. 8: fig. 12 ♂, fig. 13 ♀, und in Bryk, 1935 f, Tierreich 65: fig. 105 ♂, fig. 105 a ♀.
136. *Parnassius stubbendorfi siegfriedi* Bryk f. *niphetodis* Bryk, 1914 f, Int. Ent. Zeitschr. 8: 9, ♂ Holotype, Taipinglin, Mandschurei, Russland.
137. *Parnassius stubbendorfi diabolicus* Bryk & Eisner, 1929 b, Soc. Ent. 44: 48, ♀ Holotype, ♂ Allotype, Maoreschan, Mandschurei, Russland, abgebildet fig. 1 ♂, fig. 2 ♀, und in Bryk, 1935 f, Tierreich 65: fig. 108.
138. *Parnassius stubbendorfi diabolicus* Bryk & Eisner f. *inversa* Bryk & Eisner, 1929 b, Soc. Ent. 44: 48, ♀ Holotype, ♂ Allotype, Maoreschan, Mandschurei, Russland, abgebildet fig. 3 ♂, fig. 4 ♀.
139. *Parnassius stubbendorfi orcus* Bryk & Eisner, 1937 e, Parn. 4: 64, ♂ Holotype, ♀ Allotype, Fukiang, Peilingschan, China, abgebildet **pl. 12 fig. 4** ♂, **pl. 12 fig. 5** ♀.
140. *Parnassius stubbendorfi bromkampi* O. Bang-Haas, 1933 a, Ent. Zeitschr. 46: 261, ♂ ♀ Paratypen, Min, Minschan, China, abgebildet **pl. 12 fig. 6** ♂, **pl. 12 fig. 7** ♀.
141. *Parnassius stubbendorfi baeckeri* Kotzsche, 1929, Ent. Zeitschr. 43: 205, ♀ Iconotype, Lassa, Sining-Gebiet, China, abgebildet in Bryk, 1935 f, Tierreich 65: fig. 103.
142. *Parnassius glacialis hokkaidensis* Bryk & Eisner, 1932 m, Parn. 2: 88, ♂ Holotype, ♀ Allotype, Hokkaido, Japan, abgebildet **pl. 12 fig. 8** ♂, **pl. 13 fig. 1** ♀; ♂ auch Holotype der f. *ernestinae* Bryk, 1914 f, Int. Ent. Zeitschr. 8: 7, ♀ gleichfalls f. *ernestinae* Bryk. Synonym von *P. g. glacialis* Butler.
143. *Parnassius glacialis aomoriensis* Eisner, 1939 d, Parn. 6: 49, ♂ Holotype, ♀ Allotype, Nisyonai, Aomori, Japan, ♂ ♀ Paratypen und Iconotypen abgebildet in Eisner, 1963, Zool. Meded. 38: pl. 21 fig. 3 ♂, pl. 21 fig. 4 ♀ (Parn. nov. xxxiii).
144. *Parnassius glacialis vicarians* Eisner, 1963, Zool. Meded. 38: 283 (Parn. nov. xxxiii), ♂ Holotype, ♀ Allotype, Mont Takao, bei Tokyo, Japan, abgebildet pl. 22 fig. 1 ♂, pl. 22 fig. 2 ♀.
145. *Parnassius glacialis vicarians* Eisner f. *marginata* Bryk, 1914 f, Int. Ent. Zeitschr. 8: 9, ♂ Holotype, Japan, abgebildet fig. 18, und in Bryk, 1935 f, Tierreich 65: fig. 98.
146. *Parnassius glacialis vicarians* Eisner f. *kunzi* Bryk, 1914 f, Int. Ent.

Zeitschr. **8**: 9, ♂ Holotype, Japan, abgebildet fig. 19, und in Bryk, 1935 f, Tierreich **65**: fig. 115.

147. *Parnassius glacialis mikado* Bryk & Eisner, 1932 m, Parn. **2**: 87, ♂ Holotype, ♀ Allotype, Harima, Japan, abgebildet in Eisner, 1963, Zool. Meded. **38**: pl. 22 fig. 3 ♂, pl. 22 fig. 4 ♀ (Parn. nov. xxxiii).

148. *Parnassius glacialis janine* Eisner, 1959 a, Zool. Meded. **36**: 161 (Parn. nov. xxiii), ♂ Holotype, ♀ Allotype, Mont Fujiwara, Mie-Prefetur, Japan, abgebildet in Eisner, 1959 d, Zool. Meded. **36**: pl. 9 fig. 3 ♂, pl. 9 fig. 4 ♀ (Parn. nov. xxvi), ♂ ♀ Ideotypen, Kasugamura, Gifu, Japan, abgebildet in Eisner, 1963, Zool. Meded. **38**: pl. 22 fig. 5 ♂, pl. 22 fig. 6 ♀ (Parn. nov. xxxiii).

149. *Parnassius glacialis geisha* Bryk & Eisner, 1932 m, Parn. **2**: 87, ♂ Holotype, ♀ Allotype, Simasima, Shinano, Japan, ♀ abgebildet fig. 3, und in Bryk, 1935 f, Tierreich **65**: fig. 118.

150. *Parnassius glacialis naganoensis* Bryk & Eisner, 1932 m, Parn. **2**: 88, ♂ Holotype, ♀ Allotype, Jakeshi, Nagano-ken, Japan, abgebildet in Bryk, 1935 f, Tierreich **65**: fig. 119 ♂, fig. 119 a ♀.

151. *Parnassius glacialis tsingtaus* O. Bang-Haas f. *govindraeides* Bryk, 1915 c, Arch. Naturgesch. **80** (9): 142, ♀ Holotype, Tsingtau, China, abgebildet pl. 29 fig. 138.

152. *Parnassius stubbendorfi tsingschuiensis* O. Bang-Haas, 1934 a, Ent. Zeitschr. **47**: 179, ♂ Holotype, ♀ Allotype, Tsingschui, Liupischan, China, abgebildet **pl. 13 fig. 2** ♂, **pl. 13 fig. 3** ♀. Subspecies von *P. glacialis* Butler.

153. *Parnassius n. nordmanni* Ménétriés f. *duplicata* Lütkemeyer, 1923, Ent. Zeitschr. **37**: 26, ♀ Holotype, Adshara-Gebirge, Kaukasus, Russland (= f. *nigrodivisoocellata* n.c.; nicht namensberechtigt, weil für *P. nordmanni* typisch).

154. *Parnassius nordmanni christophi* Bryk & Eisner, 1932 m, Parn. **2**: 90, ♂ Holotype, ♀ Allotype, Berg Tschugusch, Kaukasus, Russland, ♂ ♀ Paratypen abgebildet in Bryk, 1935 f, Tierreich **65**: fig. 142 ♂, fig. 142 a ♀.

155. *Parnassius nordmanni christophi* Bryk & Eisner f. *trachomophthalmos* Bryk & Eisner, 1932 m, Parn. **2**: 90, ♂ Holotype, Berg Tschugusch, Kaukasus, Russland.

156. *Parnassius nordmanni minimus* Honrath f. *perversus* Bryk & Eisner, 1934 a, Parn. **3**: 14, ♂ Holotype, Kurusch, Daghestan, Russland.

157. *Parnassius nordmanni bogosi* O. Bang-Haas, 1934 c, Ent. Zeitschr. **48**: 135, ♀ Paratype und Iconotype, Berg Bogos bei Tindi, Kaukasus sept., Russland, abgebildet **pl. 13 fig. 4**.

158. *Parnassius e. eversmanni* Ménétriés f. *conjunctoanalisis* Bryk & Eis-

- ner, 1932 m, Parn. **2**: 92, ♂ Holotype, ♀ Allotype, Chara-Daban, Sajan-Gebirge, Russland.
159. *Parnassius e. eversmanni* Ménétriés f. *ocelloconjuncta* Bryk & Eisner, 1932 m, Parn. **2**: 92, ♀ Holotype, Chara-Daban, Sajan-Gebirge, Russland.
160. *Parnassius e. eversmanni* Ménétriés f. *ampliusdecora* Eisner (= f. *rubroamplianalis* n.c.), 1928 a, Int. Ent. Zeitschr. **22**: 302, ♀ Holotype, Mondy, Sajan-Gebirge, Russland.
161. *Parnassius e. eversmanni* Ménétriés f. *albipicta* Eisner, 1955 a, Zool. Meded. **33**: 139 (Parn. nov. iv), ♀ Holotype, Chara-Daban, Sajan-Gebirge, Russland.
162. *Parnassius e. eversmanni* Ménétriés f. **biexcelsior** nova, ♀ Holotype, Tunkinsk-Weissgebirge, Russland (zweiter Wurzelfleck des Hinterflügels oberseits rot prachtgefäßt).
163. *Parnassius eversmanni wosnesenskii* Ménétriés, 1855, Enum. Anim. Mus. Petropol., Lep. **1**: 74, ♂ Iconotype, Ochotsk, Siberien, Russland, abgebildet pl. **13 fig. 5** (♀ abgebildet pl. 1 fig. 3). Nach Hemming (1934, Stylops **3**: 198-199) ist Ménétriés in Siemaschko, 1849, Russk. Fauna **4**: pl. 4, nicht publiziert.
164. *Parnassius eversmanni daisetsuzana* Matsumura f. *largofasciata* Eisner, 1955 a, Zool. Meded. **33**: 140 (Parn. nov. iv), ♂ Holotype, Mont Daisetszu, Hokkaido, Japan.
165. *Parnassius eversmanni maui* Bryk f. *monocula* Kardakoff, 1928, Ent. Mitt. **17**: 265, ♂ Holotype, Ternej-Bucht, Ussuri, Russland.
166. *Parnassius eversmanni maui* Bryk f. *rubroanalis* Bryk & Eisner, 1932 m, Parn. **2**: 94, ♀ Holotype, Ternej-Bucht, Ussuri, Russland.
167. *Parnassius eversmanni thor* W. H. Edwards f. *quincunx* Bryk & Eisner, 1934 a, Parn. **3**: 15, ♂ Holotype, Slate Creek, Alaska, U.S.A.
168. *Parnassius felderi* Bremer f. *aperta* Bryk & Eisner, 1932 m, Parn. **2**: 95, ♂ Holotype, Raddejewka, Amur, Russland.
169. *Parnassius felderi* Bremer f. *rubinus* Bryk, 1914 i, Mitt. München. Ent. Ges. **5**: 26, ♀ Holotype, Raddejewka, Amur, Russland.
170. *Parnassius felderi* Bremer f. *defasciata* Bryk & Eisner, 1934 a, Parn. **3**: 15, ♀ Holotype, Raddejewka, Amur, Russland.
171. *Parnassius felderi* Bremer f. *medio-extincto-ocellata* Bryk & Eisner, 1932 m, Parn. **2**: 95, ♂ Holotype, Raddejewka, Amur, Russland.
172. *Parnassius felderi* Bremer f. *subtus-rubro-ocellata* Bryk & Eisner, 1932 m, Parn. **2**: 95, ♀ Holotype, Raddejewka, Amur, Russland. Synonym: f. *rubinus* Bryk.
173. *Parnassius felderi* Bremer f. *innae* (morpha *vernalis*) Kotshubej,

1929, Ent. Anz. **9**: 190, ♂ ♀, Birikan, Wanda-Gebirge, Amur, Russland, abgebildet **pl. 13 fig. 6** ♂, **pl. 13 fig. 7** ♀, **pl. 13 fig. 8** ♀, ♂, Polovina, Wanda-Gebirge, Amur, Russland, abgebildet in Bryk, 1935 f, Tierreich **65**: fig. 134.

174. *Parnassius clarius clarus* Bryk & Eisner, 1932 m, Parn. **2**: 91, ♂ Holotype, ♀ Allotype, Saur-Gebirge, Tarbagatai, Russland, ♂ abgebildet **pl. 14 fig. 1**, ♀ abgebildet fig. 4, und in Bryk, 1935 f, Tierreich **65**: fig. 150.

175. *Parnassius clodius sol* Bryk & Eisner, 1932 m, Parn. **2**: 97, ♂ Holotype, ♀ Allotype, ♀ Paratype, Nevada (Sierra Nevada ?), U.S.A., ♂ abgebildet fig. 6, ♀ Paratype abgebildet **pl. 14 fig. 2**.

176. *Parnassius clodius sol* Bryk & Eisner f. *nigroanalis* Bryk & Eisner, 1932 m, Parn. **2**: 97, ♀ Holotype, Nevada (Sierra Nevada ?), U.S.A.

177. *Parnassius clodius sol* Bryk & Eisner f. *medionigroocellata* (n.c.) Eisner, 1955 a, Zool. Meded. **33**: 141 (Parn. nov. iv), ♂, Nevada (Sierra Nevada ?), U.S.A., abgebildet **pl. 14 fig. 3**.

178. *Parnassius clodius baldur* W. H. Edwards f. *primo-* + *tertiopicta* + *ornata* Bryk & Eisner, 1932 m, Parn. **2**: 97, ♀ Holotype, Glen-Alp, Lake Tahoe, Sierra Nevada, U.S.A.

179. *Parnassius clodius baldur* W. H. Edwards f. *albocentrata* Bryk & Eisner, 1932 m, Parn. **2**: 97, ♀ Holotype, Glen-Alp, Lake Tahoe, Sierra Nevada, U.S.A.

180. *Parnassius clodius claudianus* Stichel f. *excelsior* Eisner, 1957 c, Zool. Meded. **35**: 88 (Parn. nov. xiv), ♀ Holotype, Illahoe, Kitsap Co., Washington, U.S.A.

181. *Parnassius clodius hel* Eisner, 1956 c, Zool. Meded. **34**: 243 (Parn. nov. x), ♂ Holotype, ♀ Allotype, Stevens-Pass, Cascade Mts., Washington, U.S.A., abgebildet pl. 3 fig. 1 ♂, pl. 3 fig. 2 ♀.

182. *Parnassius clodius hel* Eisner f. *grundi* Eisner, 1956 c, Zool. Meded. **34**: 243 (Parn. nov. x), ♂ Holotype, ♀ Allotype, Stevens-Pass, Cascade Mts., Washington, U.S.A., abgebildet pl. 3 fig. 3 ♂, pl. 3 fig. 4 ♀.

183. *Parnassius o. orleans* Oberthür f. *inpicta* Bryk & Eisner, 1932 m, Parn. **2**: 99, ♂ Holotype, Tatsienlou, Szetschwan, China.

184. *Parnassius o. orleans* Oberthür f. *semidecora* Bryk + *tripicta* (n.c.), 1923 a, Ent. Zeitschr. **36**: 56, ♂ Holotype, Tatsienlou, Szetschwan, China.

185. *Parnassius o. orleans* Oberthür f. *walteri* Bryk, 1914 r, Soc. Ent. **29**: 77, ♂ Holotype, Tatsienlou, Szetschwan, China, abgebildet fig. 1.

186. *Parnassius o. orleans* Oberthür f. *ampliusocellata* Bryk & Eisner, 1932 m, Parn. **2**: 99, ♀ Holotype, Tatsienlou, Szetschwan, China.

187. *Parnassius o. orleans* Oberthür f. *quincunx* Eisner, 1957 c, Zool. Meded. **35**: 90 (Parn. nov. xiv), ♂ Holotype, Tatsienlou, Szetschwan, China.

188. *Parnassius orleans parthenos* Bryk f. *clericalis* Bryk, 1923 a, Soc. Ent. **36**: 56, ♀ Holotype, Kunkala-schan, Szetschwan, China.
189. *Parnassius orleans parthenos* Bryk f. *binocularis* Bryk, 1923 a, Ent. Zeitschr. **36**: 56, ♂ Holotype, Kunkala-schan, Szetschwan, China.
190. *Parnassius orleans parthenos* Bryk f. *graphica* Bryk, 1923 a, Ent. Zeitschr. **36**: 56, ♂ Holotype, Kunkala-schan, Szetschwan, China.
191. *Parnassius orleans parthenos* Bryk f. *usurpator* Bryk, 1923 a, Ent. Zeitschr. **36**: 56, ♂ Holotype, Kunkala-schan, Szetschwan, China.
192. *Parnassius orleans parthenos* Bryk f. *meyeri* Bryk, 1923 a, Ent. Zeitschr. **36**: 56, ♀ Holotype, Kunkala-schan, Szetschwan, China.
193. *Parnassius orleans parthenos* Bryk f. *communista* Bryk, 1923 a, Ent. Zeitschr. **36**: 56, ♀ Holotype, Kunkala-schan, Szetschwan, China.
194. *Parnassius orleans parthenos* Bryk f. *distinguenda* Bryk, 1923 a, Ent. Zeitschr. **36**: 56, ♀ Holotype, Kunkala-schan, Szetschwan, China.
195. *Parnassius orleans nike* Bryk & Eisner, 1932 m, Parn. **2**: 100, ♂ Holotype, ♀ Allotype, Omisien, Süd-Ost-Szetschwan, China, abgebildet in Bryk, 1935 f, Tierreich **65**: fig. 170.
196. *Parnassius orleans janseni* O. Bang-Haas, 1938 a, Parn. **5**: 57, ♂ ♀ Paratypen und Iconotypen, Pullow-Mts., Min-shan, China, abgebildet pl. **14 fig. 4** ♂, pl. **14 fig. 5** ♀.
197. *Parnassius orleans johanna* Bryk, 1932 h, Parn. **2**: 67, ♂ ♀ Paratypen und Iconotypen, Taipa-shan, Schensi, China, ♂ abgebildet in Bryk & Eisner, 1932 m, Parn. **2**: fig. 7, ♀ abgebildet in Bryk, 1935 f, Tierreich **65**: fig. 169.
198. *Parnassius orleans augur* Bryk & Eisner, 1932 h, Parn. **2**: 34, ♂ Holotype, ♀ Allotype, Khodung-po, südl. von Lanchowfu, Kansu, China, abgebildet pl. **14 fig. 6** ♂, pl. **14 fig. 7** ♀.
199. *Parnassius orleans lictor* Bryk & Eisner, 1937 b, Parn. **4**: 58, ♂ Holotype, ♀ Allotype, Nomohun-Pass, Burchan-Buddha-Kette, China, abgebildet pl. **14 fig. 8** ♂, pl. **15 fig. 1** ♀.
200. *Parnassius orleans ephebus* Bryk, 1938 g, Parn. **6**: 5, ♂ ♀ Paratypen und Iconotypen, A-tun-tse, Yunnan, abgebildet pl. **15 fig. 2** ♂, pl. **15 fig. 3** ♀.
201. *Parnassius orleans haruspex* Bryk, 1943, Mitt. München. Ent. Ges. **33**: 28, ♂ ♀ Paratypen und Iconotypen, Batang, Alpine Zone, China, abgebildet pl. **15 fig. 4** ♂, pl. **15 fig. 5** ♀.
202. *Parnassius h. honrathi* Staudinger & A. Bang-Haas f. *melanconica* Bryk & Eisner, 1934 a, Parn. **3**: 17, ♂ Holotype, Sultan-Hazreth-Gebirge, Samarkand, Russland.
203. *Parnassius h. honrathi* Staudinger & A. Bang-Haas f. *rubroocellata*

Bryk & Eisner, 1934 a, Parn. 3: 17, ♂ Holotype, Sultan-Hazreth-Gebirge, Samarkand, Russland.

204. *Parnassius h. honrathi* Staudinger & A. Bang-Haas f. *biexcelsior* Bryk & Eisner, 1934a, Parn. 3: 17, ♀ Holotype, Sultan-Hazreth-Gebirge, Samarkand, Russland.

205. *Parnassius h. honrathi* Staudinger & A. Bang-Haas f. *cardinalis* Eisner, 1955a, Zool. Meded. 33: 145 (Parn. nov. iv), ♂ Holotype, Dukdan, Sarafschian, Russland.

206. *Parnassius h. honrathi* Staudinger & A. Bang-Haas f. *anterior-ipicta* Eisner (false *posterior*-!), 1955 a, Zool. Meded. 33: 145 (Parn. nov. iv), ♂ Holotype, Sultan-Hazreth-Gebirge, Samarkand, Russland.

207. *Parnassius h. honrathi* Staudinger & A. Bang Haas f. *nigro-ocellata* n.c. (= f. *novarae* Bryk, 1935 f, Tierreich 65: 187), ♂, Darvas, Russland, abgebildet **pl. 15 fig. 6**.

208. *Parnassius honrathi ernesti* Bryk f. *quincunx* Bryk & Eisner, 1932 k, Parn. 2: 65, ♀ Holotype, Garm, Gebirge Peter der Grosse, Russland.

209. *Parnassius honrathi alburnus* Stichel f. *nigroanalis* Bryk & Eisner, 1934 a, Parn 3: 17, ♂ Holotype, West-Pamir, Russland.

210. *Parnassius honrathi pseudoalburnus* Kotzsch, 1936 b, Parn. 4: 4, ♂ Holotype, ♀ Allotype, Sebak-Tal, Afghanistan, abgebildet **pl. 15 fig. 7** ♂, **pl. 15 fig. 8** ♀.

211. *Parnassius honrathi afganistanus* Eisner, 1940, Temminckia 5: 264, ♂ Holotype, ♀ Allotype, Firus Kuh-Montes, West-Afghanistan, abgebildet **pl. 16 fig. 1** ♂, **pl. 16 fig. 2** ♀.

212. *Parnassius apollonius glaucopis* Bryk & Eisner, 1934 a, Parn. 3: 19, ♂ Holotype, ♀ Allotype, Belamurun, Karatau, Russland, abgebildet **pl. 16 fig. 3** ♂, **pl. 16 fig. 4** ♀.

213. *Parnassius apollonius kuldshaensis* Bryk & Eisner, 1934 a, Parn. 3: 19, ♂ Holotype, ♀ Allotype, Kuldsha, Tianschan, Russland, abgebildet **pl. 16 fig. 5** ♂, **pl. 16 fig. 6** ♀.

214. *Parnassius apollonius kuldshaensis* Bryk & Eisner f. *medionigro-ocellata* Bryk & Eisner, 1934 a, Parn 3: 19, ♂ Holotype, Kuldsha, Tianschan, Russland.

215. *Parnassius apollonius aphrodite* Bryk & Eisner, 1934 a, Parn. 3: 19, ♀ Holotype, ♂ Allotype, Dscharkent, Ili-Gebiet, Russland, abgebildet **pl. 17 fig. 1** ♂, **pl. 17 fig. 2** ♀.

216. *Parnassius apollonius aphrodite* Bryk & Eisner, ♂ partiell Gynander, Ili-Gebiet, Russland, abgebildet **pl. 17 fig. 3**.

217. *Parnassius apollonius narynus* Fruhstorfer f. *nigroanalis* Bryk & Eisner, 1934 a, Parn. 3: 19, ♀ Holotype, Naryn, Turkestan, Russland.

218. *Parnassius apollonius narynus* Fruhstorfer f. *tripicta* Bryk & Eisner, 1934 a, Parn. 3: 19, ♀ Holotype, Karagaitau-Narynsk, Russland.
219. *Parnassius apollonius narynus* Fruhstorfer f. *halteres* Eisner, 1955 a, Zool. Meded. 33: 146 (Parn. nov. iv), ♂ Holotype, Naryn, Turkestan, Russland.
220. *Parnassius apollonius poseidon* Bryk & Eisner, 1934 a, Parn. 3: 20, ♀ Holotype, ♂ Allotype, Taschkent, Turkestan, Russland, abgebildet **pl. 17 fig. 4 ♂, pl. 18 fig. 1 ♀**.
221. *Parnassius apollonius aulieataensis* Bryk & Eisner, 1934 a, Parn. 3: 20, ♂ Holotype, ♀ Allotype, Syr-Darja, Turkestan, Russland, abgebildet **pl. 18 fig. 2 ♂, pl. 18 fig. 3 ♀, ♂ ♀ Paratypen und Iconotypen abgebildet in Bryk, 1935 f, Tierreich 65: fig. 183 ♂, fig. 183 a ♀**.
222. *Parnassius apollonius alpinus* Staudinger f. *inversa* Bryk & Eisner, 1934 a, Parn. 3: 21, ♀ Holotype, Transalai, Russland.
223. *Parnassius apollonius pseudoalpinus* Bryk & Eisner, 1934 a, Parn. 3: 21, ♂ Holotype, ♀ Allotype, Transalai, Russland, abgebildet **pl. 18 fig. 4 ♂, pl. 19 fig. 1 ♀**.
224. *Parnassius apollonius pseudoalpinus* Bryk & Eisner f. *quincunx* Bryk & Eisner, 1934 a, Parn. 3: 21, ♀ Holotype, Transalai, Russland.
225. *Parnassius apollonius alaicus* Bryk & Eisner, 1934 a, Parn. 3: 21, ♂ Holotype, ♀ Allotype, Alai, Russland, abgebildet **pl. 19 fig. 2 ♂, pl. 19 fig. 3 ♀**.
226. *Parnassius apollonius daubi* Fruhstorfer f. *ocelloconjuncta* Bryk & Eisner, 1934 a, Parn. 3: 22, ♀ Holotype, Sultan-Hazreth-Gebirge, Samarkand, Russland.
227. *Parnassius bremeri graeseri* Honrath f. *kitti* Bryk & Eisner, 1934 d, Parn. 3: 34, ♂ Holotype, Pokrowska, Amur, Russland, abgebildet in Bryk, 1935 f, Tierreich 65: fig. 200.
228. *Parnassius bremeri jaetensis* O. Bang-Haas, 1927, Horae Macrolep. 1: 9, ♂ Paratype, Borochojewa, Malchan-Gebirge, Russland, abgebildet **pl. 19 fig. 4**.
229. *Parnassius b. bremeri* Bremer f. *marginata* Bryk, 1914 d, Ent. Mitt. 3: 78, ♂ Holotype, Raddejewka, Amur, Russland.
230. *Parnassius b. bremeri* Bremer f. *quincunx* Bryk, 1914 d, Ent. Mitt. 3: 77, ♂ Holotype, Raddejewka, Amur, Russland, abgebildet **pl. 1 fig. 1**.
231. *Parnassius b. bremeri* Bremer f. *melancolica* Bryk, 1914 d, Ent. Mitt. 3: 76, ♂ Holotype, Raddejewka, Amur, Russland.
232. *Parnassius b. bremeri* Bremer f. *schenklingi* Bryk, 1914 d, Ent. Mitt. 3: 79, ♀ Holotype, Raddejewka, Amur, Russland.

233. *Parnassius b. bremeri* Bremer f. *theoides* Bryk, 1914 d, Ent. Mitt. **3**: 80, ♀ Holotype, Raddejewka, Amur, Russland, abgebildet pl. 1 fig. 3.
234. *Parnassius b. bremeri* Bremer f. *dentata* Bryk, 1914 d, Ent. Mitt. **3**: 80, ♀ Holotype, Raddejewka, Amur, Russland, abgebildet pl. 1 fig. 5.
235. *Parnassius b. bremeri* Bremer f. *sublacrimans* Bryk, 1914 d, Ent. Mitt. **3**: 79, ♀ Holotype, Raddejewka, Amur, Russland, abgebildet pl. 1 fig. 2.
236. *Parnassius b. bremeri* Bremer f. *cardinalis* Bryk, 1914 d, Ent. Mitt. **3**: 79, ♀ Allotype, Raddejewka, Amur, Russland, abgebildet pl. 1 fig. 3 (f. *cardinalis* + *sublacrimans*).
237. *Parnassius b. bremeri* Bremer f. *horni* Bryk, 1914 d, Ent. Mitt. **3**: 80, ♂ Holotype, Raddejewka, Amur, Russland, abgebildet pl. 1 fig. 4.
238. *Parnassius b. bremeri* Bremer f. *marginepupillata* Bryk, 1914 d, Ent. Mitt. **3**: 79, ♀ Holotype, Raddejewka, Amur, Russland, abgebildet pl. 1 fig. 2 (f. *sublacrimans* + *marginepupillata*).
239. *Parnassius b. bremeri* Bremer f. *nigrodivisoocellata* Bryk & Eisner, 1934 d, Parn. **3**: 34, ♀ Holotype, Raddejewka, Amur, Russland.
240. *Parnassius b. bremeri* Bremer f. *inversa* Bryk & Eisner, 1934 d, Parn. **3**: 34, ♀ Holotype, Raddejewka, Amur, Russland.
241. *Parnassius bremeri olgensis* Kardakoff, 1928, Ent. Mitt. **17**: 266, ♀ Holotype, Olga, Ussuri, Russland, ♂ Allotype, Olga-Bucht, Ussuri, ♀ abgebildet pl. 5 fig. 13, ♂ abgebildet **pl. 20 fig. 1**.
242. *Parnassius bremeri ellena* Bryk, 1936 a, Parn. **4**: 1, ♂ ♀ Paratypen, Wu-Tai-Shan, Shansi, China, abgebildet **pl. 20 fig. 2 ♂**, **pl. 20 fig. 3 ♀**, **pl. 20 fig. 4 ♂**, **pl. 20 fig. 5 ♀**.
243. *Parnassius bremeri conjunctus* Staudinger f. *moltrechti* Bryk, 1914 d, Ent. Mitt. **3**: 81, ♂ Holotype, ♀ Allotype, Fudin, Ussuri, Russland.
244. *Parnassius bremeri conjunctus* Staudinger f. *niphetodis* Bryk, 1914 d, Ent. Mitt. **3**: 78, ♂ Holotype, Fudin, Ussuri, Russland, abgebildet in Bryk, 1915 t, Arch. Naturgesch. **80** (6): pl. 5 fig. 38.
245. *Parnassius bremeri mongugaica* Kardakoff, 1928, Ent. Mitt. **17**: 265, ♂ Holotype, ♀ Allotype, Barabasch, Südost-Ussuri, Russland, abgebildet pl. 5 fig. 9 ♂, pl. 5 fig. 10 ♀. Synonym von *P. b. conjunctus* Staudinger.
246. *Parnassius bremeri mongugaica* Karkadoff f. *lunigera* Karkadoff, 1928, Ent. Mitt. **17**: 266, Barabasch, Südost-Ussuri, Rusland, abgebildet pl. 5 fig. 11.
247. *Parnassius bremeri mongugaica* Karkadoff f. *brykiana* Karkadoff, 1928, Ent. Mitt. **17**: 266, ♂ Holotype, Barabasch, Südost-Ussuri, Russland, abgebildet pl. 5 fig. 12.
248. *Parnassius bremeri spielhageni* Eisner, 1952, Bonn. Zool. Beitr. **3**:

- 90, ♂ ♀ Paratypen, Chandaochezsky, Mandschurei, Russland, abgebildet
pl. 20 fig. 6 ♂, pl. 21 fig. 1 ♀.
249. *Parnassius bremeri hakutozana* Matsumura f. *seminiphodis* Bryk & Eisner, 1934 d, Parn. 3: 36, ♂ Holotype, Seishin, Nordost-Korea.
250. *Parnassius bremeri hakutozana* Matsumura f. *fasciata* Bryk & Eisner, 1934 d, Parn. 3: 36, ♂ Holotype, Seishin, Nordost-Korea.
251. *Parnassius bremeri hakutozana* Matsumura f. *discocircumcincta* Bryk & Eisner, 1934 d, Parn. 3: 37, ♂ Holotype, Seishin, Nordost-Korea, abgebildet **pl. 21 fig. 2.**
252. *Parnassius bremeri hakutozana* Matsumura f. *ornata* Bryk & Eisner, 1934 d, Parn. 3: 37, ♀ Holotype, Seishin, Nordost-Korea.
253. *Parnassius bremeri heianhokudensis* Eisner, 1939 a, Parn. 6: 38, ♂ Holotype, ♀ Allotype, Kosho, Heianhokudo, Korea, abgebildet **pl. 21 fig. 3 ♂, pl. 21 fig. 4 ♀.**
254. *Parnassius phoebus ochotskensis* Bryk & Eisner, 1931 c, Parn. 1 (5): 6, ♀ Holotype, ♂ Allotype, Umgebung von Ochotsk, Sibirien, Russland, abgebildet fig. 6 ♀, fig. 7 ♂.
255. *Parnassius phoebus werchoturovi* O. Bang-Haas, 1934 c, Ent. Zeitschr. 48: 135, ♂ Paratype, Werchoturov, Ostküste Kamschatka, Russland, abgebildet **pl. 21 fig. 5.**
256. *Parnassius phoebus amalthea* Bryk & Eisner, 1935 a, Parn. 3: 49, ♂ Holotype, ♀ Allotype, Mondy, Gouv. Irkutsk, Russland, abgebildet **pl. 21 fig. 6 ♂, pl. 22 fig. 1 ♀.**
257. *Parnassius phoebus amalthea* Bryk & Eisner f. *grundii* Bryk & Eisner, 1935 a, Parn. 3: 49, ♀ Holotype, Mondy, Gouv. Irkutsk, Russland, abgebildet **pl. 22 fig. 2.**
258. *Parnassius phoebus amalthea* Bryk & Eisner f. *basimaculata* Bryk & Eisner, 1935 a, Parn. 3: 49, ♂ Holotype, Baikal-See, Transbaikalien, Russland.
259. *Parnassius phoebus intermedius* Ménétriés f. *extrema* Bryk, 1915 c, Arch. Naturgesch. 80 (9): 139, ♂ Holotype, Süd-Alai, Russland, abgebildet in Bryk, 1914 t, Arch. Naturgesch. 80 (6): pl. 4 fig. 27.
260. *Parnassius phoebus elias* Bryk, 1934 c, Parn. 3: 31, ♀ Allotype, St. Ilja, Alaska, U.S.A., abgebildet **pl. 22 fig. 3.** Siehe Eisner, 1955 a, Zool. Meded. 33: 150 (Parn. nov. iv).
261. *Parnassius phoebus hollandi* Bryk & Eisner, 1935 a, Parn. 3: 53, ♂ Holotype, ♀ Allotype, La Sal Mts., Turpus Valley, Utah (false California!), U.S.A., ♂ ♀ Paratypen und Iconotypen abgebildet in Eisner, 1955 a, Zool. Meded. 33: pl. 23 fig. 1, 3 ♂, pl. 23 fig. 2, 4 ♀ (Parn. nov. iv).
262. *Parnassius phoebus montanula* Bryk & Eisner, 1935 a, Parn. 3: 55,

♀ Holotype, ♂ Allotype, Tura, Montana, U.S.A., abgebildet in Eisner, 1957 c, Zool. Meded. **35**: pl. 4 fig. 5 ♀, pl. 4 fig. 6 ♂ (Parn. nov. xiv), ♂ ♀ Paratypen, Kiowa Mts., Glacier Co., Montana, abgebildet in Eisner, 1957 c, Zool. Meded. **35**: pl. 4 fig. 7 ♀, pl. 4 fig. 8 ♂ (Parn. nov. xiv).

263. *Parnassius phoebus dakotaensis* Bryk & Eisner, 1935 a, Parn. **3**: 55, ♂ Holotype, ♀ Allotype, Black Hills, Mt. Roosevelt, Dakota mer., U.S.A., abgebildet **pl. 22 fig. 4 ♂**, **pl. 22 fig. 5 ♀**.

264. *Parnassius phoebus idahoensis* Bryk & Eisner, 1931 c, Parn. **1** (5): 5, ♂ Holotype, ♀ Allotype, Wallace, Idaho, U.S.A., abgebildet fig. 4 ♂, fig. 5 ♀.

265. *Parnassius phoebus sayii* W. H. Edwards f. *fermata* Bryk, 1921 d, Ent. Tidskr. **42**: 112, ♂ Holotype, Denver, Colorado, U.S.A., abgebildet fig. 1, und **pl. 22 fig. 6**.

266. *Parnassius phoebus sayii* W. H. Edwards f. *quincunx* Bryk, 1915 c, Arch. Naturgesch. **80** (9): 140, ♂ Holotype, Colorado, U.S.A., abgebildet in Bryk, 1915 a, Arch. Naturgesch. **80** (7): pl. 9 fig. 67.

267. *Parnassius phoebus sayii* W. H. Edwards f. *melanophora* Bryk, 1921 d, Ent. Tidskr. **42**: 114, ♂ Holotype, Denver, Colorado, U.S.A.

268. *Parnassius phoebus hermodur* Hy. Edwards f. *leonhardii* Bryk, 1912 g, Soc. Ent. **27**: 57, ♂ Holotype, Colorado, U.S.A., abgebildet fig. 1.

269. *Parnassius phoebus hermodur* Hy. Edwards f. *minusculus* Bryk, 1912 g, Soc. Ent. **27**: 58, ♂ Holotype, Colorado, U.S.A., abgebildet fig. 4.

270. *Parnassius phoebus hermodur* Hy. Edwards f. *discocircumcincta* Eisner, 1955 a, Zool. Meded. **33**: 151 (Parn. nov. iv), ♂ Holotype, Colorado, U.S.A.; recte f. *orbifer* Eisner, 1957 c, Zool. Meded. **35**: 103 (Parn. nov. xiv).

271. *Parnassius phoebus hermodur* Hy. Edwards f. *sedakovii* Bryk, 1912 g, Soc. Ent. **27**: 58, ♂ Holotype, Colorado, U.S.A., abgebildet fig. 2.

272. *Parnassius phoebus maximus* Bryk & Eisner, 1937 f, Parn. **5**: 7, ♀ Holotype, ♂ Allotype, ♀ ♂ Paratypen, Judith Mts., Montana, U.S.A. (Beschreibung in Bryk & Eisner, 1935 a, Parn. **3**: 54 unter *P. p. sayii* W. H. Edwards), abgebildet in Eisner, 1957 c, Zool. Meded. **35**: pl. 4 fig. 1 ♀, pl. 4 fig. 2 ♂, ♂ ♀ Paratypen abgebildet pl. 4 fig. 3 ♀, pl. 4 fig. 4 ♂ (Parn. nov. xiv).

273. *Parnassius phoebus smintheus* Doubleday & Westwood f. *ernestinae* Bryk & Eisner, 1935 a, Parn. **3**: 51, ♂ Holotype, Ptarmigan-Pass, British Columbien, U.S.A.

274. *Parnassius phoebus hansi* Bryk, 1923 b, Lep. Cat. **24** (27): 212, ♂ ♀ Ideotypen, Gross-Glockner-Gebiet, Österreich.

275. *Parnassius phoebus expectatus* Fruhstorfer, 1921 a, Ent. Rundschau

- 38: 13, ♂ ♀ Iconotypen, Rabenstein, Passeiertal, Österreich, abgebildet in Bryk, 1935 f, Tierreich **65**: fig. 225 ♂, fig. 225 a ♀ (false ex Zool. Mus. Berlin !).
276. *Parnassius phoebus vorbrodti* Bryk & Eisner, 1935 a, Parn. **3**: 59, ♂ Holotype, ♀ Allotype, Feren, Lötschental, Schweiz, abgebildet **pl. 22 fig. 7 ♂, pl. 22 fig. 8 ♀**.
277. *Parnassius phoebus cervinicolus* Fruhstorfer f. *orbifer* Bryk & Eisner, 1935 a, Parn. **3**: 60, ♀ Holotype, Evolène, Wallis, Schweiz.
278. *Parnassius phoebus sacerdos* Stichel f. *bachmetjevi* Eisner, 1928 a, Int. Ent. Zeitschr. **22**: 302, ♀ Holotype, Julier-Pass, Graubünden, Schweiz. Ist f. *medionigrodivisoocellata* (n.c.).
279. *Parnassius phoebus sacerdos* Stichel f. *crnae* Bryk, 1928, Soc. Ent. **43**: 38, ♀ Paratype, Pontresina, Engadin, Schweiz, abgebildet fig. 1 a.
280. *Parnassius phoebus tessinorum* Fruhstorfer f. *nox* Bryk & Eisner, 1935 a, Parn. **3**: 61, ♀ Holotype, ♂, Airolo, Schweiz, abgebildet **pl. 23 fig. 1 ♂, pl. 23 fig. 2 ♀**.
281. *Parnassius phoebus blachieri* Fruhstorfer, 1921 c, Ent. Rundschau **38**: 16, ♂ ♀ Topotypen (Paratypen ex coll. Blachier ?), Alp Veglia, Val Cairasca, Schweiz, abgebildet **pl. 23 fig. 3-4 ♂, pl. 23 fig. 5-6 ♀**.
282. *Parnassius phoebus eisneri* Bryk, 1929, Soc. Ent. **44**: 17, ♀ Holotype, ♂ Allotype, ♀ ♂ Paratypen, Larche, Basses Alpes, Frankreich, abgebildet fig. 3 ♀, fig. 4 ♂, ♂ ♀ Paratypen, fig. 2 ♀ (f. *inversa* Bryk), fig. 5 ♂ (f. *binaria* Stichel).
283. *Parnassius phoebus savoieensis* Eisner, 1957 c, Zool. Meded. **35**: 109 (Parn. nov. xiv), ♂ Holotype, ♀ Allotype, Pralognan, Savoie, Frankreich, abgebildet **pl. 23 fig. 7 ♂, pl. 23 fig. 8 ♀**.
284. *Parnassius actius ambrosius* Stichel f. *fermata* Bryk & Eisner, 1935 g, Parn. **3**: 70, ♀ Holotype, Aksu-Tal, Turkestan, Russland.
285. *Parnassius actius pseudocaesar* Eisner & Sheljuzhko f. *albocentrata* Bryk & Eisner, 1935 g, Parn. **3**: 71, ♀ Holotype, Kurug-tag, Korla, Russland.
286. *Parnassius actius frischii* O. Bang-Haas f. *pura* O. Bang-Haas, 1938 d, Parn. **6**: 23, ♂ Holotype, ♀ Paratype, Kanchowfu, Richthofen-Gebirge, Kansu, China, abgebildet **pl. 24 fig. 1 ♂, pl. 24 fig. 2 ♀**.
287. *Parnassius actius frischii* O. Bang-Haas f. *totalbopicta* (n.c.) Eisner, 1955 c, Zool. Meded. **33**: 182 (Parn. nov. vi), ♂ Holotype, Kanchowfu, Nord-Abhang Nashi-Pass, Kansu, China, abgebildet **pl. 24 fig. 3**.
288. *Parnassius actius frischii* O. Bang-Haas f. *lacrimans* (n.c.) Eisner, 1955 c, Zool. Meded. **33**: 182 (Parn. nov. vi), ♀ Paratype, Kanchowfu, Nord-Abhang Nashi-Pass, Kansu, China, abgebildet **pl. 24 fig. 4**.

289. *Parnassius actius sulla* Bryk & Eisner, 1935 g, Parn. 3: 72, ♂ Holotype, Karambar-Pass, Hindukusch, ♀ Allotype, Faizabad, Afghanistan, abgebildet **pl. 24 fig. 5** ♂, **pl. 24 fig. 6** ♀, ♂ ♀ Ideotypen, Andarrab, West-Hindukusch, Afghanistan, abgebildet **pl. 24 fig. 7** ♂, **pl. 24 fig. 8** ♀. Siehe Bryk & Eisner, 1938 d, Parn. 6: 30.
290. *Parnassius actius flora* O. Bang-Haas, 1915 a, Iris 29: 94, ♂ ♀ Paratypen. Ispairan, Alai, Russland, abgebildet **pl. 25 fig. 1-2** ♂, **pl. 25 fig. 3-4** ♀.
291. *Parnassius actius cleopatra* Bryk & Eisner, 1935 g, Parn. 3: 73, ♂ Holotype, ♀ Allotype, ♀, Kaindy-Pass, Transalai, Russland, abgebildet **pl. 25 fig. 5** ♂, **pl. 25 fig. 6** ♀, **pl. 25 fig. 7** ♀.
292. *Parnassius actius caesar* Grum-Grshimailo, 1885, Mém. Lép. 2: 247, ♂ ♀ Paratypen (ex coll. Grum-Grshimailo), Kysyl-Art-Pass, Transalai, Russland, abgebildet **pl. 25 fig. 8** ♂, **pl. 26 fig. 1** ♀.
293. *Parnassius actius muzaffir* Elwes, 1886, Proc. Zool. Soc. Lond. 1886: 42, ♂ (ex coll. Grum-Grshimailo), Pamir und Transalai, Russland, abgebildet **pl. 26 fig. 2-3**. Ist synonym von *P. a. caesar* Grum-Grshimailo.
294. *Parnassius actius pseudobrutus* Bryk & Eisner, 1931 d, Parn. 1 (6): 2, ♀ Holotype, Mustag-Ata, Pamir, Russland, abgebildet fig. 3.
295. *Parnassius actius pseudobrutus* Bryk & Eisner f. *jambicus* Bryk, 1914 m, Int. Ent. Zeitschr. 8: 40, ♀ Allotype, Mustag-Ata, Pamir, Russland, abgebildet in Bryk & Eisner, 1931 d, Parn. 1 (6): fig. 4, und in Bryk, 1935 f, Tierreich 65: fig. 241.
296. *Parnassius actius brutus* Bryk, 1914 m, Int. Ent. Zeitschr. 8: 40, ♂ Holotype, ♀ Allotype, Pamirski-Post, Pamir, Russland, abgebildet in Bryk & Eisner, 1931 d, Parn. 1 (6): fig. 1 ♂, fig. 2 ♀, und in Bryk, 1935 f, Tierreich 65: fig. 249 ♂, fig. 249 a ♀ (nur die Typen i.l. ex Mustag-Ata in coll. O. Bang-Haas), ♀ abgebildet **pl. 26 fig. 4**, ♂ Paratype abgebildet **pl. 26 fig. 5**.
297. *Parnassius actius catilina* Eisner & Peschke, 1934, Parn. 3: 41, ♂ Holotype, ♀ Allotype, Doubounni-montes, Gilgit, Indien, abgebildet **pl. 26 fig. 6** ♂, **pl. 26 fig. 7** ♀.
298. *Parnassius actius yelyangi* O. Bang-Haas, 1934 c, Ent. Zeitschr. 48: 135, ♀, Satpa-La, ♂, Skardo, Baltistan, Indien, abgebildet **pl. 26 fig. 8** ♀, **pl. 27 fig. 1** ♂.
299. *Parnassius actius marius* Bryk & Eisner, 1935 g, Parn. 3: 73, ♂ Holotype, ♀ Allotype, Dscharkent, Turkestan, Russland, abgebildet **pl. 27 fig. 2** ♂, **pl. 27 fig. 3** ♀.
300. *Parnassius actius marius* Bryk & Eisner f. *medionigrodivisoocellata* Bryk & Eisner, 1935 g, Parn. 3: 73, ♂ Holotype, Sary-Dshasyk, Dzungarischer Ala-Tau, Russland.

301. *Parnassius actius minuta* Verity f. *orbifer* Bryk & Eisner, 1935 g, Parn. 3: 74, ♂ Holotype, Kurmetry-Pass, Issykul, Russland.
302. *Parnassius actius minuta* Verity f. *siegeli* Bryk & Eisner, 1935 g, Parn. 3: 74, ♂ Holotype, Dschungal-Tau, Issykul, Russland.
303. *Parnassius actius cassius* Bryk & Eisner, 1935 g, Parn. 3: 74, ♂ Holotype, ♀ Allotype, Naryn, Turkestan, Russland, abgebildet **pl. 27 fig. 4** ♂, **pl. 27 fig. 5** ♀.
304. *Parnassius actius cassius* Bryk & Eisner f. *rhododactyla* Bryk, 1914 i, Mitt. München. Ent. Ges. 5: 30, ♂ Holotype, Karagaitau, Turkestan, Russland, abgebildet pl. 1 fig. 5, ♀ Allotype, Naryn, Turkestan, Russland.
305. *Parnassius actius cassius* Bryk & Eisner f. *casta* Bryk, 1941 i, Mitt. München. Ent. Ges. 5: 31, ♂ Holotype, Wernyi (Wernoj), Turkestan, Russland.
306. *Parnassius actius cassius* Bryk & Eisner f. *excelsior* Bryk, 1914 i, Mitt. München. Ent. Ges. 5: 31, ♂ Holotype, Wernyi, Turkestan, Russland.
307. *Parnassius actius cassius* Bryk & Eisner f. *niphetodis* Eisner, 1955 c, Zool. Meded. 33: 183 (Parn. nov. vi), ♀ Holotype, Naryn, Turkestan, Russland.
308. *Parnassius actius cato* Bryk & Eisner, 1935 g, Parn. 3: 75, ♂ Holotype, ♀ Allotype, Syrti, Syr-Darja, Turkestan, Russland, abgebildet **pl. 27 fig. 6** ♂, **pl. 27 fig. 7** ♀.
309. *Parnassius t. tianschanicus* Oberthür f. *ocelloconjuncta* + *conjunctoanalis* (n.c.) Eisner, 1955 c, Zool. Meded. 33: 185 (Parn. nov. vi), ♂ Holotype, Juldus, Kuldscha, Russland.
310. *Parnassius t. tianschanicus* Oberthür f. *graphica* = *mediorubrodivisoocellata* (+ *ocelloconjuncta* + *conjunctoanalis* n.c.) Bryk & Eisner, 1935 h, Parn. 3: 78, ♂ Holotype, Ili-Gebiet, Russland, abgebildet **pl. 27 fig. 8**.
311. *Parnassius tianschanicus thiseus* Ehrmann f. *lacrimans* Niepelt, 1918, Nachr. Lep. Niep.: 4, ♂ Holotype, Tianschan, Russland, abgebildet pl. 18 fig. 16.
312. *Parnassius tianschanicus almaataensis* Bryk & Eisner, 1935 h, Parn. 3: 81, ♂ Holotype, ♀ Allotype, Alma-Ata, Turkestan, Russland, ♀ abgebildet fig. 1, ♂ abgebildet **pl. 28 fig. 3**.
313. *Parnassius tianschanicus almaatensis* Bryk & Eisner f. *divisoornata* Bryk & Eisner, 1935 h, Parn. 3: 78, ♀ Holotype, Kok-Bulak, Kungei-Ala-Tau, Russland. Beschrieben als forma von *P. t. tianschanicus* Oberthür.
314. *Parnassius tianschanicus almaataensis* Bryk & Eisner f. *in picta* + *nigrodivisoocellata* Bryk & Eisner, 1935 h, Parn. 3: 81, ♀ Holotype, Dschungal-Tau, Kirgistan, Russland.

315. *Parnassius tianschanicus almaataensis* Bryk & Eisner f. *virgo* Bryk (= f. *inpicta* + *inornata* n.c.), 1914 i, Mitt. München. Ent. Ges. **5**: 33, ♂ Holotype, Wernyi (Alma Ata), Turkestan, Russland.
316. *Parnassius tianschanicus almaataensis* Bryk & Eisner f. *perfusa* + *nigroocellata* (n.c.) Eisner, 1955 c, Zool. Meded. **33**: 185 (Parn. nov. vi), ♂ Holotype, Khoum-Bel-Berg, Russland, abgebildet **pl. 28 fig. 4**.
317. *Parnassius tianschanicus alexander* Bryk & Eisner, 1935 h, Parn. **3**: 81, ♀ Holotype, ♂ Allotype, Alexander-Gebirge, Russland, abgebildet **pl. 29 fig. 1 ♂**, **pl. 29 fig. 2 ♀**.
318. *Parnassius tianschanicus maureri* Bryk & Eisner, 1935 h, Parn. **3**: 82, ♂ Holotype, ♀ Allotype, Hissar-Gebirge, Sarafschán, Russland, abgebildet **pl. 29 fig. 3 ♀**, **pl. 29 fig. 4 ♂**.
319. *Parnassius tianschanicus haberhaueri* Bryk & Eisner, 1935 h, Parn. **3**: 82, ♂ Holotype, ♀ Allotype, Dombaratschi, Buchara, Russland, abgebildet **pl. 29 fig. 5 ♂**, **pl. 29 fig. 6 ♀**.
320. *Parnassius tianschanicus griseldis* Bryk & Eisner, 1935 h, Parn. **3**: 82, ♂ Holotype, ♀ Allotype, Ost-Pamir, Russland, abgebildet fig. 2 ♂, fig. 3 ♀.
321. *Parnassius tianschanicus superba* Grum-Grshimailo, 1890, Mém. Lép. **4**: 180, ♂ Paratype, Koudara, Afghanistan, abgebildet in Bryk & Eisner, 1935 h, Parn. **3**: fig. 4.
322. *Parnassius jacquemontii variabilis* Stichel f. *quincunx* Bryk & Eisner, 1935 h, Parn. **3**: 87, ♀ Allotype, Ispairan, Alai, Russland.
323. *Parnassius jacquemontii peter* Bryk & Eisner, 1935 h, Parn. **3**: 87, ♂ Holotype, ♀ Allotype, Gebirge Peter der Grosse, Karategin, Russland, abgebildet **pl. 30 fig. 1 ♂**, **pl. 30 fig. 2 ♀**, ♂ ♀ Paratypen abgebildet fig. 5 ♂, fig. 6 ♀.
324. *Parnassius jacquemontii rubicundus* Stichel f. *grundi* Bryk & Eisner, 1935 h, Parn. **3**: 87, ♂ Holotype, Pamir, Fergana, Russland.
325. *Parnassius jacquemontii rubicundus* Stichel f. *quincunx* Bryk & Eisner, 1935 h, Parn. **3**: 87, ♂ Holotype, Pamir, Russland.
326. *Parnassius jacquemontii nuksanica* Kotzsch, 1936 b, Parn. **4**: 5, ♂ Holotype, ♀ Allotype, Nuksan-Pass, Ost-Hindu-Kusch, Afghanistan, Russland, abgebildet fig. 1 ♂, fig. 2 ♀.
327. *Parnassius jacquemontii pamira* O. Bang-Haas, 1927, Horae Macrolep. **1**: 19, ♂ ♀ Iconotypen und Topotypen, Gebirge am Fluss Ljangular, Pamir, Russland, abgebildet in Bryk & Eisner, 1935 h, Parn. **3**: fig. 7 ♂, fig. 8 ♀.
328. *Parnassius jacquemontii pamira* O. Bang-Haas f. *casta* Bryk & Eisner, 1935 h, Parn. **3**: 88, ♀ Holotype, Ljangular, Pamir, Russland.

329. *Parnassius jacquemontii baroghila* Tytler f. *fermata* Bryk & Eisner, 1935 h, Parn. 3: 88, ♀ Holotype, Baroghil-Pass, Chitral, Indien.
330. *Parnassius jacquemontii kangraensis* Bryk & Eisner, 1932 d, Parn. 2: 23, ♂ Holotype, ♀ Allotype, Rohtang-Pass, Kangra, Indien, ♀ abgebildet fig. 8, ♂ abgebildet **pl. 30 fig. 3**.
331. *Parnassius jacquemontii kangraensis* Bryk & Eisner f. *monstrosa* Bryk & Eisner, 1932 d, Parn. 2: 24, ♂ Holotype, Rohtang-Pass, Kangra, Indien, abgebildet fig. 7, und **pl. 30 fig. 4**.
322. *Parnassius jacquemontii kangraensis* Bryk & Eisner f. *nigrodivisoocellata* Bryk & Eisner, 1932 d, Parn. 2: 23, ♂ Holotype, Rohtang-Pass, Kangra, Indien.
333. *Parnassius jacquemontii himalayensis* Elwes f. *archonis* Bryk, 1911 e, Soc. Ent. 26: 54, ♂ Holotype, Himalaya, Indien, abgebildet in Bryk, 1914 s, Arch. Naturgesch. 80 (5): pl. 3 fig. 15.
334. *Parnassius j. jacquemontii* Boisduval f. *inpicta* Bryk & Eisner, 1935 h, Parn. 3: 90, ♂ Holotype, Rizhi-La, Bashar-State, Indien.
335. *Parnassius j. jacquemontii* Boisduval f. *melanconicus* Bryk & Eisner, 1935 h, Parn. 3: 90, ♂ Holotype, Rizhi-La, Bashar-State, Indien.
336. *Parnassius jacquemontii gartokensis* Bryk & Eisner, 1935 h, Parn. 3: 92, ♂ Holotype, ♀ Allotype, Lomad-Gugu, W. Gartok, Thibet, abgebildet **pl. 30 fig. 6 ♂**, **pl. 30 fig. 7 ♀**.
337. *Parnassius jacquemontii gartokensis* Bryk & Eisner f. *perfusa* Bryk & Eisner, 1935 h, Parn. 3: 92, ♂ Holotype, Tibu, W. Gartok, Thibet.
338. *Parnassius jacquemontii tibetanus* Bryk & Eisner, 1931 k, Parn. 1 (7-8): 9, ♂ Holotype, ♀ Allotype, Omisien, Szetschwan, China, abgebildet fig. 10 ♂, fig. 11 ♀, und in Bryk, 1935 f, Tierreich 65: fig. 263, links ♂, rechts ♀.
339. *Parnassius jacquemontii linneae* Bryk, 1943, Mitt. München. Ent. Ges. 33: 26, ♂ ♀ Paratypen, Batang, Alpine Zone, China, abgebildet **pl. 30 fig. 8 ♂**, **pl. 31 fig. 1 ♀**.
340. *Parnassius jacquemontii mercurius* Grum-Grshimailo f. *fermata* Bryk & Eisner, 1935 h, Parn. 3: 93, ♂ Holotype, Kuku-nor, China.
341. *Parnassius jacquemontii hermes* Bryk & Eisner, 1935 h, Parn. 3: 94, ♂ Holotype, ♀ Allotype, Sunpanting, Szetschwan, China.
342. *Parnassius jacquemontii buddha* Bryk & Eisner, 1937 b, Parn. 4: 58, ♂ Holotype, ♀ Allotype, Nomohun-Pass, Burchan-Buddha-Kette, China, abgebildet **pl. 31 fig. 2 ♂**, **pl. 31 fig. 3 ♀**.
343. *Parnassius jacquemontii buddha* Bryk & Eisner f. *novarae* Bryk & Eisner, 1937 b, Parn. 4: 58, ♂ Holotype, Nomohun-Pass, Burchan-Buddha-Kette, China, abgebildet **pl. 31 fig. 4**.

344. *Parnassius jacquemontii tatungi* Bryk & Eisner, 1935 h, Parn. **3**: 94, ♂ Holotype, ♀ Allotype, Süd-Tatungsche Berge, Kansu, China, abgebildet **pl. 31 fig. 5** ♂, **pl. 31 fig. 6** ♀.

345. *Parnassius jacquemontii tatungi* Bryk & Eisner f. *albomaculata* Eisner, 1955 c, Zool. Meded **33**: 193 (Parn. nov. vi), ♂ Holotype, Heitsuitse, Kansu, China.

346. *Parnassius jacquemontii sikingshani* Bryk & Eisner, 1935 h, Parn. **3**: 94, ♂ Holotype, ♀ Allotype, Sincheng, Ost-Sikingshan, China, abgebildet **pl. 31 fig. 7** ♂, **pl. 31 fig. 8** ♀.

347. *Parnassius epaphus hoeniana* Eisner, 1955 c, Zool. Meded **33**: 193 (Parn. nov. vi), ♂ Holotype, ♀ Allotype, südlichste Steppe 98° ö.L., 32,5° n.B., 4300 m, Thibet, abgebildet **pl. 32 fig. 1** ♂, **pl. 32 fig. 2** ♀. Ist *P. epaphus emeritus* Eisner & Sheljuzhko, 1965, Zool. Meded. **40**: 214 (Parn. nov. xxxviii), nicht *P. glacialis hoeniana* Hering, 1934.

348. *Parnassius epaphus gautama* Bryk & Eisner, 1937 b, Parn. **4**: 57, ♂ Holotype, ♀ Allotype, Nomohun-Pass, Burchan-Buddha-Kette, China, abgebildet **pl. 32 fig. 3** ♂, **pl. 32 fig. 4** ♀.

349. *Parnassius epaphus nanchanicus* Austat f. *nigricans* Bryk & Eisner, 1936, Parn. **4**: 10, ♂ Holotype, Tschabu-Rabu, Burchan-Buddha-Kette, China.

350. *Parnassius epaphus beicki* Bryk & Eisner, 1936, Parn. **4**: 10, ♂ Holotype, ♀ Allotype, Süd-Tatungsche Berge, Kansu, China, abgebildet **pl. 32 fig. 5** ♂, **pl. 32 fig. 6** ♀.

351. *Parnassius epaphus kotzschi* Bryk & Eisner, 1936, Parn. **4**: 11, ♂ Holotype, ♀ Allotype, Khodunpo, Kansu, China, abgebildet **pl. 32 fig. 7** ♂, **pl. 32 fig. 8** ♀.

352. *Parnassius epaphus abruptus* O. Bang-Haas, 1927, Horae Macrolep. **1**: 76, ♀ Allotype, 45 km NW von Sining, China, abgebildet in O. Bang-Haas, 1929, Ent. Zeitschr. **43**: fig. 2, ♂ Paratype abgebildet in Bryk, 1935 f, Tierreich **65**: fig. 283, ♀ abgebildet **pl. 33 fig. 1**.

353. *Parnassius epaphus shantana* O. Bang-Haas, 1938 d, Parn. **6**: 24, ♀ Allotype [Eisner, 1955 c, Zool. Meded. **33**: 195 (Parn. nov. vi)], ♂ Paratype, Shantan, südl. von Kantschou, Richthofen-Gebirge sept., Kansu, China, abgebildet **pl. 33 fig. 2** ♂, **pl. 33 fig. 3** ♀.

354. *Parnassius epaphus pictor* Bryk & Eisner, 1932 n, Parn. **2**: 104, ♂ Holotype, ♀ Allotype, Kunkala-schan, Szetschwan, China, abgebildet **pl. 33 fig. 4** ♂, **pl. 33 fig. 5** ♀.

355. *Parnassius epaphus poeta* Oberthür f. *vittata* Verity (= f. *rubroocelloconjuncta* + *biexcelsior* + *conjunctoanalis* + *rubroanalis* n.c.), 1909,

Rhop. Pal.: 102, ♀ Holotype, Tatsienlou, Szetschwan, China, abgebildet pl. 24 fig. 16.

356. *Parnassius epaphus epichorius* Bryk, 1943, Mitt. München. Ent. Ges. 33: 27, ♂ ♀ Paratypen und Iconotypen, Batang, Alpine Zone, China, abgebildet pl. 33 fig. 6 ♂, pl. 33 fig. 7 ♀.

357. *Parnassius epaphus rafael* Bryk, 1938 g, Parn. 6: 4, ♂ ♀ Paratypen und Iconotypen, A-tun-tse, N. Yunnan, China, abgebildet pl. 33 fig. 8 ♂, pl. 34 fig. 1 ♀.

358. *Parnassius epaphus boschmai* Eisner, 1964a, Zool. Meded. 39: 186 (Parn. nov. xxxiv), ♂ Holotype, ♀ Allotype, Khumbu, Lobuche, Nepal, abgebildet pl. 34 fig. 2 ♂, pl. 34 fig. 3 ♀.

359. *Parnassius epaphus phariensis* Avinoff f. *albomaculata* Bryk & Eisner, 1936, Parn. 4: 13, ♂ Holotype, Phari-Jong, Thibet.

360. *Parnassius epaphus phariensis* Avinoff f. *ocellodivisa* Bryk & Eisner (= f. *mediorubrodivisoocellata* n.c.), 1936, Parn. 4: 13, ♂ Holotype, Phari-Jong, Thibet.

361. *Parnassius epaphus hillensis* O. Bang-Haas f. *fermata* Bryk & Eisner, 1936, Parn. 4: 13, ♀ Holotype, Tum-Tum-Thang, Bashar-State, Indien.

362. *Parnassius epaphus hillensis* O. Bang-Haas f. *rhomboides* Bryk & Eisner, 1936, Parn. 4: 13, ♂ Holotype, Tum-Tum-Thang, Bashar-State, Indien.

363. *Parnassius epaphus puer* Bryk & Eisner, 1932 d, Parn. 2: 24, ♂ Holotype, ♀ Allotype, Rohtang-Pass, Kangra, Indien, ♂ abgebildet fig. 6, ♀ abgebildet pl. 34 fig. 4.

364. *Parnassius epaphus shilangensis* Bryk & Eisner, 1936, Parn. 4: 14, ♂ Holotype, ♀ Allotype, Chumurti, Shilang, Shiring-Pass, Thibet, abgebildet pl. 34 fig. 5 ♂, pl. 34 fig. 6 ♀.

365. *Parnassius epaphus gyaella* Bryk & Eisner, 1937 c, Parn. 4: 60, ♂ Holotype, ♀ Allotype, Gya-Ladak, Taglang-Pass, Indien, abgebildet pl. 34 fig. 7 ♂, pl. 34 fig. 8 ♀, ♂ ♀ Paratypen und Iconotypen (f. *lacrimans* n.c.) abgebildet in Bryk, 1935 f, Tierreich 65: fig. 279, links ♂, rechts ♀.

366. *Parnassius epaphus cachemiriensis* Oberthür f. *rhomboides* Bryk & Eisner, 1937 c, Parn. 4: 60, ♀ Allotype, Kargil, Kaschmir, Indien, abgebildet pl. 35 fig. 1.

367. *Parnassius epaphus cachemiriensis* Oberthür f. *nigrodivisoocellata* Bryk & Eisner, 1937 c, Parn. 4: 60, ♀ Holotype, Kargil, Kaschmir, Indien.

368. *Parnassius epaphus cachemiriensis* Oberthür f. *discosemicircumcincta* Bryk & Eisner, 1937 c, Parn. 4: 60, ♂ Holotype, Sham, Kaschmir, Indien.

369. *Parnassius epaphus cachemiriensis* Oberthür f. *trachomophthalma*

Bryk & Eisner, 1937 c, Parn. **4**: 60, ♂ Holotype, Sham, Chalsi, Kaschmir, Indien.

370. *Parnassius epaphus cachemiriensis* Oberthür f. *rubroextincta* Eisner, 1957 d, Zool. Meded. **35**: 188 (Parn. nov. xv), ♂ Holotype, Pensa-Pass, Kaschmir, Indien.

371. *Parnassius epaphus nirius* Moore f. *halteres* Bryk & Eisner, 1937 c, Parn. **4**: 61, ♀ Holotype, Shigar, Baltistan, Indien, abgebildet **pl. 35 fig. 2**.

372. *Parnassius epaphus nirius* Moore f. *exoculata* O. Bang-Haas, 1937, Ent. Zeitschr. **51**: 330, ♂ Holotype, Skardo, Baltistan, Indien, abgebildet **fig. 2**, und **pl. 35 fig. 3**. O. Bang-Haas bezeichnet dieses Exemplar als den zeichnungsärmsten *Parnassius*, den er je gesehen hat!

373. *Parnassius epaphus hazaraensis* Bryk & Eisner, 1937 c, Parn. **4**: 62, ♂ Holotype, ♀ Allotype, Khagan, Hazara, Afghanistan, abgebildet **pl. 35 fig. 4 ♂**, **pl. 35 fig. 5 ♀**.

374. *Parnassius epaphus epicus* Bryk & Eisner, 1934 h, Parn. **3**: 41, ♂ Holotype, ♀ Allotype, Doubounni-montes, N.W. Indien, abgebildet **pl. 35 fig. 6 ♀**, **pl. 35 fig. 7 ♂**.

375. *Parnassius epaphus hinducucicus* O. Bang-Haas, 1934 b, Ent. Zeitschr. **48**: 7, ♂ ♀ Paratypen und Iconotypen, Karambar-Pass, Hindukusch, Afghanistan, abgebildet **pl. 35 fig. 8 ♂**, **pl. 36 fig. 1 ♀**.

376. *Parnassius epaphus sculptor* Bryk & Eisner, 1939 c, Parn. **6**: 48, ♂ Holotype, ♀ Allotype, Macheribroum, Karakorum, Indien, abgebildet **pl. 36 fig. 2 ♂**, **pl. 36 fig. 3 ♀**.

377. *Parnassius epaphus sculptor* Bryk & Eisner f. *nigrocellata* (n.c.) Bryk & Eisner, 1939 c, Parn. **6**: 48, ♂, Macheribroum, Karakorum, Indien, abgebildet **pl. 36 fig. 4**.

378. *Parnassius epaphus rene* Eisner, 1959a, Zool. Meded. **36**: 162 (Parn. nov. xxiii), ♀ Holotype, ♂ Allotype, Ludarwas Ganj, N.O. Kaschmir, Indien, abgebildet in Eisner, 1959 d, Zool. Meded. **36**: pl. 10 fig. 3 ♀, pl. 10 fig. 4 ♂ (Parn. nov. xxvi).

379. *Parnassius n. nomion* Hübner f. *siegeli* Bryk & Eisner, 1937 g, Parn. **5**: 9, ♂ Holotype, Gultscha, Altai, Russland.

380. *Parnassius nomion nominulus* Staudinger trs. f. *ocelloextincta* (n.c.), ♀, Munko Sardyk, Sajan-Gebirge, Russland, abgebildet **pl. 36 fig. 5**.

381. *Parnassius nomion dis* Bryk & Eisner, 1937 g, Parn. **5**: 10, ♀ Holotype, ♂ Allotype, Irkutsk, Russland, abgebildet **pl. 36 fig. 6 ♂**, **pl. 36 fig. 7 ♀**; **pl. 36 fig. 8** extrem verdunkelt ♂.

382. *Parnassius nomion dis* Bryk & Eisner f. *inversa* Bryk & Eisner, 1937 g, Parn. **5**: 10, ♀ Holotype, ♂ Allotype, Irkutsk, Russland, abgebildet **pl. 37 fig. 1 ♂**, **pl. 37 fig. 2 ♀**. Beide Formen wurden in Parn. **5** als *P. n.*

dis Grum-Grshimailo aufgeführt. Prof. L. Sheljuzhko (1956, Mitt. München. Ent. Ges. **46**: 300) hat dafür die subspecies *irkutskensis* aufgestellt. Da indessen Grum-Grshimailo nur eine dunkle Form *dis* genannt hat, Formennamen aber keine Priorität haben, muss der Name *dis* wohl für diese Unterart gelten.

383. *Parnassius nomion aurora* O. Bang-Haas f. *zirpsi* Eisner, 1955 c, Zool. Meded. **33**: 201 (Parn. nov. vi), ♂ Holotype, Raddejewka, Amur, Russland.

384. *Parnassius nomion mandschuriae* Oberthür f. *quincunx* Bryk, 1913e, Soc. Ent. **28**: 71, ♂ Holotype, Taipinglin, Mandschurei, Russland, abgebildet fig. 2, und in Bryk, 1935 f, Tierreich **65**: fig. 307.

385. *Parnassius nomion mandschuriae* Oberthür f. *novarae* Bryk, 1912 c, Jahrb. Nassau Ver. Naturk. **65**: 31, ♂ Holotype, Taipinglin, Mandschurei, Russland, abgebildet in Bryk, 1914 t, Arch. Naturgesch. **80** (6): pl. 4 fig. 26.

386. *Parnassius nomion mandschuriae* Oberthür f. *halteres* Bryk, 1923 a, Ent. Zeitschr. **36**: 56, ♀ Holotype, Taipinglin, Mandschurei, Russland, abgebildet p. 56.

387. *Parnassius nomion mandschuriae* Oberthür f. *melanconica* (false *melanconica*) Bryk, 1914 d, Ent. Mitt. **3**: 76, ♂ Holotype, patria?

388. *Parnassius nomion mandschuriae* Oberthür f. *bipupillata* Kardakoff, 1928, Ent. Mitt. **17**: 267, ♀ Holotype, Süd-Ussuri, Russland.

389. *Parnassius nomion mandschuriae* Oberthür f. *bipicta* Kardakoff, 1928, Ent. Mitt. **17**: 267, ♀ Holotype, Süd-Ussuri, Russland.

390. *Parnassius nomion mandschuriae* Oberthür f. *octoginta* Kardakoff, 1928, Ent. Mitt. **17**: 267, ♂ Holotype, Süd-Ussuri, Russland, abgebildet pl. 6 fig. 2.

391. *Parnassius nomion ternejana* Kardakoff, 1928, Ent. Mitt. **17**: 268, ♂ Holotype, ♀ Allotype, Ternej-Bucht, Ussuri, Russland, abgebildet pl. 6 fig. 3 ♀, pl. 6 fig. 4 ♂. Synonym von *P. n. mandschuriae* Oberthür.

392. *Parnassius nomion koshoensis* Eisner, 1939 a, Parn. **6**: 39, ♂ Holotype, ♀ Allotype, Kosho, Heianhokudo, Korea, abgebildet **pl. 37 fig. 3** ♂, **pl. 37 fig. 4** ♀.

393. *Parnassius nomion chosensis* Matsumura f. *ocelloalbocentrata* Bryk & Eisner, 1937 g, Parn. **5**: 12, ♂ Holotype, Seishin, Nordost-Korea.

394. *Parnassius nomion chosensis* Matsumura f. *zirpsi* Bryk & Eisner, 1937 g, Parn. **5**: 12, ♂ Holotype, Seishin, Nordost-Korea.

395. *Parnassius nomion alini* Bryk & Eisner, 1937 g, Parn. **5**: 12, ♂ Holotype, ♀ Allotype, Maoreschan, Mandschurei, Russland, abgebildet **pl. 38 fig. 1** ♂, **pl. 38 fig. 2** ♀.

396. *Parnassius nomion chinganensis* (false *chingamensis*) Bryk & Eis-

- ner, 1932 e, Parn. **2**: 26, ♂ Holotype, Buchatu, ♀ Allotype, Gudschal-Tal, Chingan-Montes, Russland, abgebildet **pl. 38 fig. 3** ♂, **pl. 38 fig. 4** ♀.
397. *Parnassius nomion anna* Bryk, 1914 i, Mitt. München. Ent. Ges. **5**: 33, ♂ Holotype, ♀ Allotype, Inn-shan, Mongolei, Russland, ♂ abgebildet **pl. 1 fig. 7**, ♀ abgebildet **pl. 39 fig. 1**.
398. *Parnassius nomion oberthurianus* Bryk, 1914 m, Int. Ent. Zeitschr. **8**: 39, ♂ Holotype, ♀ Allotype, Hoan-yong-shan, China; ♂ ♀ Paratypen und Iconotypen, abgebildet **pl. 39 fig. 2** ♂, **pl. 39 fig. 3** ♀.
399. *Parnassius nomion shansiensis* Eisner, 1955 c, Zool. Meded. **33**: 204 (Parn. nov. vi), ♂ ♀ Paratypen und Iconotypen, Mien-shan, Provinz Shansi, China, abgebildet **pl. 39 fig. 4** ♂, **pl. 40 fig. 1** ♀.
400. *Parnassius nomion tsinlingensis* Bryk & Eisner, 1932 e, Parn. **2**: 26, ♂ Holotype, ♀ Allotype, Schensi, Tapai-shan, China, abgebildet **pl. 40 fig. 2** ♂, **pl. 40 fig. 3** ♀.
401. *Parnassius nomion liupinschani* O. Bang-Haas, 1934 b, Ent. Zeitschr. **48**: 7, ♂ ♀ Paratypen und Iconotypen, Lung, Schensi, China, abgebildet **pl. 40 fig. 4** ♂, **pl. 41 fig. 1** ♀.
402. *Parnassius nomion peilingschani* O. Bang-Haas, 1932, Ent. Zeitschr. **46**: 200, ♀ Paratype und Iconotype, Peiling-shan, Südost-Kansu, China, abgebildet in Bryk, 1935 f, Tierreich **65**: fig. 317.
403. *Parnassius nomion peilingschani* O. Bang-Haas f. *aichelei* Bryk & Eisner (= *niphetodis* n.c.), 1936, Parn. **5**: 14, ♂ Holotype, Fukiang, Peiling-shan, Kansu, China.
404. *Parnassius nomion minchani* Bryk & Eisner, 1932 e, Parn. **2**: 26, ♂ Holotype, ♀ Allotype, Tauho, Min-shan, Kansu, China, abgebildet **pl. 41 fig. 2** ♂, **pl. 41 fig. 3** ♀, ♂ ♀ Paratypen und Iconotypen, abgebildet in Bryk, 1935 f, Tierreich **65**: fig. 316 ♂, fig. 316 a ♀.
405. *Parnassius nomion minschanii* Bryk & Eisner f. *escudei* Bryk & Eisner, 1936, Parn. **5**: 14, ♂ Holotype, Tauho, Min-shan, China.
406. *Parnassius nomion sinchengi* Bryk & Eisner, 1938 a, Parn. **5**: 21, ♂ Holotype, ♀ Allotype, Sincheng, Ost-Siking-shan, China, abgebildet **pl. 41 fig. 4** ♂, **pl. 41 fig. 5** ♀.
407. *Parnassius nomion sinchengi* Bryk & Eisner f. *bifermata* Bryk & Eisner, 1938 a, Parn. **5**: 21, ♂ Holotype, Sincheng, Ost-Siking-shan, China.
408. *Parnassius nomion sinensis* O. Bang-Haas f. *totalbopicta* Bryk & Eisner, 1938 a, Parn. **5**: 22, ♂ Holotype, Tangar, Kansu, China.
409. *Parnassius nomion lussaensis* O. Bang-Haas, 1935 b, Ent. Zeitschr. **48**: 183, ♂ ♀ Paratypen und Iconotypen, Lussa (Lassar?), südl. von Sining, Kuku-nor, China, abgebildet **pl. 41 fig. 6** ♂, **pl. 41 fig. 7** ♀.

410. *Parnassius nomion pax* Bryk & Eisner, 1934 b, Parn. **3**: 27, ♂ Holotype, ♀ Allotype, Weynänpu, Kansu sept., China, ♂♀ Paratypen und Iconotypen abgebildet in Bryk, 1935 f, Tierreich **65**: fig. 318 ♂, fig. 318 a ♀.
411. *Parnassius nomion pax* Bryk & Eisner f. *cubitomaculata* Bryk & Eisner, 1934 b, Parn. **3**: 27, ♀ Holotype, Weynänpu, Kansu sept., China.
412. *Parnassius nomion epaphoides* Bryk & Eisner, 1938 a, Parn. **5**: 23, ♂ Holotype, ♀ Allotype, Ngämen-Kette, Sining-Gebiet, China, abgebildet **pl. 41 fig. 8** ♂, **pl. 42 fig. 1** ♀.
413. *Parnassius nomion richthofeni* O. Bang-Haas f. *subcostatulipicta* Bryk & Eisner, 1938 a, Parn. **5**: 24, ♀ Holotype, Richthofen-Gebirge, w. Liangtschou, China, abgebildet **pl. 42 fig. 2**.
414. *Parnassius nomion richthofeni* O. Bang-Haas f. *ernestinae* Bryk & Eisner, 1938 a, Parn. **5**: 24, ♂ Holotype, Richthofen-Gebirge, w. Liangtschou, China.
415. *Parnassius nomion richthofeni* O. Bang-Haas f. *biexcelsior* Bryk & Eisner, 1938 a, Parn. **5**: 24, ♀ Holotype, Tschaoten, Richthofen-Gebirge, China.
416. *Parnassius nomion badius* O. Bang-Haas, 1938 d, Parn. **6**: 21, ♂ ♀ Paratypen und Iconotypen, Richthofen-Gebirge, 50 km SO. von Liangtschou, China, abgebildet **pl. 42 fig. 3** ♂, **pl. 42 fig. 4** ♀. Vielleicht Synonym von *P. n. richthofeni* O. Bang-Haas.
417. *Parnassius nomion kanchowfuensis* Bryk & Eisner, 1938 a, Parn. **5**: 24, ♂ Holotype, ♀ Allotype, Nashi-Pass, s. Kanchowfu, China, abgebildet **pl. 42 fig. 5** ♂, **pl. 42 fig. 6** ♀.
418. *Parnassius nomion gabrieli* Bryk, 1934 b, Parn. **3**: 28, ♀ Allotype, Nomohun-Pass, Burchan-Buddha-Kette, China, abgebildet in Kotzsch, 1937 a, Parn. **4**: 59, und **pl. 42 fig. 7**.
419. *Parnassius nomion gabrieli* Bryk f. *toticonjuncta* Bryk & Eisner, 1938 a, Parn. **5**: 25, ♂ Holotype, Nomuhun-Pass, Burchan-Buddha-Kette, China, abgebildet **pl. 42 fig. 8**.
420. *Parnassius apollo meinhardi* Sheljuzhko, 1924 a, Zeitschr. Österr. Ent.-Ver. **9**: 57, ♂ ♀ Iconotypen, Omsk, Russland, abgebildet in Bryk, 1935 f, Tierreich **65**: fig. 355 ♂, fig. 355 a ♀.
421. *Parnassius apollo pseudosibiricus* Bryk & Eisner, 1938 b, Parn. **5**: 60, ♂ Holotype, ♀ Allotype, Irkutsk, Sibirien, Russland, abgebildet **pl. 43 fig. 1** ♂, **pl. 43 fig. 2** ♀.
422. *Parnassius apollo sajoticus* Bryk, 1912 a, Soc. Ent. **27**: 11, ♂ Holotype, ♀ Allotype, Arasungol, Sajan-Gebirge, Russland, abgebildet fig. 1 ♂, fig. 2 ♀, und in Bryk, 1935 f, Tierreich **65**: fig. 356 ♂, fig. 356 a ♀.

423. *Parnassius apollo hesebolus* Nordmann, 1851, Bull. Soc. Imp. Nat. Moscou **24**: 425, ♂ ♀ Ideotypen, Mongolei, Russland.
424. *Parnassius apollo merzbacheri* Fruhstorfer f. *graphica* + *ornata* + *marschneri* F. Wagner, 1913, Ent. Mitt. **2**: 29, ♀ Holotype, Ili-Gebiet, Russland, abgebildet fig. 1.
425. *Parnassius apollo merzbacheri* Fruhstorfer f. *fenestrata* Bryk & Eisner, 1938 a, Parn. **5**: 28, ♂ Holotype, Wernyi, Issykul, Russland.
426. *Parnassius apollo merzbacheri* Fruhstorfer f. *analisextincta* Bryk & Eisner, 1938 a, Parn. **5**: 28, ♂ Holotype, Wernyi, Issykul, Russland.
427. *Parnassius apollo merzbacheri* Fruhstorfer f. *phoibogryphos* Bryk, 1912 c, Jahrb. Nassau. Ver. Naturk. **65**: 31, ♂ Holotype, Wernyi, Issykul, Russland.
428. *Parnassius apollo democratus* Krulikowski f. *binocularis* (+ f. *quincunx*) Bryk, 1923 b, Lep. Cat. **24** (27): 83, ♂ Holotype, Jelabuga, Wiatka, Russland, abgebildet in Bryk, 1935 f, Tierreich **65**: fig. 338 (Fundort false Aspromonte, Calabrien).
429. *Parnassius apollo democratus* Krulikowsky f. *inversa* + *bachmetjevi* Ugrjumov, 1914 b, Ent. Zeitschr. **28**: 37, ♀ Holotype, Jelabuga, Wiatka, Russland, abgebildet in Ugrjumov, 1914 a, Ent. Zeitschr. **28**: fig. 11, und in Bryk, 1935 f, Tierreich **65**: fig. 336.
430. *Parnassius apollo moscovitus* Bryk & Eisner, 1938 c, Parn. **6**: 8, ♂ Holotype, ♀ Allotype, Iljinskoje, Gouv. Moskau, Russland, abgebildet pl. **44** fig. 1 ♂, pl. **44** fig. 2 ♀.
431. *Parnassius apollo carelius* Bryk, 1911 b, Berl. Ent. Zeitschr. **55**: 256, ♂ Holotype, ♀ Allotype, Myllykylae, Karelien, Russland, ♀ abgebildet in Bryk, 1915 a, Arch. Naturgesch. **80** (7): pl. 11 fig. 86.
432. *Parnassius apollo carelius* Bryk f. *euclidiana* Bryk, 1911 b, Berl. Ent. Zeitschr. **55**: 261, ♀ Holotype, Myllykylae, Karelien, Russland, abgebildet pl. 3 fig. 8.
433. *Parnassius apollo carelius* Bryk f. *quincunx* Bryk, 1911 a, Soc. Ent. **25**: 98, ♀, Myllykylae, Karelien, Russland, abgebildet p. 97.
434. *Parnassius apollo carelius* Bryk f. *ernestinae* Bryk, 1913 d, Soc. Ent. **28**: 65, ♀ Holotype, Myllykylae, Karelien, Russland, abgebildet in Bryk, 1915 a, Arch. Naturgesch. **80** (7): pl. 10 fig. 85.
435. *Parnassius apollo hoglandicus* Kotzsch, 1937 b, Ent. Zeitschr. **51**: 221, ♂ Holotype, ♀ Allotype, Insel Hogland, Finnland, abgebildet pl. **44** fig. 3 ♂, pl. **44** fig. 4 ♀.
436. *Parnassius apollo finmarchicus* Rothschild f. *pagenstecheri* Bryk, 1911 c, Int. Ent. Zeitschr. **5**: 156, ♂ Holotype, Finnland merid., abgebildet fig. 6.

437. *Parnassius apollo finmarchicus* Rothschild f. *krogerusi* Bryk, 1930 b, Parn. **1** (4): 4, ♂ Holotype, Lojo, Finnland merid., abgebildet fig. 5, und in Bryk, 1935 f, Tierreich **65**: fig. 343.
438. *Parnassius apollo fennoscandicus* Bryk, 1911 c, Int. Ent. Zeitschr. **5**: 156, ♀ Allotype und Ideotype, Föglö, Åland, Finnland, abgebildet in Bryk, 1935 f, Tierreich **65**: fig. 348 a.
439. *Parnassius apollo fennoscandicus* Bryk f. *subtushalteres* Bryk, 1915 b, Arch. Naturgesch. **80** (8): 146, ♂ Holotype, Åland-Inseln, Finnland, abgebildet in Bryk, 1915 c, Arch. Naturgesch. **80** (9): pl. 24 fig. 124.
440. *Parnassius apollo fennoscandicus* Bryk f. *zeta-album* Bryk, 1922 d, Arch. Naturgesch. **87** (10): 236, ♀ Holotype, Åland-Inseln, Finnland.
441. *Parnassius a. apollo* Linné f. *perfusa* Bryk, 1922 d, Arch. Naturgesch. **87** (10): 240, ♂ Holotype, Upland, Schweden, abgebildet fig. 7, und pl. **45** fig. 1.
442. *Parnassius apollo norvegicus* Menthe, 1912, Int. Ent. Zeitschr. **6**: 244, ♀ Lectoholotype, ♂ Lectoallotype, Risör, Norwegen, abgebildet pl. **45** fig. 2 ♂, pl. **45** fig. 3 ♀, ♂ Iconotype, abgebildet in Bryk, 1921, Soc. Ent. **27**: fig. 2 (*P. a. fennoscandicus* Bryk f. *scandinavica* Harcourt).
443. *Parnassius apollo linnei* Bryk, 1913 c, Soc. Ent. **28**: 34, ♂ Holotype, ♀ Allotype, Torsburg, Gotland, Schweden, abgebildet in Bryk, 1935 f, Tierreich **65**: fig. 472 ♂, fig. 472 a ♀.
444. *Parnassius apollo breitfussi* Bryk, 1914 o, Mitt. München. Ent. Ges. **5**: 73, ♂ Holotype, ♀ Allotype, Dneankou, Krim, Russland, ♂ abgebildet pl. 7 fig. 3, ♀ abgebildet pl. **45** fig. 4.
445. *Parnassius apollo tindianus* O. Bang-Haas f. *discocircumcincta* Bryk & Eisner, 1938 d, Parn. **6**: 26, ♂ Holotype, Tindi, Bogos-Montes, Kaukasus, Russland.
446. *Parnassius apollo dubius* Bryk, 1912 c, Jahrb. Nassau. Ver. Naturk. **65**: 24, ♂ Holotype, ♀ Allotype, Kagysman, Süd-Transkaukasien, Türkei, ♀ abgebildet in Bryk, 1914 t, Arch. Naturgesch. **80** (6): pl. 7 fig. 56, ♀ Ideotype abgebildet in Bryk, 1935 f, Tierreich **65**: fig. 367.
447. *Parnassius apollo tirabzonus* Sheljuzhko, 1924 b, Zeitschr. Österr. Ent.-Ver. **9**: 67, ♂ Iconotype, Pontus, Türkei, abgebildet in Eisner, 1955 c, Zool. Meded **33**: pl. 24 fig. 2 (Parn. nov. vi), ♀ Paratype und Iconotype ex coll. Sheljuzhko, Trapezunt, Funduklü, abgebildet in Bryk & Eisner, 1938 d, Parn. **6**: fig. 1.
448. *Parnassius apollo zarathustrae* Bryk, 1914 o, Mitt. München. Ent. Ges. **5**: 72, ♂ Holotype, ♀ Allotype, Malatia, West-Kurdistan, Türkei, ♂ abgebildet pl. 8 fig. 4, ♀ abgebildet in Bryk, 1914 t, Arch. Naturgesch. **80** (6): pl. 7 fig. 55.

449. *Parnassius apollo paphlagonicus* Bryk & Eisner, 1938 d, Parn. **6**: 30, ♂ Holotype, ♀ Allotype, Zintan-Dagh, Paphlagonien, Türkei, ♂ ♀ Paratypen und Iconotypen, Zinob, Paphlagonien, Türkei, abgebildet in Eisner, 1955 c, Zool. Meded. **33**: pl. 24 fig. 5 ♂, pl. 24 fig. 6 ♀ (Parn. nov. vi).
450. *Parnassius apollo tauricus* Bryk & Eisner, 1930 g, Parn. **1** (4): 2, ♂ Holotype, ♀ Allotype, Pisidischer Taurus, Türkei, abgebildet pl. 1 fig. 1 ♂, pl. 1 fig. 2 ♀, ♂ ♀ Paratypen, Pamphilischer Taurus, Türkei, abgebildet pl. 1 fig. 3 ♂, pl. 1 fig. 4 ♀.
451. *Parnassius apollo peroneurus* Bryk, 1915 b, Arch. Naturgesch. **80** (8): 173, ♂ Holotype, ♀ Allotype, Ak-Dagh, Amasia, Türkei, ♀ abgebildet pl. 15 fig. 109, ♂ abgebildet **pl. 46 fig. 1**.
452. *Parnassius apollo grislini* Oberthür, 1891, Etud. Entom. **14**: 6, ♂ ♀, Brussa, Türkei, abgebildet **pl. 46 fig. 2** ♂, **pl. 46 fig. 3** ♀.
453. *Parnassius apollo kosswigi* de Lattin, 1941, Zeitschr. Wien. Ent.-Ver. **26**: 145, ♂ ♀ Ideotypen, Ulu-Dagh, Türkei, abgebildet **pl. 46 fig. 4** ♂, **pl. 47 fig. 1** ♀. Synonym von *P. a. grislini* Oberthür.
454. *Parnassius apollo olympiacus* Kolar, 1934, Int. Ent. Zeitschr. **28**: 368, ♂ Holotype (ex coll. Oberthür, ex coll. Kolar; syntype?), Kalyvia Vrissula, Olymp, Griechenland.
455. *Parnassius apollo albanicus* Bryk & Eisner, 1939 a, Parn. **6**: 34, ♂ Holotype, ♀ Allotype, Tirana, Albanien, abgebildet **pl. 47 fig. 2** ♂, **pl. 47 fig. 3** ♀.
456. *Parnassius apollo macedonicus* Bollow, 1931, Gross-Schmett. **Suppl. 1**: 330, ♂ Iconotype, Rilski-Monastir, Jugoslavien, abgebildet **pl. 47 fig. 4**.
457. *Parnassius apollo hermiston* Fruhstorfer, 1921 d, Ent. Anz. **1**: 89, ♂ ♀ Iconotypen, Kaloferski-Balkan, Bulgarien, abgebildet in Bryk, 1935 f, Tierreich **65**: fig. 371 ♂, fig. 371 a ♀.
458. *Parnassius apollo bosniensis* Stichel f. *fenestrata* Bryk & Eisner, 1939 a, Parn. **6**: 37, ♂ Holotype, Koricna, Jugoslavien.
459. *Parnassius apollo hercegovinensis* Schawerda f. *unianalis* Bryk & Eisner, 1939 a, Parn. **6**: 37, ♂ Holotype, Vucija-barja, Jugoslavien.
460. *Parnassius apollo jaraensis* Kertesz, 1922, Rovart. Lapok **26**: 31, ♂ ♀ Iconotypen, Jaravice, Gyaluer-Alpen, Rumänien, abgebildet in Bryk, 1935 f, Tierreich **65**: fig. 378 ♂, fig. 378 a ♀.
461. *Parnassius apollo djumbirensis* Bryk & Eisner, 1939 d, Parn. **6**: 53, ♂ Holotype, ♀ Allotype, Djumbir-Gebiet, Niedere Tatra, Tschechoslowakei, abgebildet **pl. 48 fig. 1** ♂, **pl. 48 fig. 2** ♀.
462. *Parnassius apollo liptauensis* Peschke & Eisner, 1932, Int. Ent. Zeitschr. **25**: 249, ♂ Holotype, ♀ Allotype, Südabhänge der Liptauer-Alpen, Tschechoslowakei, abgebildet **pl. 48 fig. 3** ♂, **pl. 48 fig. 4** ♀.

463. *Parnassius apollo interversus* Bryk, 1923 b, Lep. Cat. **24** (27): 121, ♀ Holotype, ♂ Allotype, Löwenstein, Vlara-Pass, Weisse Karpathen, Tschechoslowakei, abgebildet **pl. 49 fig. 1** ♀, **pl. 49 fig. 2** ♂.
464. *Parnassius apollo posthumus* Fruhstorfer, 1921 b, Soc. Ent. **36**: 13, ♀ Allotype, Burg a. d. Saale, Saalfeld, Deutschland, abgebildet **pl. 49 fig. 3** ♂, **pl. 49 fig. 4** ♀.
465. *Parnassius apollo silesianus* Marschner, 1909, Berl. Ent. Zeitschr. **54**: 68, ♂ ♀ Topotypen, Libau, Schlesien, Deutschland, abgebildet **pl. 50 fig. 1** ♂, **pl. 50 fig. 2** ♀.
466. *Parnassius apollo friburgensis* Niepelt, 1914 b, Lep. Niep.: 57, ♂ ♀ Ideotypen, Fürstenstein, Waldenbürger-Gebirge, Schlesien, Deutschland, abgebildet **pl. 50 fig. 3** ♂, **pl. 50 fig. 4** ♀.
467. *Parnassius apollo melliculus* Stichel f. *minusculus* Bryk, 1915 b, Arch. Naturgesch. **80** (8): 143, ♀ Holotype, Oberpfalz, Deutschland, abgebildet in Bryk, 1915a, Arch. Naturgesch. **80** (7): pl. 13 fig. 106.
468. *Parnassius apollo melliculus* Stichel f. *ampliusdecora* Eisner, 1957 e, Zool. Meded. **35**: 242 (Parn. nov. xvi), ♀ Holotype, Staffelstein, Bayern, Deutschland.
469. *Parnassius apollo lithographicus* Bryk, 1922 d, Arch. Naturgesch. **87** (10): 236, ♂ Holotype, ♀ Allotype, Solnhofen, Fränkischer Jura, Deutschland, abgebildet fig. 2 ♀, fig. 3 ♂, und in Bryk, 1935 f, Tierreich **65**: fig. 465. Synonym von *P. a. melliculus* Stichel.
470. *Parnassius apollo suevicus* Pagenstecher f. *basimaculata* + *costalis-conjuncta* Eisner, 1955 d, Zool. Meded. **34**: 9 (Parn. nov. vii), ♂ Holotype, Inzigkofen bei Sigmaringen, Deutschland.
471. *Parnassius apollo suevicus* Pagenstecher f. *kailasiophanus* Bryk, 1915 b, Arch. Naturgesch. **80** (8): 148, ♀, Hohenzollern, Deutschland, abgebildet in Bryk, 1914 t, Arch. Naturgesch. **80** (6): pl. 6 fig. 43.
472. *Parnassius apollo suevicus* Pagenstecher f. *lamperti* Bryk, 1912 c, Jahrb. Nassau. Ver. Naturk. **65**: 35, ♂ Holotype, ♀ Allotype, Hohenneufen, Schwäbische Alb, Deutschland, ♂ abgebildet in Bryk, 1914 s, Arch. Naturgesch. **80** (5): pl. 9 fig. 73. Synonym von f. *isabellina* Verity.
473. *Parnassius apollo suevicus* Pagenstecher f. *complexa* Eisner, 1929 b, Int. Ent. Zeitschr. **23**: 11, ♂ Holotype, Blaubeuren, Würtemberg, Deutschland, abgebildet p. 11.
474. *Parnassius apollo phonolithi* Bryk, 1915 c, Arch. Naturgesch. **80** (9): 141, ♂ Holotype, ♀ Allotype, Hohentwiel, Hohenzollern, Deutschland, abgebildet **pl. 51 fig. 1** ♂, **pl. 51 fig. 2** ♀. Synonym von *P. a. marcianus* Pagenstecher.
475. *Parnassius apollo sevensis* Kesenheimer, 1920, Ent. Zeitschr. **34**: 63,

- ♂ Holotype, ♀ Allotype, Sewen, Vogesen, Frankreich, abgebildet fig. 2.
476. *Parnassius apollo nivatus* Fruhstorfer f. **subtusrubrolacrimans** nova = der Verbindungssteg zwischen Flügelbasis und Costalzelle unterseits rot ausgefüllt, ♂ Holotype, Bözingen, Schweizer Jura, abgebildet **pl. 51 fig. 3**.
477. *Parnassius apollo arvernensis* Eisner, 1957 e, Zool. Meded. **35**: 249 (Parn. nov. xvi), ♂ Holotype, ♀ Allotype, Rentières, Puy de Dôme Frankreich, abgebildet in Eisner, 1964 b, Zool. Meded. **40**: pl. 1 fig. 1 ♂, pl. 1 fig. 2 ♀ (Parn. nov. xxxv), ♂ Iconotype, Auvergne, Frankreich, abgebildet in Oberthür, 1913, Etud. Lépidopt. **8**: pl. 205 fig. 1902, als „transition vers lozerae“.
478. *Parnassius apollo arvernensis* Eisner f. *planeixi* Eisner, 1964 b, Zool. Meded. **40**: 26 (Parn. nov. xxxv), ♂ Holotype, ♀ Allotype, Puy de Clergue, Mont-Dore, Frankreich, abgebildet pl. 1 fig. 3 ♂, pl. 1 fig. 4 ♀.
479. *Parnassius apollo buehleri* Eisner, 1956 a, Zool. Meded. **34**: 157 (Parn. nov. viii), ♂ Holotype, ♀ Allotype, Val de Sevraisette, Hautes Alpes, Frankreich, abgebildet pl. 1 fig. 1 ♂, pl. 1 fig. 2 ♀.
480. *Parnassius apollo testoutensis* Eisner, 1957 e, Zool. Meded. **35**: 258 (Parn. nov. xvi), ♂ Holotype, ♀ Allotype, Samoens, Ht. Savoie, Frankreich, abgebildet **pl. 51 fig. 4 ♂**, **pl. 51 fig. 5 ♀**.
481. *Parnassius apollo pyrenaicus* Harcourt-Bath, 1896, Entomologist **29**: 33¹, ♂ Syntype (ex coll. Harcourt-Bath), Barèges, Pyrénées centrales, Frankreich, ♀ Syntype (ex col. Harcourt-Bath), Héas, Pyrénées centrales, Frankreich.
482. *Parnassius apollo pyrenaicus* Harcourt-Bath f. *diaphana* Bryk, 1913a, Soc. Ent. **28**: 10, ♀ Holotype, Ht. Pyrénées, Frankreich, abgebildet fig. 2.
483. *Parnassius apollo martensi* Eisner, 1956 a, Zool. Meded. **34**: 166 (Parn. nov. viii), ♂ Holotype, ♀ Allotype, Berge zwischen Burgos und Miranda, Spanien, abgebildet pl. 2 fig. 1 ♂, pl. 2 fig. 2 ♀.
484. *Parnassius apollo ardazani* Fernandez, 1926, Bol. R. Soc. Esp. Hist. Nat. **26**: 176, ♂ ♀ Iconotypen, Pena Lara, Spanien, abgebildet in Bryk, 1935 f, Tierreich **65**: fig. 452 ♂, fig. 452 a ♀.
485. *Parnassius apollo kricheldorfii* Eisner, 1928 b, Int. Ent. Zeitschr. **22**: 309, ♂ Holotype, ♀ Allotype, Picos de Europa, Asturien, Spanien, abgebildet fig. 1 ♂, fig. 2 ♀. Synonym von *P. apollo ardazani* Fernandez.
486. *Parnassius apollo kricheldorfii* Eisner f. *nigrociliata* Eisner, 1928 b, Int. Ent. Zeitschr. **22**: 311, ♂ Holotype, Picos de Europa, Asturien, Spanien.
487. *Parnassius apollo aragonicus* Bryk, 1914 e, Soc. Ent. **29**: 28, ♂ Holotype, ♀ Allotype, Pena de Uruel, Alta Aragonia, Spanien, abgebildet fig. 1 ♂, fig. 2 ♀, und in Bryk, 1935 f, Tierreich **65**: fig. 451 ♂, fig. 451 a ♀.

488. *Parnassius apollo laufferi* Bryk, 1923 c, Soc. Ent. **38**: 29, ♂ Holotype, ♀ Allotype, Sierra del Moncayo, Spanien, ♂ abgebildet fig. 1, ♀ abgebildet **pl. 51 fig. 6**.
489. *Parnassius apollo laufferi* Bryk f. *minuscula* (n.c.), ♀, Sierra del Muncayo, Spanien, abgebildet **pl. 52 fig. 1**.
490. *Parnassius apollo salevianus* Bryk, 1912 c, Jahrb. Nassau. Ver. Naturk. **65**: 27, ♂ Holotype, ♀ Lectoallotype, Mt. Salève bei Genève, Schweiz, abgebildet **pl. 52 fig. 2** ♂, **pl. 52 fig. 3** ♀.
491. *Parnassius apollo geminus* Stichel f. **posteriormarginalis** nova = Marginale im Hinterflügel des ♂ erhalten, ♂ Holotype, Wengen, Berner Oberland, Schweiz, abgebildet **pl. 52 fig. 4**.
492. *Parnassius apollo sotirion* Fruhstorfer, 1923, Ent. Anz. **3**: 56, ♂ Iconotype, Rigi, Schweiz, ♀ Iconotype, Pilatus, Schweiz, abgebildet in Eisner, 1956 a, Zool. Meded. **34**: pl. 1 fig. 3 ♂, pl. 1 fig. 4 ♀ (Parn. nov. viii).
493. *Parnassius apollo helias* Fruhstorfer, 1923, Ent. Anz. **3**: 55, ♂ Iconotype, Sentiser-See, Alpsteingebirge, Schweiz, ♀ Iconotype, Säntis, Ebenalp, Appenzell, Schweiz, abgebildet in Eisner, 1956 a, Zool. Meded. **34**: pl. 1 fig. 4 ♂, pl. 1 fig. 5 ♀ (Parn. nov. viii).
494. *Parnassius apollo bartholomaeulus* Bryk in Staudinger, 1912, Lep. Liste **56**: 4, ♂ Holotype, Glarus, Schweiz. Synonym von *P. a. tenebrosus* Fruhstorfer.
495. *Parnassius apollo redivivus* Bryk, 1912 c, Jahrb. Nassau. Ver. Naturk. **65**: 30, ♂ Lectoholotype, ♀ Lectoallotype, Macugnana, Schweiz, abgebildet **pl. 52 fig. 5** ♂, **pl. 53 fig. 1** ♀.
496. *Parnassius apollo redivivus* Bryk f. *dextra-subtus-rubro-axillaris* Eisner, 1956 b, Zool. Meded. **34**: 215 (Parn. nov. ix), ♂ Holotype, Gressoney, Piemont, Schweiz.
497. *Parnassius apollo nobilis* Bryk & Eisner, 1929 a, Soc. Ent. **44**: 27, ♂ Holotype, ♀ Allotype, Denti di Gavala bei Scopa, Val Sesia, Piemont, Italien, abgebildet **pl. 53 fig. 2** ♂, **pl. 53 fig. 3** ♀, ♂ Paratype und Iconotype, abgebildet in Bryk, 1935 f, Tierreich **65**: fig. 435.
498. *Parnassius apollo nobilis* Bryk & Eisner f. *reniformis* (n.c.), ♀, Denti di Gavala bei Scopa, Val Sesia, Piemont, Italien, abgebildet in Bryk, 1935 f, Tierreich **65**: fig. 340.
499. *Parnassius apollo civis* Turati f. *posteriorlatesubmarginalis* (n.c.) Eisner, 1956 b, Zool. Meded. **34**: 218 (Parn. nov. ix), ♀ Holotype, Mt. Autore, Mt. Sabini (false Sibillini), Italien.
500. *Parnassius apollo metaensis* Eisner, 1959 c, Zool. Meded. **36**: 247 (Parn. nov. xxv), ♂ Holotype, ♀ Allotype, Le Mainarde-montes, La Meta-Gebiet, Italien, abgebildet **pl. 53 fig. 4** ♀, **pl. 54 fig. 1** ♂.

501. *Parnassius apollo bergamaskensis* Eisner, 1958 b, Zool. Meded. **36**: 5 (Parn. nov. xix), ♂ Holotype, ♀ Allotype, Col d'Aprica, Bergmasker-Alpen, Italien, abgebildet **pl. 54 fig. 2** ♂, **pl. 54 fig. 3** ♀.
502. *Parnassius apollo tonaleensis* Bryk, 1921 d, Ent. Tidskr. **42**: 117, ♂ Holotype, ♀ Allotype, Tonale-Pass, Adamello-Alpen, Italien, abgebildet **pl. 54 fig. 4** ♂, **pl. 55 fig. 1** ♀.
503. *Parnassius apollo tonaleensis* Bryk f. *kitti* Bryk, 1921 d, Ent. Tidskr. **42**: 117, ♂ Holotype, Tonale-Pass, Adamello-Alpen, Italien, abgebildet **pl. 55 fig. 2**.
504. *Parnassius apollo rubidus* Fruhstorfer f. *escudei* + *dentata* (n.c.) extrem, ♂, Eisack-Tal, Italien, abgebildet in Bryk, 1935 f, Tierreich **65**: fig. 335.
505. *Parnassius apollo rubidus* Fruhstorfer f. *sublacrimans* Bryk, 1913 d, Soc. Ent. **28**: 66, ♀ Paratype, Eisack-Tal, Italien, abgebildet in Bryk, 1935 f, Tierreich **65**: fig. 342.
506. *Parnassius apollo rubidus* Fruhstorfer f. *unicostalis* + *nigroocellata* (n.c.), ♂, Eisack-Tal, Italien, abgebildet **pl. 55 fig. 3**.
507. *Parnassius apollo altitudinis* Bryk, 1921 d, Ent. Tidskr. **42**: 119, ♂ Holotype, ♀ Allotype, Pieve di Livinalungo, Dolomiten, Italien, abgebildet **pl. 55 fig. 4** ♂, **pl. 56 fig. 1** ♀. Synonym von *P. apollo agyieus* Fruhstorfer.
508. *Parnassius apollo bellingi* Bryk & Eisner, 1931 e, Parn. **1** (6): 5, ♀ Allotype, ♂ Paratype, Cortina, Dolomiten, Italien, abgebildet **pl. 56 fig. 2** ♂, **pl. 56 fig. 3** ♀. Siehe auch *P. apollo altitudinis* Bryk & Eisner, in Eisner, 1929 a, Ent. Rundschau **46**: 5.
509. *Parnassius apollo wenzeli* Bryk, 1921 d, Ent. Tidskr. **42**: 117, ♂ Holotype, ♀ Allotype, Patsch, Wipptal, Tirol, Österreich, abgebildet **pl. 56 fig. 4** ♂, **pl. 57 fig. 1** ♀.
510. *Parnassius apollo wenzeli* Bryk f. *nox* Bryk, 1921 d, Ent. Tidskr. **42**: 118, ♀ Holotype, Patsch, Tirol, Österreich, abgebildet **pl. 57 fig. 2**.
511. *Parnassius apollo alemannicus* Fruhstorfer f. *argentifera* Eisner, 1956 d, Zool. Meded. **34**: 261 (Parn. nov. xi), ♂ Holotype, Staufen, Allgäu, Deutschland, abgebildet **pl. 57 fig. 3**.
512. *Parnassius apollo juvarus* Kolar f. *bryki* Schawerda, 1921, Zeitschr. Österr. Ent.-Ver. **6**: 1, ♂, Umgebung Golling, Bayern, Deutschland, abgebildet **pl. 57 fig. 4**.
513. *Parnassius apollo juvarus* Kolar f. *excostalis* + *quincunx* + *nigroocellata* + trs. *ocelloextincta* (n.c.), ♂, St. Nikolan bei Golling, Bayern, Deutschland, abgebildet **pl. 58 fig. 1**.
514. *Parnassius apollo noricanus* Kolar, 1922, Ent. Anz. **2**: 42, ♂ Holo-

type, ♀ Allotype (ex coll. Oberthür, ex coll. Kolar), Mauterndorf, Lungau, Österreich, abgebildet **pl. 58 fig. fig. 2 ♂, pl. 58 fig. 3 ♀.**

515. *Parnassius apollo marcomannus* Kammel, 1919, Zeitschr. Österr. Ent.-Ver. **4**: 2, ♂ Holotype, ♀ Allotype (ex coll. Oberthür, ex coll. Kammel), Drosendorf, Thayatal, Österreich, abgebildet fig. 1 ♂, fig. 3 ♀; fig. 4 dunkle Form ♀.

516. *Parnassius apollo eubohemicus* Bryk & Eisner, 1930 c, Mitt. Dtsch. Ent. Ges. **1**: 37, ♂ Holotype, Prahatitz, Böhmen, Tschechoslowakei, abgebildet **pl. 58 fig. 4 ♀, pl. 59 fig. 1 ♂.**

517. *Parnassius apollo brittingeri* Rebel & Rogenhofer f. *melahyalina* Stauder, 1924, Dtsch. Ent. Zeitschr. **1924**: 14, ♂, Goisern, Österreich, abgebildet in Bryk, 1935 f, Tierreich **65**: fig. 344 (patria falsa!).

518. *Parnassius apollo imperialis* Bryk, 1917, Arch. Naturgesch. **82** (5): 71, ♂ Holotype, Karzer-Wand bei Guggenbach, Österreich, ♀ Allotype, Steiermark, Österreich, abgebildet **pl. 59 fig. 2 ♂, pl. 59 fig. 3 ♀.**

519. *Parnassius apollo badelensis* Lax, 1925 a, Ent. Zeitschr. **39**: 102, ♂ ♀ Paratypen, Badelgraben bei Graz, Österreich, abgebildet **pl. 59 fig. 4 ♀, pl. 59 fig. 5 ♂**. Synonym von *P. a. imperialis* Bryk.

520. *Parnassius apollo carinthicus* Stichel f. *trachomophthalma* Bryk, 1913 d, Soc. Ent. **28**: 66, ♂ Holotype, Friesach, Kärnten, Österreich.

521. *Parnassius apollo transitoria* Eisner, 1958 b, Zool. Meded. **36**: 26 (Parn. nov. xix), ♂ Holotype, ♀ Allotype, Plöcken-Pass, Karawanken, Österreich, abgebildet **pl. 60 fig. 1 ♂, pl. 60 fig. 2 ♀.**

522. *Parnassius apollo friulanus* Eisner, 1958 b, Zool. Meded. **36**: 28 (Parn. nov. xix), ♂ Holotype, ♀ Allotype, Forni Avoltri, Friaulische Alpen, Italien, abgebildet **pl. 60 fig. 3 ♀, pl. 60 fig. 4 ♂.**

523. *Parnassius apollo friulanus* Eisner f. *dentata* (n.c.) extrem, ♂, Gemona, Italien, abgebildet **pl. 61 fig. 1.**

524. *Parnassius apollo leimdoerfferi* Bryk, 1935 f, Tierreich **65**: 450, ♀ Paratype, Fiume, Jugoslavien, ♂ Ideotype, "Küstenland", Jugoslavien, beide Iconotypen, abgebildet **pl. 61 fig. 2 ♂, pl. 61 fig. 3 ♀.**

525. *Parnassius apollo julianus* Stauder, 1922, Ent. Anz. **2**: 135, ♂ Holotype, ♀ Allotype, Trenta-Gebiet, Julianische Alpen, Italien, abgebildet in Stauder, 1921, Zeitschr. Ins.-Biol. **16**: fig. 1 ♂, fig. 2 ♀.

526. *Parnassius apollo mangartiensis* Kolar, 1942, Zeitschr. Wien. Ent.-Ver. **27**: 125, ♂ ♀ Paratypen, Mangart, Jugoslavien, abgebildet **pl. 61 fig. 4 ♂, pl. 62 fig. 1 ♀.**

527. *Lingamius hardwickei pundjabensis* O. Bang-Haas, 1934 b, Ent. Zeitsch. **48**: 8, ♂ ♀ Paratypen und Iconotypen, Berg Kufri bei Simla, In-

dien, abgebildet **pl. 62 fig. 2** ♂, **pl. 62 fig. 3** ♀. Synonym von *L. h. hardwickei* J. E. Gray.

528. *Lingamius h. hardwickei* J. E. Gray f. *grundi* Eisner, 1958 d, Zool. Meded. **36**: 84 (Parn. nov. xxi), ♂ Holotype, Badrinath, Gharwal, Indien.

529. *Lingamius h. hardwickei* J. E. Gray f. *tripicta* + *rubroanalis* Eisner, 1958 d, Zool. Meded. **36**: 84 (Parn. nov. xxi), ♂ Holotype, Dhaulagiri, Nepal.

530. *Lingamius h. hardwickei* J. E. Gray f. *inpicta* Bryk & Eisner, 1931 b, Parn. **1** (5): 4, ♂ Holotype, Dhaulagiri, Nepal.

531. *Lingamius h. hardwickei* J. E. Gray f. *fasciata* + *ampliusanalis* Eisner, 1958 d, Zool. Meded. **36**: 85 (Parn. nov. xxi), ♂ Holotype, Deosai, Baltistan, Indien.

532. *Lingamius h. hardwickei* J. E. Gray f. *quadripicta* Eisner, 1958 d, Zool. Meded. **36**: 85 (Parn. nov. xxi), ♀ Holotype, Zogila-Pas, Kaschmir, Indien.

533. *Lingamius h. hardwickei* J. E. Gray f. *grundi* + *escudei* + *analischconjuncta* Eisner, 1958 d, Zool. Meded. **36**: 85 (Parn. nov. xxi), ♂ Paratype, Mt. Hathu, Simla-Hills, Indien, abgebildet **pl. 62 fig. 4**.

534. *Lingamius h. hardwickei* J. E. Gray f. *natuposterior* O. Bang-Haas, 1927, Horae Macrolep. **1**: 35, generatio autumnalis, ♂ ♀ Ideotypen, ♀ Iconotype, Simla-Hills, Indien, abgebildet **pl. 62 fig. 5** ♂, **pl. 62 fig. 6** ♀.

535. *Lingamius h. hardwickei* J. E. Gray f. *correcta* Bryk, 1932 b, Parn. **2**: 21, generatio vernalis, ♂ Paratype, ♀ Ideotype und Iconotype, Narkanda bei Simla, Indien, abgebildet **pl. 62 fig. 7** ♂, **pl. 62 fig. 8** ♀.

536. *Lingamius hardwickei baltistani* O. Bang-Haas, 1934 b, Ent. Zeitschr. **48**: 8, ♂ ♀ Paratypen und Iconotypen, Kapalu, Baltistan, Indien, abgebildet **pl. 63 fig. 1** ♂, **pl. 63 fig. 2** ♀.

537. *Lingamius hardwickei doubounniensis* Eisner, 1958 d, Zool. Meded. **36**: 88 (Parn. nov. xxi), ♀ Holotype, ♂ Allotype, Doubounni-montes, Dardistan, Indien, abgebildet **pl. 63 fig. 3** ♂, **pl. 63 fig. 4** ♀.

538. *Lingamius hardwickei albicans* Fruhstorfer, 1898, Iris **12**: 147, ♂ ♀ (typisch), Sikkim, Indien, abgebildet **pl. 63 fig. 5** ♂, **pl. 63 fig. 6** ♀.

539. *Lingamius hardwickei albicans* Fruhstorfer, generatio aestivalis *viridicans* (Regenzeitform) Fruhstorfer, 1909, Gross-Schmett. **9**: 111, ♂ ♀ (typisch), Sikkim, Indien, abgebildet **pl. 63 fig. 7** ♂ **pl. 63 fig. 8** ♀.

540. *Lingamius hardwickei albicans* Fruhstorfer, generatio aestivalis *viridicans* Fruhstorfer f. *halteres* Eisner, 1958 d, Zool. Meded. **36**: 89 (Parn. nov. xxi), ♀ Holotype, Gnatong, Sikkim, Indien.

541. *Lingamius hardwickei albicans* Fruhstorfer, generatio aestivalis *viridicans* Fruhstorfer f. *tripicta* + *fasciata* + *ocelloconjuncta* + *ampliusrubro-*

analisis Eisner, 1958 d, Zool. Meded. **36**: 90 (Parn. nov. xxi), ♂ Holotype, Donkia-Pass, Sikkim, Indien.

542. *Koramius s. szechenyi* Frivaldszky (1886, Termész. Füzetek **10**: 39) f. *interpunctata* Bryk, 1912 m, Soc. Ent. **27**: 101, ♂ Holotype, Amdo, China, abgebildet in Bryk, 1915 a, Arch. Naturgesch. **80** (7): pl. 13 fig. 105.

543. *Koramius szechenyi lethe* Bryk & Eisner, 1931 j, Parn. **1** (7-8): 8, ♂ Holotype, ♀ Allotype, Burchan-Buddha-Kette, China, abgebildet fig. 8 ♂, fig. 9 ♀, und in Bryk, 1935 f, Tierreich **65**: fig. 493.

544. *Koramius szechenyi eros* Bryk & Eisner, 1934 b, Parn. **3**: 26, ♂ Holotype, ♀ Allotype, Weynänpu, Kansu sept., China, abgebildet fig. 7 ♂, fig. 8 ♀, und in Bryk, 1935 f, Tierreich **65**: fig. 494 ♂, fig. 494 a ♀.

545. *Koramius szechenyi kansuensis* Bryk & Eisner, 1931 j, Parn. **1** (7-8): 7, ♂ Holotype, ♀ Allotype, Tatung-montes, Kansu, China, abgebildet fig. 6 ♂, fig. 7 ♀, und in Bryk, 1935 f, Tierreich **65**: fig. 492 ♂, fig. 492 a ♀.

546. *Koramius szechenyi kansuensis* Bryk & Eisner f. *tripicta* Bryk & Eisner, 1931 j, Parn. **1** (7-8): 7, ♂ Holotype, ♀ Allotype, Tatung-montes, Kansu, China.

547. *Koramius szechenyi kansuensis* Bryk & Eisner f. *verorubrosubmarginata* Eisner, 1958 d, Zool. Meded. **36**: 93 (Parn. nov. xxi), ♂ Holotype, Tatung-montes, Kansu, China.

548. *Koramius szechenyi kansuensis* Bryk & Eisner f. *biexcelsior* (+ f. *tripicta* + f. *ocelloconjuncta* n.c.), Eisner, 1958 d, Zool. Meded. **36**: 93 (Parn. nov. xxi), ♀ Holotype, Tatung-montes, Kansu, China.

549. *Koramius szechenyi luminosa* O. Bang-Haas, 1938 d, Parn. **6**: 21, ♂ ♀ Paratypen und Iconotypen, 50 km SW. von Liangtschou, Kansu, China, abgebildet **pl. 63 fig. 9 ♂, pl. 63 fig. 10 ♀**.

550. *Koramius szechenyi arnoldiana* O. Bang Haas, 1938 a, Parn. **5**: 57, ♂ ♀ Paratypen und Iconotypen, Pullow-montes, Minshan, Kansu, China, abgebildet **pl. 64 fig. 1 ♂, pl. 64 fig. 2 ♀**.

551. *Koramius szechenyi elvi* Bryk, 1938 g, Parn. **6**: 3, ♂ Paratype und Iconotype, A-tun-tse, Yunnan sept., China, abgebildet **pl. 64 fig. 3**.

552. *Koramius szechenyi katares* Bryk, 1943, Mitt. München. Ent. Ges. **33**: 31, ♂ ♀ Paratypen und Iconotypen, Batang, Alpine Zone, China, abgebildet **pl. 64 fig. 4 ♂, pl. 64 fig. 5 ♀**.

553. *Koramius szechenyi fenzeli* Bryk, 1938 g, Parn. **6**: 4, ♂ Paratype und Iconotype, Rini-Keka-Pass, Tsinghai, China, ♀ Iconotype, Mania-Hotschouriver, China, abgebildet **pl. 64 fig. 6 ♂, pl. 64 fig. 7 ♀**.

554. *Koramius c. cephalus* Grum Grshimailo f. *nigricans-grundi* Eisner,

- 1958 d, Zool. Meded **36**: 98 (Parn. nov. xxi), ♀ Holotype, Houtchouhsien, Kansu, China, abgebildet **pl. 64 fig. 8**.
555. *Koramius c. cephalus* Grum Grshimailo f. *quadripicta* Bryk & Eisner, 1934 b, Parn. **3**: 24, ♀ Holotype, Weynänpu, Kansu, China.
556. *Koramius c. cephalus* Grum Grshimailo f. *quinquepicta* Bryk & Eisner, 1934 b, Parn. **3**: 24, ♂ Holotype, Weynänpu, Kansu, China.
557. *Koramius c. cephalus* Grum Grshimailo f. *nigroocellata* Bryk & Eisner, 1934 b, Parn. **3**: 24, ♂ Holotype, Weynänpu, Kansu, China.
558. *Koramius c. cephalus* Grum Grshimailo f. *quincunx* Eisner, 1958 d, Zool. Meded **36**: 98 (Parn. nov. xxi), ♂ Holotype, Nordabhänge östl. Liangschoufou, Kansu, China.
559. *Koramius c. cephalus* Grum Grshimailo f. *ernestinae* Eisner, 1958 d, Zool. Meded. **36**: 98 (Parn. nov. xxi), ♂ Holotype, Heitsuitse, Kansu, China.
560. *Koramius cephalus eierhoffi* O. Bang-Haas, 1938 d, Parn. **6**: 21, ♂ ♀ Paratypen und Iconotypen, 50 km SW. von Liangtschou, Kansu, China, abgebildet **pl. 65 fig. 1 ♂**, **pl. 65 fig. 2 ♀**.
561. *Koramius cephalus ares* Bryk & Eisner, 1934 b, Parn. **3**: 25, ♂ Holotype, ♀ Allotype, Süd-Tatungsche-Berge, Kansu, China, abgebildet **pl. 65 fig. 3 ♂**, **pl. 65 fig. 4 ♀**.
562. *Koramius cephalus ares* Bryk & Eisner f. *aperta* Bryk & Eisner, 1932 j, Parn. **2**: 45, ♂ Holotype, ♀ Allotype, Süd-Tatungsche-Berge, Kansu, China, ♂ abgebildet fig. 2.
563. *Koramius cephalus ares* Bryk & Eisner f. *fermata* Bryk & Eisner, 1932 j, Parn. **2**: 44, ♂ Holotype, Süd-Tatungsche-Berge, Kansu, China.
564. *Koramius cephalus ares* Bryk & Eisner f. *inpicta* Bryk & Eisner, 1932 j, Parn. **2**: 44, ♂ Holotype, ♀ Allotype, Süd-Tatungsche-Berge, Kansu, China.
565. *Koramius cephalus ares* Bryk & Eisner f. *semicaeca* (= *costalis-nigrocellata* n.c.) Bryk & Eisner, 1932 j, Parn. **2**: 45, ♂ Holotype, ♀ Allotype, Süd-Tatungsche-Berge, Kansu, China.
566. *Koramius cephalus ares* f. *ampliusocellata* Bryk & Eisner, 1932 j, Parn. **2**: 45, ♂ Holotype, ♀ Allotype, Süd-Tatungsche-Berge, Kansu, China.
567. *Koramius cephalus ares* Bryk & Eisner f. *nigrociliata* Bryk & Eisner, 1932 j, Parn. **2**: 45, ♀ Holotype, Süd-Tatungsche-Berge, Kansu, China.
568. *Koramius cephalus ares* Bryk & Eisner f. *ocelloconjuncta* Bryk & Eisner, 1932 j, Parn. **2**: 45, ♂ Holotype, Süd-Tatungsche-Berge, Kansu, China.
569. *Koramius cephalus ares* Bryk & Eisner f. *tripicta* Bryk & Eisner, 1932 j, Parn. **2**: 45, ♀ Holotype, Süd-Tatungsche-Berge, Kansu, China.

570. *Koramius cephalus ares* Bryk & Eisner f. **cellopura** nova = Discus des Vorderflügels ohne Mittelzellfleck, ♂ Holotype, Süd-Tatungsche-Berge, Kansu, China, abgebildet **pl. 65 fig. 5**.

571. *Koramius cephalus irene* Bryk & Eisner, 1937 b, Parn. **4**: 58, ♂ Holotype, ♀ Allotype, Nomohun-Pass, Burchan-Buddha-Kette, China, abgebildet **pl. 65 fig. 6 ♂**, **pl. 65 fig. 7 ♀**.

572. *Koramius cephalus sengei* O. Bang-Haas, 1938 a, Parn. **5**: 58, ♂ ♀ Paratypen und Iconotypen, Pullow-montes, Minshan, China, abgebildet **pl. 65 fig. 8 ♂**, **pl. 66 fig. 1 ♀**.

573. *Koramius cephalus gehleni* Eisner, 1932 c, Parn. **2**: 16, ♂ Holotype, ♀ Allotype, Watusi-Pass, Alpen von Tatsienlou, Szetschwan, China, abgebildet fig. 1 ♂, fig. 2 ♀, und in Bryk, 1935 f, Tierreich **65**: fig. 506 ♂, fig. 506 a ♀.

574. *Koramius cephalus gehleni* f. *nigricans* Bryk & Eisner, 1932 j, Parn. **2**: 45, ♀ Holotype, Watusi-Pass, Szetschwan, China.

575. *Koramius cephalus capitalis* Bryk & Eisner, 1935 b, Parn. **3**: 63, ♂ Holotype, Sunpanting, Szetschwan, China, abgebildet fig. 5.

576. *Koramius cephalus maharaja* Avinoff f. *flavoocellata* O. Bang-Haas, 1933 b, Ent. Zeitschr. **47**: 91, ♂ Ideotype, Tagalang-Pass, Rupshu, Indien, abgebildet in Bryk, 1935 f, Tierreich **65**: fig. 611.

577. *Koramius cephalus maharaja* Avinoff f. *ocelloextincta* Eisner, 1958 d, Zool. Meded. **36**: 102 (Parn. nov. xxi), ♂ Holotype, Tagalang-Pass, Rupshu, Indien, abgebildet **pl. 66 fig. 2**.

578. *Koramius cephalus maharaja* Avinoff f. *fasciata* + *ocelloconjuncta* + *analischconjuncta* Eisner, 1958 d, Zool. Meded. **36**: 102 (Parn. nov. xxi), ♀ Holotype, Tagalang-Pass, Rupshu, Indien, abgebildet **pl. 66 fig. 3**.

579. *Koramius p. patricius* Niepelt, 1914 a, Lep. Niep.: 56, ♀ Holotype, Tianschan-Gebirge, Turkestan, ♂ Allotype (ex coll. Bang-Haas, ex coll. Niepelt), Narynsk, Turkestan, Russland, ♀ abgebildet pl. 7 fig. 2, ♂ abgebildet **pl. 66 fig. 4**.

580. *Koramius priamus kardakoffi* Bryk & Eisner, 1930 b, Mitt. Dtsch. Ent. Ges. **1**: 8, ♂ Holotype, ♀ Allotype, Kungei-Ala-Tau, Turkestan, Russland, abgebildet fig. 1 ♂, fig. 2 ♀, und in Bryk, 1935 f, Tierreich **65**: fig. 516.

581. *Koramius priamus kardakoffi* Bryk & Eisner f. *binaria* Bryk & Eisner, 1930 b, Mitt. Dtsch. Ent. Ges. **1**: 7, ♀ Holotype, Kungei-Ala-Tau, Turkestan, Russland.

582. *Koramius acdestis vogti* O. Bang-Haas, 1938 a, Parn. **5**: 58, ♂ ♀ Paratypen und Iconotypen, Pullow-montes, Minshan, China, abgebildet **pl. 66 fig. 5 ♂**, **pl. 66 fig. 6 ♀**.

583. *Koramius acdestis lathonius* Bryk, 1913 f, Arch. Naturgesch. **79** (6):

- 123, ♂ Ideotype, Gyantse, Thibet mer., abgebildet in Bryk, 1935 f, Tierreich **65**: fig. 530.
584. *Koramius acdestis lathonius* Bryk f. *excelsior* Eisner, 1958 d, Zool. Meded. **36**: 109 (Parn. nov. xxi), ♀ Allotype, Khangma, Thibet mer.
585. *Koramius acdestis macdonaldi* Rothschild f. *excelsior* Eisner, 1958 d, Zool. Meded. **36**: 110 (Parn. nov. xxi), ♂ Holotype, Yatung, Thibet.
586. *Koramius acdestis peschkei* Eisner, 1933, Entomologist **66**: 169, ♂ Holotype, ♀ Allotype, Sa Songa, Baltistan, Indien, ♂ abgebildet **pl. 66** **fig. 7**, ♀ abgebildet in Bryk, 1935 f, Tierreich **65**: fig. 532.
587. *Koramius delphinius pulchra* Eisner, 1939 e, Parn. **6**: 58, ♀ Holotype, ♂ Allotype, Kungei-Ala-Tau, Turkestan, Russland, abgebildet **pl. 66** **fig. 8** ♂, **pl. 67** **fig. 1** ♀.
588. *Koramius delphinius pulchra* Eisner f. *alboocellata* Eisner, 1939 e, Parn. **6**: 58, ♂ Holotype, Kungei-Ala-Tau, Turkestan, Russland, abgebildet **pl. 67** **fig. 2**.
589. *Koramius delphinius pulchra* Eisner f. *albocentrata* Eisner, 1939 e, Parn. **6**: 58, ♂ Holotype, Kungei-Ala-Tau, Turkestan, Russland, abgebildet **pl. 67** **fig. 3**.
590. *Koramius delphinius pulchra* Eisner f. *ornata* Eisner, 1939 e, Parn. **6**: 58, ♀ Holotype, Kungei-Ala-Tau, Turkestan, Russland.
591. *Koramius delphinius pulchra* f. *nigroocellata* (n.c.) (= f. *nox* Niepelt), ♂, Kungei-Ala-Tau, Russland, abgebildet **pl. 67** **fig. 4**.
592. *Koramius delphinius karaschahrica* O. Bang-Haas, 1915 b, Iris **29**: 159, ♀ Paratype und Iconotype, Karaschahr, Kutschamontes, Turkestan, Russland, abgebildet **pl. 67** **fig. 5**.
593. *Koramius delphinius albulus* Honrath f. *rollei* Eisner (Huwe i.l.), 1958 e, Zool. Meded. **36**: 134 (Parn. nov. xxii), ♂ Holotype, Narynsk, Turkestan, Russland, abgebildet **pl. 67** **fig. 6**.
594. *Koramius delphinius albulus* Honrath f. *rollei* + *ornata* Eisner, 1958 e, Zool. Meded. **36**: 134 (Parn. nov. xxii), ♀ Holotype, Narynsk, Turkestan, Russland.
595. *Koramius delphinius albulus* Honrath f. *rubropicta* Huwe, 1905, Ent. Zeitschr. **49**: 323, ♂ Holotype, ♀ Allotype, Narynsk, Turkestan, Russland.
596. *Koramius delphinius albulus* Honrath f. *analisalbopupillata* Eisner, 1958 e, Zool. Meded. **36**: 134 (Parn. nov. xxii), ♀ Holotype, Narynsk, Turkestan, Russland, abgebildet **pl. 67** **fig. 7** ♂, **pl. 67** **fig. 8** ♀.
597. *Koramius delphinius albulus* Honrath f. *ernestinae* Eisner, 1958 e, Zool. Meded. **36**: 134 (Parn. nov. xxii), ♂ Holotype, ♀ Allotype, Narynsk, Turkestan, Russland, abgebildet **pl. 67** **fig. 7** ♂, **pl. 67** **fig. 8** ♀.
598. *Koramius delphinius kasakstana* O. Bang-Haas, 1933 a, Ent. Zeitschr.

46: 262, ♂ ♀ Paratypen und Iconotypen, Ala-Tau-Gebirge am Fluss Djebagly-su, Kasakstan, Russland, abgebildet in Bryk, 1935 f, Tierreich 65: fig. 545.

599. *Koramius delphius kasaksiana* O. Bang-Haas f. *costalis-extincta* Eisner, 1958 e, Zool. Meded. 36: 136 (Parn. nov. xxii), ♂ Holotype, Korum-Ketzur, Kasakstan, Russland.

600. *Koramius delphius infernalis* Elwes f. *arcadica* Bryk, 1913 g, Soc. Ent. 28: 95, ♀ Holotype, Alai, Fergana, Russland, abgebildet in Bryk, 1913 h, Soc. Ent. 28: fig. 3, und in Bryk, 1935 f, Tierreich 65: fig. 542 (false *K.d. interjectus* Verity in coll. O. Bang-Haas), ♂ Allotype, Fergana, Russland; siehe Eisner, 1958 e, Zool. Meded. 36: 138 (Parn. nov. xxii).

601. *Koramius delphius infernalis* Elwes f. *binaria* Eisner, 1958 e, Zool. Meded. 36: 138 (Parn. nov. xxii), ♂ Holotype, Alai, Fergana, Russland.

602. *Koramius delphius interjectus* Verity f. *nordmanniides* Bryk, 1914 e, Soc. Ent. 29: 24, ♂ Holotype, Isfiran, Alai, Fergana, Russland, abgebildet fig. 2.

603. *Koramius delphius interjectus* Verity f. *unaria* Eisner, 1958 e, Zool. Meded. 36: 139 (Parn. nov. xxii), ♀ Holotype, Kysyl-Art-Pass, Transalai, Russland.

604. *Koramius delphius illustris* Grum Grshimailo f. *unaria* Eisner, 1958 e, Zool. Meded. 36: 140 (Parn. nov. xxii), ♂ Allotype, Fergana, Russland.

605. *Koramius delphius pontifex* Bryk & Eisner, 1932 i, Parn. 2: 42, ♀ Holotype, ♂ Allotype, Kaindy-Pass, Dschebogly-Gebirge, Russland, ♀ abgebildet fig. 4 (Parn. 2: 50), und in Bryk, 1935 f, Tierreich 65: fig. 557, ♂ abgebildet pl. 68 fig. 1.

606. *Koramius delphius hodja* Avinoff, 1912, Horae Soc. Ent. Ross. 40 (5): 18, ♀ Paratype und Iconotype, Hodja-Barku, Buchara, Russland, abgebildet pl. 68 fig. 2.

607. *Koramius delphius cardinalis* Grum Grshimailo f. *lacrimans* + *ocellarubroconjuncta* + *rubroanalnis* Eisner, 1959 a, Zool. Meded. 36: 144 (Parn. nov. xxiii), ♀ Holotype, Dombratschi, Buchara, Russland, abgebildet pl. 68 fig. 3.

608. *Koramius delphius imitator* Bryk & Eisner, 1932 n, Parn. 2: 105, ♀ Holotype, Beik-Pass, Pamir mer., Russland, ♂ (Allotype?, ohne Fundort, ex coll. Oberthür), abgebildet pl. 68 fig. 4 ♀ pl. 68 fig. 5.

609. *Koramius delphius tytlerianus* Bryk & Eisner, 1932 n, Parn. 2: 105, ♀ Holotype, ♂ Allotype, Yasin, Chitral, Indien, ♀ abgebildet pl. 68 fig. 6, ♂ abgebildet in Bryk & Eisner, 1935 c, Parn. 3: fig. 6, und in Bryk, 1935 f, Tierreich 65: fig. 565.

610. *Koramius delphinus eva* Kotsch, 1936 b, Parn. **4**: 5, ♂ Holotype, ♀ Allotype, Chodja-Mohamed-Kette, Afghanistan, abgebildet fig. 5 ♂, fig. 6 ♀.
611. *Koramius delphinus eva* Kotsch f. *excostalis* Eisner, 1959 a, Zool. Meded. **36**: 148 (Parn. nov. xxiii), ♂ Holotype, ♀ Allotype, Chodja-Mohamed-Kette, Afghanistan.
612. *Koramius delphinus ruth* Kotsch, 1936 b, Parn. **4**: 5, ♂ Holotype, ♀ Allotype, Nuksan-Pass, Hindukusch or., Afghanistan, abgebildet fig. 3 ♂, fig. 4 ♀.
613. *Koramius delphinus kohibaba* Clench & Shoumatoff, 1956, Vidensk. Medd. Naturh. Foren. **118**: 179, ♂ ♀ Paratypen und Iconotypen, Koh-I-Baba-Range, Hindukusch, Afghanistan, abgebildet **pl. 68 fig. 7** ♂, **pl. 68 fig. 8** ♀.
614. *Koramius delphinus affinis* Peschke & Eisner, 1934, Parn. **3**: 40, ♂ Holotype, ♀ Allotype, Doubounni-montes, Gilgit, Indien, abgebildet fig. 5 ♀, fig. 6 ♂, und in Bryk, 1935 f, Tierreich **65**: fig. 566 ♂, fig. 566 a ♀.
615. *Koramius delphinus shigarensis* O. Bang-Haas, 1935 c, Ent. Zeitschr. **49**: 111, ♂ ♀ Paratypen und Iconotypen, Baltoro-montes, n.ö. von Shigar, Baltistan, Indien, abgebildet **pl. 69 fig. 1** ♂, **pl. 69 fig. 2** ♀.
616. *Koramius delphinus workmanni* Avinoff, 1916, Trans. Ent. Soc. London **1915**: 357, ♂ Iconotype, Haidi, Baltistan, Indien, abgebildet **pl. 69 fig. 3**.
617. *Koramius delphinus workmanni* Avinoff f. *intrafasciata* O. Bang-Haas, 1935 c, Ent. Zeitschr. **49**: 111, ♂ Paratype und Iconotype, Haidi, Baltistan, Indien, abgebildet **pl. 69 fig. 4**.
618. *Koramius delphinus divinus* Bryk & Eisner, 1931 a, Parn. **1** (5): 3, ♀ Holotype, Rupshu, zwischen Hanle und Chumar, Indien, abgebildet fig. 3, und in Bryk, 1935 f, Tierreich **65**: fig. 584, ♂ Allotype (ex coll. Oberthür), Rupshu, Indien, abgebildet **pl. 69 fig. 5**.
619. *Koramius stoliczkanus beate* Eisner, 1939 b, Parn. **6**: 42, ♂ Holotype, ♀ Allotype, Tachmachig-Pass, Chalsi, Kaschmir, Indien, abgebildet **pl. 69 fig. 6** ♂, **pl. 69 fig. 7** ♀.
620. *Koramius stoliczkanus beate* Eisner f. *discocircumcincta* (= *orbifer* n.c.) Eisner, 1939 b, Parn. **6**: 42, ♂ Holotype, Tachmachig-Pass, n. von Chalsi, Kaschmir, Indien.
621. *Koramius stoliczkanus beate* Eisner f. *philippi* Eisner, 1939 b, Parn. **6**: 42, ♀ Holotype, Potu-La-Pass, Kaschmir, Indien, abgebildet **pl. 69 fig. 8**.
622. *Koramius stoliczkanus beate* Eisner f. *amplusrubroanalis* Eisner, 1959 a, Zool. Meded. **36**: 158 (Parn. nov. xxiii), ♀ Holotype, Kargil, Kaschmir, Indien.
623. *Koramius stoliczkanus beate* Eisner f. *quadripicta* Eisner, 1959 a,

Zool. Meded. **36**: 158 (Parn. nov. xxiii), ♀ Holotype, Kargil, Kaschmir, Indien.

624. *Koramius stoliczkanus* subspecies oder forma *cardinalina* Avinoff, 1916, Trans. Ent. Soc. London **1915**: 353, ♂ Holotype, Burzil-Pass, Kaschmir sept., Indien, abgebildet pl. 53 fig. 3. Siehe Eisner, 1959 a, Zool. Meded. **36**: 155-156 (Parn. nov. xxiii).

625. *Koramius stoliczkanus zanskarica* O. Bang-Haas, 1934 a, Ent. Zeitschr. **48**: 152, ♂ ♀ Paratypen und Iconotypen, Zanskar-montes, Nira, Kaschmir, Indien, abgebildet **pl. 70 fig. 1** ♂, **pl. 70 fig. 2** ♀.

626. *Koramius stoliczkanus zanskarica* O. Bang Haas f. *complexa* Eisner, 1959 a, Zool. Meded. **36**: 158 (Parn. nov. xxiii), ♀ Holotype, Zanskar-montes, Nira, Kaschmir, Indien, abgebildet **pl. 70 fig. 3**.

627. *Koramius stoliczkanus zanskarica* O. Bang-Haas f. *totiextincta* Eisner, 1959 a, Zool. Meded. **36**: 158 (Parn. nov. xxiii), ♂ Holotype, Noun-Koun, Zanskar-montes, Nira, Kaschmir, Indien, abgebildet **pl. 70 fig. 4**. Irrtümlich bei subspecies *beata* Eisner aufgeführt.

628. *Koramius stoliczkanus zanskarica* O. Bang-Haas f. *primotertio picta* Eisner, 1939 b, Parn. **6**: 42, ♀ Holotype, Noun-Koun, Zanskar-montes, Kaschmir, Indien. Irrtümlich unter subspecies *beata* Eisner aufgeführt.

629. *Koramius stoliczkanus gracilis* Bryk & Eisner, 1932 c, Parn. **2**: 23, ♀ Holotype, ♂ Allotype, Rohtang-Pass, Kangra, Indien, ♀ abgebildet fig. 5, und in Bryk, 1935 f, Tierreich **65**: fig. 578, ♂ abgebildet **pl. 70 fig. 5**.

630. *Koramius stoliczkanus thomas* Eisner, 1939 b, Parn. **6**: 43, ♂ Holotype, ♀ Ideotype, Sasser-Pass, Karakorum, Indien, abgebildet **pl. 70 fig. 6** ♂, **pl. 70 fig. 7** ♀.

631. *Koramius stoliczkanus tenuis* Bryk & Eisner, 1932 d, Parn. **2**: 25, ♂ Holotype, ♀ Allotype, Tagalang-Pass, Gya-Ladak, Indien, abgebildet **pl. 70 fig. 8** ♂, **pl. 70 fig. 9** ♀. Synonym von *P.s. stoliczkanus* Felder.

632. *Koramius stoliczkanus parangensis* Eisner, 1939 b, Parn. **6**: 41, ♂ Holotype, ♀ Allotype, Parang-Pass, Spiti sept., Indien, abgebildet **pl. 70 fig. 10** ♂, **pl. 70 fig. 11** ♀.

633. *Koramius stoliczkanus parangensis* Eisner f. *fermata* Eisner, 1939 b, Parn. **6**: 41, ♂ Holotype, Parang-Pass, Spiti sept., Indien.

634. *Koramius stoliczkanus parangensis* Eisner f. *bruneocellata* Eisner, 1939 b, Parn. **6**: 41, ♂ Holotype, Parang-Pass, Spiti sept., Indien.

635. *Tadumia acco pseudjabensis* O. Bang-Haas f. *inpicta* Eisner, 1959 b, Zool. Meded. **36**: 166 (Parn. nov. xxiv), ♀ Holotype, Tum-Tum-Thang am Spiti-Fluss, Indien.

636. *Tadumia acco pseudjabensis* O. Bang-Haas f. *rubroappendixocellata*

Eisner, 1959 b, Zool. Meded. **36**: 166 (Parn. nov. xxiv), ♀ Holotype, Tum-Tum-Thang am Spiti-Fluss, Indien.

637. *Tadumia acco chumurtiensis* O. Bang-Haas, 1928, Ent. Zeitschr. **42**: 59, ♀ Paratype und Iconotype, Chumurti, Shilang, Thibet, abgebildet **pl. 70 fig. 12**.

638. *Tadumia acco chumurtiensis* O. Bang-Haas f. *excelsior* Eisner, 1959 b, Zool. Meded. **36**: 167 (Parn. nov. xxiv), ♀ Holotype, Chumurti, Shilang, Indien.

639. *Tadumia acco tagalangi* O. Bang-Haas, 1927, Horae Macrolep. **1**: 23, ♀ Ideotype, Tagalang-Pass, Gya-Ladak, Indien, abgebildet **pl. 71 fig. 1**.

640. *Tadumia acco tagalangi* O. Bang-Haas f. *albopupillata* Eisner, 1959 b, Zool. Meded. **36**: 167 (Parn. nov. xxiv), ♀ Iconotype, Tagalang-Pass, Gya-Ladak, Indien.

641. *Tadumia acco transhimalayensis* Eisner, 1938 b, Parn. **5**: 29, ♂ Holotype, ♀ Allotype, Demtschok, Transhimalaya, Grenze Indien-Thibet, abgebildet **pl. 71 fig. 2 ♂, pl. 71 fig. 3 ♀**.

642. *Tadumia acco hampsoni* Avinoff, 1916, Trans. Ent. Soc. London **1915**: 352, ♀, Karakorum, Indien, abgebildet **pl. 71 fig. 4**.

643. *Tadumia acco gemmifer* Fruhstorfer f. *nigroocellata* Eisner, 1959 b, Zool. Meded. **36**: 169 (Parn. nov. xxiv), ♂ Holotype, Sikkim, Indien, abgebildet **pl. 71 fig. 5**.

644. *Tadumia przewalskii yvonne* Eisner, 1959 b, Zool. Meded. **36**: 171 (Parn. nov. xxiv), ♂ Holotype, ♀ Allotype, Wildyak-Zone, Thibet sept. or., abgebildet in Eisner, 1959 d, Zool. Meded. **36**: pl. 10 fig. 1 ♀, pl. 10 fig. 2 ♂ (Parn. nov. xxvi).

645. *Tadumia t. tenedius* Eversmann f. *niphetodis* Eisner, 1959 b, Zool. Meded. **36**: 174 (Parn. nov. xxiv), ♀ Holotype, Chara-Daban, Sajan-Gebirge, Russland.

646. *Tadumia t. tenedius* Eversmann f. *nigroocellata* Eisner, 1959 b, Zool. Meded. **36**: 174 (Parn. nov. xxiv), ♂ Holotype, Mondy, Sajan-Gebirge, Russland.

647. *Tadumia t. tenedius* Eversmann f. *alboocellata* Eisner, 1959 b, Zool. Meded. **36**: 174 (Parn. nov. xxiv), ♀ Holotype, Mondy, Sajan-Gebirge, Russland.

648. *Tadumia t. tenedius* Eversmann f. **tripicta** nova = Costalband des Vorderflügels mit drei roten Kernen, ♀ Holotype, Mondy, Sajan-Gebirge, Russland.

649. *Tadumia t. tenedius* Eversmann f. **biexcelsior** nova = der 2. Wurzelfleck des Hinterflügels auch oberseits prachtgekernt, ♀ Holotype, Mondy, Sajan-Gebirge, Russland.

650. *Tadumia tenebrioides vulcanus* Bryk & Eisner, 1932 c, Parn. **2**: 22, ♀ Holotype, ♂ Allotype, Altai, Russland, abgebildet **pl. 71 fig. 6** ♂, **pl. 71 fig. 7** ♀, Paratypen ♂ ♀ abgebildet in Bryk, 1935 f, Tierreich **65**: fig. 618.
651. *Tadumia tenebrioides scepticus* Bryk & Eisner, 1932 c, Parn. **2**: 22, ♀ Holotype, ♂ Allotype, Witim, Sibirien, Russland, abgebildet **pl. 71 fig. 8** ♂, **pl. 71 fig. 9** ♀.
652. *Tadumia s. simo* G. R. Gray, 1852, Cat. Lep. Ins. Brit. Mus. **1**: 76 ♂ ♀, Khar Todma, Kumaon, Indien, abgebildet **pl. 71 fig. 10** ♂, **pl. 71 fig. 11** ♀.
653. *Tadumia simo lanaki* Bryk & Eisner, 1932 d, Parn. **2**: 25, ♂ Holotype, ♀ Allotype, Lanak-la, Ladak, Indien, abgebildet **pl. 72 fig. 1** ♂, **pl. 72 fig. 2** ♀.
654. *Tadumia simo demitchokensis* Eisner, 1938 b, Parn. **5**: 29, ♂ Holotype, ♀ Allotype, Demtschok, Transhimalaya, Grenze Indien-Thibet, abgebildet **pl. 72 fig. 3** ♂, **pl. 72 fig. 4** ♀.
655. *Tadumia simo acconus* Fruhstorfer, 1903, Insekten-Börse **20**: 148, ♂ Paratype, ♀ Paratype und Iconotype, Sikkim, Indien, ♂ abgebildet in Bryk, 1935 f, Tierreich **65**: fig. 640, ♀ abgebildet **pl. 72 fig. 5**.
656. *Tadumia simo lise* Eisner, 1959 b, Zool. Meded. **36**: 180 (Parn. nov. xxiv), ♂ Holotype, ♀ Allotype, Wildyak-Zone, Thibet sept. or., abgebildet in Eisner, 1959 d, Zool. Meded. **36**: pl. 10 fig. 5 ♂, pl. 10 fig. 6 ♀ (Parn. nov. xxvi).
657. *Tadumia simo simillimus* Bryk & Eisner, 1937 b, Parn. **4**: 58, ♂ Holotype, ♀ Allotype, Nomohun-Pass, Burchan-Buddha-Kette, China, abgebildet **pl. 72 fig. 6** ♂, **pl. 72 fig. 7** ♀.
658. *Tadumia simo eos* Bryk & Eisner, 1934 b, Parn. **3**: 25, ♂ Holotype, ♀ Allotype, Weynänpu, Kansu, China, abgebildet fig. 5 ♀ (nec ♂), fig. 6 ♂ (nec ♀), und in Bryk, 1935 f, Tierreich **65**: fig. 635.
659. *Tadumia simo eos* Bryk Eisner f. *rubroanalalis* Bryk & Eisner, 1934 b, Parn. **3**: 26, ♀ Holotype, Weynänpu, Kansu, China.
660. *Tadumia simo eos* Bryk & Eisner f. *magnifica* Bryk & Eisner, 1934 b, Parn. **3**: 26, ♀ Holotype, Weynänpu, Kansu, China, abgebildet **pl. 72 fig. 8**.
661. *Tadumia simo albifer* Eisner, 1938 f, Parn. **5**: 55, ♂ Holotype, ♀ Allotype, Houtchouhsien, Kansu, China, abgebildet **pl. 72 fig. 9** ♂, **pl. 72 fig. 10** ♀.
662. *Tadumia simo dirschi* O. Bang-Haas, 1938 d, Parn. **6**: 21, ♂ ♀ Paratypen und Iconotypen, Richthofen-Gebirge, 50 km SW. von Liang-tschou, Kansu, China, abgebildet **pl. 72 fig. 11** ♂, **pl. 72 fig. 12** ♀.
663. *Tadumia simo andreji* Eisner, 1930 a, Parn. **1** (3): 5, ♂ Holotype,

♀ Allotype, Süd-Tatungsche Berge, Kansu, China, abgebildet pl. 1 fig. 9 ♂, pl. 1 fig. 10 ♀, und in Bryk, 1935 f, Tierreich **65**: fig. 634.

664. *Tadumia simo andreji* Eisner f. *centripuncta* (= *grundi* n.c.) Eisner, 1930 a, Parn. **1** (3): 5, ♂ Holotype, ♀ Allotype, Süd-Tatungsche Berge, Kansu, China.

665. *Tadumia simo andreji* Eisner f. *rhomboides* Eisner, 1959 b, Zool. Meded. **36**: 183 (Parn. nov. xxiv), ♂ Holotype, Süd-Tatungsche Berge, Kansu, China, abgebildet **pl. 72 fig. 13**.

666. *Tadumia simo buddenbrocki* O. Bang-Haas, 1938 b, Parn. **5**: 59, ♂ Paratype, ♀ Paratype und Iconotype, Pullow-montes, Minshan, China, abgebildet **pl. 72 fig. 14 ♂**, **pl. 72 fig. 15 ♀**.

667. *Tadumia simo zarraensis* O. Bang-Haas f. *niphetodis* Eisner, 1959 b, Zool. Meded. **36**: 185 (Parn. nov. xxiv), ♂ Holotype, Zarra, Tagalang-Pass, Indien.

668. *Tadumia simo ganymedes* Bryk & Eisner, 1932 a, Parn. **2**: 8, ♂ Holotype, ♀ Allotype, Bura-Deosai, Baltistan, Indien, abgebildet **pl. 73 fig. 1 ♂**, **pl. 73 fig. 2 ♀**. Synonym von *T. simo simoides* O. Bang-Haas.

669. *Tadumia simo colosseus* O. Bang-Haas, 1935 c, Ent. Zeitschr. **49**: 112, ♂ ♀ Paratypen und Iconotypen, Saltoro-montes, Baltistan, Indien, abgebildet **pl. 73 fig. 3 ♂**, **pl. 73 fig. 4 ♀**.

670. *Tadumia simo confusus* O. Bang-Haas f. *ocelloconjuncta* Bryk & Eisner, 1932 a, Parn. **2**: 8, ♀ Holotype, Schahidulla, Chotan, China.

671. *Tadumia simo martiniiheringi* Bryk & Eisner 1930 d, Parn. **1** (1): 1, ♂ Holotype, ♀ Allotype, Kungei-Ala-Tau, Turkestan, Russland, abgebildet fig. 1 ♂, fig. 2 ♀, und in Bryk, 1935 f, Tierreich **65**: fig. 646.

672. *Tadumia simo boedromius* Püngeler f. *fermata* Bryk & Eisner, 1930 d, Parn. **1** (1): 3, ♂ Holotype, Berge bei Aksu, Tianschan, Russland, abgebildet fig. 4.

673. *Tadumia simo boedromius* Püngeler f. *medioflavopupillata* Eisner, 1959 b, Zool. Meded. **36**: 191 (Parn. nov. xxiv), ♂ Holotype, Berge bei Aksu, Tianschan, Russland.

674. *Tadumia simo boedromius* Püngeler f. *flavopupillata* Eisner, 1959 b, Zool. Meded. **36**: 191 (Parn. nov. xxiv), ♀ Holotype, Berge bei Aksu, Tianschan, Russland.

675. *Tadumia (Eukoramius) imperator* Oberthür f. *ocelloconnexa* (= *ocelloconjuncta* n.c.) Bryk & Eisner, 1931 h, Parn. **1** (6): 8, ♀ Holotype, Tatsienlou, Szetschwan, China.

676. *Tadumia (Eukoramius) imperator aino* Bryk, 1932 a, Parn. **2**: 5, ♂ ♀ Paratypen und Iconotypen, Kagurpu, Mekong-Valley, China, ♂ abgebildet **pl. 73 fig. 5**, ♀ abgebildet in Bryk, 1935 f, Tierreich **65**: fig. 653.

677. *Tadumia (Eukoramius) imperator interjugens* Bryk, 1932 a, Parn. **2**: 5, ♂ Allotype, Thalung-Gamba, Thibet, abgebildet **pl. 73 fig. 6**.
678. *Tadumia (Eukoramius) imperator cedermarki* Bryk, 1943, Mitt. München. Ent. Ges. **33**: 32, ♀ Paratype und Iconotype, Batang, Alpine Zone, China, abgebildet **pl. 73 fig. 7**.
679. *Tadumia (Eukoramius) imperator evansi* Bryk, 1932 a, Parn. **2**: 5, ♂ Allotype, Tsuna, Thibet mer. or., abgebildet **pl. 74 fig. 1**.
680. *Tadumia (Eukoramius) imperator irmae* Bryk f. *costalisnigroocellata* (n.c.) Eisner, 1959 c, Zool. Meded. **36**: 235 (Parn. nov. xxv), ♂, Dinghi-Dzong, Thibet mer., abgebildet **pl. 74 fig. 2**.
681. *Tadumia (Eukoramius) imperator imperatrix* Alphéraky, 1897, Mém. Lépid. **9**: 230, ♀ Paratype und Iconotype, Oulan-Bulak, Humboldt-Kette, China, abgebildet **pl. 74 fig. 3**.
682. *Tadumia (Eukoramius) imperator musetta* Bryk & Eisner, 1932 a, Parn. **2**: 7, ♂ Holotype, ♀ Allotype (nicht in coll. Peebles, London!), Lanchowfu, Kansu, China, abgebildet **pl. 74 fig. 4 ♂**, **pl. 74 fig. 6 ♀**.
683. *Tadumia (Eukoramius) imperator musetta* Bryk & Eisner f. *additonalis* (= *fermata* n.c.) Bryk & Eisner, 1932 a, Parn. **2**: 7, ♂ Holotype, Lanchowfu, Kansu, China.
684. *Tadumia (Eukoramius) imperator musetta* Bryk & Eisner f. *biexcelsior* Bryk & Eisner, 1932 a, Parn. **2**: 7, ♀ Holotype, Lanchowfu, Kansu, China.
685. *Tadumia (Eukoramius) imperator regulus* Bryk & Eisner, 1932 a, Parn. **2**: 6, ♂ Holotype, ♀ Allotype, Shekou, W. von Liangtschou, Kansu, China, abgebildet **pl. 74 fig. 5 ♂**, **pl. 74 fig. 7 ♀**.
686. *Tadumia (Eukoramius) imperator regulus* Bryk & Eisner f. *exanalis* + *connexobasalis* Bryk & Eisner, 1931 h, Parn. **1** (6): 8, ♂ Holotype, Shekou, W. von Liangtschou, Kansu, China.
687. *Tadumia (Eukoramius) imperator regulus* Bryk & Eisner f. *supra-* + *subtusrubrocellata* (= *zirpsi* Bryk) Bryk & Eisner, 1932 a, Parn. **2**: 7, ♂ Holotype, Honanpa, Sian-shin-Ho-Oberlauf, Kansu, China.
688. *Tadumia (Eukoramius) imperator regulus* Bryk & Eisner f. *isabellina* Bryk & Eisner, 1932 a, Parn. **2**: 7, ♂ Holotype, Honanpa, Siang-shin-Ho-Oberlauf, Kansu, China.
689. *Tadumia (Eukoramius) imperator sultan* Bryk & Eisner, 1932 h, Parn. **2**: 34, ♂ Holotype, ♀ Allotype, Khodung-po, Kansu, China, ♂ abgebildet in Bryk, 1935 f, Tierreich **65**: fig. 661, ♀ (+ f. *lacrimans* n.c.) abgebildet **pl. 74 fig. 8**.
690. *Tadumia (Eukoramius) imperator rex* O. Bang-Haas, 1928, Ent.

Zeitschr. **42**: 60, ♂ ♀ Paratypen und Iconotypen, Tatungsche Berge, Kansu, China, abgebildet **pl. 75 fig. 1** ♂, **pl. 75 fig. 2** ♀.

691. *Tadumia (Eukoramius) imperator rex* O. Bang-Haas f. *halteres* + *fermata* (n.c.) Eisner, 1959 c, Zool. Meded. **36**: 238 (Parn. nov. xxv), ♂ Holotype, Tatungsche Berge, Kansu, China, abgebildet **pl. 75 fig. 3**.

692. *Tadumia (Eukoramius) imperator rex* O. Bang-Haas f. *supracohae-rens-media* Bryk & Eisner, 1931 h, Parn. **1** (6): 8, ♂ Holotype, Tatungsche Berge, Kansu, China.

693. *Tadumia (Eukoramius) imperator rex* O. Bang-Haas f. *nigrobasalis* Bryk & Eisner, 1931 h, Parn. **1** (6): 8, ♂ Holotype, Tatungsche Berge, Kansu, China.

694. *Tadumia (Eukoramius) imperator uxoria* nom. nov. für *Parnassius imperator tyrannus* O. Bang-Haas, 1935 b, Ent. Zeitschr. **48**: 183, ♂ ♀ Paratypen und Iconotypen, Lussa (Lassar?), 50 km S. von Sining, Kansu, China, abgebildet **pl. 75 fig. 4** ♂, **pl. 75 fig. 5** ♀.

695. *Tadumia (Eukoramius) imperator regina* Bryk & Eisner, 1932 a, Parn. **2**: 7, ♂ Holotype, ♀ Allotype, Minshan, Tauho-Fluss, China, abgebildet **pl. 76 fig. 1** ♂, **pl. 76 fig. 2** ♀.

696. *Tadumia (Eukoramius) imperator regina* Bryk & Eisner f. *amplius-caeruleopicta* (= *ampliusocellulata* n.c.) Bryk & Eisner, 1932 a, Parn. **2**: 7, ♀ Holotype, Minshan, Tauho-Fluss, China.

697. *Tadumia (Eukoramius) imperator gigas* Kotzsch, 1932, Ent. Zeitschr. **45**: 267, ♂ Holotype, ♀ Allotype, Sincheng, Ostabhang Sikingshan, China, abgebildet **pl. 76 fig. 3** ♂, **pl. 76 fig. 4** ♀.

698. *Tadumia (Eukoramius) autocrator* Avinoff, 1912, Horae Soc. Ent. Ross. **40** (5): 16, ♂ Allotype, Chodja-Mohamed-Kette, Afghanistan, abgebildet in Kotzsch, 1936 a, Ent. Rundschau **54**: pl. 1 fig. 1.

699. *Tadumia (Eukoramius) autocrator* Avinoff f. *privatus* Kotzsch, 1936 a, Ent. Rundschau **54**: 52, ♂ Holotype, Chodja-Mohamed-Kette, Afghanistan, abgebildet pl. 1 fig. 3.

700. *Tadumia (Eukoramius) autocrator* Avinoff f. *eminens* Kotzsch, 1936 a, Ent. Rundschau **54**: 52, ♀ Holotype, Chodja-Mohamed-Kette, Afghanistan, abgebildet pl. 1 fig. 4.

701. *Tadumia (Eukoramius) autocrator* Avinoff, Gynander; Kotzsch, 1936 a, Ent. Rundschau **54**: 51, Chodja-Mohamed-Kette, Afghanistan, abgebildet pl. 1 fig. 5 und **Titelblatt**.

702. *Tadumia (Eukoramius) autocrator* Avinoff f. *excostalis* Eisner, 1938 a, Parn. **5**: 29, ♀ Holotype, Chodja-Mohamed-Kette, Afghanistan, abgebildet **pl. 77 fig. 1**.

703. *Kailasius inopinatus* Kotzsch, 1940, Ent. Zeitschr. **54**: 17, ♂ Holo-

- type, ♀ Allotype, Firuskuhi-Kette, Nordwest-Afghanistan, abgebildet p. 18.
704. *Kailasius c. charltonius* G. R. Gray, 1852, Cat. Lep. Ins. Brit. Mus. 1: 77, ♂ Allotype und Iconotype, ♀, Gothing, Kumaon, Indien, abgebildet **pl. 77 fig. 2 ♂, pl. 77 fig. 3 ♀.**
705. *Kailasius charltonius bryki* Haude f. *mediorubro-divisoocellata* Bryk & Eisner, 1931 h, Parn. 1 (6): 8, ♂ Holotype, Tum-Tum-Thang am Spiti-Fluss, Bashar-State, Indien.
706. *Kailasius charltonius amabilis* Bryk & Eisner, 1932 a, Parn. 2: 8, ♀ Holotype, ♂ Allotype, Rohtang-Pass, Kangra, Indien, ♀ abgebildet fig. 3, ♂ abgebildet **pl. 77 fig. 4.**
707. *Kailasius charltonius eisnerianus* Bryk, 1931 a, Parn. 1 (5): 1, ♂ Holotype, ♀ Allotype, Rupshu, zwischen Chumar and Hanle, Indien, abgebildet fig. 1 ♂, fig. 2 ♀, und in Bryk, 1935 f, Tierreich 65: fig. 686 ♂, fig. 686 a ♀.
708. *Kailasius charltonius serenissimus* Bryk, 1932 e, Parn. 2: 49, ♂ Paratype und Iconotype, Pirpanjal, Kaschmir mer., Indien, abgebildet **pl. 77 fig. 5.**
709. *Kailasius charltonius otto* Bryk & Eisner, 1932 l, Parn. 2: 66, ♂ Paratype und Iconotype, ♀ Paratype, Tagalang-Pass, Gya-Ladak, Indien, abgebildet **pl. 77 fig. 6 ♂, pl. 77 fig. 7 ♀.**
710. *Kailasius charltonius ella* Bryk, 1932 e, Parn. 2: 49, ♂ Paratype und Iconotype, Bura-Deosai, Baltistan, Indien, abgebildet **pl. 77 fig. 8.**
711. *Kailasius charltonius ella* Bryk f. *brunneooocellata* Bryk & Eisner, 1931 h, Parn. 1 (6): 8, ♀ Holotype, Bura-Deosai, Baltistan, Indien.
712. *Kailasius charltonius ella* Bryk f. *rubroampliusanalis* Bryk & Eisner, 1931 h, Parn. 1 (6): 8, ♀ Holotype, Bura-Deosai, Baltistan, Indien.
713. *Kailasius charltonius robertjan* Eisner, 1959 d, Zool. Meded. 36: 256 (Parn. nov. xxvi), ♂ Holotype, ♀ Allotype, Baroghil-Pass, Chitral, Indien, abgebildet pl. 9 fig. 1 ♀, pl. 9 fig. 2 ♂.
714. *Kailasius charltonius corporaali* Bryk, 1935 g, Wiss. Erg. Niederl. Exped. Karakorum 1: 338, ♂ Allotype, Sasser-Pass, Karakorum, Indien, abgebildet **pl. 78 fig. 1.**
715. *Kailasius charltonius occidentalis* Bryk, 1912 c, Jahrb. Nassau. Ver. Naturk. 65: 10, ♀ Allotype, Chitral, Indien, abgebildet **pl. 78 fig. 2.** Synonym von *K.c. ducalis* Boullet & Le Cerf.
716. *Kailasius charltonius wernickei* Kotzsch, 1936 b, Parn. 4: 6, ♂ Holotype, ♀ Allotype, Nuksan-Pass, Ost-Hindukusch, Afghanistan, abgebildet fig. 7 ♂, fig. 8 ♀.
717. *Kailasius charltonius vogti* O. Bang-Haas, 1927, Horae Macrolep. 1: 38. Das in Eisner, 1959 d, Zool. Meded 36: 259 (Parn. nov. xxvi) er-

wähnte ♂ aus Afghanistan ex coll. Oberthür ist nicht die Allotype dieser Unterart. Der Fundort schint falsch zu sein, und das Exemplar dürfte zu der folgenden Unterart gehören. Allotype in coll. Wyatt, Farnham.

718. *Kailasius charltonius romanovi* Grum Grshimailo f. *geminella* Bryk, 1912 c, Jahrb. Nassau Ver. Naturk. **65**: 7, ♂ Holotype, Aram-Kungei, Transalai, Russland, abgebildet **pl. 78 fig. 3**.

719. *Kailasius charltonius romanovi* Grum Grshimailo f. *rubrocatenata* Bryk, 1912 c, Jahrb. Nassau Ver. Naturk. **65**: 7, ♀ Holotype, Aram-Kungei, Transalai, Russland, abgebildet pl. 1 fig. 1, und in Bryk, 1935 f, Tierreich **65**: fig. 675.

HYBRIDEN

720. Hybris *Zerynthia hypermnestra* Scopoli, ♂, Wachau, Österreich, \times *Z. rumina* L., ♀, Andalusien, Spanien; Eisner, 1957 b, Zool. Meded. **35**: 53 (Parn. nov. xiii), ♂ ♀, abgebildet pl. 1 fig. 3 ♂, pl. 1 fig. 4 ♀.

721. Hybris *Parnassius t. tianschanicus* Oberthür \times *P. apollo merzbacheri* Fruhstorfer; (f. *lunigera* Fruhstorfer, 1906, Soc. Ent. **21**: 139) ♂ ♀, Juldus, Russland, abgebildet **pl. 28 fig. 1 ♀**, **pl. 28 fig. 2 ♂**.

722. Hybris *Parnassius jacquemonti gartokensis* Bryk & Eisner \times *P. epaphus shilangensis* Bryk & Eisner; ♂, Tibu, westl. von Gartok, Thibet, abgebildet **pl. 30 fig. 5**. False *P. basharicus* O. Bang-Haas, 1915 c, Iris **29**: 175; siehe O. Bang Haas, 1927, Horae Macrolep. **1**: 19.

723. Hybris *Parnassius nomion nominulus* Staudinger \times *P. apollo sajoticus* Bryk; Bryk, 1915 b, Arch. Naturgesch. **80** (8): 160, ♂, Irsyn, Sajan-Gebirge, Russland, abgebildet in Bryk, 1914 t, Arch. Naturgesch. **80** (6): pl. 8 fig. 64.

724. Hybris *Parnassius nomion mandschuriae* Oberthür \times *P. bremeri conjuncta* Staudinger; Kardakoff, 1928, Ent. Mitt. **17**: 267, ♂, Barabasch, Süd-Ussuri, Russland, abgebildet pl. 6 fig. 1.

725. Hybris *Parnassius apollo pseudosibiricus* Bryk & Eisner \times *P. nomion dis* Bryk & Eisner; ♂, Irkutsk, Sibirien, abgebildet **pl. 43 fig. 4**.

726. Hybris *Parnassius apollo mongolicus* Staudinger \times *P. tianschanicus erebus* Verity; Bryk & Eisner, 1938 a, Parn. **5**: 27, ♀, Urumtschi, Ost-Tianschan, abgebildet **pl. 43 fig. 3**.

727. Hybris *Parnassius apollo andreashoferi* Belling, ♂, \times *P. phoebus expectatus* Fruhstorfer, ♀, beide Passeiertal, Tirol, Italien mer.; Prestin, 1929, Soc. Ent. **44**: 37, Nachkommen 1 ♂, 1 ♀.

728. Hybris *Parnassius hofmanni* Riemel, 1928, Int. Ent. Zeitschr. **22**: 201, = *Parnassius apollo claudius* Belling, ♂, \times *P. phoebus expectatus*

- Fruhstorfer, ♀; ♂, ♀, abgebildet in Riemel, 1929, Mitt. München. Ent. Ges. **19**: pl. 26 fig. 1 ♂, pl. 26 fig. 2 ♀, und **pl. 78 fig. 4** ♂, **pl. 78 fig. 5** ♀.
729. Hybris *Parnassius engelberti-hofmanni* Bryk & Eisner, 1934 c, Parn. **3**: 29, = *Parnassius hofmanni* Riemel, ♂, × *P. apollo wenzeli* Bryk, ♀; ♂, ♀, abgebildet fig. 1 ♂, fig. 2 ♀, und in Bryk, 1935 f, Tierreich **65**: fig. 695.
730. Hybris *Parnassius riemeli* Frank, 1929, Mitt. München. Ent. Ges. **19**: 331, = *Parnassius phoebus expectatus* Fruhstorfer, ♂, × *P. apollo bartholomaeus* Stichel, ♀; ♂, ♀, abgebildet pl. 26 fig. 3 ♂, pl. 26 fig. 4 ♀, und **pl. 78 fig. 6** ♂, **pl. 78 fig. 7** ♀.
731. Hybris *Parnassius hofmanni* Riemel, ♂, × Hybris *P. hofmanni* Riemel, ♀; Nachkomme 1 ♀ mit unentwickelten Flügeln.
732. Hybris *Parnassius geminosibiricus* Riemel, 1929, Mitt. München. Ent. Ges. **19**: 330, = *Parnassius apollo bartholomaeus* Stichel, ♂, × *P. a. pseudosibiricus* Bryk & Eisner, ♀; ♂, ♀, abgebildet pl. 26 fig. 7 ♂, pl. 26 fig. 8 ♀.
733. Hybris *Parnassius riemeli-geminosibiricus* Eisner, 1936 a, Parn. **3**: 100, = *Parnassius phoebus expectatus* Fruhstorfer, ♂, × Hybris *Parnassius geminosibiricus* Riemel, ♀; ♂, ♀, abgebildet **pl. 78 fig. 8** ♂, **pl. 79 fig. 1** ♀.
734. Hybris *Parnassius riemeli-wenzeli* Eisner, 1936 a, Parn. **3**: 101, = Hybris *Parnassius riemeli* Frank, ♂, × *P. apollo wenzeli* Bryk, ♀; ♂, ♀.
735. Hybris *Parnassius franki* Riemel, 1929, Mitt. München. Ent. Ges. **19**: 330, = *Parnassius apollo bartholomaeus* Stichel, ♂, × *P. a. pumilus* Stichel, ♀; ♂, ♀, abgebildet pl. 26 fig. 5 ♂, pl. 26 fig. 6 ♀, und **pl. 79 fig. 2** ♂, **pl. 79 fig. 3** ♀.
736. Hybris *Parnassius franki-riemeli* Eisner, 1936 a, Parn. **3**: 101, = *Parnassius phoebus expectatus* Fruhstorfer, ♂, × Hybris *P. franki* Riemel, ♀; ♂, ♀, abgebildet **pl. 79 fig. 4** ♂, **pl. 79 fig. 5** ♀.
737. Hybris *Parnassius franki-franki* Eisner, 1936 a, Parn. **3**: 102, = Hybris *Parnassius franki* Riemel, ♂, × Hybris *P. franki* Riemel, ♀; ♂, ♀.
738. Hybris *Parnassius franki-bartholomaeus* Eisner, 1936 a, Parn. **3**: 102, = Hybris *Parnassius franki* Riemel, ♂, × *P. apollo bartholomaeus* Stichel, ♀; ♂, ♀.
739. Hybris *Parnassius bartholomaeus-geminosibiricus* Eisner, 1936 a, Parn. **3**: 103, = *Parnassius apollo bartholomaeus* Stichel, ♂, × Hybris *P. geminosibiricus* Riemel, ♀; ♂, ♀.
740. Hybris *Parnassius amicus* Bryk & Eisner, 1934 c, Parn. **3**: 31, = *Parnassius apollo bartholomaeus* Stichel, ♂, × *P. a. hercegovinensis* Schawerda, ♀; ♂, ♀.
741. Hybris *Parnassius amicissimus* Bryk & Eisner, 1934 c, Parn. **3**:

31. = *Parnassius apollo hercegovinensis* Schawerda, ♂, × *P. a. wenzeli* Bryk, ♀; ♂, ♀.
742. Hybris *Parnassius sueviclaudius* Eisner, 1936 a, Parn. 3: 103, = *Parnassius apollo suevicus* Pagenstecher, ♂, × *P. a. claudius* Belling, ♀; ♂, ♀.
743. Hybris *Parnassius mellicoalemannicus* Eisner, 1936 a, Parn. 3: 104, = *Parnassius apollo melliculus* Stichel, ♂, × *P. apollo alemannicus* Fruhstorfer, ♀; ♂, ♀.
744. Hybris *Parnassius mellicobartholomaeus* Eisner, 1936 a, Parn. 3: 104, = *Parnassius melliculus apollo* Stichel, ♂, × *P. a. bartholomaeus* Stichel, ♀; ♂, ♀.
745. Hybris *Parnassius alemannocandidus* Eisner, 1936 a, Parn. 3: 104, = *Parnassius apollo alemannicus* Fruhstorfer, ♂, × *P. a. candidus* Verity, ♀; ♂, ♀.
746. Hybris *Parnassius claudiomelliculus* Eisner, 1936 a, Parn. 3: 104, = *Parnassius apollo claudius* Belling, ♂, × *P. a. melliculus* Stichel, ♀; ♂, ♀.
747. Hybris *Parnassius mellicoclaudius* Eisner, 1936 a, Parn. 3: 105, = *Parnassius apollo melliculus* Stichel, ♂, × *P. a. claudius* Belling, ♀; ♂, ♀.
748. Hybris *Parnassius mellicoluitpoldus* Eisner, 1936 a, Parn. 3: 105, = *Parnassius apollo melliculus* Stichel, ♂, × *P. a. luitpoldus* Fruhstorfer, ♀; ♂, ♀.
749. Hybris *Parnassius bartholomaeoclaudius* Eisner, 1936 a, Parn. 3: 105, = *Parnassius apollo bartholomaeus* Stichel, ♂, × *P. a. claudius* Belling, ♀; ♂, ♀.
750. Hybris *Parnassius claudiobartholomaeus* Eisner, 1936 a, Parn. 3: 105, = *Parnassius apollo claudius* Belling, ♂, × *P. a. bartholomaeus* Stichel, ♀; ♂, ♀.
751. Hybris *Parnassius bartholomaeomelliculus* Eisner, 1936 a, Parn. 3: 106, = *Parnassius apollo bartholomaeus* Stichel, ♂, × *P. a. melliculus* Stichel, ♀; ♂, ♀.
752. Hybris *Parnassius suevicoadonais* Eisner, 1936 a, Parn. 3: 106, = *Parnassius apollo suevicus* Pagenstecher, ♂, × *P. apollo adonais* Fruhstorfer, ♀; ♂, ♀.
753. Hybris *Parnassius apollo cetius* Fruhstorfer, ♂, × *P. a. leovigildus* Fruhstorfer, ♀; Eisner, 1957 b, Zool. Meded. 35: 51 (Parn. nov. xiii), Nachkommen ♂, ♀, abgebildet pl. 80 fig. 1 ♂, pl. 80 fig. 2 ♀.
754. Hybris *Parnassius apollo leovigildus* Fruhstorfer, ♂, × *P. a. cetius* Fruhstorfer, ♀; Eisner, 1957 b, Zool. Meded. 35: 52 (Parn. nov. xiii), Nachkommen ♂, ♀, abgebildet pl. 80 fig. 1 ♂, pl. 80 fig. 2 ♀.
755. Hybris *Parnassius apollo leovigildus* Fruhstorfer, ♂, × *P. a. brit-*

tingeri Rebel & Rogenhofer, ♀; Eisner, 1957 b, Zool. Meded. **35**: 52 (Parn. nov. xiii), Nachkommen ♂, ♀, abgebildet **pl. 80 fig. 3** ♂, **pl. 80 fig. 4** ♀.

GEÄDERABERRATIONEN

Metathesis Vorderflügel

756. f. *synplectus* Bryk = R 1 verwächst mit R 3; Bryk, 1914 t, Arch. Naturgesch. **80** (6): 160, ♂ Holotype, Ulm a. d. Donau, Deutschland; *Parnassius apollo suevicus* Pagenstecher.

757. f. *enderleini* Bryk = R 3 entspringt ausserhalb des Discus aus dem Gabelstiell; Bryk, 1912 e, Soc. Ent. **27**: 50, ♀, Erstfeld, Schweiz; *Parnassius mnemosyne tergestus* Fruhstorfer.

758. f. *parnassiomima* Bryk = R 3 entspringt wie beim genus *Parnassius* Fabricius aus der vorderen Discoidalrippe; Bryk, 1912 c, Jahrb. Nassau. Ver. Naturk. **65**: 9, ♂ Holotype, Chitral, Indien; *Kailasius occidentalis* Bryk. Synonym von *K. ducalis* Boullet & Le Cerf.

759. f. *bosniackii* Bryk = M 2 entspringt direkt aus der Discusquerrippe, was typisch ist für die genera *Koramius* Moore, *Tadumia* Moore und *Kailasius* Moore; Bryk, 1914 t, Arch. Naturgesch. **80** (6): 161, ♂ Holotype, Östergötland, Schweden, abgebildet fig. 16; *Parnassius a. apollo* Linné.

760. f. *bosniackii* Bryk, 1917, Arch. Naturgesch. **82** (5): 38, ♀, Jelabuga, Gouv. Wiatka, Russland, abgebildet fig. 26, und **pl. 80 fig. 5**.

761. f. *verityi* Bryk = M 2 und M 3 verwachsen an der hinteren Discusecke; Bryk, 1915 b, Arch. Naturgesch. **80** (8): 151, ♀ Holotype, Mauritzberg, Schweden; *Parnassius a. apollo* Linné.

762. f. *seitzi* Bryk = Cu 1 verwächst mit Cu 2 am Discus; Bryk, 1915 c, Arch. Naturgesch. **80** (9): 136, ♂ Holotype, Stramberg, Moravia, Tschechoslowakei, abgebildet pl. 4 fig. 23; *Parnassius apollo strambergensis* Skala.

763. f. *seitzides* Bryk & Eisner = Cu 1 und Cu 2 gabeln sich vom gemeinsamen Stiel; Bryk & Eisner, 1937 a, Parn. **4**: 23, ♀ Holotype, Karpathen, Tschechoslowakei; *Parnassius apollo carpathicus* Rebel.

764. f. *mediofurculata* Bryk & Eisner = M 3 entspringt aus der Mitte von Cu 1, Stummel von M 3 indessen erhalten; Bryk & Eisner, 1937 a, Parn. **4**: 23, ♂ Holotype, Seisansk, Transbaikalien, Russland; *Parnassius apollo hesebolus* Nordmann.

Metathesis Hinterflügel

765. f. *ruhmannianus* Bryk = R 4 entspringt statt aus dem Discus aus R 5 (+ M 3); Bryk, 1914 p, Mitt. München. Ent. Ges. **5**: 76, ♀ Holotype,

Badelgraben, Steiermark, Österreich, ♂ Allotype, Peggau, Steiermark, Österreich, ♂ abgebildet pl. 8 fig. 2; *Parnassius apollo imperialis* Bryk.

766. f. *seitzii des posterior* Bryk & Eisner = Cu 1 und Cu 2 entspringen aus einem Stiel; Bryk & Eisner, 1937 a, Parn. 4: 24, ♂ Holotype, Vitosch, Bulgarien; *Parnassius apollo omotimoios* Fruhstorfer.

Metathesis Vorder- und Hinterflügel

767. f. *rebeli* Bryk = M 2 und M 3 entspringen aus der Discusecke; Bryk, 1914 t, Arch. Naturgesch. 80 (6): 162, ♂ Holotype, Östergötland, Schweden, abgebildet fig. 17; *Parnassius a. apollo* Linné.

768. f. *totiseitzii des* Bryk & Eisner = *seitzii des*-Zustand auf beiden Flügeln; Bryk & Eisner 1937 a, Parn. 4: 24, ♀ Holotype, Borshom, Kaukasus, Russland; *Parnassius apollo caucasicus* Pagenstecher.

Deformation von Form und Zeichnung durch Metathesis

769. *Parnassius nomion chosensis* Matsumura, ♂, Poktusan, Korea, abgebildet pl. 81 fig. 1.

770. *Parnassius epaphus abruptus* O. Bang-Haas, ♂, Lassa, Kansu, China, abgebildet pl. 81 fig. 2.

771. *Koramius szechenyi kansuensis* Bryk & Eisner, ♀, Tatung, Kansu, China, abgebildet pl. 81 fig. 3.

772. *Parnassius apollo melliculus* Stichel, ♀, Regensburg, Deutschland, abgebildet pl. 81 fig. 4.

773. *Parnassius apollo linnei* Bryk, ♀, Gotland, Schweden, abgebildet pl. 81 fig. 5.

774. *Parnassius tianschanicus thiseus* Ehrman, ♂, Naryn, Turkestan, Russland, abgebildet pl. 81 fig. 6.

775. *Parnassius apollo rubidus* Fruhstorfer, ♀, Klausen, Süd-Tirol, Italien, abgebildet pl. 82 fig. 1.

776. *Parnassius apollo omotimoios* Fruhstorfer, ♂, Vitosch, Bulgarien, abgebildet pl. 82 fig. 2.

777. *Kailasius i. inopinatus* Kotzsch, ♀, Panjao, W. Koh-i-Baba Mts., Afghanistan, abgebildet pl. 82 fig. 3.

Atrophy Vorderflügel

778. f. *baroniides* Bryk = R 1 fehlt (M 3 peroneur); Bryk, 1915 b, Arch. Naturgesch. 80 (8): 150, ♀ Holotype, Östergötland, Schweden, abgebildet in Bryk, 1914 s, Arch. Naturgesch. 80 (5): pl. 3 fig. 12; *Parnassius a. apollo* Linné.

779. f. *charlesi* Bryk = R 5 fehlt; Bryk, 1914 t, Arch. Naturgesch. 80

(6): 165, ♂ Holotype, Mauritzberg, Schweden, abgebildet fig. 25; *Parnassius a. apollo* Linné.

780. f. *bemmeleni* Bryk = Discus apertus, Querrippe zwischen Radial- und Medialstamm fehlt; Bryk, 1917, Arch. Naturgesch. **82** (5); 53, ♂ Holotype, Moravia, Tschechoslowakei; *Parnassius mnemosyne demaculatus* Fruhstorfer.

781. f. *primamediaextincta* Bryk & Eisner = M₁ fehlt; Bryk & Eisner, 1937 a, Parn. **4**: 25, ♂ Holotype, e.l., abgebildet in Bryk, 1917, Arch. Naturgesch. **82** (5): pl. 2 fig. 6; *Parnassius apollo rubidus* Fruhstorfer.

782. f. *primamediaextincta* Bryk & Eisner = R 5 peroneur und verschoben; Bryk & Eisner, 1937 a, Parn. **4**: 25, ♂ Paratype, e.l., abgebildet pl. **82 fig. 4**; *Parnassius apollo marcianus* Pagenstecher.

783. forma: M 2 und M 3 fehlen; Eisner, 1959 d, Zool. Meded. **36**: 262 (Parn. nov. xxvi), ♂, Bozen, Südtirol, Italien; *Parnassius apollo rubidus* Fruhstorfer (+ f. *seitzi* Bryk).

784. f. *aurivillii* Bryk = Cu 1 fehlt; Bryk, 1913 i, Arch. Rassenbiol. **9**: 682, ♀ Holotype, Slite, Gotland, Schweden; *Parnassius apollo linnei* Bryk.

Atrophia Hinterflügel

785. f. *depraecostalis* Bryk & Eisner = Praecostalsporn fehlt; Bryk & Eisner, 1937 a, Parn. **4**: 26, ♀ Holotype, Radde, Amur, Russland, abgebildet in Bryk, 1917, Arch. Naturgesch. **82** (5): pl. 2 fig. 14; *Parnassius b. bremeri* Bremer.

786. f. *miraculosa* Bryk & Eisner = R 1 und R 4 fehlen; Bryk & Eisner, 1937 a, Parn. **4**: 26, ♂ Holotype, Seishin, Korea, abgebildet pl. **82 fig. 5**; *Parnassius bremeri hakutozana* Matsumura.

787. f. *sergeji* Bryk = Discus apertus, Querrippe zwischen R 4 und R 5 fehlt; Bryk, 1914 a, Berl. Ent. Zeitschr. **8**: 205, ♂ Holotype, Jelabuga, Wiatka, Russland, abgebildet fig. c; *Parnassius mnemosyne ugrjumovi* Bryk.

788. f. *redtenbacheri* Bryk = Discus zwischen M 2 und R 5 + (M 1) offen; Bryk, 1919, Ent. Tidskr. **40**: 45, ♀ Holotype, Stockholm-Schären, Schweden, abgebildet fig. 4; *Parnassius a. apollo* Linné.

789. f. *ferdinandi* Bryk = M 2 fehlt; Bryk, 1914 t, Arch. Naturgesch. **80** (6): 164, ♀ Holotype, Mauritzberg, Schweden, abgebildet in Bryk, 1915 d, Arch. Naturgesch. **80** (10): pl. 35 fig. 152; *Parnassius a. apollo* Linné.

Allgemeine Atrophie des Hinterflügels

790. *Parnassius epaphus gyaella* Bryk & Eisner, ♂, Gya-Ladak, Indien, abgebildet pl. **82 fig. 6**.

791. *Parnassius apollo rhaeticus* Fruhstorfer, ♀, Pontresina, Engadin, Schweiz, abgebildet **pl. 82 fig. 7**.

792. *Parnassius bremeri conjuncta* Staudinger, ♀, Primorskii-Kraji, Ussuri, Russland, abgebildet **pl. 82 fig. 8**.

793. *Parnassius epaphus gautama* Bryk & Eisner, ♂, Nomohun-Pass, Burchan-Buddha-Kette, China, abgebildet **pl. 83 fig. 1**.

Atrophie Vorder- und Hinterflügel

794. f. *jordani* Bryk = Cu 2 links und rechts peroneur; Bryk, 1913 i, Arch. Rassenbiol. **9**: 683, ♀ Holotype, Slite, Gotland, Schweden; *Parnassius apollo linnei* Bryk.

795. f. *paradoxa* E. Hofmann = allgemeine Atrophie; Hofmann, 1929, Int. Ent. Zeitschr. **23**: 375, ♀ Holotype, Bayerische Alpen, Deutschland; *Parnassius apollo bartholomaeus* Stichel.

796. f. *jordaniides* Bryk & Eisner = Cu 1 auf beiden Flügeln peroneur; Bryk & Eisner, 1937 a, Parn. **4**: 29, ♂ Holotype, Seishin, Korea; *Parnassius bremeri hakutozana* Matsumura.

Plethoneura Vorderflügel

797. *Parnassius bremeri graeseri* Honrath, Bildung eines roten, überzähligen Flecks zwischen R 1 und R 2 im linken Vorderflügel; Bryk, 1931 f, Zool. Jahrb. Syst. **62**: 159, ♀, Noworotnaja am Schilka-Fluss, Sibirien, Russland, abgebildet fig. 15, und **pl. 83 fig. 2**.

798. *Parnassius apollo nivatus* Fruhstorfer, Auftreten von R 2 und *bosniackii*-Zustand; Bryk, 1931 f, Zool. Jahrb. Syst. **62**: 158, ♀, e.l., Bözingen, Jura, Schweiz, abgebildet fig. 13, und **pl. 83 fig. 3**.

799. *Parnassius apollo rubidus* Fruhstorfer, R 1 und R 2 überkreuzt, Ax 1 peroneur gegabelt; Bryk, 1931 f, Zool. Jahrb. Syst. **62**: 158, ♂, Klausen, Südtirol, Italien, Rippendarstellung fig. 10-11, abgebildet **pl. 83 fig. 4**.

800. f. *spuleri* Bryk = R 2 geht als Stummel in den Discus des Vorderflügels; Bryk, 1912 f, Soc. Ent. **27**: 53, ♂ Holotype, Sortavala, Karelien, Russland; *Parnassius mnemosyne carjala* Bryk.

801. f. *hofmanni* Bryk = Rippe zwischen M 3 und Cu 1 geht in den Discus des Vorderflügels; Bryk, 1914 b, Int. Ent. Zeitschr. **8**: 1, ♀ Holotype, Sotka-Gora, Amur, Russland; *Parnassius stubbendorfi bodemeyeri* Bryk.

802. f. *antintercubitalis* Bryk = zwischen Cu 1 und Cu 2 überzählige Rippe; Bryk, 1917, Arch. Naturgesch. **82** (5): 41, ♀ Holotype, Vogelsberg,

Hessen, Deutschland, abgebildet pl. 2 fig. 13; *Parnassius mnemosyne hassis-*
cus Pagenstecher.

803. f. *analis* Bryk & Eisner = die sonst nur als Falte markierte Anal-
rippe erhalten; Bryk & Eisner, 1937 a, Parn. 4: 29, ♂ Holotype, Vernet-
les-Bains, Pyrénées-orientales, Frankreich; *Parnassius apollo chrysophorus*
Fruhstorfer.

Plethoneura Hinterflügel

804. f. *kunzianus* Bryk = aus R 1 entspringt eine überzählige Rippe;
Bryk, 1915 b, Arch. Naturgesch. 80 (8): 151, ♀ Holotype, Jelabuga, Wiatka,
Russland, abgebildet in Bryk, 1917, Arch. Naturgesch. 82 (5): pl. 2 fig. 15;
Parnassius apollo democratulus Krulikowsky.

805. f. *strandianus* Bryk = R 3 erhalten; Bryk, 1915 a, Arch. Natur-
gesch. 80 (7): 159, ♀ Holotype, ♂ Allotype, Koksu, Fergana, Russland, ab-
gebildet in Bryk, 1914 q, Soc. Ent. 29: fig. 44; *Parnassius mnemosyne*
pythonia Bryk (als f. von *Lingamius hardwickei* J. E. Gray aufgestellt).

806. f. *reuteriides* Bryk = M 1 zwischen R 2 und R 5 (+ M 1) erhalten,
R 2 entspringt aus dem Discus; Bryk, 1931 f, Zool. Jahrb. Syst. 62: 154,
♂ Holotype, Abas Tuman, Kaukasus, Russland, abgebildet fig. 6; *Parnas-*
sius apollo caucasicus Pagenstecher.

807. f. *ernae* Bryk = f. *strandianus* + f. *reuteriides*; Bryk, 1928, Soc.
Ent. 43: 38, ♀ Holotype, Trafoi, Südtirol, Italien, abgebildet fig. 1a und
fig. 2a; *Parnassius phoebus expectatus* Fruhstorfer.

808. f. *intermedialis* Bryk & Eisner = 2 Rippen zwischen M 2 und M 3
erhalten; Bryk & Eisner, 1937 a, Parn. 4: 30, ♀ Holotype, Sham Chalsi,
Kaschmir, Indien, abgebildet pl. 83 fig. 5; *Kailasius charltonius deckerti*
Verity.

809. f. *postmediocubitalis* Bryk & Eisner = Rippe zwischen M 3 und
Cu 1 erhalten; Bryk & Eisner, 1937 a, Parn. 4: 30, ♀ Holotype, Mauritz-
berg, Schweden; *Parnassius a. apollo* Linné (nicht *P. a. rubidus* Fruh-
storfer).

810. f. *postintercubitalis* Bryk & Eisner = Rippe zwischen Cu 1 und
Cu 2 erhalten; Bryk & Eisner, 1937 a, Parn. 4: 30, ♀ Allotype, Jelabuga,
Wiatka, Russland; *Parnassius mnemosyne ugrjumovi* Bryk.

811. f. *homoneura* Bryk & Eisner = überzählige Rippen peroneur er-
halten zwischen M 1 und M 2 im Vorderflügel, zwischen R 5 (+ M 1)
und M 2 im Hinterflügel; Bryk & Eisner, 1937 a, Parn. 4: 31, ♂ Holotype,
Korouk-tag, Korla, Russland, abgebildet in Bryk, 1919, Ent. Tidskr. 40:
fig. 1; *Parnassius actius pseudocaesar* Eisner & Sheljuzhko.

Furkulatio Vorderflügel

812. f. *schulzei* Bryk = M 3 gegabelt; Bryk, 1914 a, Berl. Ent. Zeitschr. **58**: 205, ♀ Holotype, Jelabuga, Wiatka, Russland, abgebildet fig. a; *Parnassius mnemosyne ugrjumovi* Bryk.

813. f. *cubitalis* Bryk & Eisner = Cu 2 plethoneur gegabelt; Bryk & Eisner, 1937 a, Parn. **4**: 31, ♂ Holotype, Petropawlowsk, Kamschatka, Russland; *Parnassius phoebus corybas* Fischer de Waldheim.

Furkulatio Hinterflügel

814. f. *reuteri* Bryk = R 5 (+ M 1) gegabelt; Bryk, 1912 h, Soc. Ent. **27**: 61, ♀ Holotype, Pamir, Russland, abgebildet in Bryk, 1931 f, Zool. Jahrb. Syst. **62**: fig. 5; *Parnassius jacquemontii pamira* O. Bang-Haas.

815. f. *postprimocubitalis* Bryk & Eisner = Cu 1 gegabelt; Bryk & Eisner, 1937 a, Parn. **4**: 32, ♂ Holotype, Higashi-Murayama, Yamagata, Japan; *Parnassius glacialis noguchii* Arakawa.

816. f. *krulikowskyi* Bryk = Cu 2 gegabelt; Bryk, 1914, Berl. Ent. Zeitschr. **58**: 205, ♂ Holotype, Jelabuga, Wiatka, Russland; *Parnassius mnemosyne ugrjumovi* Bryk.

Furkulatio Vorder- und Hinterflügel

817. f. *kolari* Bryk = Cu 1 auf allen Flügeln gegabelt; Bryk, 1922 c, Zeitschr. Österreich. Ent.-Ver. **7**: 1, ♂ Holotype, Flösselberg, Österreich; *Parnassius mnemosyne litavia* Bryk.

Clathroneura

818. f. *clathratus* Bryk = überzählige Querrippe zwischen R 4 und R 5 (+ M 1) im Hinterflügel; Bryk, 1914 b, Int. Ent. Zeitschr. **8**: 1, ♂ Holotype, Sotka-Gora, Amur, Russland; *Parnassius stubbendorfi bodemeyeri* Bryk.

819. *Parnassius j. jacquemontii* Boisduval, ♂, überzählige Querader zwischen M 3 und Cu 1, ♂, Bashar-States, Indien, abgebildet in Bryk, 1931 f, Zool. Jahrb. Syst. **62**: fig. 3 (nicht *P.j. poeta*!), und pl. **83 fig. 6**.

820. *Parnassius e. eversmanni* Ménétries, Querrippe zwischen Cu 1 und Cu 2 + Areolatio im rechten Hinterflügel; ♀, Mondy, Sajan-Gebirge, Russland, abgebildet pl. **83 fig. 7**.

821. *Parnassius phoebus dakotaensis* Bryk & Eisner, durch Querrippe im linken Vorderflügeldiscus anormale Zeichnung; ♀, Black-Hills, Dakota mer., U.S.A., abgebildet pl. **83 fig. 8**.

822. *Parnassius bremeri conjuncta* Staudinger, anormale Zeichnung durch

Querrippe, Areola, M 3 peroneur; ♀, Bikin-Fluss, Ussuri, Russland, abgebildet **pl. 84 fig. 1.**

Areolatio

823. f. *haudeanus* Bryk = plethoneur Ast aus M 1 bildet lange Zelle mit R 5; Bryk, 1914 m, Int. Ent. Zeitschr. **8**: 40 und Bryk, 1917, Arch. Naturgesch. **82** (5): 39 (Berichtigung), ♂ Holotype, Bozen, Südtirol, Italien, Geäder abgebildet in Bryk, 1917, Arch. Naturgesch. **82** (5): pl. 2 fig. 8; *Parnassius apollo rubidus* Fruhstorfer.

824. f. *intermediata* Bryk & Eisner = Rippe zwischen M 1 und M 2 bildet lange Zelle mit M 1; Bryk & Eisner, 1931 g, Parn. **1** (6): 6, ♂ Holotype, Lötschental, Schweiz, abgebildet fig. 5; *Parnassius mnemosyne mixtus* Fruhstorfer.

825. f. *kerteszi* Bryk = R 5 (+ M 1) bilden mit überzähliger Rippe am Discus eine Areola; Bryk, 1914 t, Arch. Naturgesch. **80** (6): 163, ♂ Holotype, Ortler-Gebiet, Italien, abgebildet fig. 21; *Parnassius phoebus expectatus* Fruhstorfer.

826. f. *ernaides* Bryk & Eisner = R 2 erhalten, bildet mit Sc (+ R 1) im Hinterflügel eine grosse Zelle; Bryk en Eisner, 1937 a, Parn. **4**: 35, ♂ Holotype, Vikar-Tal, Tirol, Österreich, abgebildet **pl. 84 fig. 2**; *Parnassius phoebus expectatus* Fruhstorfer.

827. f. *areolata* Bryk = M 1 bildet mit M 2 eine Zelle; Bryk, 1935 f, Tierreich **65**: 308, ♂ Holotype, Inn-shan, Mongolei, China, abgebildet in Bryk, 1931 f, Zool. Jahrb. Syst. **62**: fig. 8, und **pl. 84 fig. 3**; *Parnassius nomion annae* Bryk.

828. *Parnassius nomion sinensis* O. Bang-Haas, Vorderflügel rechts, Areola zwischen R 4 und R 5, überzählige Rippen zwischen M 1 und M 2 und M 3, Sc und R 5 atrophiert, M 3 plethoneur, linker Vorderflügel atrophiert, Deformation der Zeichnung, teilweise Entschuppung der Vorderflügel; ♂, Langchowfu, Kansu, China, abgebildet **pl. 84 fig. 3**.

Didymosis

829. *Parnassius apollo xerophilus* Fruhstorfer, linker Vorderflügel zeigt im Spiegelbild die zusätzlichen Rippen M, Cu 1 und Cu 2; ♂, Mesocco, Val Mesocco, Schweiz, abgebildet in Bryk, 1919, Ent. Tidskr. **40**: fig. 2 (Falter), fig. 3 (Geäder), und **pl. 84 fig. 4**.

830. *Parnassius bremeri ellenae* Bryk, Ansatz eines Zwillingssflügels am Apex des linken Vorderflügels; ♂, Wu-Tai-Shan, Shansi, China, abgebildet **pl. 84 fig. 5**.

831. *Parnassius apollo melliculus* Stichel, Diaplasma, fünfter Flügel; ♂, Happürg, Bayern, Deutschland, abgebildet **pl. 84 fig. 6**.

832. *Zerynthia h. hypermnestra* Scopoli, Zeichnungsdeformation durch Atrophie im rechten Vorderflügel; ♂, Donau-Auen, Wien, Österreich, abgebildet **pl. 84 fig. 7**.

833. *Zerynthia hypermnestra demnoscia* Freyer, durch starke Atrophie so weitgehende Veränderung der Zeichnung, dass das Tier den habitus einer anderen Art vorspiegelt; ♂, Dalmatien, Jugoslavien, abgebildet **pl. 84 fig. 8**.

LITERATUR

- Die Literaturliste enthält die Daten für alle hier, als auch in „Parnassiana“ und „Parnassiana nova“ erwähnten Parnassiiden.
- ALPHÉRAKY, S., 1897. Sur quelques Lépidoptères rapportés de l'Asie, en 1893-1895, par l'expédition de M-rs Roborowsky et Kozlov. — In N. M. ROMANOFF, Mémoires sur les Lépidoptères **9**: 229-237, pl. 12 fig. 1-4, 7.
- AVINOFF, A., 1912. [Quelques formes nouvelles du genre *Parnassius* Latr.]. — *Horae Soc. Ent. Ross.* **40** (5): 1-21, pl. 2.
- , 1916. Some new forms of *Parnassius* (Lepidoptera Rhopalocera). — *Trans. Ent. Soc. Lond.* **1915**: 351-360, pl. 52-54.
- BANG-HAAS, O., 1915a. Rhopalocera der Chotan-Ausbeute 1914. — *Iris* **29**: 92-100.
- , 1915b. Zur Kenntnis von *Parnassius delphinius* Eversm. und verwandte Arten. — *Iris* **29**: 148-170, pl. 4, pl. 5 fig. 16-20.
- , 1915c. Einiges über *Parnassius*. — *Iris* **29**: 170-175, pl. 5 fig. 21-29.
- , 1927. Rhopalocera. — *Horae Macrolep.* **1**: i-xxviii, 1-128, pl. I-II.
- , 1928. Neubeschreibungen und Berichtigungen der palaearktischen Macrolepidopterenfauna i. — *Ent. Zeitschr.* **42**: 59-61.
- , 1929. Neubeschreibungen und Berichtigungen der palaearktischen Macrolepidopterenfauna ii. — *Ent. Zeitschr.* **43**: 122-124, fig. 1-2.
- , 1932. Neubeschreibungen und Berichtigungen der palaearktischen Macrolepidopterenfauna iii. — *Ent. Zeitschr.* **46**: 200.
- , 1933a. Neubeschreibungen und Berichtigungen der palaearktischen Macrolepidopterenfauna iv. — *Ent. Zeitschr.* **46**: 261-263.
- , 1933b. Neubeschreibungen und Berichtigungen der palaearktischen Macrolepidopterenfauna v. — *Ent. Zeitschr.* **47**: 90-92.
- , 1934a. Neubeschreibungen und Berichtigungen der palaearktischen Macrolepidopterenfauna vii. — *Ent. Zeitschr.* **47**: 178-179.
- , 1934b. Neubeschreibungen und Berichtigungen der palaearktischen Macrolepidopterenfauna viii. — *Ent. Zeitschr.* **48**: 7-8.
- , 1934c. Neubeschreibungen und Berichtigungen der palaearktischen Macrolepidopterenfauna xv. — *Ent. Zeitschr.* **48**: 135.
- , 1935a. Neubeschreibungen und Berichtigungen der palaearktischen Macrolepidopterenfauna xvi. — *Ent. Zeitschr.* **48**: 152.
- , 1935b. Neubeschreibungen und Berichtigungen der palaearktischen Macrolepidopterenfauna xvii. — *Ent. Zeitschr.* **48**: 183-184.
- , 1935c. Neubeschreibungen und Berichtigungen der palaearktischen Macrolepidopterenfauna xx. — *Ent. Zeitschr.* **49**: 111-112.
- , 1937. Neubeschreibungen und Berichtigungen der palaearktischen Macrolepidopterenfauna xxxii. — *Ent. Zeitschr.* **51**: 329-330, fig. 1-2.
- , 1938a. Neubeschreibungen und Berichtigungen der palaearktischen Macrolepidopterenfauna xxxiv. — *Parn.* **5**: 56-59.

- , 1938b. *Parnassius epaphus beresowskyi* Staudinger. — Parn. **5**: 59-60.
- , 1938c. Die Unterarten von *Parnassius* des westlichen China. — Parn. **5**: 61-65.
- , 1938d. Neubeschreibungen und Berichtigungen der palaearktischen Macrolepidopterenfauna xxxvii. — Parn. **6**: 15-24, pl. 1-2.
- BISCHOFF, H., 1932. Ueber einen bisher unbeachteten Sexualcharakter der Parnassier. — Parn. **2**: 16-19, fig. 3-4.
- BOLLOW, C., 1931. Gattung: *Parnassius* Latr. — In A. SEITZ, Die Gross-Schmetterlinge der Erde, Supplement zu Band 1, Die palaearktischen Tagfalter, Nachträge: 328-332.
- BRYK, F., 1911a. Ueber eine neue Aberration von *Parnassius apollo*, im finnischen Ladoga-gebiete (Karelia ladogensis) (carelius nov. subsp. Bryk). — Soc. Ent. **25**: 97-98, 1 fig.
- , 1911b. Eine seltsame Aberration der neuen karelischen Rasse von *Parnassius apollo* L. (Lep. Rhop.). — Berl. Ent. Zeitschr. **55**: 255-261, pl. 3 fig. 8.
- , 1911c. Der Linnésche Apollo. — Int. Ent. Zeitschr. **5**: 155-156, fig. 6, 9.
- , 1911d. Ueber die karelische *Mnemosyne* (Parn. *mnemosyne* var. *karjala* nov. subsp. Bryk). — Soc. Ent. **26**: 37-40, fig. 1-4.
- , 1911e. Ueber eine unbekannte Neuerung in der Flügeltracht der Gattung *Parnassius* Latr. — Soc. Ent. **26**: 54-55.
- , 1911f. *Parnassiana*. Nova subspecies seu nova species (*Parnassius mnemosyne adolphi* m. nov. subsp. seu? *Parnassius adolphi* m. nov. species?) (Syn.: *Parnassius mnemosyne* var. *hyrcana* Bang-Haas i.l.). — Soc. Ent. **26**: 60.
- , 1911g. *Parnassiana*. Nova subspecies seu nova species (*Parnassius mnemosyne adolphi* m. nov. subsp. seu? *Parnassius adolphi* m. nov. species?) (Syn.: *Parnassius mnemosyne* var. *hyrcana* Bang-Haas i.l.). — Soc. Ent. **26**: 62-63, fig. 1-3.
- , 1912a. *Parnassiana* iii. Der Apollo aus dem Sajangebirge. — Soc. Ent. **27**: 11-12, fig. 1-4.
- , 1912b. *Parnassiana* v. Zur Synopsis der asiatischen *Mnemosyne*. — Soc. Ent. **27**: 24-25.
- , 1912c. Vornehme *Parnassius*-formen. — Jahrb. Nassau. Ver. Naturk. **65**: 2-35, pl. 1.
- , 1912d. *Parnassiana* v. Zur Synopsis der asiatischen *Mnemosyne*. — Soc. Ent. **27**: 38-40, fig. 1-6.
- , 1912e. *Parnassiana* v. Zur Synopsis der asiatischen *Mnemosyne*. — Soc. Ent. **27**: 48-50, fig. 7-10.
- , 1912f. *Parnassiana* v. Zur Synopsis der asiatischen *Mnemosyne*. — Soc. Ent. **27**: 52-53.
- , 1912g. *Parnassiana* vi. Ueber die Aeuglein des amerikanischen *Delius*. — Soc. Ent. **27**: 57-58, fig. 1-4.
- , 1912h. *Parnassiana* v. Zur Synopsis der asiatischen *Mnemosyne*. — Soc. Ent. **27**: 61-62.
- , 1912i. Referat von A. PAGENSTECHER, Ueber die Geschichte, das Vorkommen und die Erscheinungsweise von *Parnassius mnemosyne* L. — Soc. Ent. **27**: 64-66, 1 fig.
- , 1912j. *Parnassiana* v. Zur Synopsis der asiatischen *Mnemosyne*. — Soc. Ent. **27**: 71-74, fig. 11-14.
- , 1912k. *Parnassiana* v. Zur Synopsis der asiatischen *Mnemosyne*. — Soc. Ent. **27**: 87-89, fig. 7a, 15-21.
- , 1912l. *Parnassiana* viii. Noch einmal über den Linnéschen Apollo. — Soc. Ent. **27**: 95-97, fig. 1-5.
- , 1912m. *Parnassiana* v. Zur Synopsis der asiatischen *Mnemosyne*. — Soc. Ent. **27**: 99-101, fig. 22-25.
- , 1912n. *Parnassiana* v. Zur Synopsis der asiatischen *Mnemosyne*. — Soc. Ent. **27**: 106-107.

- , 1913a. *Parnassiana ix.* Die feurigen Weiber aus Cataluña und ihre Rivalinen. — Soc. Ent. **28**: 9-12, fig. 1-3.
- , 1913b. *Parnassiana v.* Zur Synopsis der asiatischen *Mnemosyne*. — Soc. Ent. **28**: 14-16, fig. 12a, 26-29.
- , 1913c. *Parnassiana viii.* Noch einmal über den Linnéschen Apollo. γ. Die nomenclatorische Behandlung des fennoskandischen Apollos. — Soc. Ent. **28**: 31-34, fig. 1-3.
- , 1913d. *Parnassiana xi.* Neue Spielarten von *Parnassius apollo* L. — Soc. Ent. **28**: 65-66.
- , 1913e. *Parnassiana xii.* Neue Aberrationen von *Parnassius nomion* F. d. W. — Soc. Ent. **28**: 71, fig. 1-2.
- , 1913f. Eine neuer *Parnassius*. — Arch. Naturgesch. **79 A** (6): 123-124.
- , 1913g. *Parnassiana xiii.* Zehn neue Namen! — Soc. Ent. **28**: 94-95.
- , 1913h. *Parnassiana xiii.* Zehn neue Namen! Figuren zu dem in Nr. 22 enthaltenen Aufsatz. — Soc. Ent. **28**: 102.
- , 1913i. Ueber das Auftreten einer Mutation mit verändertem Adersysteme von *Parnassius apollo* L. auf der Insel Gotland. — Arch. Rassenbiol. **9**: 681-693.
- , 1914a. *Parn. mnemosyne ugrjumovi* n. subsp. — Berl. Ent. Zeitschr. **58**: 201-210, fig. a-d, pl. 2.
- , 1914b. Ueber das Abändern des Stubbendorfs-Apollo. — Int. Ent. Zeitschr. **8**: 1-3, fig. 1-11.
- , 1914c. *Parnassiana XIV.* Ein neuer *Acdestis* (*Tadumia acdestis* Gr. Gr. subsp. *priamus* B.-Hs. i.l.). — Soc. Ent. **29**: 24-25, fig. 1-3.
- , 1914d. Ueber die Variabilität von *Parnassius bremeri* Feld. (Lep. Rhop.). — Ent. Mitt. **3**: 74-83, fig. 1-2, pl. 1.
- , 1914e. Referat von CHARLES OBERTHÜR, A propos des races géographiques de *Parnassius apollo*. — Soc. Ent. **29**: 27-29, fig. 1-2.
- , 1914f. Ueber das Abändern des Stubbendorfs-Apolls. — Int. Ent. Zeitschr. **8**: 7-9, fig. 12-22.
- , 1914g. Ueber das Abändern des Stubbendorfs-Apolls. — Int. Ent. Zeitschr. **8**: 11-12.
- , 1914h. Ueber das Abändern des Stubbendorfs-Apolls. — Int. Ent. Zeitschr. **8**: 19-20.
- , 1914i. Neue Parnassiiden. — Mitt. München. Ent. Ges. **5**: 26-34, fig. 1-2, pl. 1.
- , 1914j. Ueber das Abändern des Stubbendorfs-Apolls. — Int. Ent. Zeitschr. **8**: 23-24.
- , 1914k. *Parnassiana v.* Zur Synopsis der asiatischen *Mnemosyne*. — Soc. Ent. **29**: 42-44, fig. 31a-34a.
- , 1914l. Neue Parnassier für den Junk'schen Katalog. — Int. Ent. Zeitschr. **8**: 35-36.
- , 1914m. Neue Parnassier für den Junk'schen Katalog. — Int. Ent. Zeitschr. **8**: 39-40.
- , 1914n. *Parnassiana v.* Zur Synopsis der asiatischen *Mnemosyne*. — Soc. Ent. **29**: 66-68, fig. 25-38.
- , 1914o. Randbemerkungen zu Dr. Pagenstechers *Parnassius apollo* in Kaukasien. — Mitt. München. Ent. Ges. **5**: 70-74, pl. 7 fig. 1-3, pl. 8 fig. 4.
- , 1914p. Eine neue Form der Brittingeri-Rasse (*Parnassius apollo* L. f. *imperialis Bryk*). — Mitt. München. Ent. Ges. **5**: 74-76, pl. 8 fig. 1-3.
- , 1914q. *Parnassiana v.* Zur Synopsis der asiatischen *Mnemosyne*. — Soc. Ent. **29**: 69-71, fig. 41-42, 44.
- , 1914r. *Parnassiana xv.* Die neueste Mode der Prachtbinde im Vorderflügel der Gattung *Parnassius* Latr. — Soc. Ent. **29**: 77, fig. 1.
- , 1914-1915. Ueber das Abändern von *Parnassius apollo* L. Untersuchungen über

- Biologie und Zeichnungsverhältnisse des Formenkreises *Parnassius apollo* L. — Arch. Naturgesch. **80** A (5): 131-160, fig. 1-9, pl. 1-3 [1914s]; (6): 149-180, fig. 10-29, pl. 4-8 [1914t]; (7): 153-184, fig. 30-36, pl. 9-13 [1915a]; (8): 143-174, pl. 14-21 [1915b]; (9): 133-164, pl. 22-29 [1915c]; (10): 147-167, pl. 30-35 [1915d]. Separat erschienen als „*Parnassius apollo* L. und sein Formenkreis“: 1-181, fig. 1-36, pl. 1-35.
- , 1917. Ueber das Abändern der Rippenkonfiguration im Genus *Parnassius* Latr. Beiträge zur Entwicklung des Rhopalocerengeäders. — Arch. Naturgesch. **82** A (5): 35-74, 11 fig. + fig. 24-28, pl. 2 (= fig. 1-23b)-3.
- , 1919. Weitere Beiträge zur Variabilität der Rippenkonfiguration der Parnassiiden. — Ent. Tidskr. **40**: 33-48, fig. 1-11.
- , 1921a. *Parnassiana*. *Parnassius mnemosyne* L. in Europa. α . Die nordischen Rassen. — Soc. Ent. **36**: 17-19, fig. 1, 3.
- , 1921b. *Parnassiana*. *Parnassius mnemosyne* L. in Europa. — Soc. Ent. **36**: 21-23, fig. 2, 4-5.
- , 1921c. Die Variabilität der Flügelzeichnung im Genus *Luehdorfia* Crüger. — Zeitschr. Österr. Ent.-Ver. **6**: 31-34, fig. 1-5.
- , 1921d. Neue Parnassiiden. — Ent. Tidskr. **42**: 112-119, fig. 1-13.
- , 1922a. *Parnassiana*. *Parnassius mnemosyne* L. in Europa. β . Die estnische Form. — Soc. Ent. **37**: 5-6.
- , 1922b. *Parnassiana*. *Parnassius mnemosyne* L. in Europa. Einige südländische Formen meiner Sammlung. — Soc. Ent. **37**: 11-12, fig. 1-2.
- , 1922c. Eine neue Mnemosyneform aus Niederösterreich. — Zeitschr. Österr. Ent.-Ver. **7**: 1-2.
- , 1922d. Ueber das Abändern von *Parnassius apollo* L. Nachtrag. — Arch. Naturgesch. **87** A (10): 230-243, fig. 1-9.
- , 1922e. *Parnassiana*. *Parnassius mnemosyne* L. in Europa. Einige südländische Formen meiner Sammlung. — Soc. Ent. **37**: 13-16, fig. 3-7.
- , 1922f. *Parnassiana*. *Parnassius mnemosyne* L. in Europa. Einige südländische Formen meiner Sammlung. — Soc. Ent. **37**: 18-20, fig. 8, 15.
- , 1922g. *Parnassiana*. *Parnassius mnemosyne* L. in Europa. Einige südländische Formen meiner Sammlung. — Soc. Ent. **37**: 22-23, fig. 9.
- , 1922h. *Parnassiana*. *Parnassius mnemosyne* L. in Europa. Einige südländische Formen meiner Sammlung. — Soc. Ent. **37**: 25-26, fig. 10-11.
- , 1923a. Neue Parnassier. — Ent. Zeitschr. **36**: 56, 1 fig.
- , 1923b. Baroniidae, Teinopalpidae, Parnassiidae. — In E. STRAND, Lepidopterorum Catalogus **24** (27): 1-247.
- , 1923c. *Parnassiana*. γ . Eine neue spanische Apollorasse. — Soc. Ent. **38**: 29-30, fig. 1-2.
- , 1925. *Parnassiana*. *Parnassius mnemosyne* L. in Galizien und Rumänen. — Soc. Ent. **40**: 29-30.
- , 1928. Ueber *Parnassius phoebus* ab. *ernae* Eisner. — Soc. Ent. **43**: 38, fig. 1-2.
- , 1929. *Parnassiana*. Eine neue Rasse von *Parnassius phoebus*. — Soc. Ent. **44**: 17-18, fig. 1-15.
- , 1930a. *Parnassius*-Spiegel für 1930. — Parn. **1** (2): 4.
- , 1930b. Ueber Melanismus bei *Parnassius apollo* L. — Parn. **1** (4): 3-5, fig. 5.
- , 1930c. *Parnassius*-Spiegel für 1930. — Parn. **1** (4): 6.
- , 1931a. *Kailasius charltonius* Gray subsp. *eisnerianus* (m.). — Parn. **1** (5): 1-2, fig. 1-2.
- , 1931b. *Parnassius*-Spiegel für 1930-1931. — Parn. **1** (5): 7.
- , 1931c. *Parnassius rothschildianus* m. — Parn. **1** (6): 4.
- , 1931d. Sphragidologisches. — Parn. **1** (6): 8.
- , 1931e. Eine neue Form van *Baronia*. — Parn. **1** (7-8): 8-9.

- , 1931f. Die Abhängigkeit der Augenflecke vom Flügelgeäder in der Gattung *Parnassius* Latr. Ein Beitrag zur Zeichnung der Lepidopteren. — Zool. Jahrb. Syst. **62**: 149-174, fig. 1-32.
- , 1932a. Parnassiologische Studien aus England. — Parn. **2**: 1-6, fig. 1-2.
- , 1932b. Parnassiologische Studien aus England. Parn. **2**: 19-21.
- , 1932c. Parnassiologische Studien aus England. — Parn. **2**: 31-33, fig. 1-5.
- , 1932d. Berichtigung zu Heft 2. — Parn. **2**: 42.
- , 1932e. Parnassiologische Studien aus England. — Parn. **2**: 46-50.
- , 1932f. *Parnassius homrathi* ssp. *ernesti* (ssp. *nova*). — Parn. **2**: 65.
- , 1932g. Neue Thais-Rassen. — Parn. **2**: 66.
- , 1932h. Parnassiologische Studien aus England. — Parn. **2**: 67-68.
- , 1932i. Neue Zerynthiinae. — Parn. **2**: 102-104.
- , 1934a. Lepidoptera Baroniidae, Teinopalpidae, Parnassiidae pars i. — Tierreich **64**: i-xxiii, 1-129, fig. 1-87.
- , 1934b. Parnassiologische Studien aus England. — Parn. **3**: 27-28.
- , 1934c. Parnassiologische Studien aus England. — Parn. **3**: 31-32.
- , 1934d. Parnassius-Spiegel. — Parn. **3**: 42-44.
- , 1935a. *Koramius cephalus* Leech forma ven. met. *tadumica* Bryk (forma nova). — Parn. **3**: 63.
- , 1935b. Parnassius-Spiegel. — Parn. **3**: 64.
- , 1935c. *Sericinus sphragidophor*! — Parn. **3**: 75.
- , 1935d. Parnassius-Spiegel. — Parn. **3**: 75.
- , 1935e. Parnassius-Spiegel. — Parn. **3**: 96.
- , 1935f. Lepidoptera Parnassiidae pars ii (subfam. Parnassiinae). — Tierreich **65**: i-ii, 1-788, fig. 1-698.
- , 1935g. Parnassiinae (Lepid.). — In Ph. C. VISSER & J. VISSER-HOOFT, Wissenschaftliche Ergebnisse der Niederländischen Expeditionen in den Karakorum und die angrenzenden Gebiete in den Jahren 1922, 1925 und 1929/30: 337-340, fig. 1-2, pl. I fig. 2.
- , 1936a. H. Hönes Parnassiusausbeute vom Jahre 1936. — Parn. **4**: 1-4, 1 fig.
- , 1936b. Parnassius-Spiegel. — Parn. **4**: 15-16.
- , 1937a. Zur Synonymie von *Tithorea* Doubl. (Lep. Danaidae). (*Elzunia* Bryk gen. nov.). — Parn. **4**: 20-21.
- , 1937b. Das Begattungszeichen als Ausdruck phyletischer Beziehungen. — Parn. **4**: 42-45, fig. 1-3.
- , 1937c. Parnassius-Spiegel. — Parn. **4**: 64-66.
- , 1937d. Parnassius-Spiegel. — Parn. **5**: 18.
- , 1938a. Die Zeichnung der Flügelunterseite von *Kailasius autocrator* Avinoff. — Parn. **5**: 19-21, fig. 1-2.
- , 1938b. Parnassius-Spiegel. — Parn. **5**: 41-45, fig. 3-4.
- , 1938c. Ueber eine auffallende artfremde Copula unter den Parnassiiden. — Parn. **5**: 47-48, 1 fig.
- , 1938d. Neue Parnassiiden aus dem Zoologischen Reichsmuseum Alexander König in Bonn. — Parn. **5**: 50-54, fig. 1-3.
- , 1938e. Ein neuer Genus-Namen. — Parn. **5**: 54.
- , 1938f. Parnassius-Spiegel. — Parn. **5**: 65-66.
- , 1938g. Neue Parnassiiden aus dem Zoologischen Reichsmuseum Alexander König in Bonn. — Parn. **6**: 1-5, fig. 1.
- , 1938h. Parnassius-Spiegel. — Parn. **6**: 12-13.
- , 1938i. Parnassius-Spiegel. — Parn. **6**: 31-32.
- , 1939a. Parnassius-Spiegel. — Parn. **6**: 44.
- , 1939b. Parnassius-Spiegel. — Parn. **6**: 59-60.

- , 1943. Neue Tibetanische Parnassier aus dem Reichsmuseum König (Lep.). — Mitt. München. Ent. Ges. **33**: 26-32, pl. 5-6.
- BRYK, F. & C. EISNER, 1929a. Eine neue subspecies von *Parn. apollo* aus Piemont. — Soc. Ent. **44**: 27.
- , 1929b. *Parn. stubbendorfi* Elwes subspecies *diabolicus* (n.). — Soc. Ent. **44**: 47-48, fig. 1-4.
- , 1930a. *Parn. mnemosyne* subspecies *gallicus* (n.). — Soc. Ent. **45**: 4, fig. 1-3.
- , 1930b. Eine neue Rasse von *Parnassius acdestis* Gr. Gr. (Lep. Parnass.). — Mitt. Dtsch. Ent. Ges. **1**: 7-8, fig. 1-2.
- , 1930c. *Parnassius apollo* *euboehemicus* subsp. nov. (Lep. Rhop.). — Mitt. Dtsch. Ent. Ges. **1**: 37-38.
- , 1930d. Eine neue Rasse von *Parnassius simo*. — Parn. **1** (1): 1-3, fig. 1-4.
- , 1930e. Zur Präzisierung von *Parn. mnemosyne hungaricus* Rothschr. — Parn. **1** (2): 1-3, fig. 1-4.
- , 1930f. *Parnassius mnemosyne* L. subspecies *balcanica* (n.). — Parn. **1** (2): 3-4, fig. 5-6.
- , 1930g. *Parnassius apollo* L. in Klein-Asien. — Parn. **1** (4): 1-3, pl. 1.
- , 1931a. *P. stenosemus* Honr. subspecies *divinus* (n.). — Parn. **1** (5): 3-4, fig. 3.
- , 1931b. Neue *Parnassius*-Formen. — Parn. **1** (5): 4.
- , 1931c. Zwei neue *Phoebus*-Rassen. — Parn. **1** (5): 5-7, fig. 4-7.
- , 1931d. *Parnassius actius* Ev. und seine Rassen. — Parn. **1** (6): 1-3, fig. 1-4.
- , 1931e. *Parnassius* L. subsp. *bellringi* (n.) (nom. nov.). — Parn. **1** (6): 5.
- , 1931f. Variabilität der Antennen bei der Gattung *Parnassius*. — Parn. **1** (6): 5-6.
- , 1931g. *Parnassius mnemosyne* L. subsp. *mixtus* Fr. ab. *pleth. intermediatus* (m.). — Parn. **1** (6): 6, fig. 5.
- , 1931h. In der Literatur noch nicht erwähnte Aberrations-richtungen bei den einzelnen *Parnassius*-Arten. — Parn. **1** (6): 8.
- , 1931i. *Parnassius mnemosyne* L. in Klein-Asien. — Parn. **1** (7-8): 1-3, fig. 1-3.
- , 1931j. Ueber *Parnassius szechenyi* Friw. — Parn. **1** (7-8): 6-8, fig. 6-9.
- , 1931k. *Parnassius jacquemonti tibetanus* (subspecies nova). — Parn. **1** (7-8): 9-10, fig. 10-II.
- , 1931l. Kritische Revision der Gattung *Parnassius* unter Benutzung des Materials der Kollektion Eisner, Dahlem. — Parn. **1** (7-8): 11-15.
- , 1931m. Zwei neue Abarten von *Parnassius apollonius* Eversm. — Parn. **1** (7-8): 15.
- , 1932a. Neue Parnassier. — Parn. **2**: 6-9, fig. 3.
- , 1932b. Kritische Revision der Gattung *Parnassius* unter Benutzung des Materials der Kollektion Eisner, Dahlem. — Parn. **2**: 12-14.
- , 1932c. Die Rassen von *P. tenedius* Eversm. — Parn. **2**: 22-23.
- , 1932d. Neue Parnassier. — Parn. **2**: 23-25, fig. 5-8.
- , 1932e. Beschreibung der von Herrn O. Bang-Haas i.l. aufgestellten Rassen von *P. nomion* F. d. W. — Parn. **2**: 26-27.
- , 1932f. Kritische Revision der Gattung *Parnassius* unter Benutzung des Materials der Kollektion Eisner, Dahlem. — Parn. **2**: 27-30.
- , 1932g. Neue *Parnassius*-Rassen aus Kansu. — Parn. **2**: 33-34.
- , 1932h. Kritische Revision der Gattung *Parnassius* unter Benutzung des Materials der Kollektion Eisner, Dahlem. — Parn. **2**: 34-42.
- , 1932i. Ein neuer *Delphius* Ev. — Parn. **2**: 42.
- , 1932j. Die Variabilität von *P. cephalus* Gr. Gr. — Parn. **2**: 44-46, fig. 2.
- , 1932k. Kritische Revision der Gattung *Parnassius* unter Benutzung des Materials der Kollektion Eisner, Dahlem. — Parn. **2**: 51-65, fig. 3-4.
- , 1932l. Ein neuer *Charitonius*. — Parn. **2**: 66.

- , 1932m. Kritische Revision der Gattung *Parnassius* unter Benutzung des Materials der Kollektion Eisner, Dahlem. — *Parn.* **2**: 69-102, fig. 1-8.
- , 1932n. Neue *Parnassier*. — *Parn.* **2**: 104-105.
- , 1934a. Kritische Revision der Gattung *Parnassius* unter Benutzung des Materials der Kollektion Eisner. — *Parn.* **3**: 3-22, fig. 1-2.
- , 1934b. Eine neue geographische Konvergenzerscheinung aus dem Kansu-Gebiet. — *Parn.* **3**: 24-27, fig. 3-8.
- , 1934c. Eine Hybriden-Rückkreuzung im Genus *Parnassius*. — *Parn.* **3**: 29-31, fig. 1-2.
- , 1934d. Kritische Revision der Gattung *Parnassius* unter Benutzung des Materials der Kollektion Eisner. — *Parn.* **3**: 33-37.
- , 1934e. Zwei neue Rassen von *P. mnemosyne* L. aus Armenien. — *Parn.* **3**: 38-39, fig. 3-4.
- , 1934f. Eine neue Form von *Parnassius orleans* Oberthür. — *Parn.* **3**: 39.
- , 1934g. Das Männchen von *P. stoliczkanus* Feld. subsp. *tytlerianus* (n.). — *Parn.* **3**: 40.
- , 1934h. *P. epaphus* Oberth., subspecies *epicus* (subsp. *nova*). — *Parn.* **3**: 41.
- , 1934i. *P. actius*, subspecies *sulla* (subsp. *nova*). — *Parn.* **3**: 42.
- , 1935a. Kritische Revision der Gattung *Parnassius* unter Benutzung des Materials der Kollektion Eisner. — *Parn.* **3**: 47-62.
- , 1935b. *K. cephalus* subsp. *capitalis* (subsp. *nova*). — *Parn.* **3**: 63, fig. 5.
- , 1935c. *Koramius stoliczkanus tytlerianus*. — *Parn.* **3**: 64, fig. 6.
- , 1935d. Zur Präzisierung des Fundortes von *P. apollo* ssp. *graslini* Oberth. — *Parn.* **3**: 67.
- , 1935e. Die Frühlingsform von *Sericinus* ssp. *montela* Gray. — *Parn.* **3**: 67-68, 3 fig.
- , 1935f. Eine auffallende Form von *Koramius cephalus* Gr.-Gr. — *Parn.* **3**: 69.
- , 1935g. Kritische Revision der Gattung *Parnassius* unter Benutzung des Materials der Kollektion Eisner. — *Parn.* **3**: 69-75.
- , 1935h. Kritische Revision der Gattung *Parnassius* unter Benutzung des Materials der Kollektion Eisner. — *Parn.* **3**: 77-95, fig. 1-8.
- , 1935i. Zu früheren Diagnosen. — *Parn.* **3**: 95-96.
- , 1936. Kritische Revision der Gattung *Parnassius* unter Benutzung des Materials der Kollektion Eisner. — *Parn.* **4**: 9-14.
- , 1937a. Geäderaberrationen in coll. Eisner. — *Parn.* **4**: 21-38.
- , 1937b. Eine neue *Parnassius*-Ausbeute aus der Burchan-Buddhakette. — *Parn.* **4**: 57-58.
- , 1937c. Kritische Revision der Gattung *Parnassius* unter Benutzung des Materials der Kollektion Eisner. — *Parn.* **4**: 60-63.
- , 1937d. Eine neue Unterart von *Parnassius apollo* L. — *Parn.* **4**: 63.
- , 1937e. *Parnassius stubbendorfii* aus Peiling-shan. — *Parn.* **4**: 64.
- , 1937f. A reply to the critical review of the treatment of the american species of *Parnassius* in the "Tierreich" by J. Mc. Dunnough in the "Canadian Entomologist". — *Parn.* **5**: 3-7.
- , 1937g. Kritische Revision der Gattung *Parnassius* unter Benutzung des Materials der Kollektion Eisner. — *Parn.* **5**: 9-15.
- , 1938a. Kritische Revision der Gattung *Parnassius* unter Benutzung des Materials der Kollektion Eisner. — *Parn.* **5**: 21-28.
- , 1938b. Kritische Revision der Gattung *Parnassius* unter Benutzung des Materials der Kollektion Eisner. — *Parn.* **5**: 60.
- , 1938c. Kritische Revision der Gattung *Parnassius* unter Benutzung des Materials der Kollektion Eisner. — *Parn.* **6**: 6-12.

- , 1938d. Kritische Revision der Gattung *Parnassius* unter Benutzung des Materials der Kollektion Eisner. — Parn. **6**: 24-31, fig. 1.
- , 1939a. Kritische Revision der Gattung *Parnassius* unter Benutzung des Materials der Kollektion Eisner. — Parn. **6**: 33-38.
- , 1939b. Die griechischen Unterarten von *Parn. mnemosyne* L. — Parn. **6**: 43-44.
- , 1939c. *Parnassius epaphus* subspecies *sculptor* (subsp. n.). — Parn. **6**: 48.
- , 1939d. Kritische Revision der Gattung *Parnassius* unter Benutzung des Materials der Kollektion Eisner. — Parn. **6**: 50-57.
- CLENCH, H. K. & N. SHOUMATOFF, 1956. The 3rd danish expedition to central Asia. Zoological results 21. Lepidoptera Rhopalocera (Insecta) from Afghanistan. — Vidensk. Medd. Naturh. Foren. **118**: 141-191, fig. 1-23, pl. 1.
- DÜRCK, H., 1922. *Parnassius mnemosyne* benacensis. — Ent. Rundschau **39**: 33-34, fig. 1-2.
- EISNER, C., 1928a. Neue *Parnassius*-Formen. — Int. Ent. Zeitschr. **22**: 302.
- , 1928b. Eine neue spanische Apollo-Rasse. *Parnassius apollo*, forma kricheldorfii (m.). — Int. Ent. Zeitschr. **22**: 309-311, fig. 1-3.
- , 1929a. *Parnassius apollo* var. *altitudinis* Bryk und Eisn. nec *altitudinis* Bryk. — Ent. Rundschau **46**: 5.
- , 1929b. *Parnassius apollo* L. var. *suevicus* Pag. (v. thiemo Fr.) ab. *complexa* (m.). — Int. Ent. Zeitschr. **23**: 11, 1 fig.
- , 1930a. Eine neue Rasse von *P. simo* Gray. — Parn. **1** (3): 5.
- , 1930b. *P. nomion* subsp. *chosensis* O.B.H. ab. *flavoocellata* (m.). — Parn. **1** (4): 6.
- , 1932a. Ist *Parnassius mephisto* Hering eine gute subspecies? — Parn. **2**: 9-10.
- , 1932b. *P. actius* subsp. *pseudobrutus* Bryk & Eisner. — Parn. **2**: 11-12.
- , 1932c. Eine neue Subspecies von *P. cephalus* Gr. Gr. — Parn. **2**: 15-16, fig. 1-2.
- , 1932d. *Parnassius epaphus* subsp. *gyaelia* (nova subsp.). — Parn. **2**: 68.
- , 1933. Two new Subspecies of *Parnassius acdestis* (Lep. Papilionidae). — Entomologist **66**: 169-170, pl. 4.
- , 1936a. Art- und Rassen-Hybriden im Genus *Parnassius*. — Parn. **3**: 97-106.
- , 1936b. Die zweite Generation von *Parnassius apollo* L. — Parn. **3**: 108.
- , 1936c. Eine neue Rasse von *Parnassius mnemosyne* L. — Parn. **3**: 108.
- , 1936d. *P. mnemosyne* subsp. *bulgarica* (subsp. nova). — Parn. **4**: 9.
- , 1936e. Zwei neue *Parnassius*-Formen. — Parn. **4**: 14.
- , 1937. Zwei neue Unterarten von *Parn. mnemosyne*. — Parn. **5**: 15-16.
- , 1938a. Neue *Parnassius*-Formen. — Parn. **5**: 29.
- , 1938b. Zwei neue Parnassier. — Parn. **5**: 29-30.
- , 1938c. *P. mnemosyne* clorinda Kolar u. Querci. — Parn. **5**: 30.
- , 1938d. Randbemerkungen zu *P. actius* subsp. *sulla* (n.). — Parn. **5**: 30.
- , 1938e. Die Beick'sche Ausbeute in Parnassiern aus Kansu im Zoologischen Museum der Universität Berlin. — Parn. **5**: 49.
- , 1938f. Beitrag zur Kenntnis von *T. simo* (Gray). — Parn. **5**: 55-56.
- , 1938g. Eine neue Unterart von *P. mnemosyne* L. — Parn. **6**: 6.
- , 1939a. Zwei neue *Parnassius*-Unterarten aus Korea. — Parn. **6**: 38-39.
- , 1939b. Eine interessante *Parnassius*-Ausbeute. — Parn. **6**: 39-43.
- , 1939c. *P. glacialis* subsp. *shikokuensis* Nakahara. — Parn. **6**: 48.
- , 1939d. *Parnassius glacialis* subsp. *aomoriensis* (ssp.n.). — Parn. **6**: 49-50.
- , 1939e. Koramius delphius im Tianschan. — Parn. **6**: 58.
- , 1939f. Zu *P. stubbendorfi* koyaensis O. Bang-Haas. — Parn. **6**: 59.
- , 1940. *Parnassius honrathi afganistanus* nov. subsp. — Temminckia **5**: 264-265, 2 fig.
- , 1952. Eine neue Rasse von *Parnassius bremeri* Feld. — Bonn. Zool. Beitr. **3**: 90.

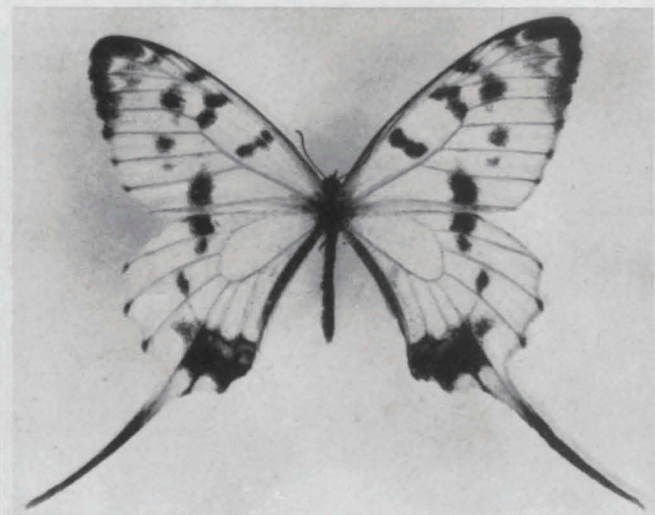
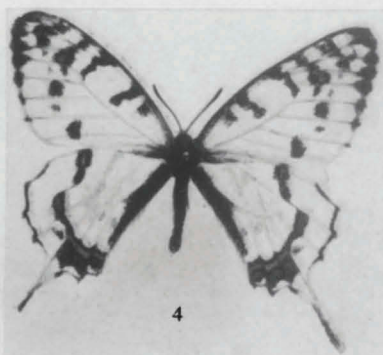
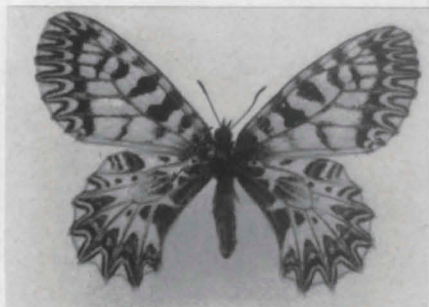
- , 1954a. *Parnassiana nova* i. Kritische Revision der Gattung *Parnassius* (Fortsetzung 1). — Zool. Meded. **33**: 41-48.
- , 1954b. *Parnassiana nova* ii. *Archon apollinus* Herbst. — Zool. Meded. **33**: 49-53.
- , 1954c. *Parnassiana nova* iii. Einige neue Formen in der Familie Parnassiidae. — Zool. Meded. **33**: 55-57.
- , 1955a. *Parnassiana nova* iv. Kritische Revision der Gattung *Parnassius* (Fortsetzung 2). — Zool. Meded. **33**: 127-156, pl. 23.
- , 1955b. *Parnassiana nova* v. *Nomina collectiva*. — Zool. Meded. **33**: 177-179.
- , 1955c. *Parnassiana nova* vi. Kritische Revision der Gattung *Parnassius* (Fortsetzung 3). — Zool. Meded. **33**: 181-207, pl. 24.
- , 1955d. *Parnassiana nova* vii. Kritische Revision der Gattung *Parnassius* (Fortsetzung 4). — Zool. Meded. **34**: 1-16.
- , 1956a. *Parnassiana nova* viii. Kritische Revision der Gattung *Parnassius* (Fortsetzung 5). — Zool. Meded. **34**: 155-172, pl. 1-2.
- , 1956b. *Parnassiana nova* ix. Kritische Revision der Gattung *Parnassius* (Fortsetzung 6). — Zool. Meded. **34**: 201-222.
- , 1956c. *Parnassiana nova* x. Zwei neue nordamerikanische *Parnassius* subspecies. — Zool. Meded. **34**: 243-245, pl. 3.
- , 1956d. *Parnassiana nova* xi. Kritische Revision der Gattung *Parnassius* (Fortsetzung 7). — Zool. Meded. **34**: 247-270.
- , 1957a. *Parnassiana nova* xii. Kritische Revision der Gattung *Parnassius* (Fortsetzung 8). — Zool. Meded. **35**: 33-49.
- , 1957b. *Parnassiana nova* xiii. Vier neue Hybriden. — Zool. Meded. **35**: 51-53, pl. I.
- , 1957c. *Parnassiana nova* xiv. Kritische Revision der Gattung *Parnassius* (Fortsetzung 9). — Zool. Meded. **35**: 79-111, pl. 4.
- , 1957d. *Parnassiana nova* xv. Kritische Revision der Gattung *Parnassius* (Fortsetzung 10). — Zool. Meded. **35**: 177-203.
- , 1957e. *Parnassiana nova* xvi. Kritische Revision der Gattung *Parnassius* (Fortsetzung 11). — Zool. Meded. **35**: 241-260.
- , 1957f. *Parnassiana nova* xvii. Kritische Revision der Gattung *Parnassius* (Fortsetzung 12). — Zool. Meded. **35**: 283-298.
- , 1958a. *Parnassiana nova* xviii. *Varia*. — Zool. Meded. **36**: 1-3.
- , 1958b. *Parnassiana nova* xix. Kritische Revision der Gattung *Parnassius* (Fortsetzung 13). — Zool. Meded. **36**: 5-32.
- , 1958c. *Parnassiana nova* xx. Kritische Revision der Gattung *Parnassius* (Fortsetzung 14). — Zool. Meded. **36**: 77-82.
- , 1958d. *Parnassiana nova* xxi. Kritische Revision der Gattungen *Lingamius* und *Koramius*. — Zool. Meded. **36**: 83-112.
- , 1958e. *Parnassiana nova* xxii. Kritische Revision der Gattungen *Lingamius* und *Koramius* (Fortsetzung 1). — Zool. Meded. **36**: 127-141.
- , 1959a. *Parnassiana nova* xxiii. Kritische Revision der Gattungen *Lingamius* und *Koramius* (Fortsetzung 2). — Zool. Meded. **36**: 143-163.
- , 1959b. *Parnassiana nova* xxiv. Kritische Revision der Gattung *Tadumia*. — Zool. Meded. **36**: 165-192.
- , 1959c. *Parnassiana nova* xxv. Kritische Revision der Gattung *Tadumia* (Fortsetzung). — Zool. Meded. **36**: 233-247.
- , 1959d. *Parnassiana* xxvi. Kritische Revision der Gattung *Kailasius*. — Zool. Meded. **36**: 249-266, pl. 9-10.
- , 1959e. *Parnassiana nova* xxvii. Nachträgliche Betrachtungen zu der Revision der subfamilia *Parnassiinae*. — Zool. Meded. **36**: 289-297.
- , 1960a. *Parnassiana nova* xxviii. Nachträgliche Betrachtungen zu der Revision der subfamilia *Parnassiinae* (Fortsetzung 1). — Zool. Meded. **37**: 17-48.

- , 1960b. *Parnassiana nova* xxix. Nachträgliche Betrachtungen zu der Revision der subfamilia Parnassiinae (Fortsetzung 2). — Zool. Meded. **37**: 129-155.
- , 1961a. *Parnassiana nova* xxx. Nachträgliche Betrachtungen zu der Revision der subfamilia Parnassiinae (Fortsetzung 3). — Zool. Meded. **37**: 167-188.
- , 1961b. *Parnassiana nova* xxxi. Nachträgliche Betrachtungen zu der Revision der subfamilie Parnassiinae (Fortsetzung 4). — Zool. Meded. **37**: 265-292.
- , 1962. *Parnassiana nova* xxxii. Nachträgliche Betrachtungen zu der Revision der subfamilie Parnassiinae (Fortsetzung 5). — Zool. Meded. **38**: 105-128.
- , 1963. *Parnassiana nova* xxxiii. Nachträgliche Betrachtungen zu der Revision der subfamilia Parnassiinae (Fortsetzung 6). — Zool. Meded. **38**: 281-294, pl. 21-22.
- , 1964a. *Parnassiana nova* xxxiv. Nachträgliche Betrachtungen zu der Revision der subfamilie Parnassiinae (Fortsetzung 7). Eine neue *Parnassius epaphus* Oberth. subspecies. — Zool. Meded. **39**: 185-186.
- , 1964b. *Parnassiana nova* xxxv. Nachträgliche Betrachtungen zu der Revision der subfamilie Parnassiinae (Fortsetzung 8). — Zool. Meded. **40**: 25-27, pl. 1.
- , 1964c. *Parnassiana nova* xxxvi. Nachträgliche Betrachtungen zu der Revision der subfamilie Parnassiinae (Fortsetzung 9). — Zool. Meded. **40**: 131-136, pl. 1.
- Parnassiana nova* xxxvii und xxxviii, siehe EISNER & SEDYCH und EISNER & SHELJUZHKO.
- , 1965. *P. mnemosyne* L. aus dem Gebiet von Montana. — Mitt. Ent. Ges. Basel (N.F.) **15**: 16-17, 2 fig.
- EISNER, C. & R. PESCHKE, 1934. *P. actius* Ev., subspecies *catalina* (subsp. *nova*). — Parn. **3**: 41.
- EISNER, C. & K. F. SEDYCH, 1964. *Parnassiana nova* xxxvii. Nachträgliche Betrachtungen zu der Revision der subfamilie Parnassiinae (Fortsetzung 10). — Zool. Meded. **40**: 137-138, pl. 1.
- EISNER, C. & L. SHELJUZHKO, 1965. *Parnassiana nova* xxxviii. Nachträgliche Betrachtungen zu der Revision der subfamilie Parnassiinae (Fortsetzung 11). — Zool. Meded. **40**: 211-214, pl. 1-2.
- ELWES, H. J., 1886. On butterflies of the genus *Parnassius*. — Proc. Zool. Soc. London **1886**: 6-53, pl. 1-4.
- FERNANDEZ, A., 1926. Las razas espanoles de *Parnassius apollo* L. — Bol. R. Soc. Esp. Hist. Nat. **26**: 175-180.
- FRANK, W., 1929. Hybr. riemeli Frank. — In E. RIEMEL, Apollo-Kreuzungen. Mitt. München. Ent. Ges. **19**: 331-332, pl. 26 fig. 3-4.
- FRIVALDSKY, J., 1886. Lepidoptera nova et varietas, in expeditione ad oras asiae orientalis comitis belae Széchenyi, a dominis Gustavo Kreitner et Ludovica Loczy collecta. — Termész. Füzetek **10**: 39-40, pl. 4 fig. 1-5.
- FRUHSTORFER, H., 1898. Eine neue *Parnassius*-Form aus Indien. — Iris **12**: 147-148.
- , 1903. Zwei neue Sikkim-Falter. — Insekten-Börse **20**: 148.
- , 1906. Neue *Parnassius*-Formen. — Soc. Ent. **21**: 137-140.
- , 1909. Gattung *Parnassius* Latr. — In A. SEITZ, Die Gross-Schmetterlinge der Erde **9**: 109-112.
- , 1916. Eine neue deutsche *Parnassius*-rasse. — Soc. Ent. **31**: 49.
- , 1917. Neue Rhopaloceren aus der Sammlung Leonhard. — Arch. Naturgesch. **82** A (2): 1-28, 1 pl.
- , 1921a. Neue *Parnassius*-Rassen. — Ent. Rundschau **38**: 13-14.
- , 1921b. Neue und seltene *Parnassius*-Rassen. — Soc. Ent. **36**: 13-15.
- , 1921c. Neue *Parnassius*-Rassen. — Ent. Rundschau **38**: 16-17.
- , 1921d. Neue *Parnassius apollo* Rassen. — Ent. Anz. **1**: 87-89.
- , 1923. Die *Parnassius apollo*-Rassen der Schweiz. — Ent. Anz. **3**: 55-60.
- GRAY, G. R., 1852. Catalogue of lepidopterous insects in the collection of the British Museum. Part 1. Papilionidae: 1-84, pl. 1-13 & "supplementary plate".

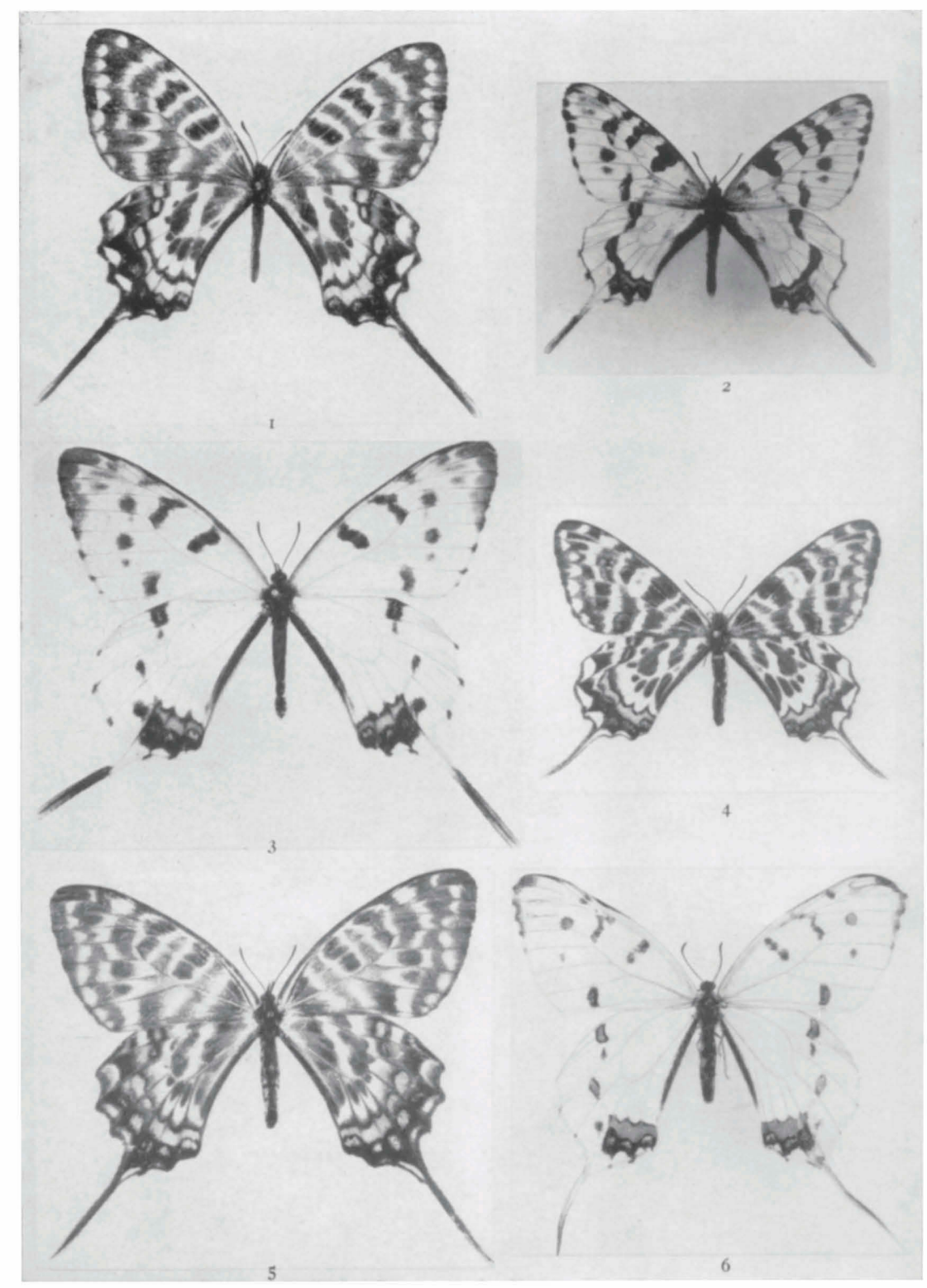
- GRUM-GRSHIMAILO, G., 1885. Bericht über meine Reise in das Alai-Gebiet. — In N. M. ROMANOFF, Mémoires sur les Lépidoptères **2**: 212-247.
- , 1890. Le Pamir et sa faune lépidoptérologique. — In N. M. ROMANOFF, Mémoires sur les Lépidoptères **4**: v-ix, 1-577, pl. A, 1-21, 1 Karte.
- HARCOURT-BATH, W., 1896. The geographical varieties of *Parnassius apollo*. — Entomologist **29**: 331.
- HEMMING, F., 1934. Revisional notes on certain species of Rhopalocera (Lepidoptera). — Stylops **3**: 193-200.
- HERING, M., 1930. *Parnassius orleans* Obth. und seine Rassen. — Parn. **1** (3): 1-4, pl. 1.
- , 1931a. *Parnassius delphinius mephisto* subsp. nov. — Parn. **1** (7-8): 4-6, fig. 4-5.
- , 1931b. *Parnassius glacialis* Butl. als bona species. — Parn. **1** (7-8): 10-11.
- , 1932a. *Parnassius delphinius mephisto* als bona ssp. Entgegnung zu den vorstehenden Ausführungen. — Parn. **2**: 10-11.
- , 1932b. *Parnassius mnemosyne* in Westpreussen. — Parn. **2**: 43-44, fig. 1.
- , 1934. Eine neue geographische Form von *Parnassius mnemosyne glacialis* Btlr. — Parn. **3**: 1-2.
- , 1935. Ueber einige geographische Formen von *Parnassius apollo phoebus* F. — Parn. **3**: 45-46, fig. 1-4.
- , 1937a. Analogie, Homologie und Funktionswechsel des Basaldorns am Lepidopteren-Vorderflügel. — Parn. **4**: 17-20, fig. 1-3.
- , 1937b. Die Genital-Morphologie von *Parnassius autocrator* Av. (♂, ♀). — Parn. **4**: 38-42, fig. 1-2.
- , 1937c. Die systematische Bewerkung von *Parnassius (Tadumia) przewalskii* Alph. — Parn. **5**: 8.
- , 1939. Geäder-Analyse einer partiellen Didymose bei *Papilio machaon* L. — Parn. **6**: 46-47, fig. 1-2.
- HIRSCHKE, H., 1913. [Vereinsnachrichten; *Parnassius mnemosyne* L. ab. *semifasciata* Hirschke]. — Jahrb. Wien Ent.-Ver. **23**: vii-viii.
- HOFMANN, E., 1929. Zwei neue Geäderaberrationen. — Int. Ent. Zeitschr. **23**: 375-376.
- HOLIK, O., 1937. Ein Fadenwurm als Schmarotzer bei *Parn. apollo* L. — Parn. **5**: 17-18.
- HUWE, A., 1905. Neues von *Parnassius delphinius albulus* Honrath. — Berl. Ent. Zeitschr. **49**: 314-328.
- KAMMEL, J. E., 1919. *Parnassius apollo* aus dem Thayatale n. subsp. *marcomannus*. — Zeitschr. Österr. Ent.-Ver. **4**: 2-4, fig. 1-4.
- KARDAKOFF, N., 1928. Zur Kenntnis der Lepidopteren des Ussuri-Gebietes. — Ent. Mitt. **17**: 261-273, pl. 5-7.
- KERTESZ, A., 1922. Die bisher bekannten Lokalformen und Fluggebiete von *Parnassius apollo* in den ungarischen Karpathen. — Rovart. Lapok **26**: 23-33.
- KESENHEIMER, H. W., 1920. *Parn. apollo* Linné nov. subsp. *sevensis* Ksh. — Ent. Zeitschr. **34**: 63-64, fig. 1-2.
- KOLAR, H., 1922. *Parnassius apollo* L. in Salzburg. — Ent. Anz. **2**: 41-43.
- , 1934. *Parnassius apollo* L. auf dem Olymp. — Int. Ent. Zeitschr. **28**: 366-368.
- , 1942. Die Gattung *Parnassius* in den Julischen Alpen. — Zeitschr. Wien. Ent.-Ver. **27**: 122-129, pl. 10.
- KOTSHUBEJ, G., 1929. Eine neue Form von *Parnassius eversmanni felderii* Brem. — Ent. Anz. **9**: 188-191, fig. 1-4.
- KOTZSCH, H., 1929. Neue Falter aus dem Richthofengebirge usw. — Ent. Zeitschr. **43**: 204-206, fig. 1-10.
- , 1932. Ueber eine neue *Parnassius*-Form. — Ent. Zeitschr. **45**: 267.
- , 1936a. *Parnassius autocrator* eine eigene Art. — Ent. Rundschau **54**: 50-52, pl. 1.
- , 1936b. Die Parnassier meiner Hindukusch-Expedition 1936. — Parn. **4**: 4-9, fig. 1-8.

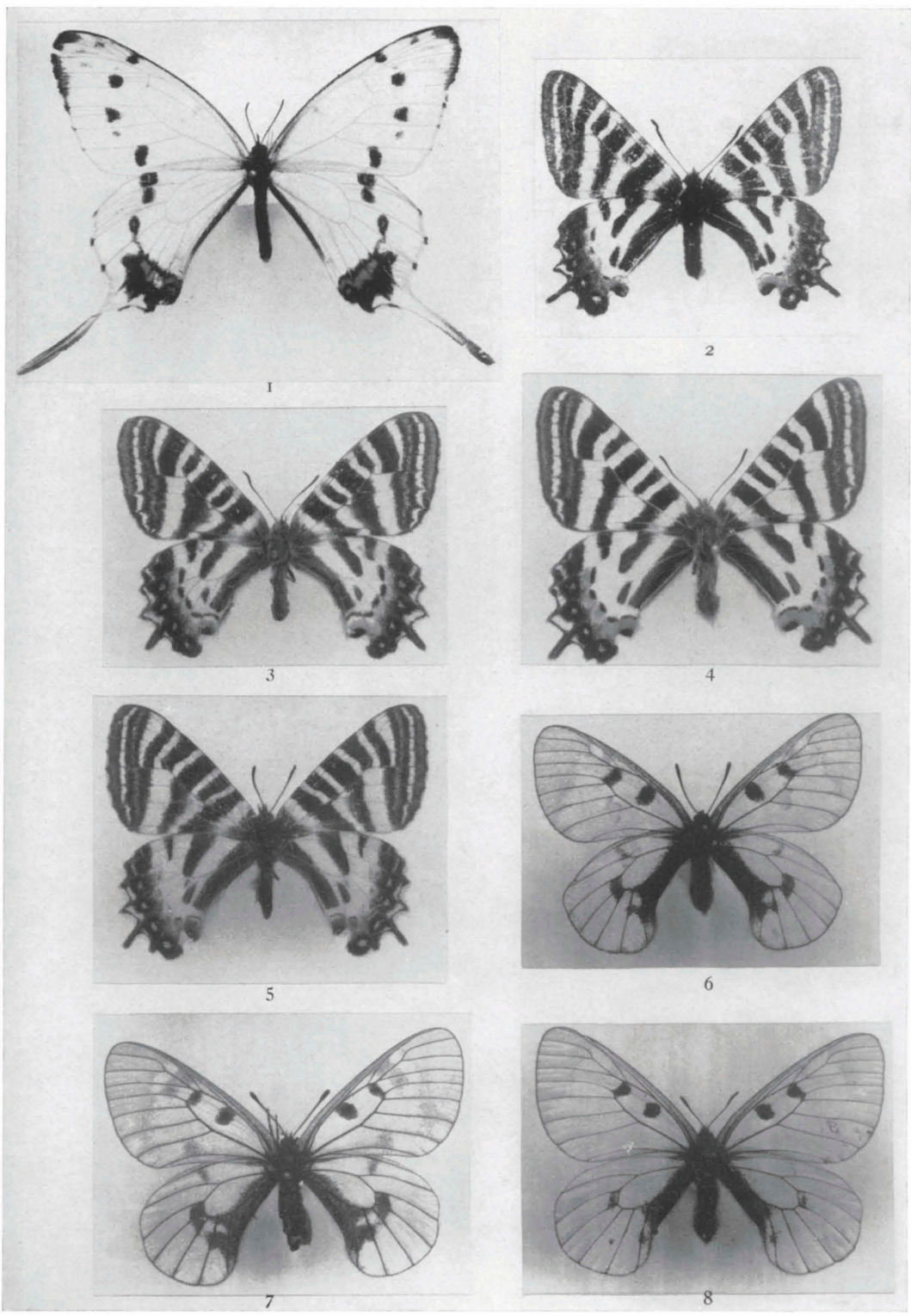
- , 1937a. Das Weibchen von *Parnassius nomion gabrieli* Bryk. — Parn. **4**: 59-60, 3 fig.
- , 1937b. Eine neue Inselform vom nordischen Apollo. — Ent. Zeitschr. **51**: 221.
- , 1940. *Parnassius inopinatus*, eine überraschende neue Art. — Ent. Tidskr. **54**: 17-21, 2 fig.
- LATTIN, G. DE, 1941. Eine neue *Parnassius apollo* L. - Rasse aus Anatolien. — Zeitschr. Wien. Ent.-Ver. **26**: 145-148, fig. 1.
- LAX, H., 1925a. Ueber das Auftreten und die Variabilität von *Parnassius apollo* in Mittelsteiermark. — Ent. Zeitschr. **39**: 101-102.
- , 1925b. Ueber das Auftreten und die Variabilität von *Parnassius apollo* in Mittelsteiermark. — Ent. Zeitschr. **39**: 106-107.
- LÜTKEMEYER, W., 1923. *Parn. nordmanni duplicatus* (Lütkemeyer) n. var. — Ent. Zeitschr. **37**: 26.
- MARSCHNER, H., 1909. Der „alte“ schlesische Apollo aus dem Riesengebirge. — Berl. Ent. Zeitschr. **54**: 68-72.
- MATSUMURA, S., 1928. New butterflies especially from the Kuriles. — Ins. Mats. **2**: 191-201.
- MELL, R., 1938. Oekologische Plaudereien über Parnassier. — Parn. **5**: 31-41.
- MÉNÉTRIÉS, E., 1855. *Enumeratio corporum animalium musei imperialis academiae scientiarum Petropolitanae. Classis insectorum. Ordo lepidopterorum. Pars. I. Lepidoptera diurna*: i-xv, 1-97, pl. 1-6.
- MENTHE, 1912. *Parnassius apollo* L. v. *norvegicus*. — Int. Ent. Zeitschr. **6**: 244.
- NAKAHARA, W., 1926. Some saghalien butterflies: notes and descriptions (Lepidoptera). Ins. Insc. Menstr. **14**: 45-48.
- NIEPELT, W., 1914a. *Parnassius patricius* Niepelt. — In E. STRAND, *Lepidoptera Niepeltiana. Abbildungen und Beschreibungen neuer und wenig bekannter Lepidoptera aus der Sammlung W. Niepelt*: 56, fig. 1-2, pl. 7 fig. 1-3.
- , 1914b. *Parnassius apollo friburgensis* Niepelt n. subsp. — In E. STRAND, *Lepidoptera Niepeltiana* . . . : 57-58, pl. 7 fig. 10-11.
- , 1918. *Parnassius discobolus* Alph. ab. *lacrimans* Marschner. — In E. STRAND, Nachträge zu *Lepidoptera Niepeltiana*: 4, pl. 18 fig. 16.
- NORDMANN, A. VON, 1851. Die im Gebiete der Fauna taurico-caucasica beobachteten Schmetterlinge. — Bull. Soc. Imp. Nat. Moscou **24**: 395-428.
- OBERTHÜR, CH., 1891. Faunes entomologiques. Descriptions d'insectes nouveaux ou peu connus. Lépidoptères du genre *Parnassius*. — Etud. Entom. **14**: i-x, 1-19, pl. 1-3.
- , 1913. A propos des races géographiques occidentales de *Parnassius apollo*. — Etud. Lépidopt. **8**: 1-82, pl. 198-231.
- PEEBLES, H. M. & F. BRYK, 1931a. *Parnassius mnemosyne* subsp. *republicanus* (n.). — Parn. **1** (6): 4.
- , 1931b. *Parnassius clarus* dentata ab. *primopicta* (n.). — Parn. **1** (6): 5.
- PESCHKE, R. & C. EISNER, 1932. *P. apollo liptauensis* (subspecies nova). — Int. Ent. Zeitschr. **26**: 249-250.
- , 1934. *P. delphinius* Ev. subsp. *affinis* (subsp. nova). — Parn. **3**: 40-41, fig. 5-6.
- PRESTIN, P., 1929. Apollo — Delius. — Soc. Ent. **44**: 37-38, fig. 1-8.
- REBEL, H., 1937. Ueber *Parnassius apollo* (L.) *albomaculata* Muschamp. — Parn. **5**: 1-3, 1 fig.
- REINIG, W. F., 1930. *Parnassius-Spiegel* für 1930. — Parn. **1** (4): 6.
- , 1937a. Zur Entstehungsgeschichte der Mannigfaltigkeit und Verbreitung der Parnassier. — Parn. **4**: 45-57, fig. 1-4.
- , 1937b. Berichtigung. — Parn. **5**: 18.
- RIEMEL, E., 1928. Die Kreuzung von *Parn. apollo* ♂ × *Parn. delius* ♀ Hybrid hofmanni Riemel. — Int. Ent. Zeitschr. **22**: 201-203.
- , 1929. Apollo-Kreuzungen. — Mitt. München. Ent. Ges. **19**: 329-332, pl. 26.

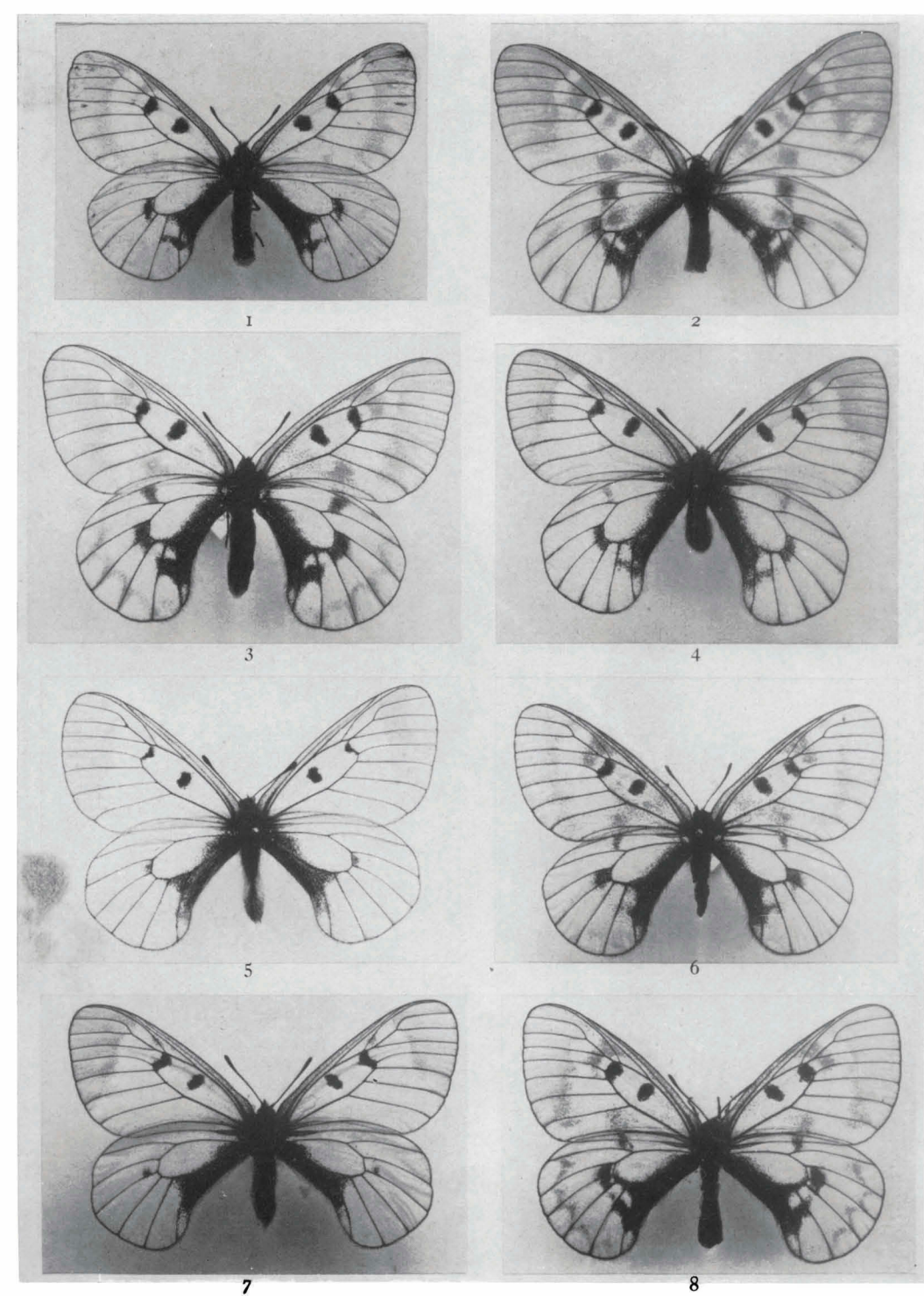
- SCHÄWERDA, K., 1921. *Parnassius apollo* L. ab. *nova bryki* m. — Zeitschr. Österr. Ent.-Ver. **6**: 1-2.
- SHELJUZHKO, L., 1924a. Neue *Parnassius*-Formen. — Zeitschr. Österr. Ent.-Ver. **9**: 57-60.
- , 1924b. Neue *Parnassius*-Formen. — Zeitschr. Österr. Ent.-Ver. **9**: 67-71.
- , 1935. Zwei neue *Parnassius*-Rassen aus Transkaukasien. — Zeitschr. Österr. Ent.-Ver. **20**: 22-24, pl. 2.
- , 1956. Ueber die Uebertragung von Aberrationsnamen auf Subspezies. — Mitt. München. Ent. Ges. **46**: 291-303.
- STAUDER, H., 1921. Die Schmetterlingsfauna der illyro-adriatischen Festland- und Inselzone (faunula illyrico-adriatica). — Zeitschr. Ins.-Biol. **16**: 143-153, fig. 1-11.
- , 1922. *Parnassius apollo julianus* Stdr. subspec. n. — Ent. Anz. **2**: 135-136.
- , 1924. *Teriolensis* i. — Dtsch. Ent. Zeitschr. **1924**: 1-29.
- STAUDINGER, O., 1912. Lepidopteren-Liste **56** (Verkaufskatalog).
- UGRJUMOV, N., 1914a. Etwas über *Parn. apollo* L. var. *democratus* Krul. — Ent. Zeitschr. **28**: 29-31, fig. 2-11.
- , 1914b. Etwas über *Parn. apollo* L. var. *democratus* Krul. — Ent. Zeitschr. **28**: 37-38, fig. 13-14.
- VERITY, R., 1905-1911. *Rhopalocera palaearctica*. Papilionidae et Pieridae: i-lxxxvi, 1-368, pl. A, B, 1-72, 2 Karten.
- WAGNER, F., 1910. Zwei neue mitteleuropäische Lepidopteren-Formen. — Int. Ent. Zeitschr. **4**: 208-209, 2 fig.
- , 1913. Beitrag zur Lepidopterenfauna des Ilgebietes sowie des Sary-Dschas (Asia centr.). — Ent. Mitt. **2**: 22-30, 1 fig., pl. 1.
- WARNECKE, G., 1935. Ueber das Ei von *Parnassius nordmanni* Mén. — Parn. **3**: 65-66, 1 fig.
- WENZEL, F., 1931. Neue Geäderaberrationen von *P. apollo* L. — Parn. **1** (6): 7.
- , 1934. Geäderaberrationen von *P. apollo* L. — Parn. **3**: 22-24.
- , 1936. Neue Aberrationen von *Parnassius apollo* L. — Parn. **3**: 106-107.

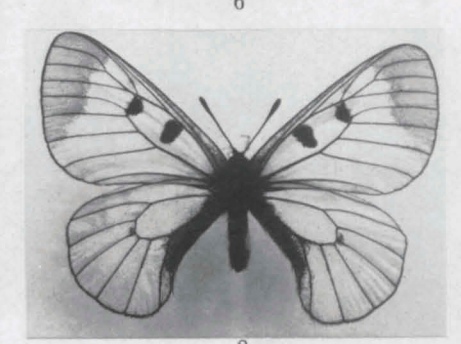
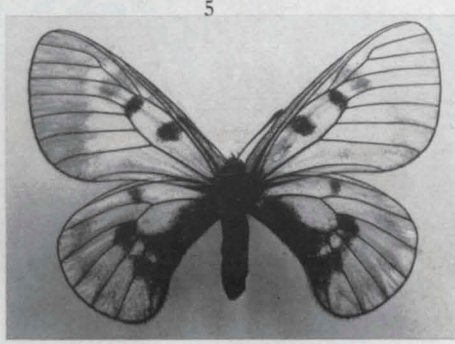
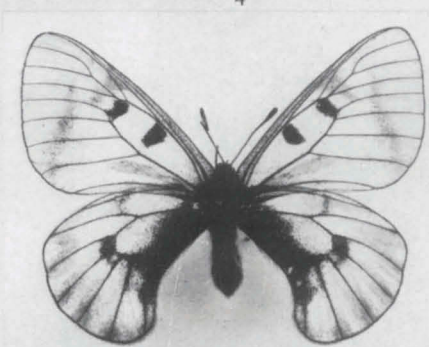
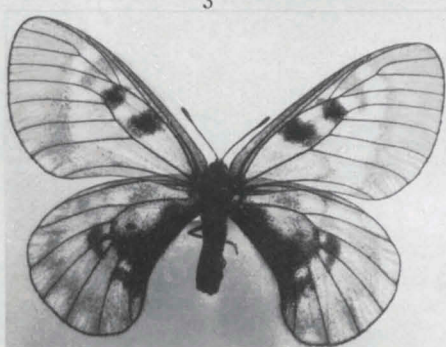
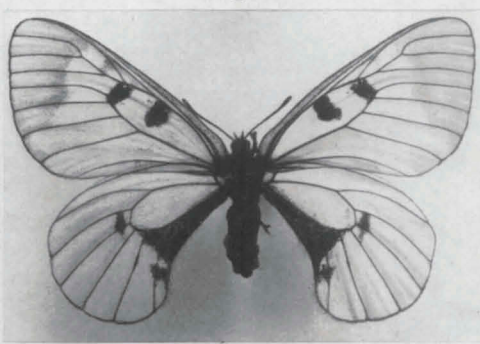
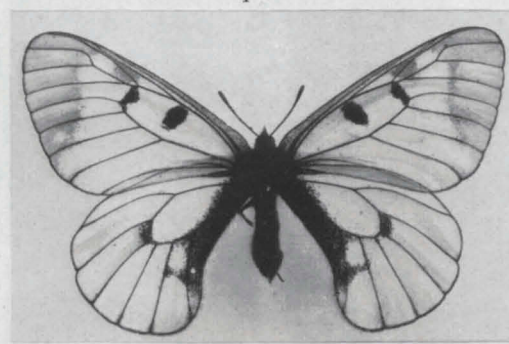
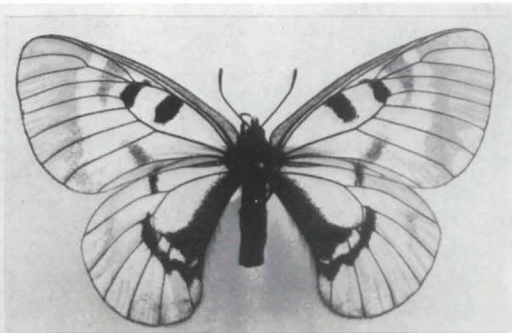
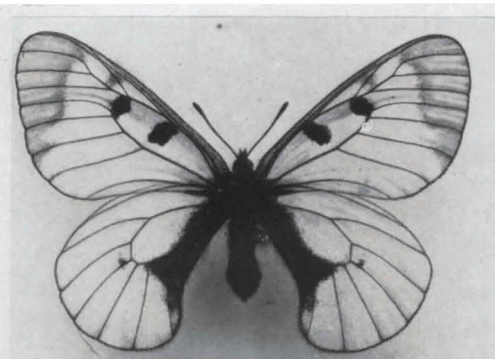


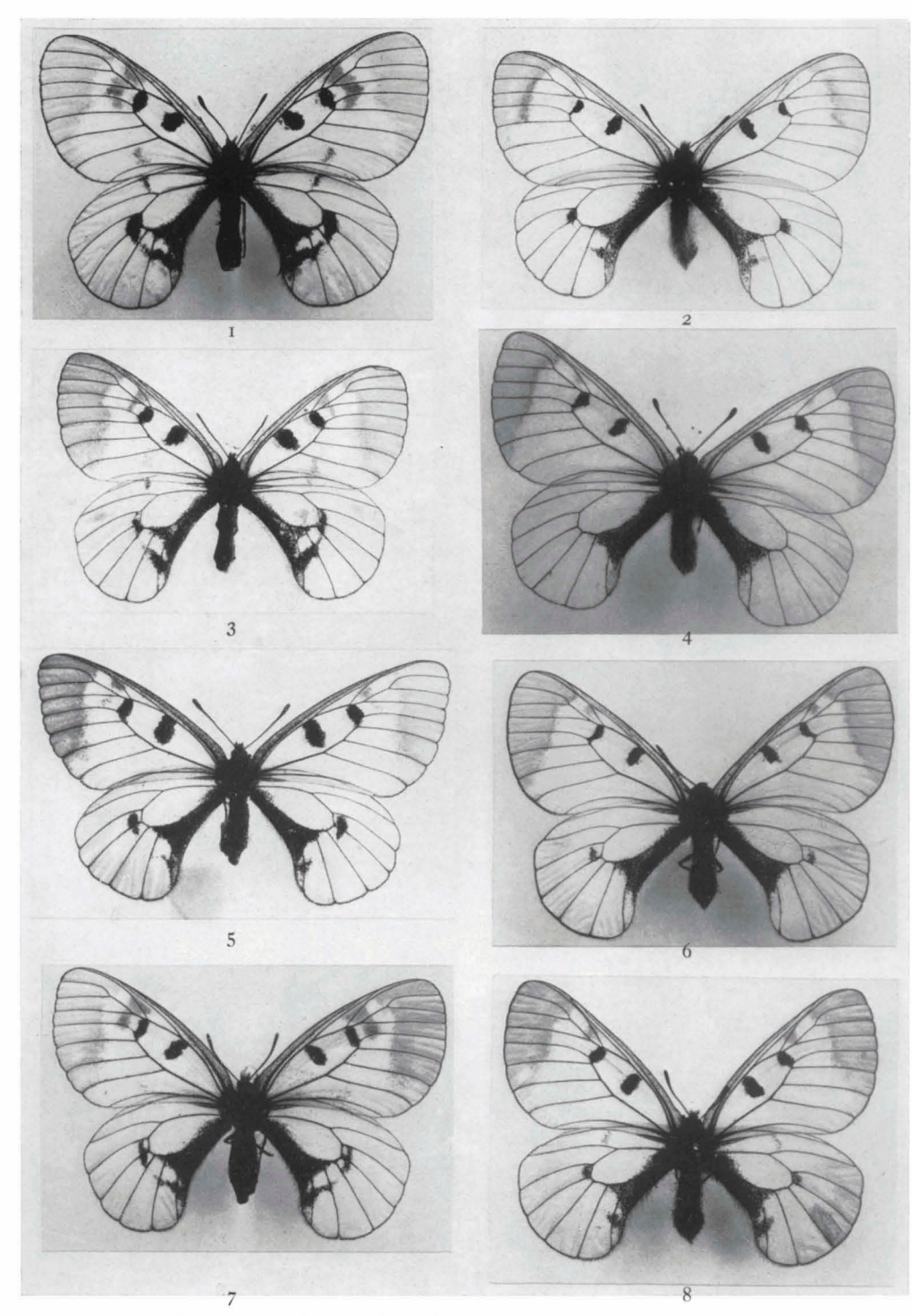
5

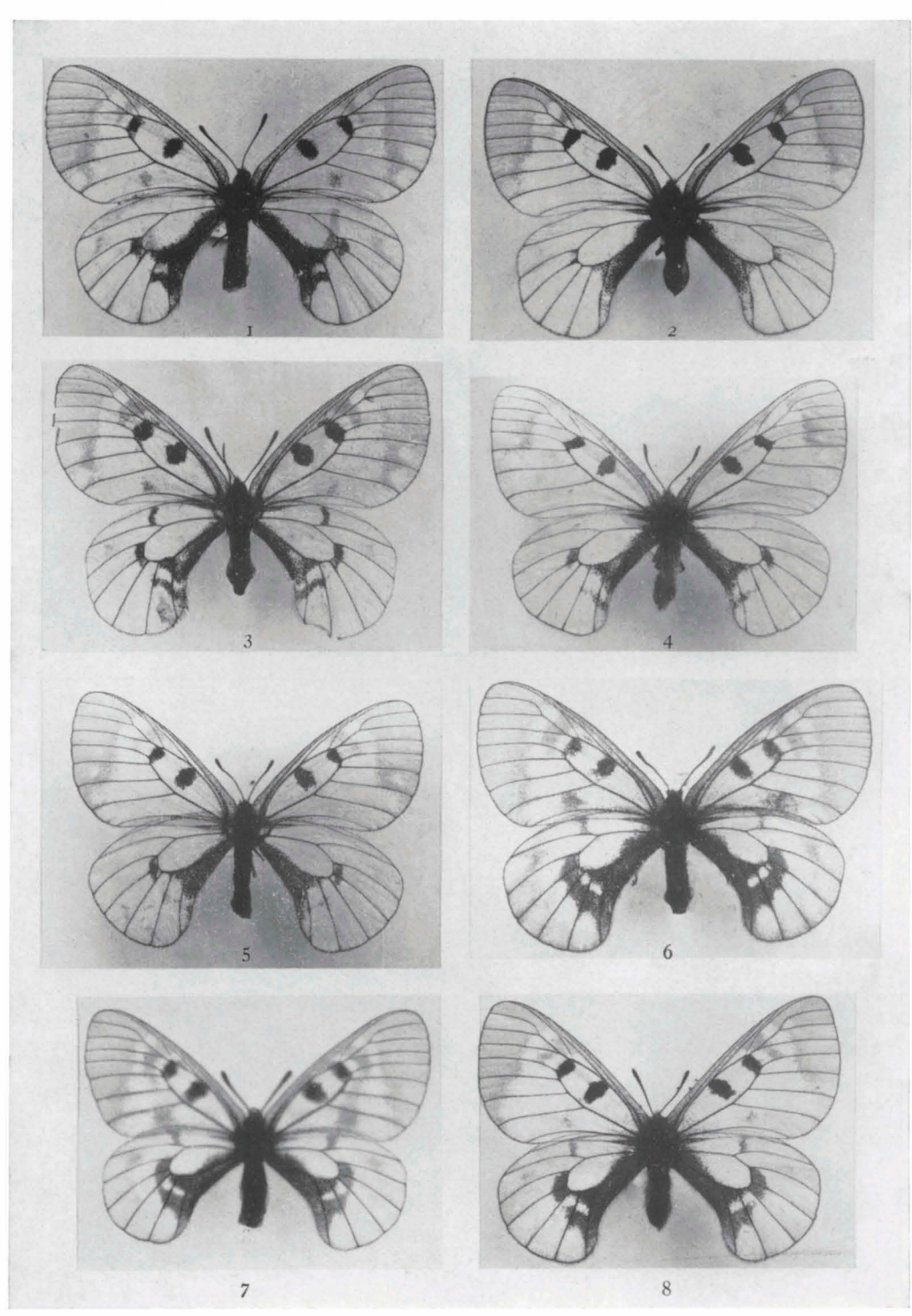


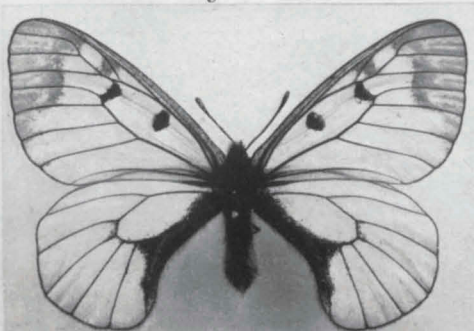
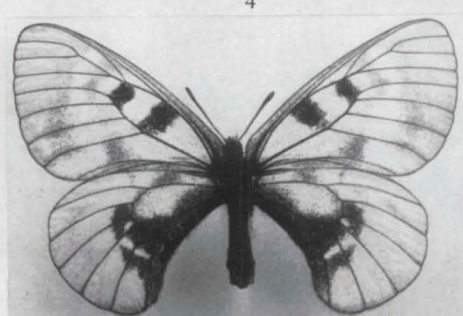
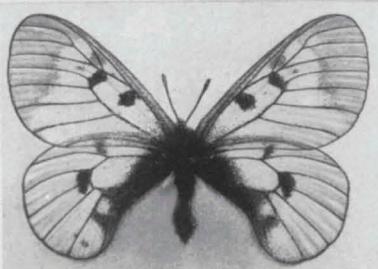
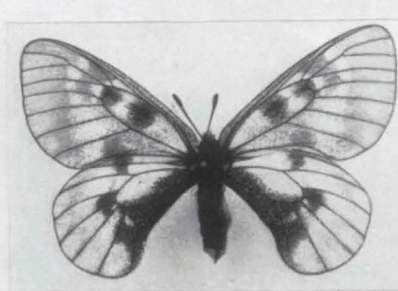
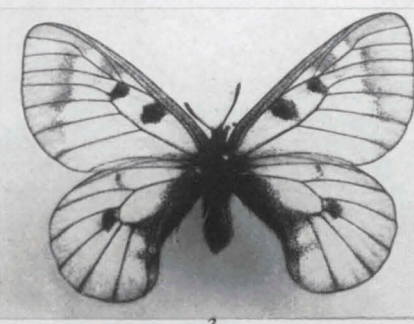
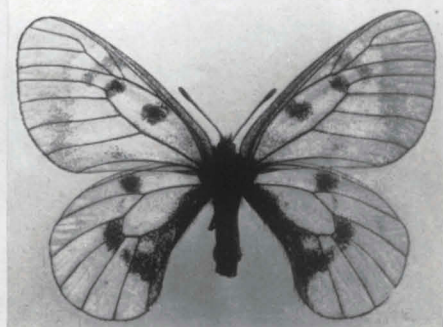
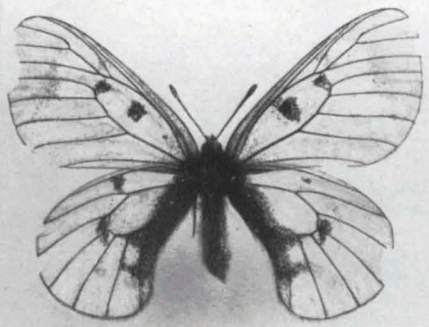


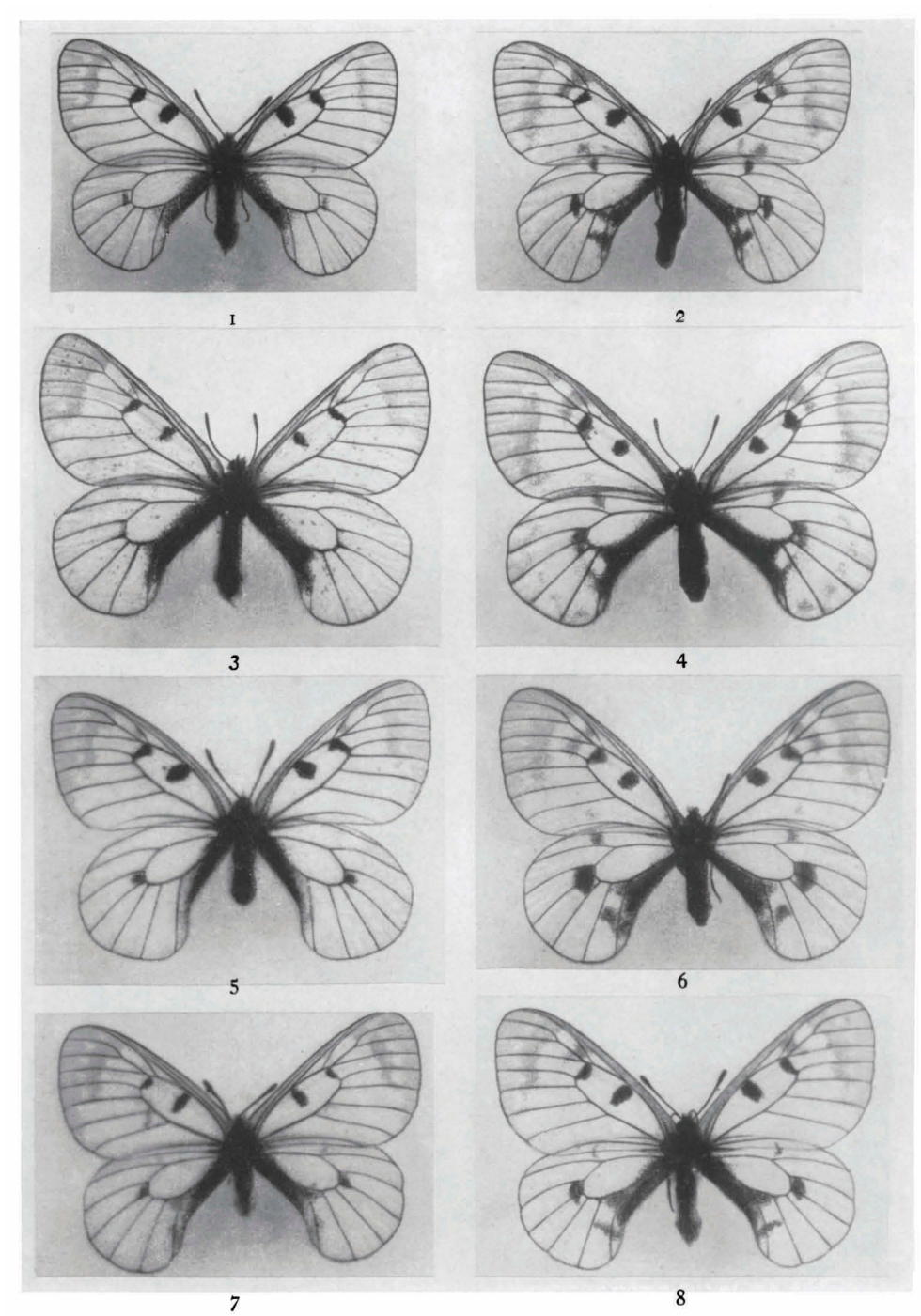


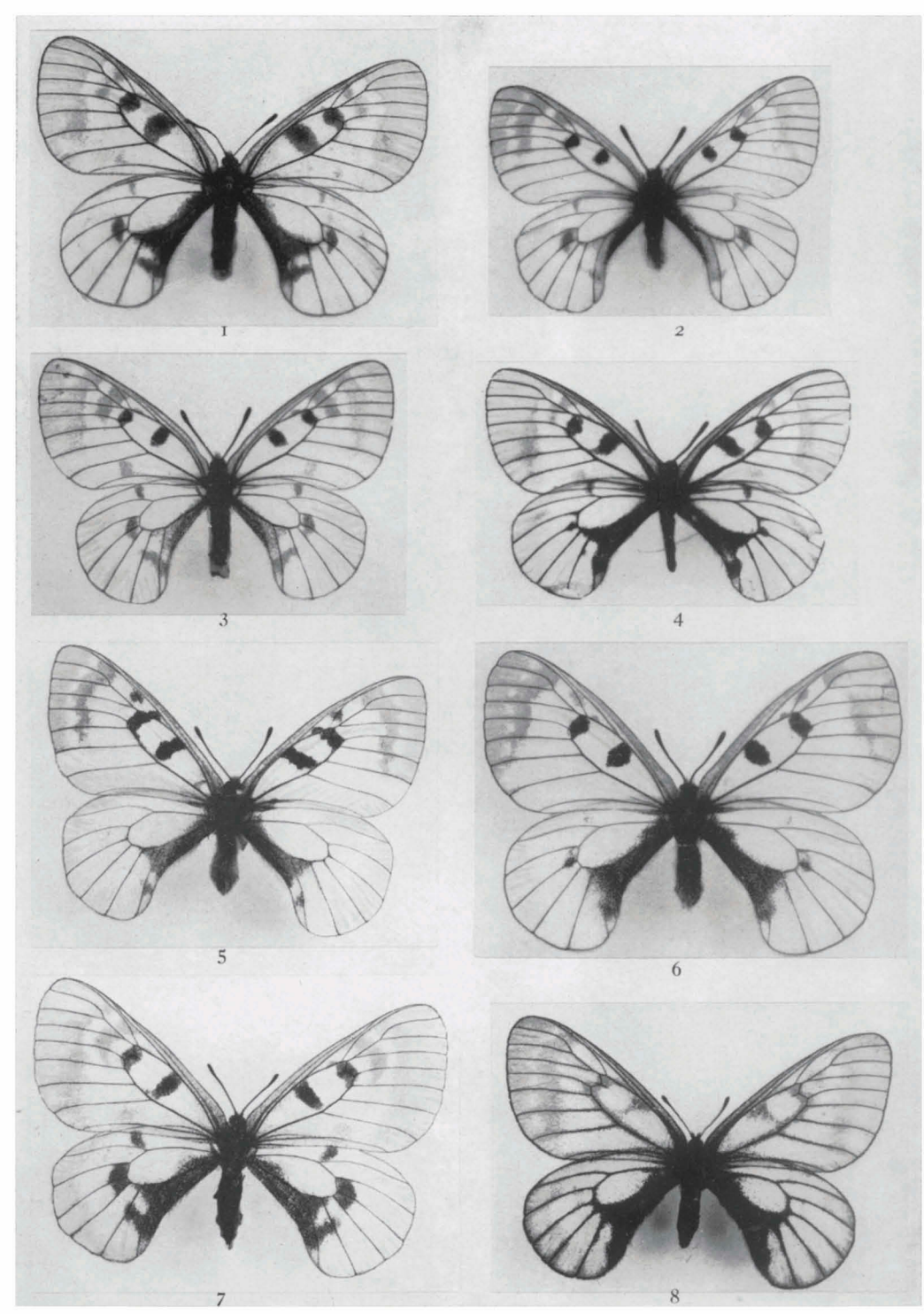


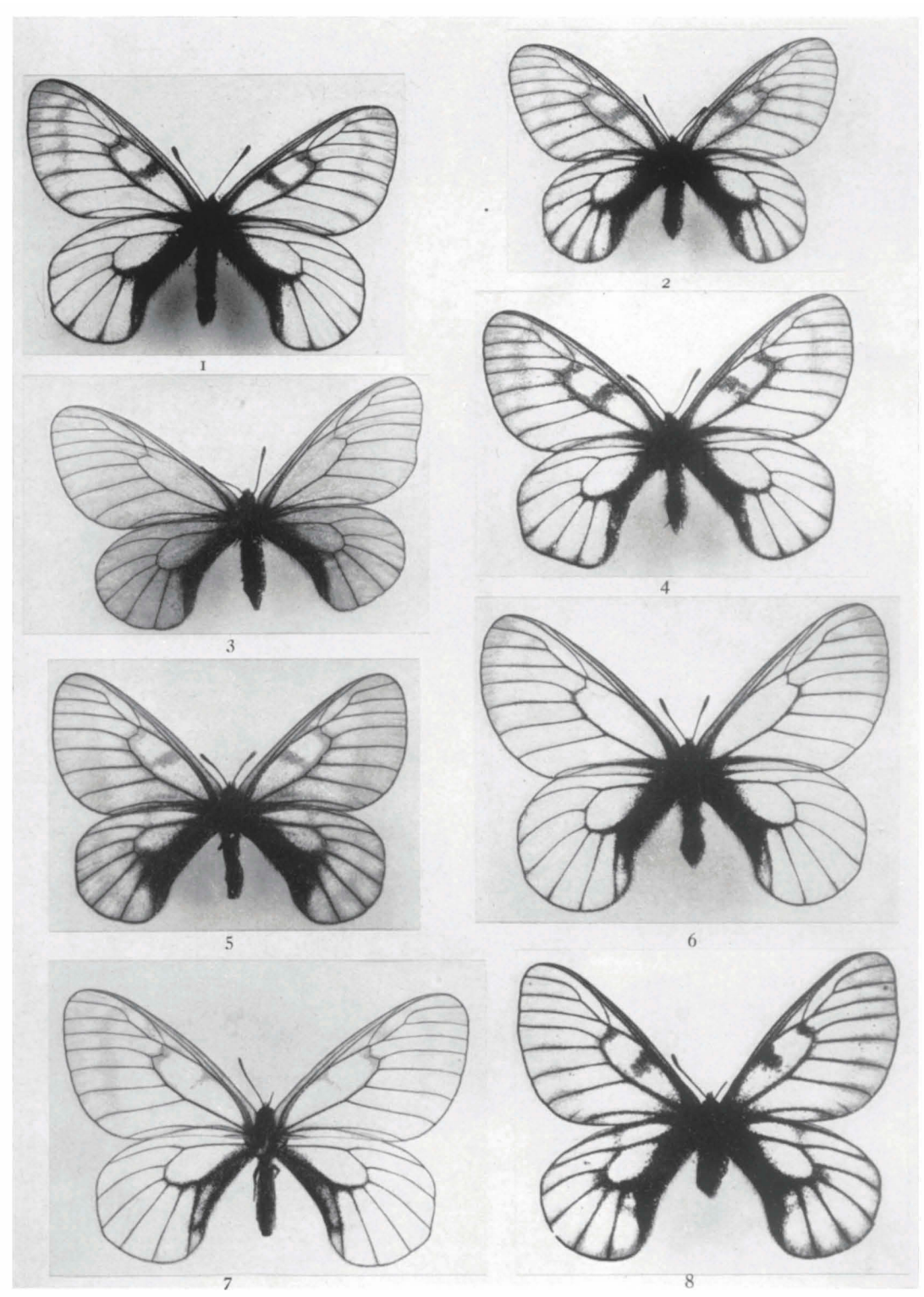


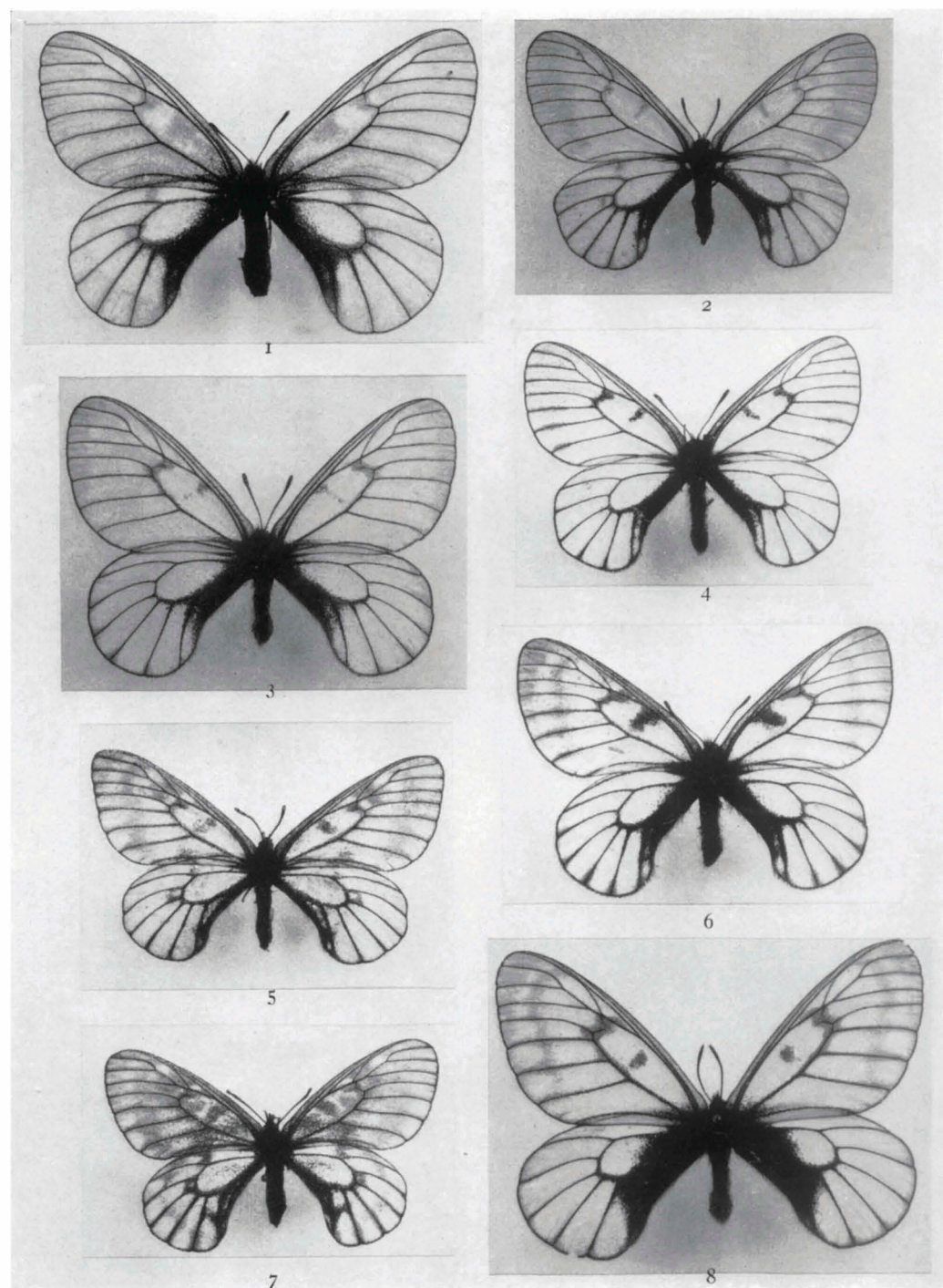


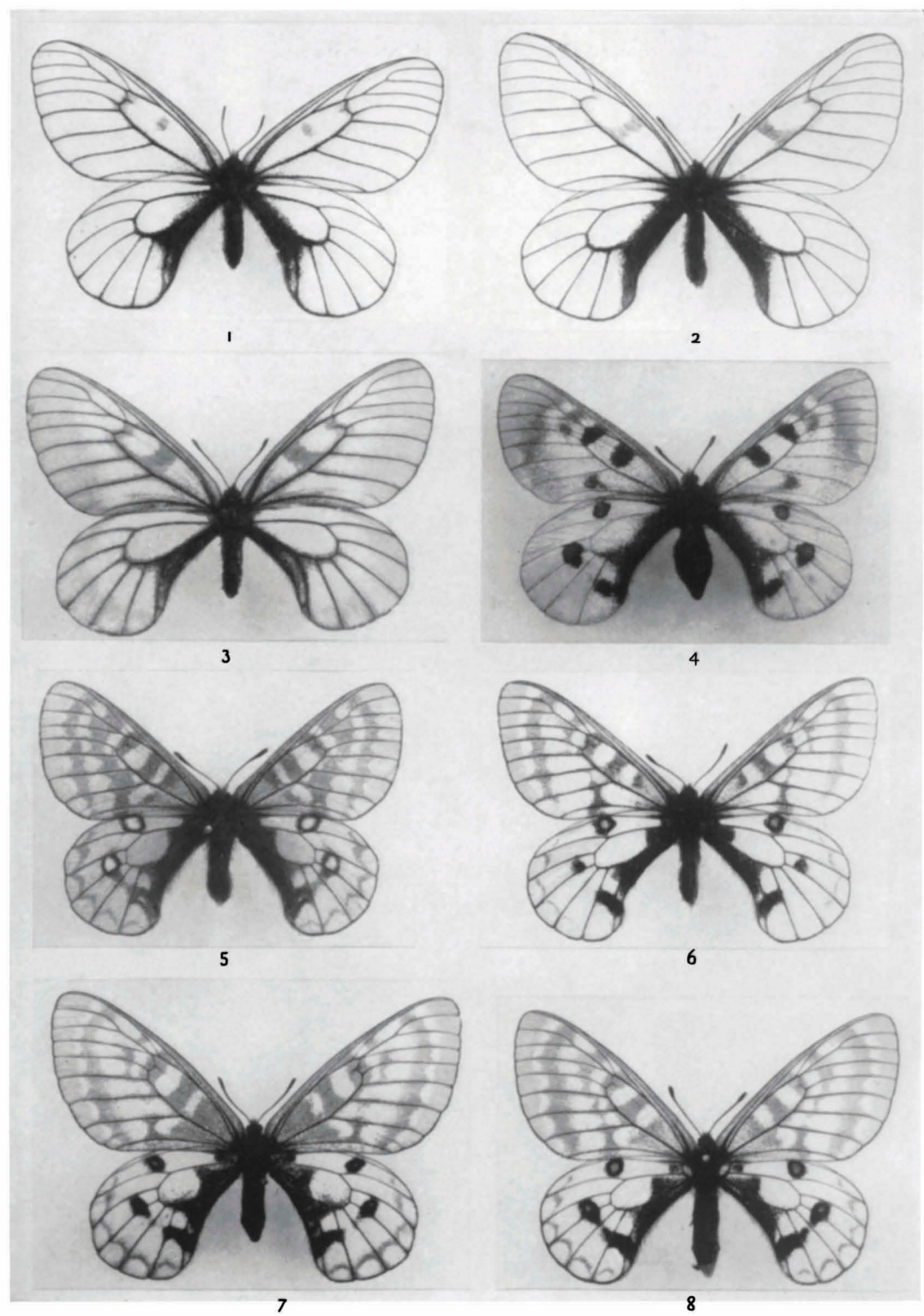


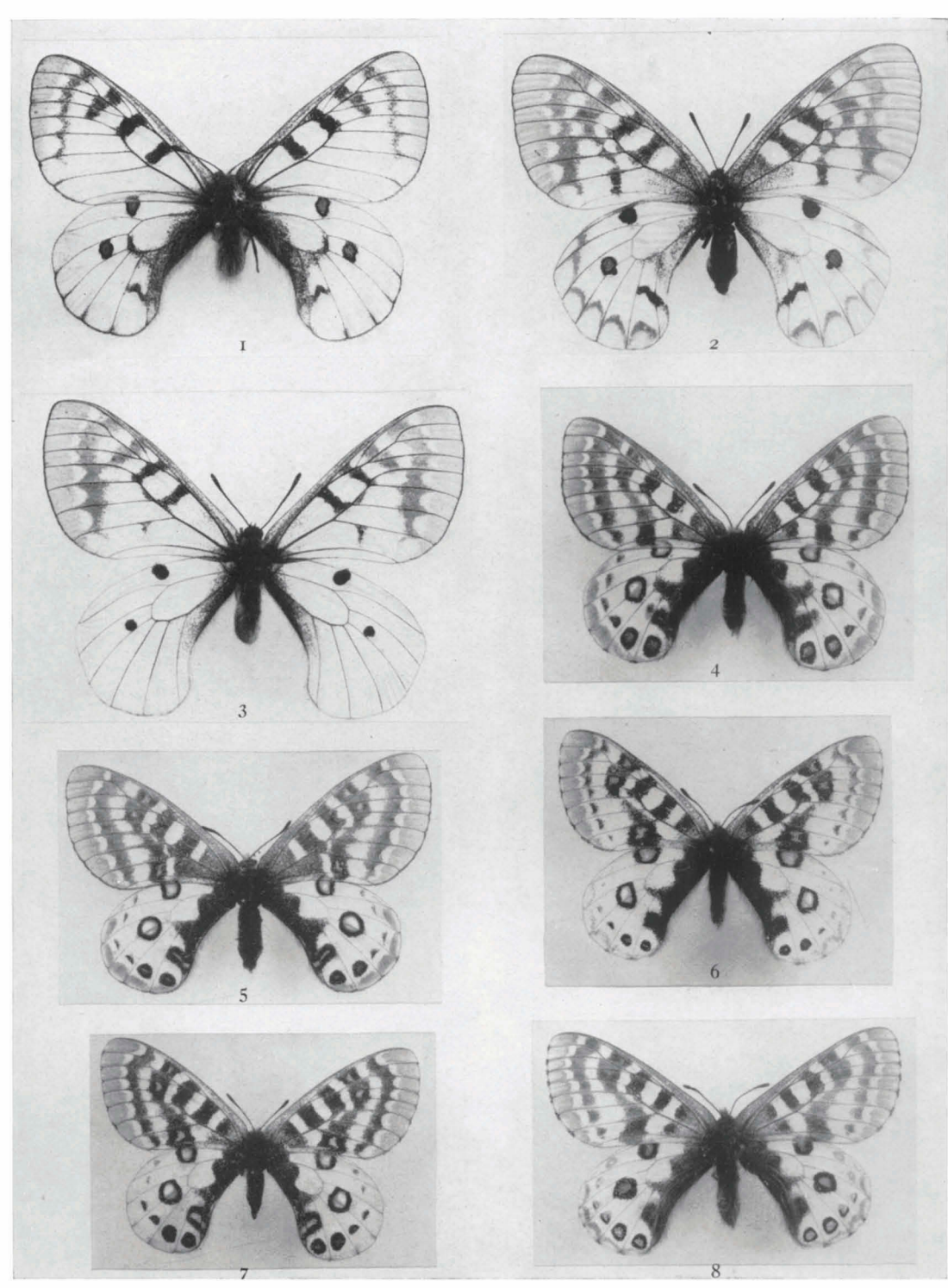


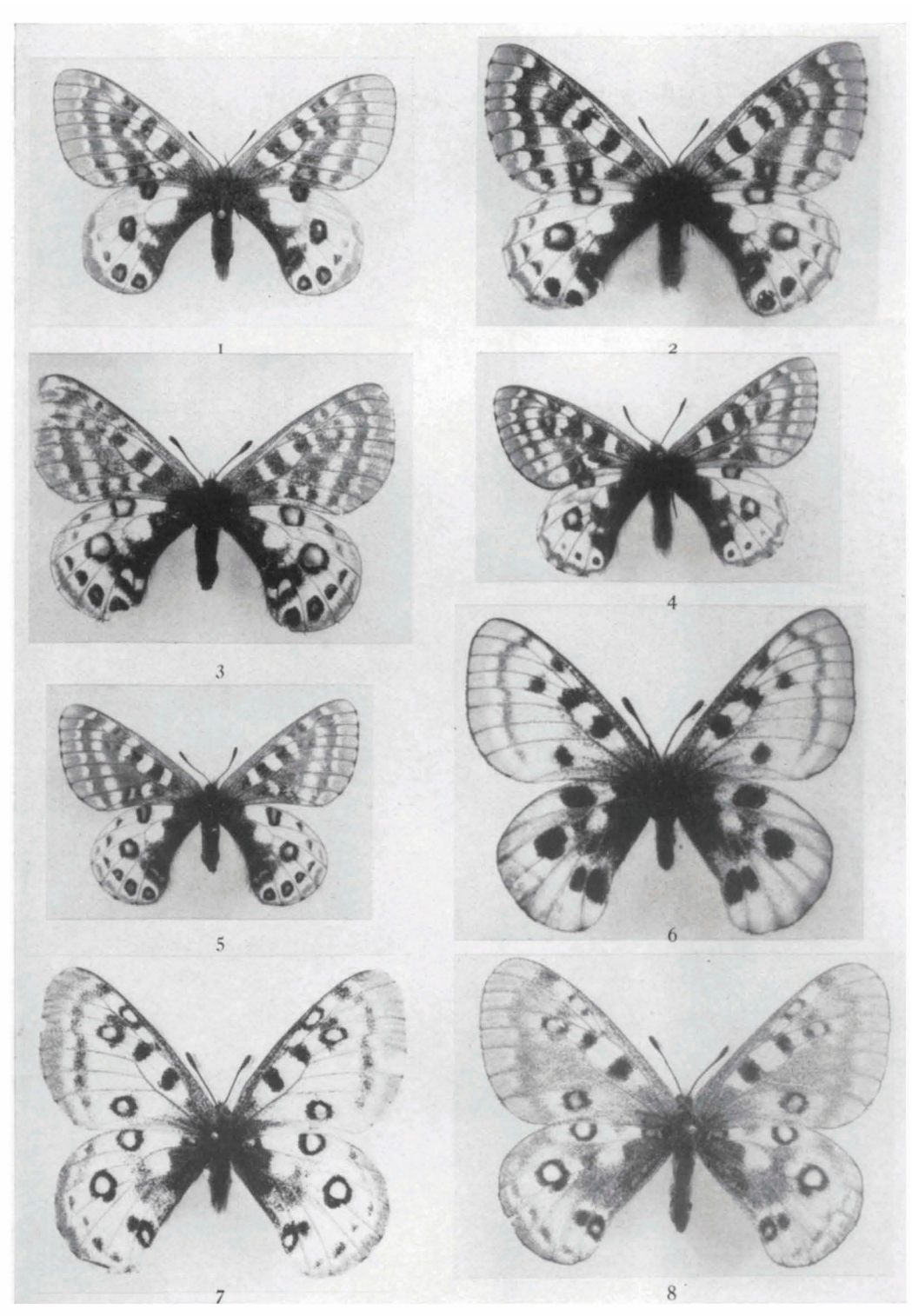


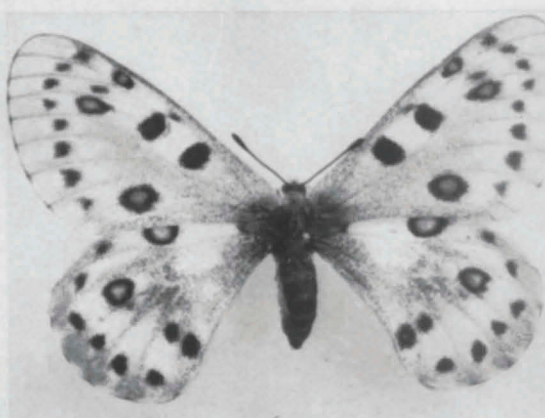
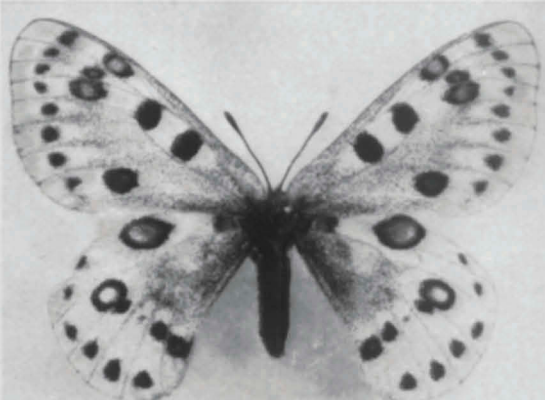
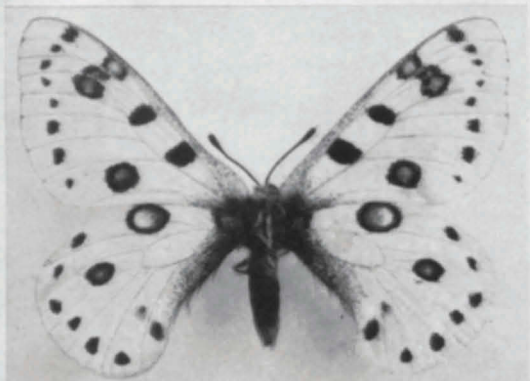
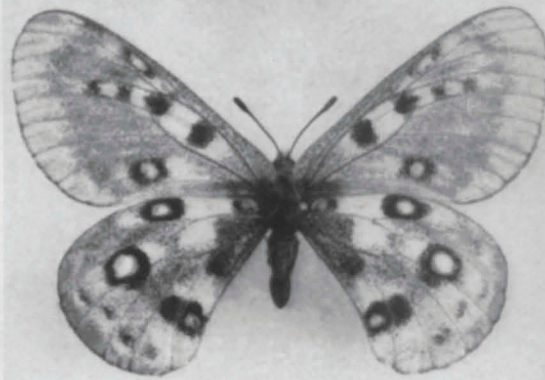


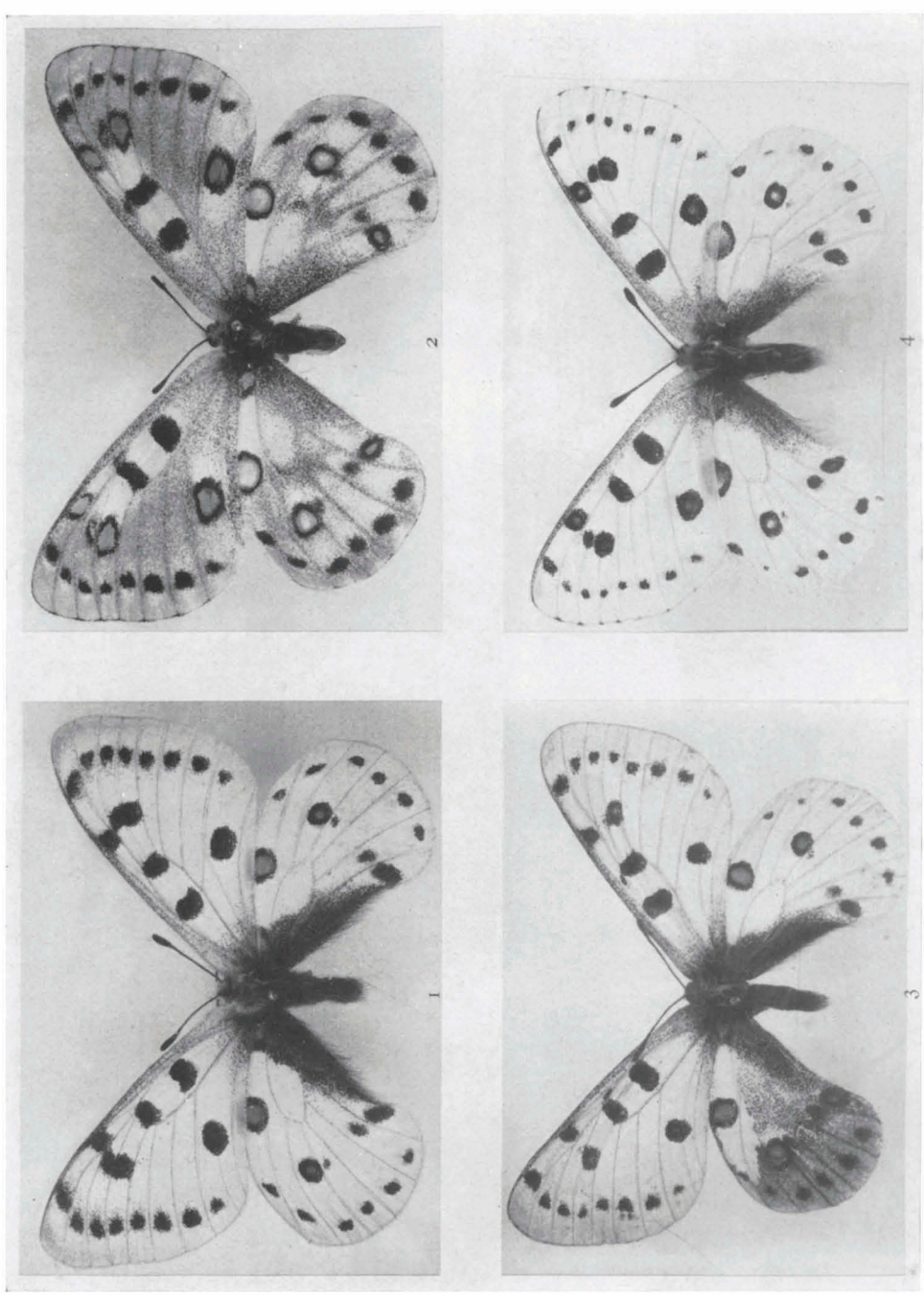


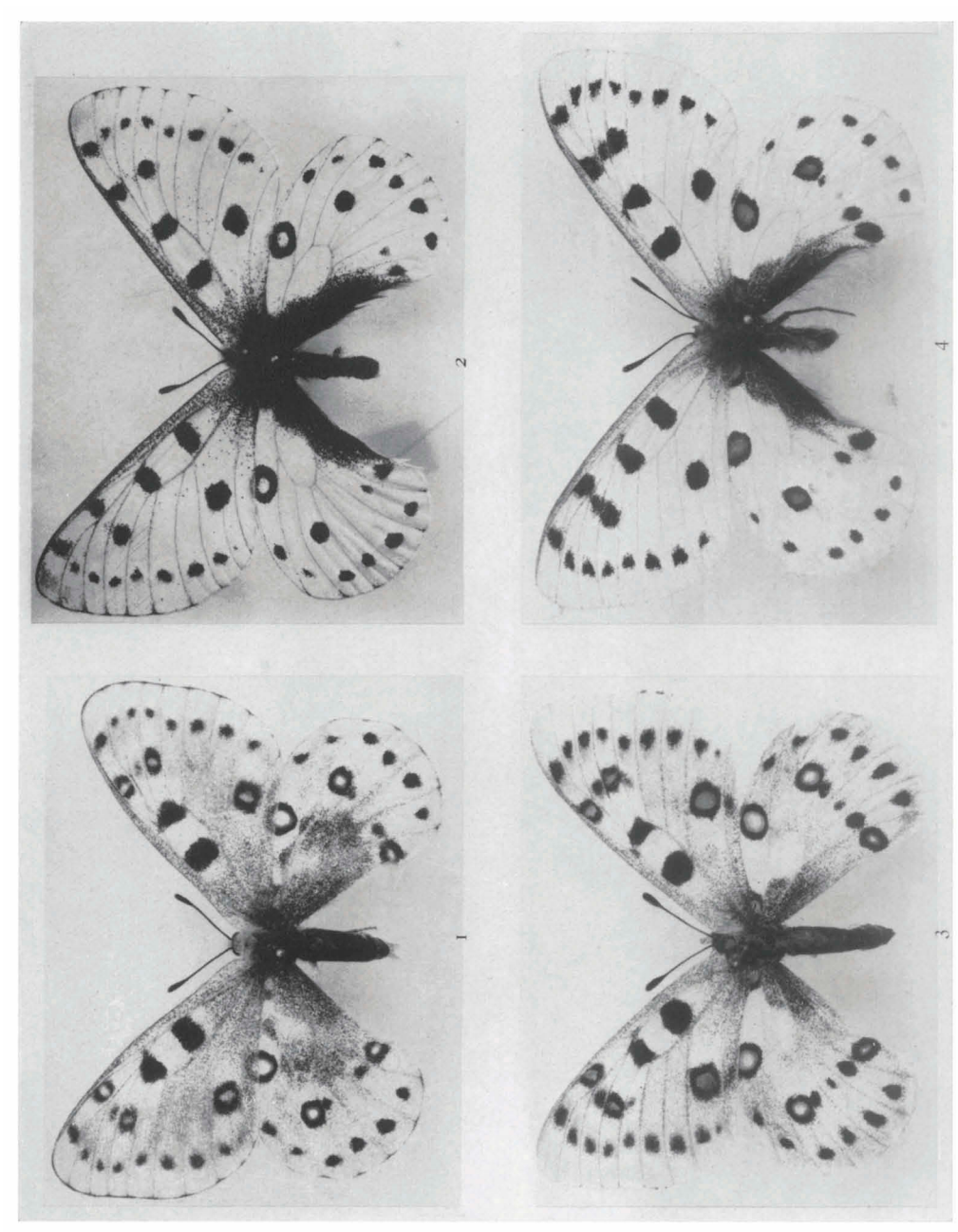


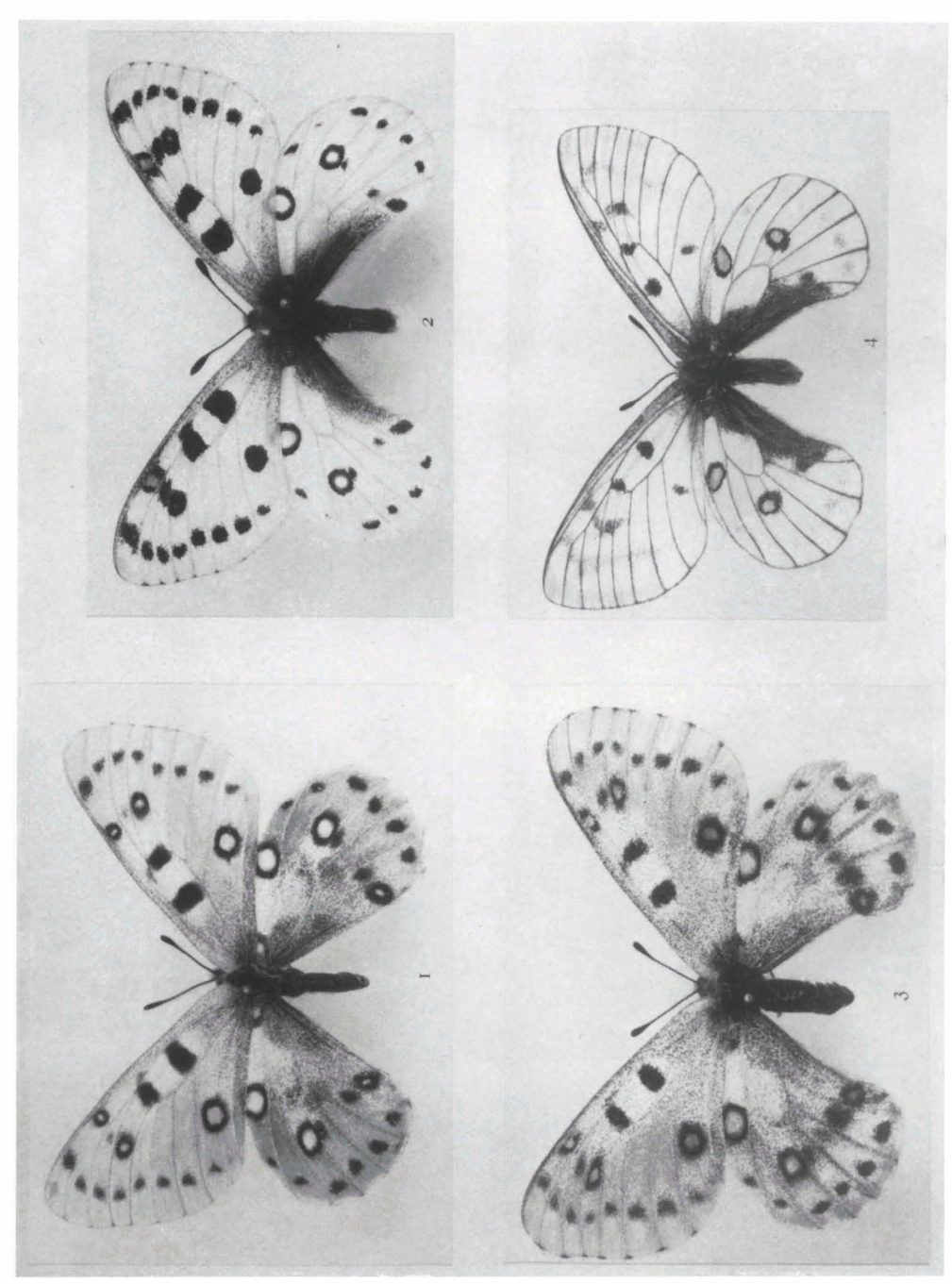


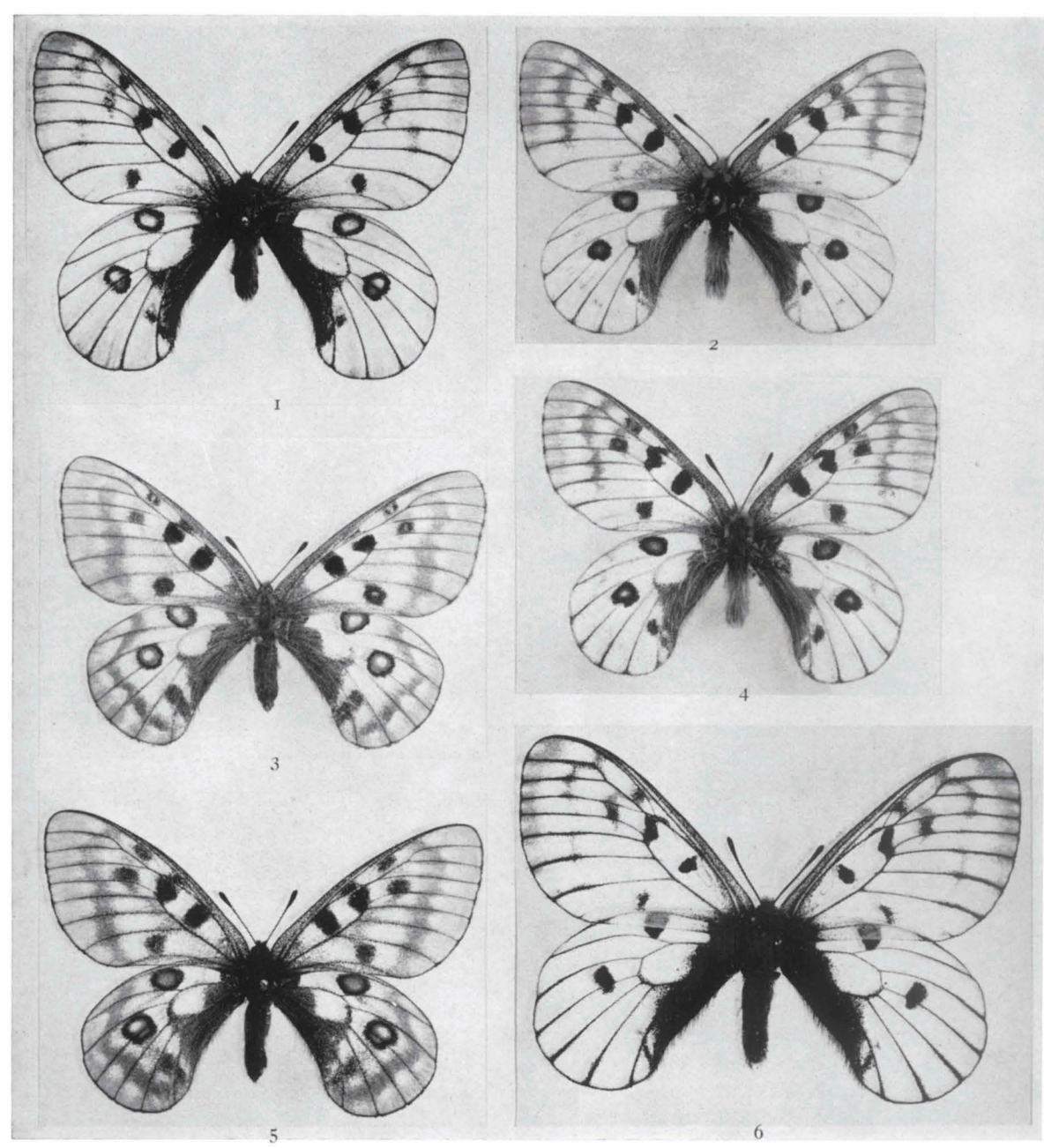


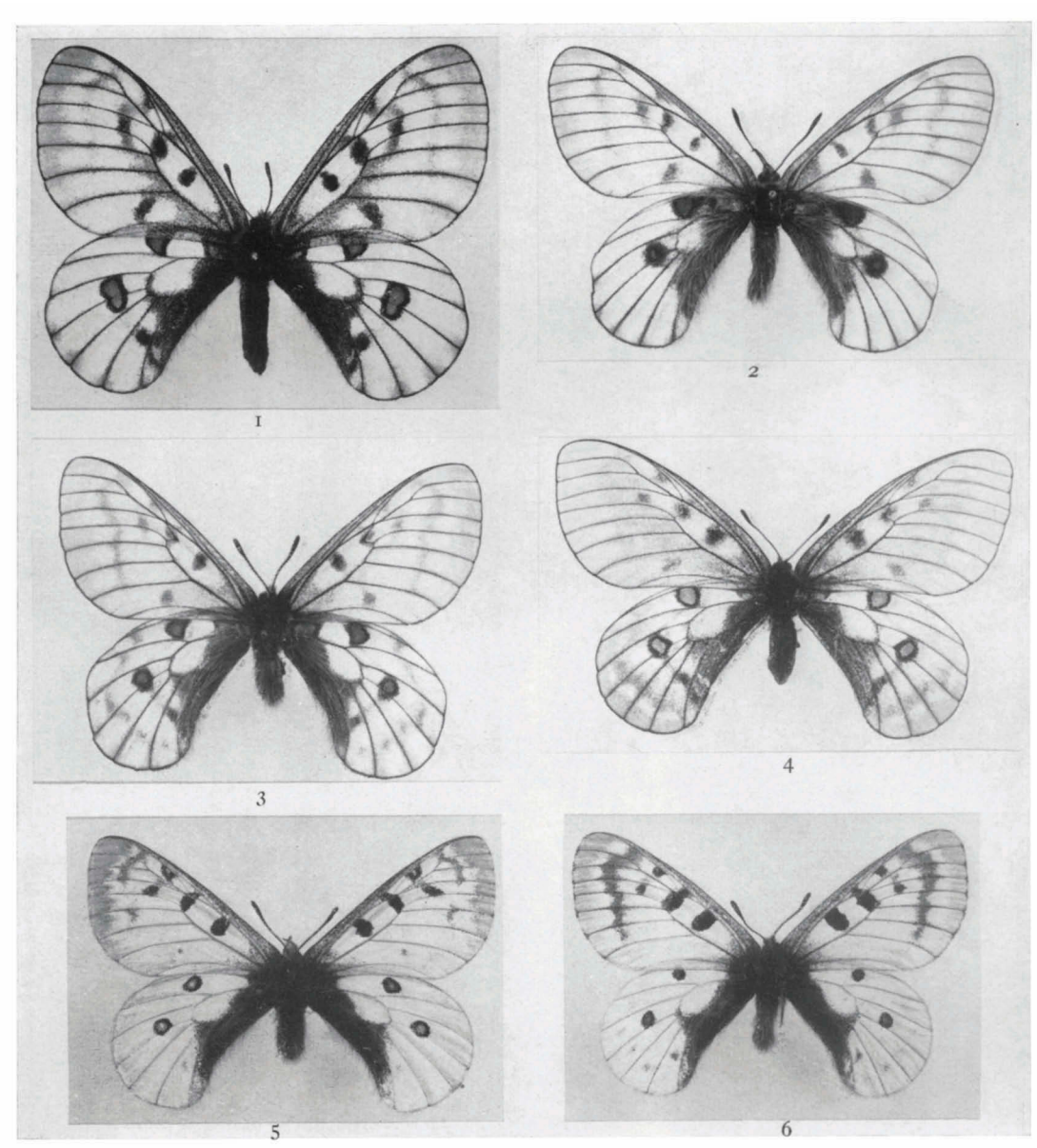


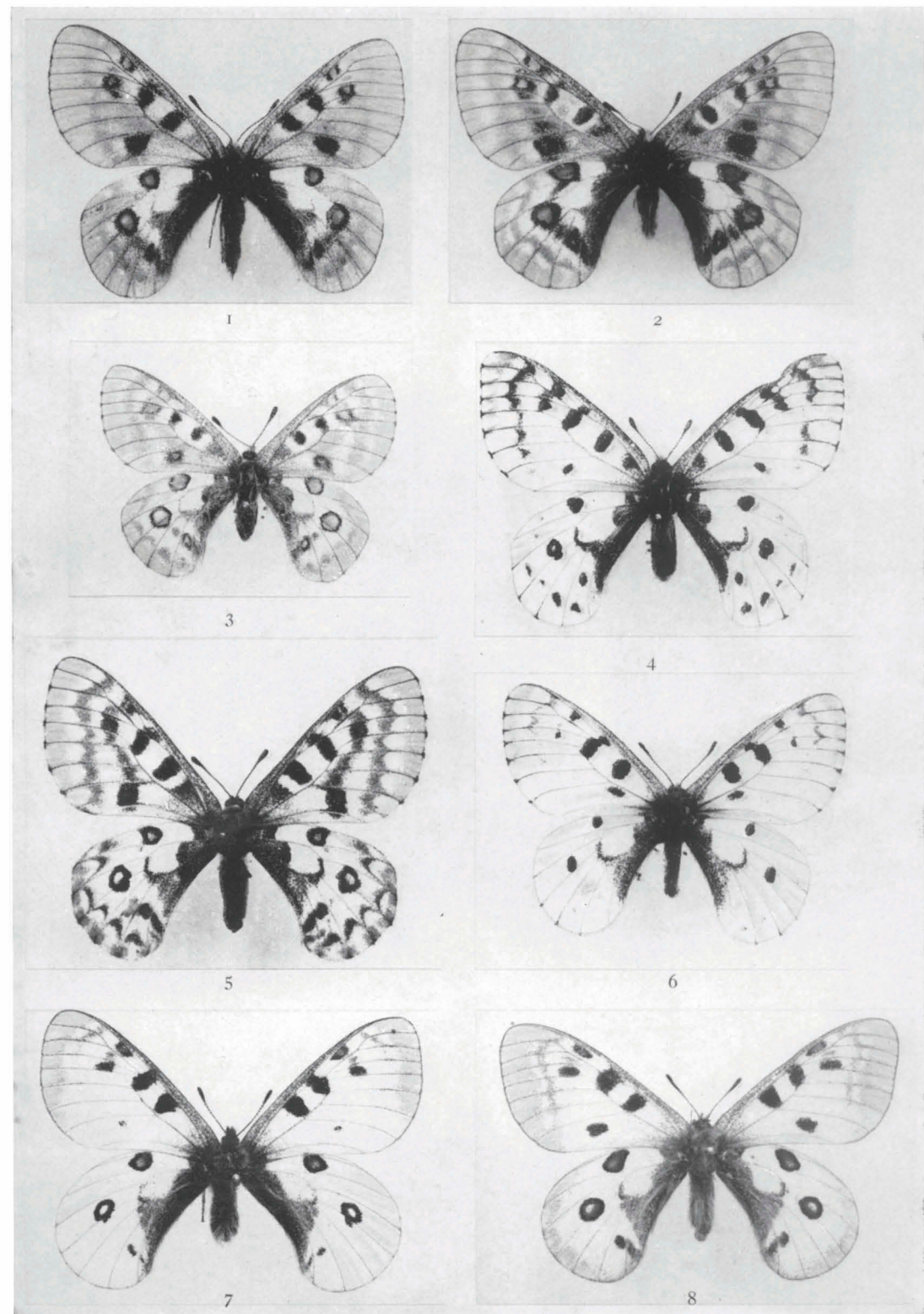


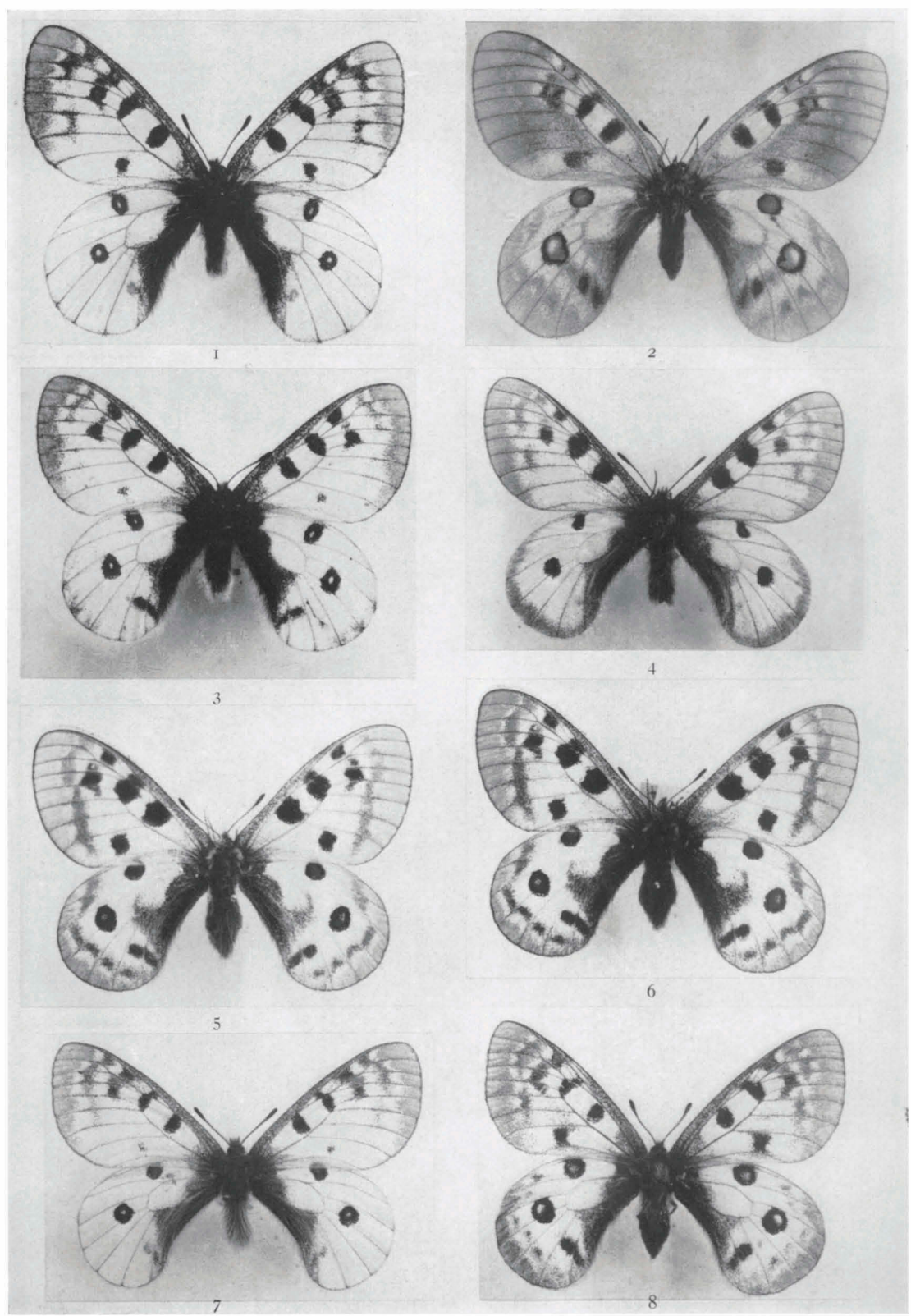


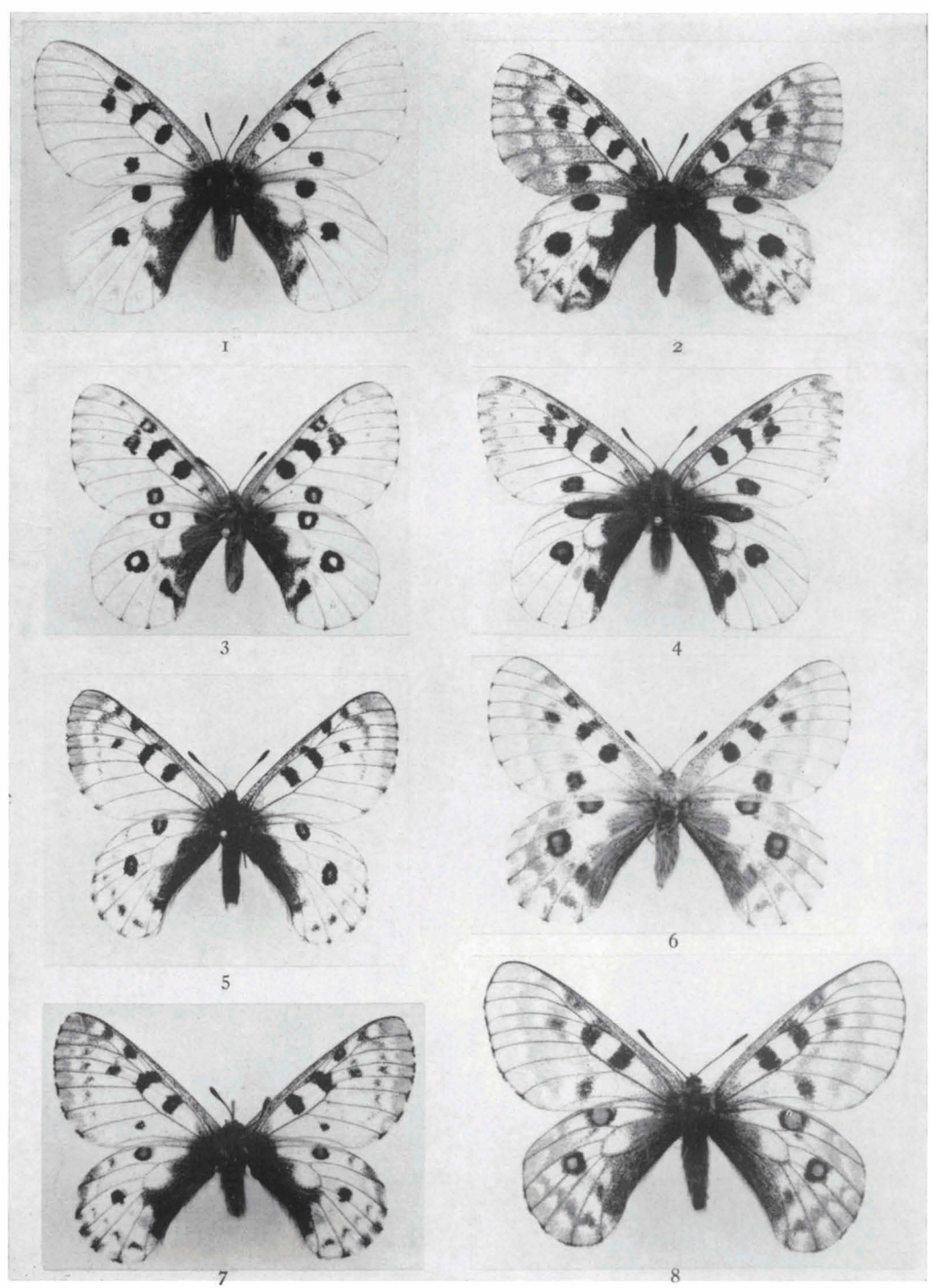


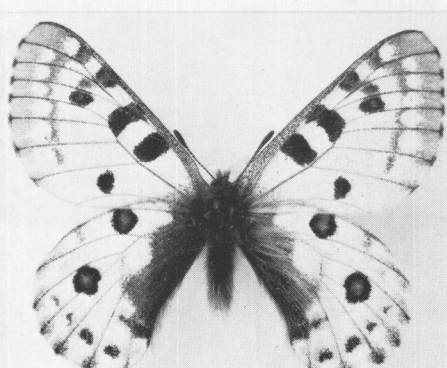
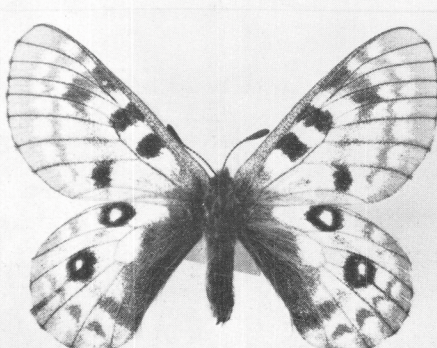
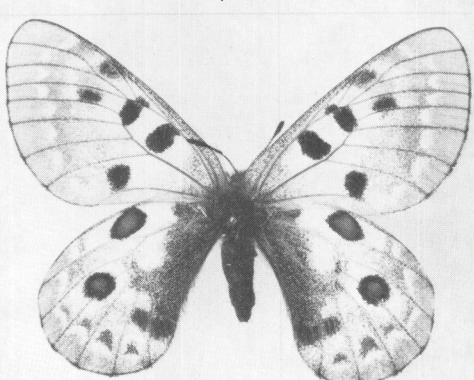
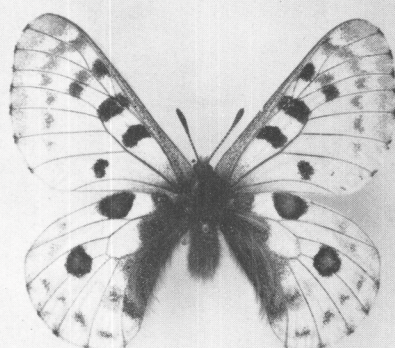
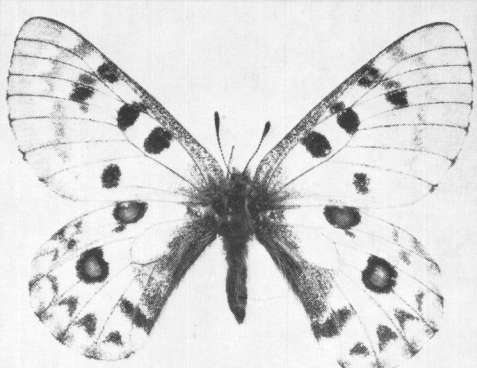
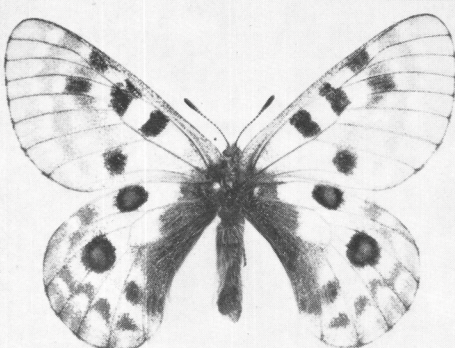
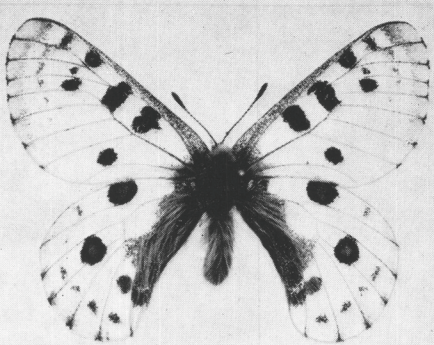
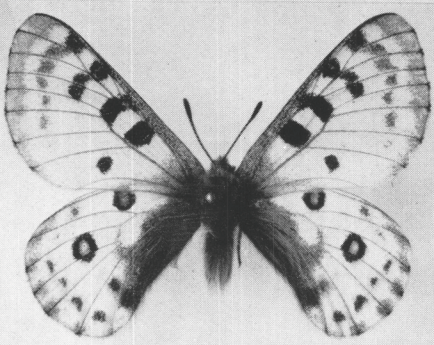


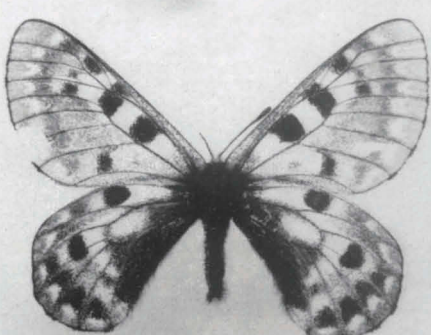
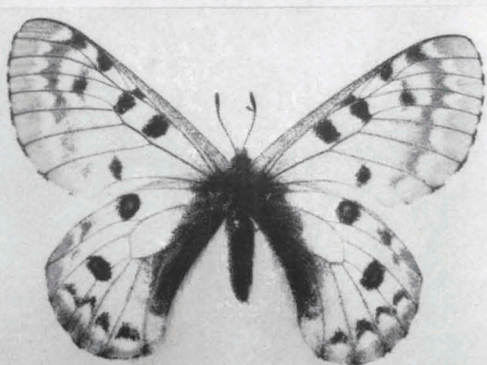
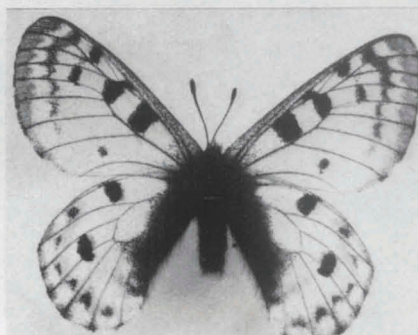
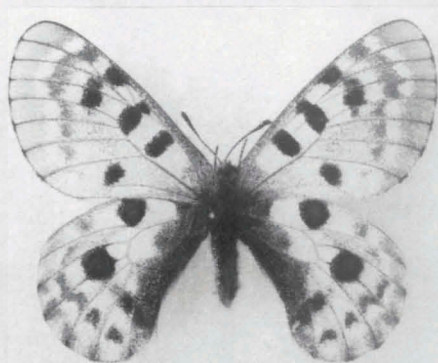
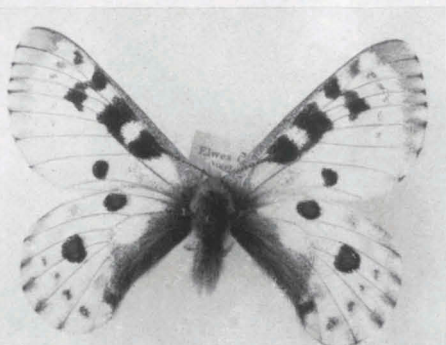
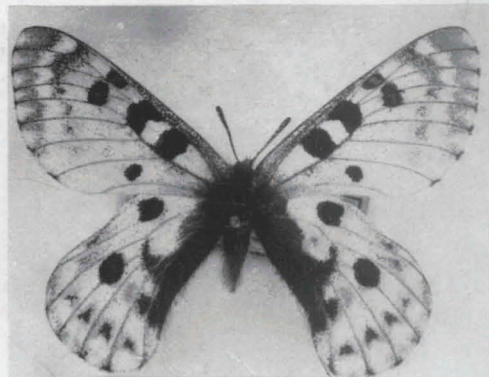


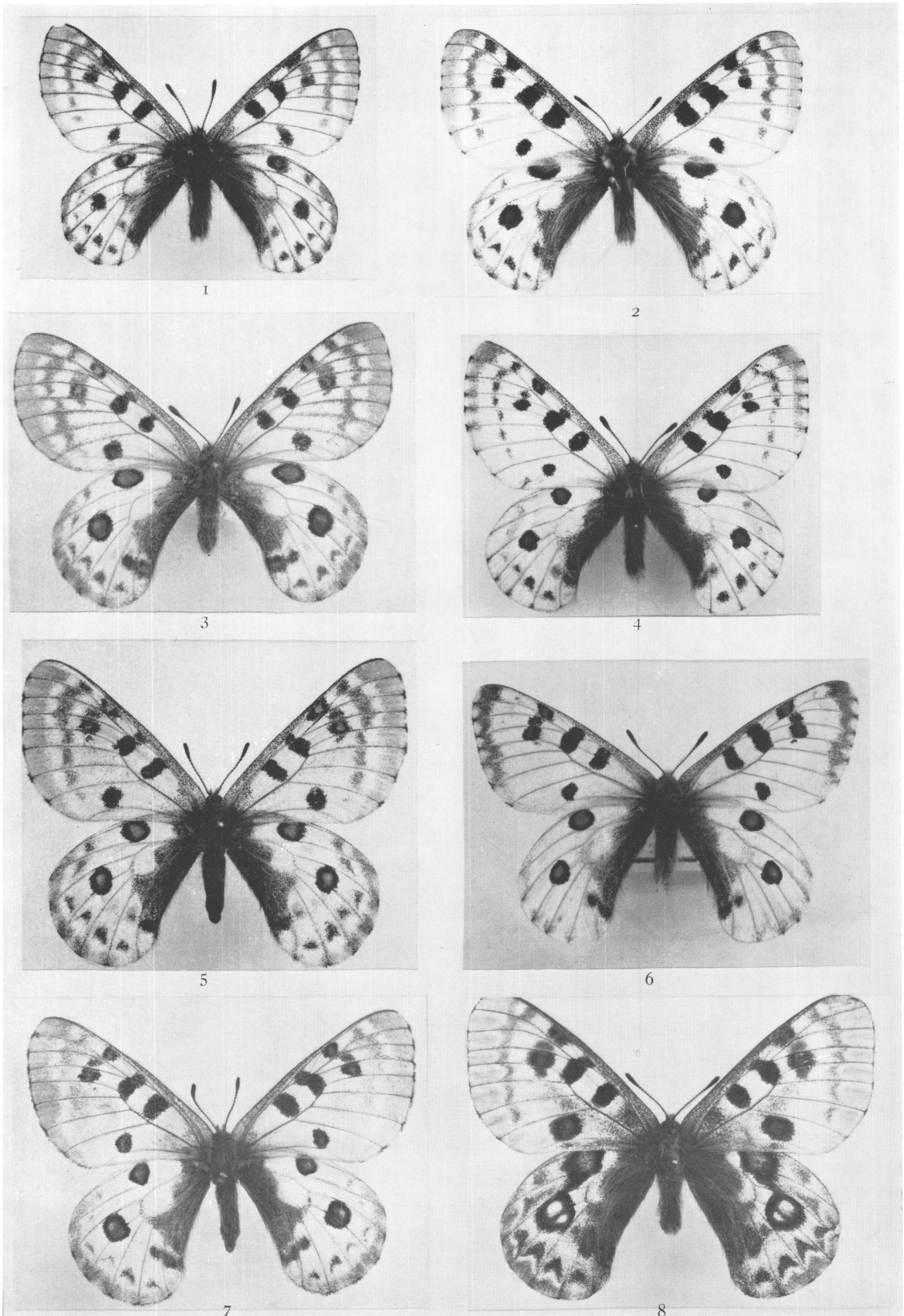












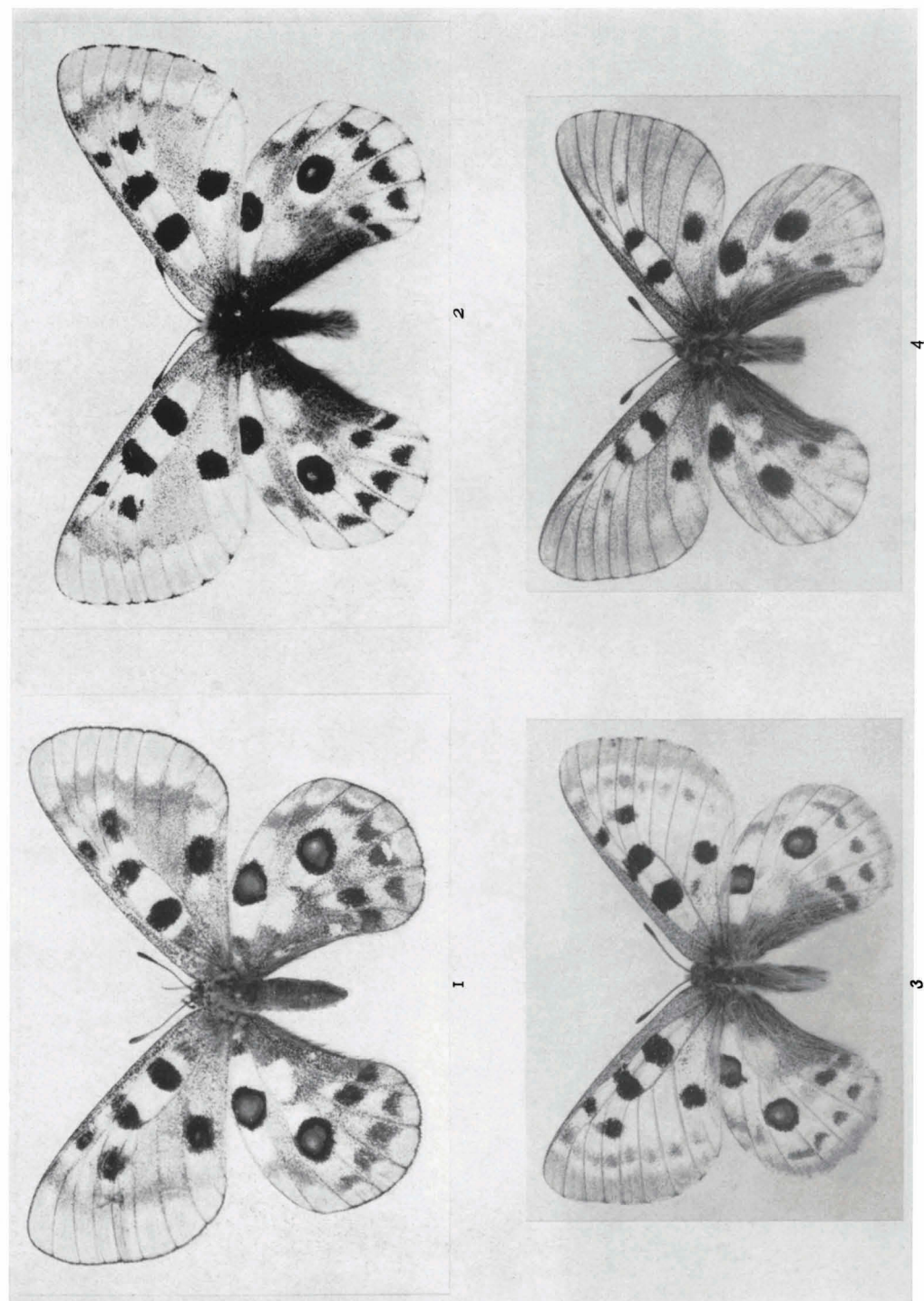
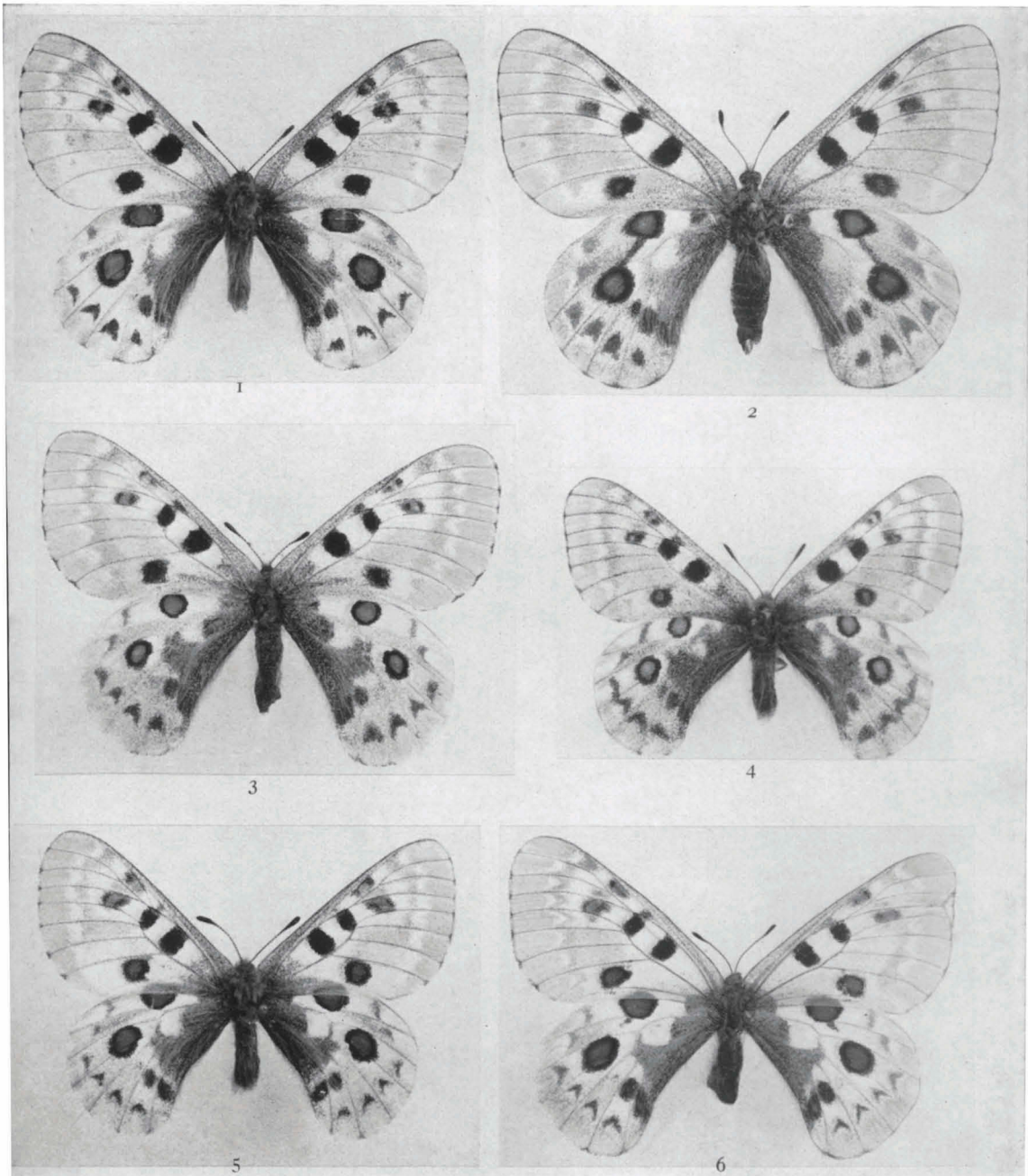


Fig. 1-2, ausserhalb der Reihefolge, siehe no. 720.



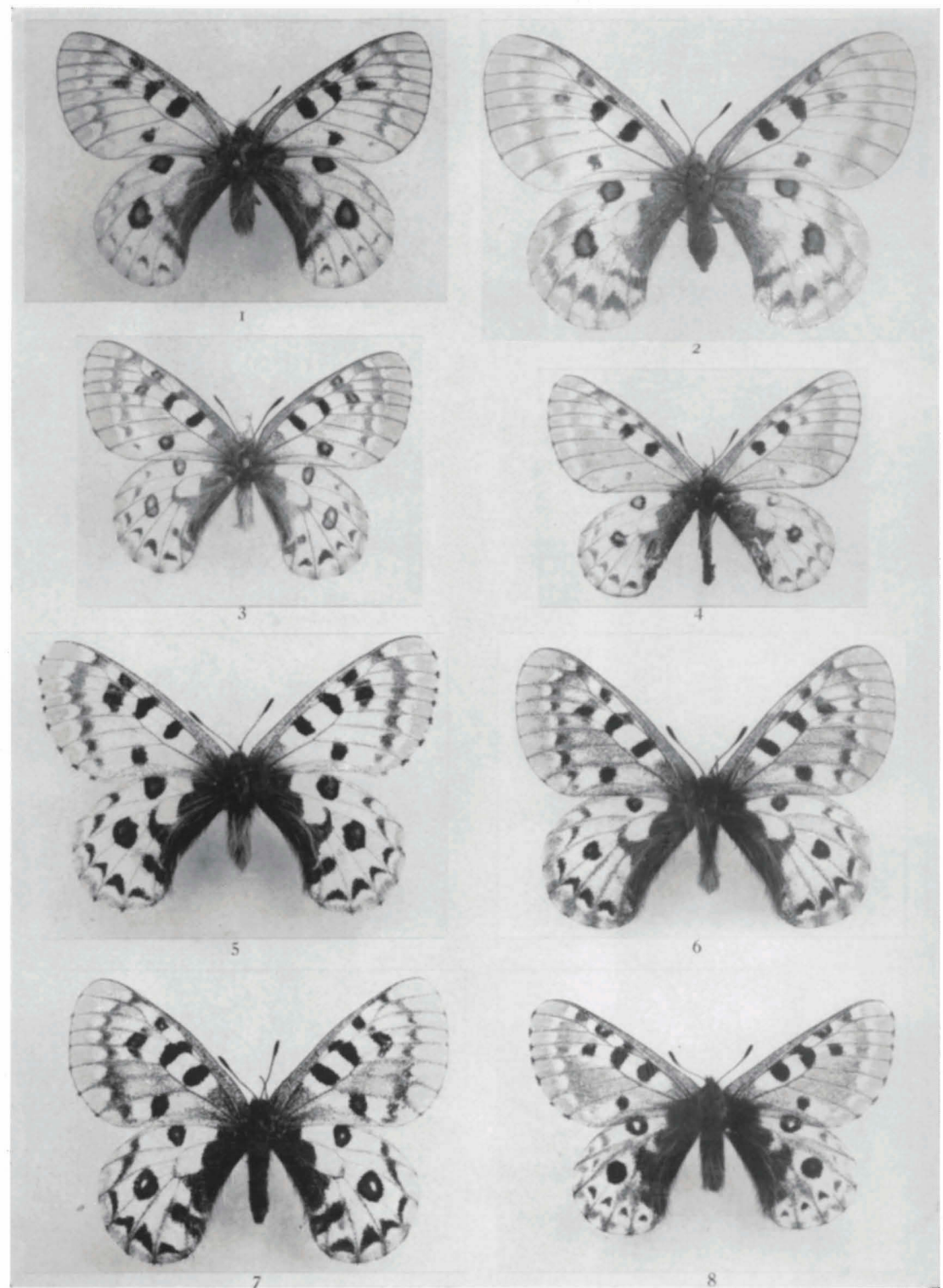
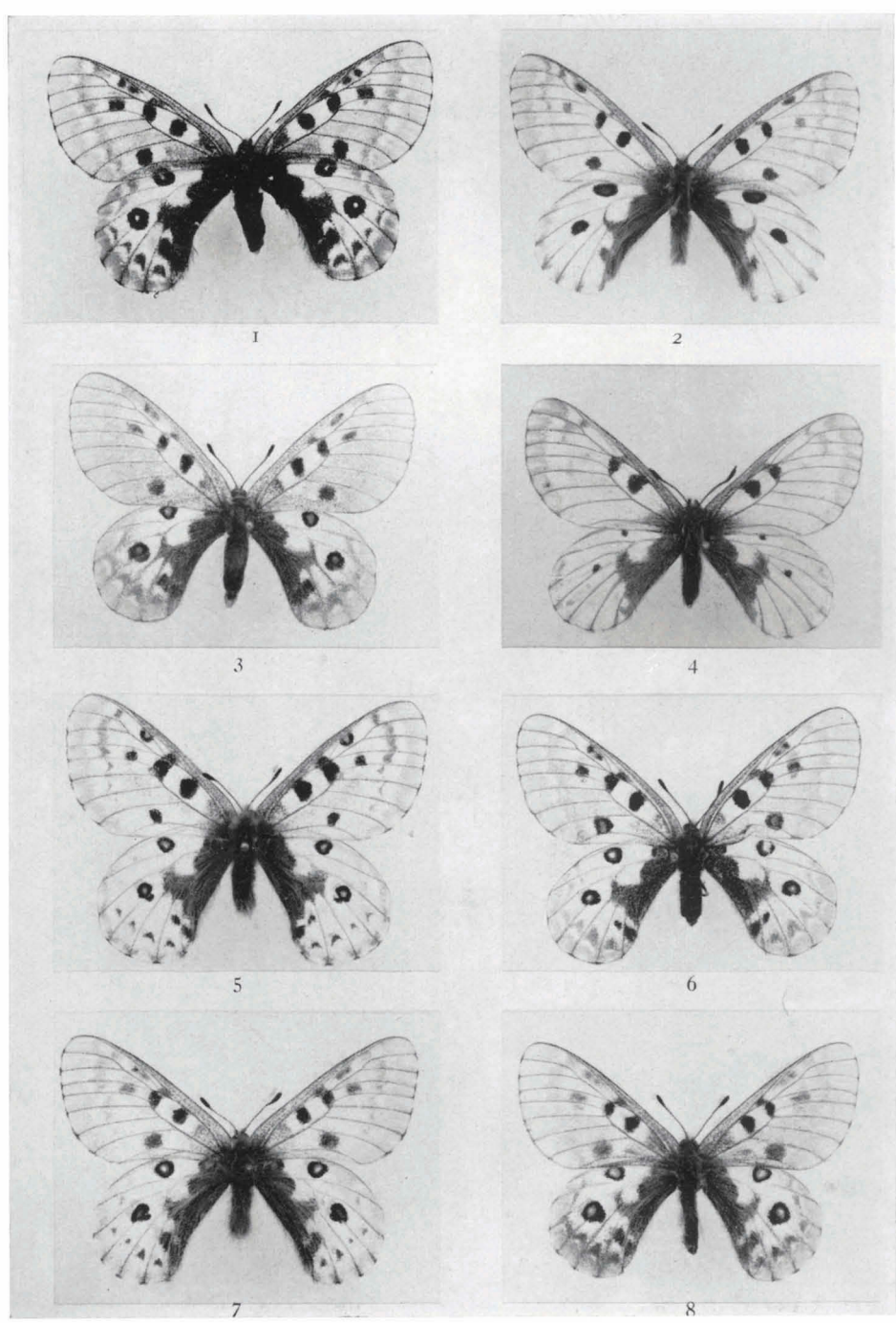
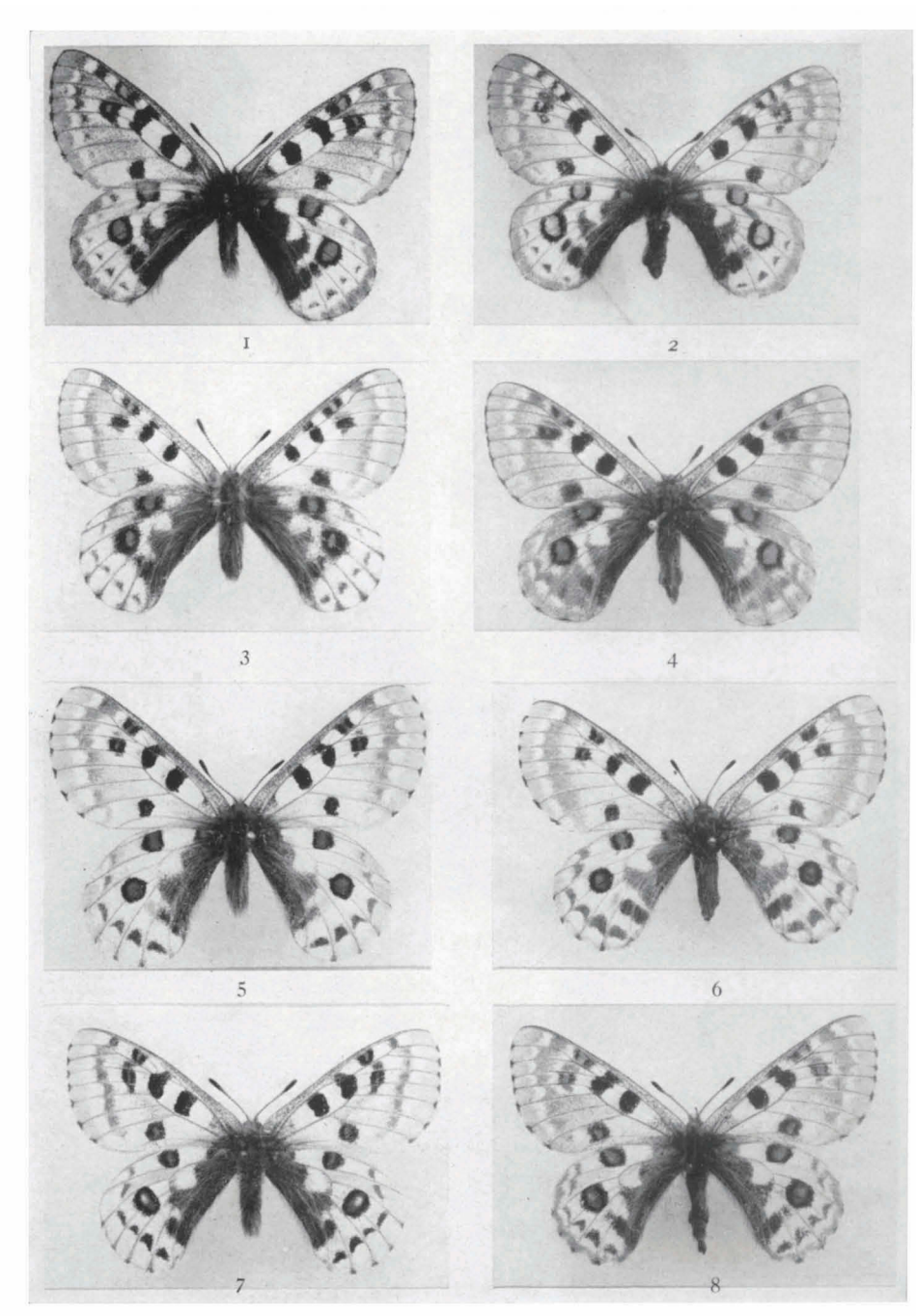
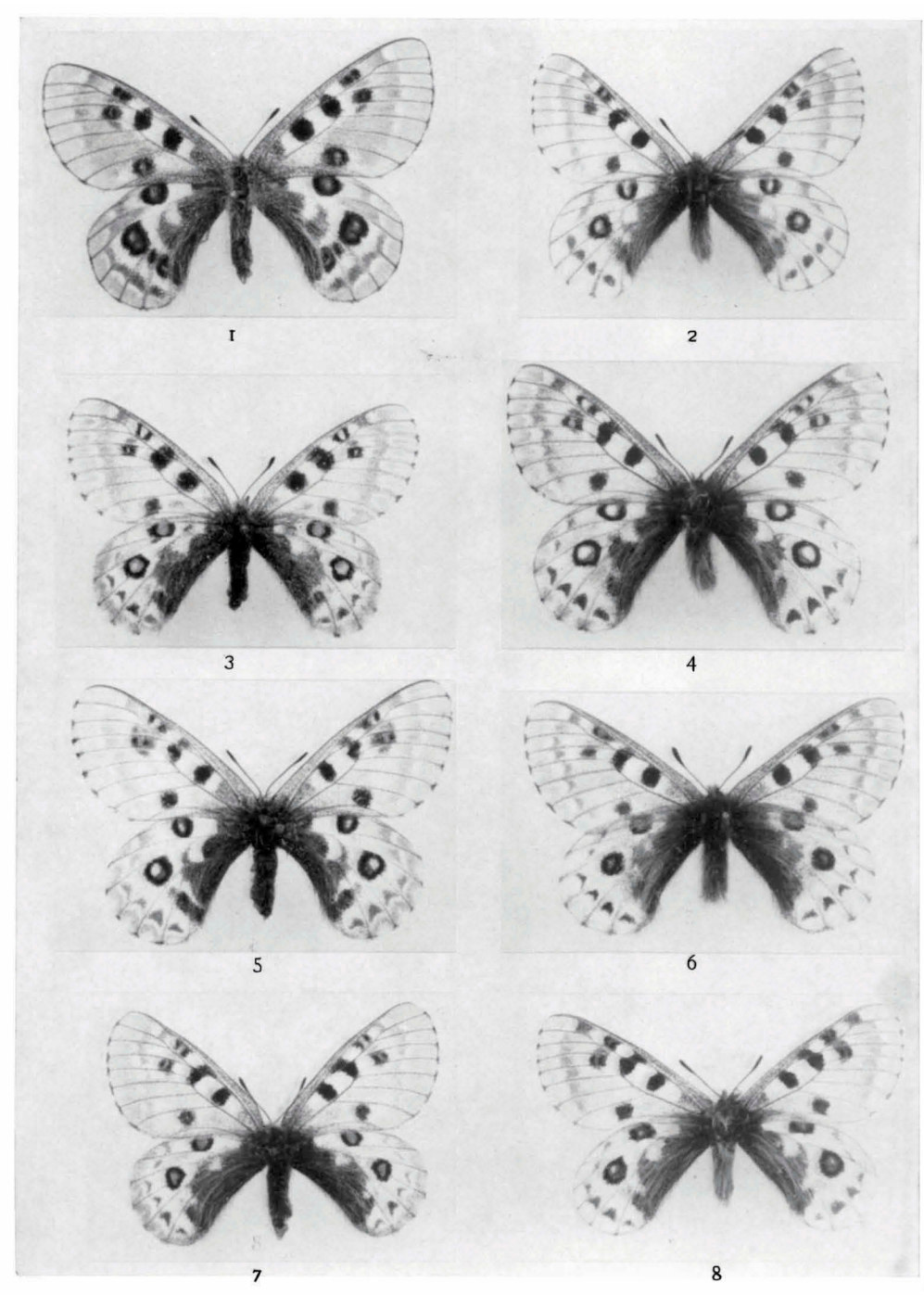
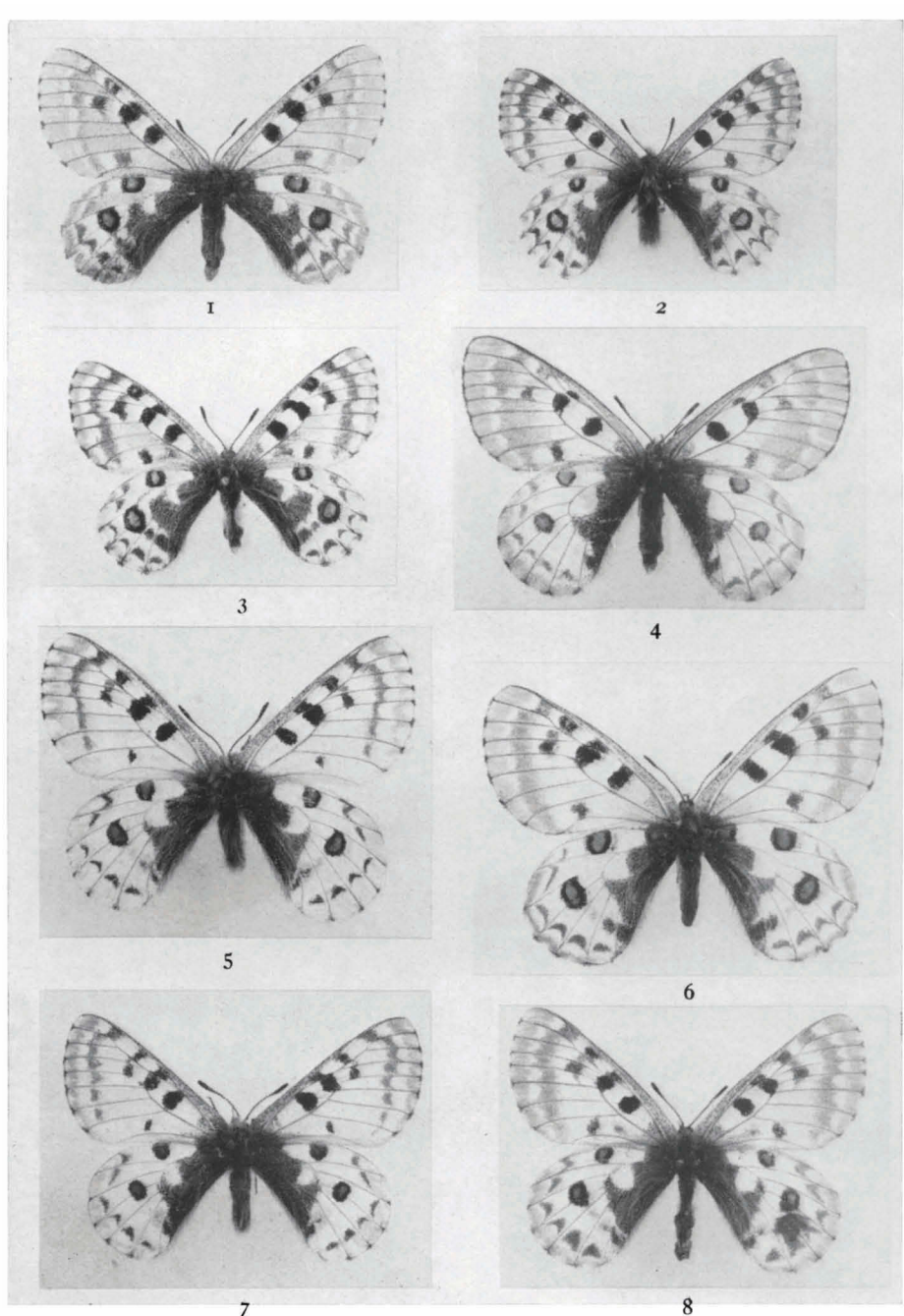


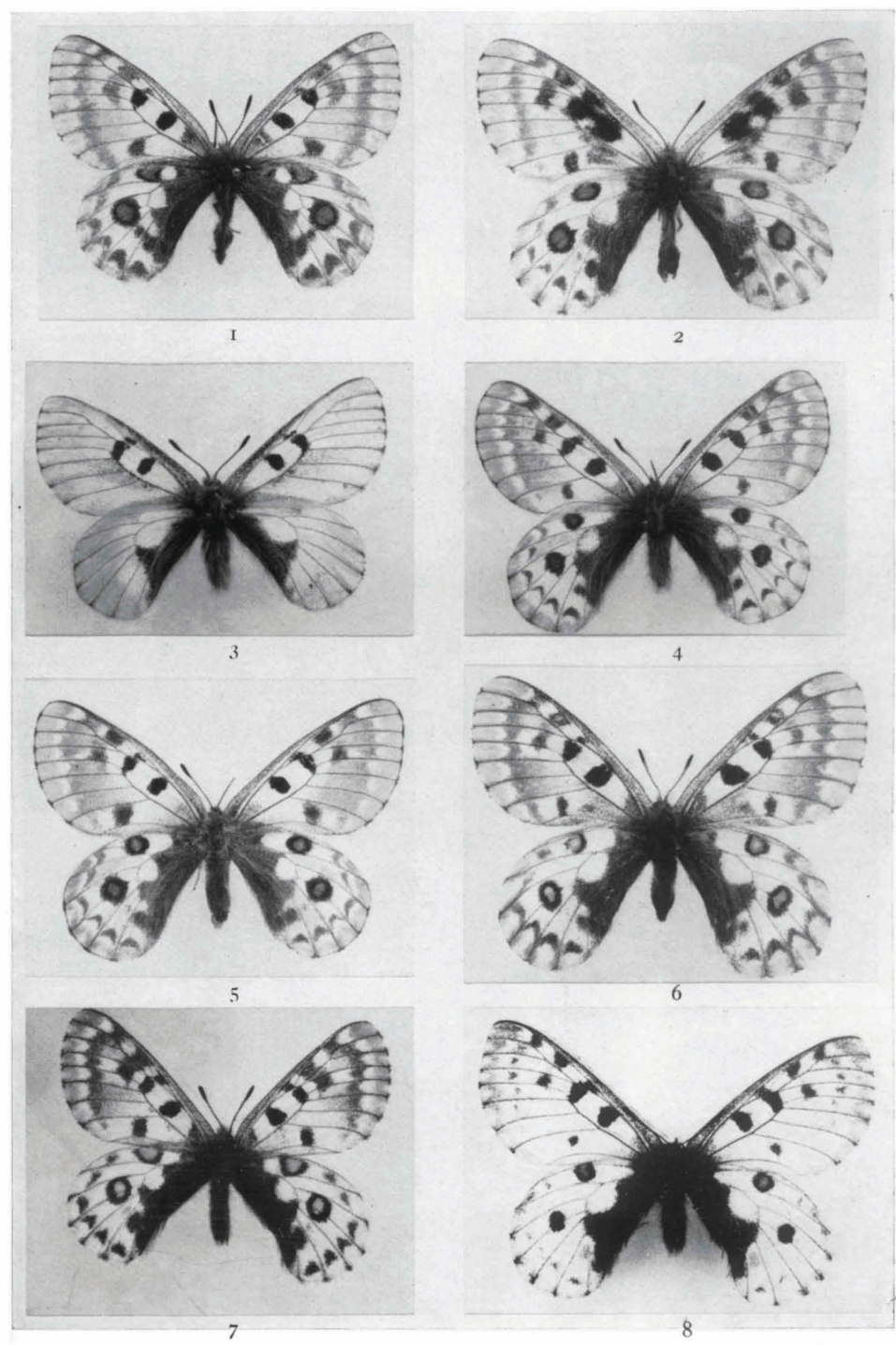
Fig. 5, ausserhalb der Reihefolge, siehe no. 722.

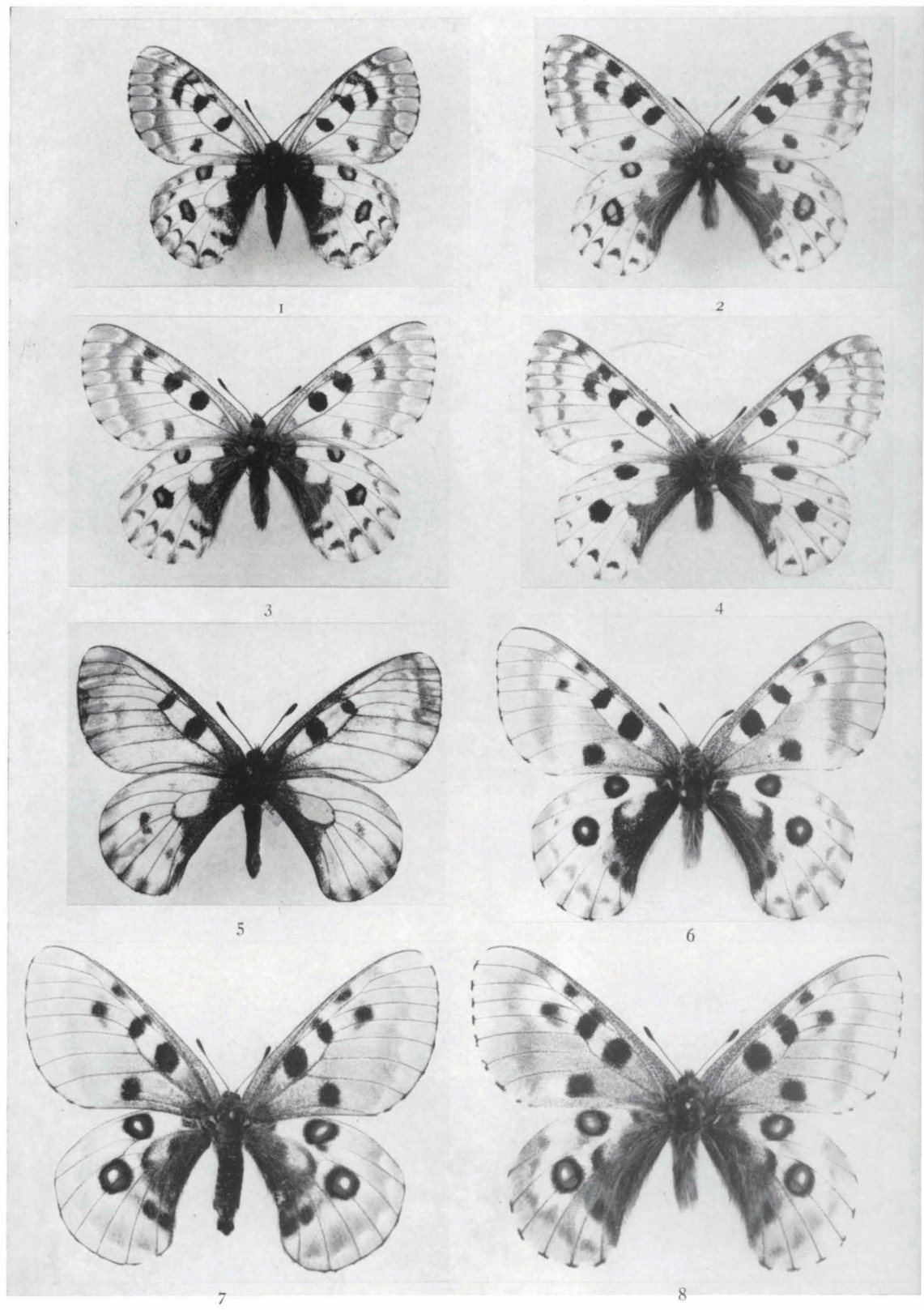


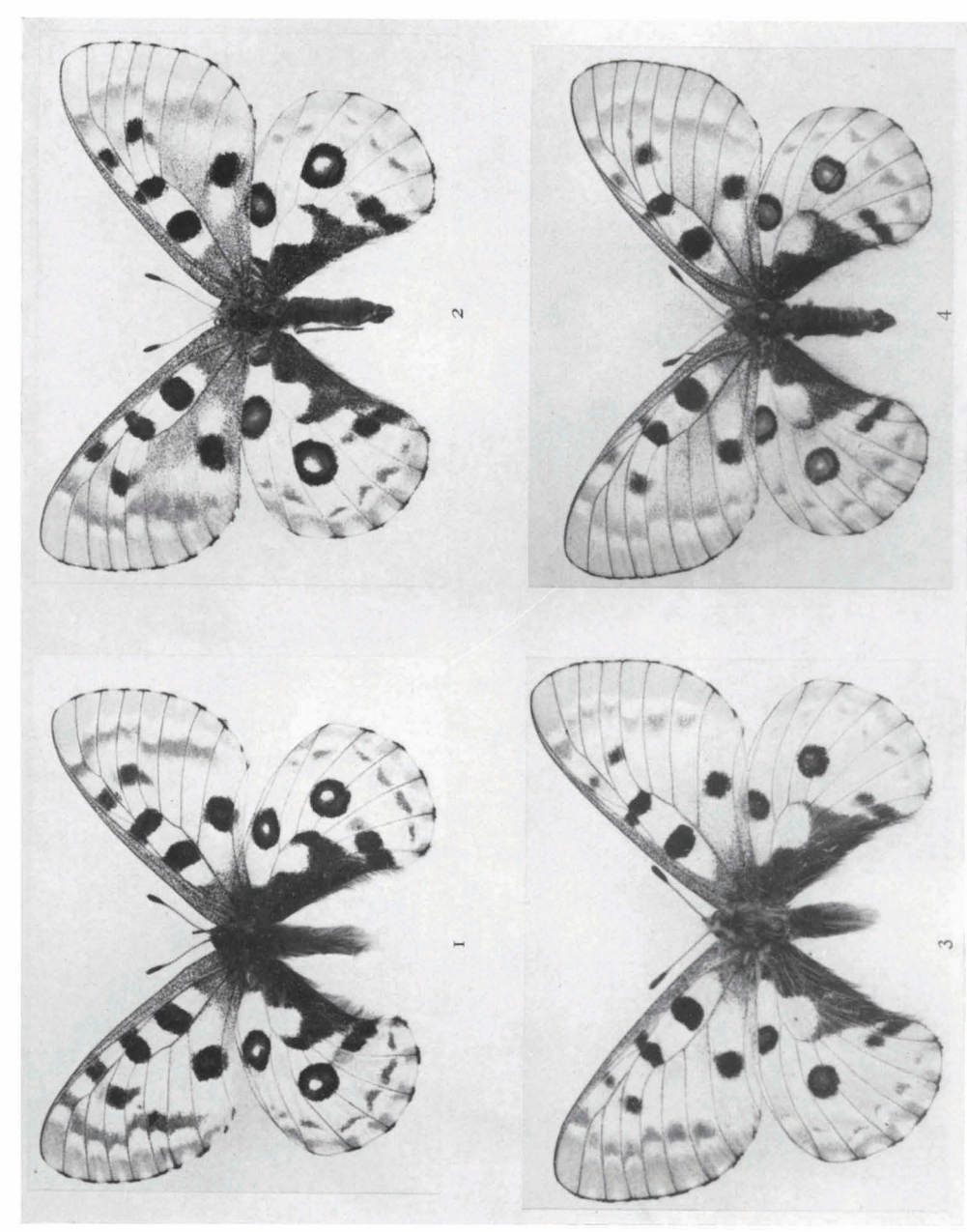


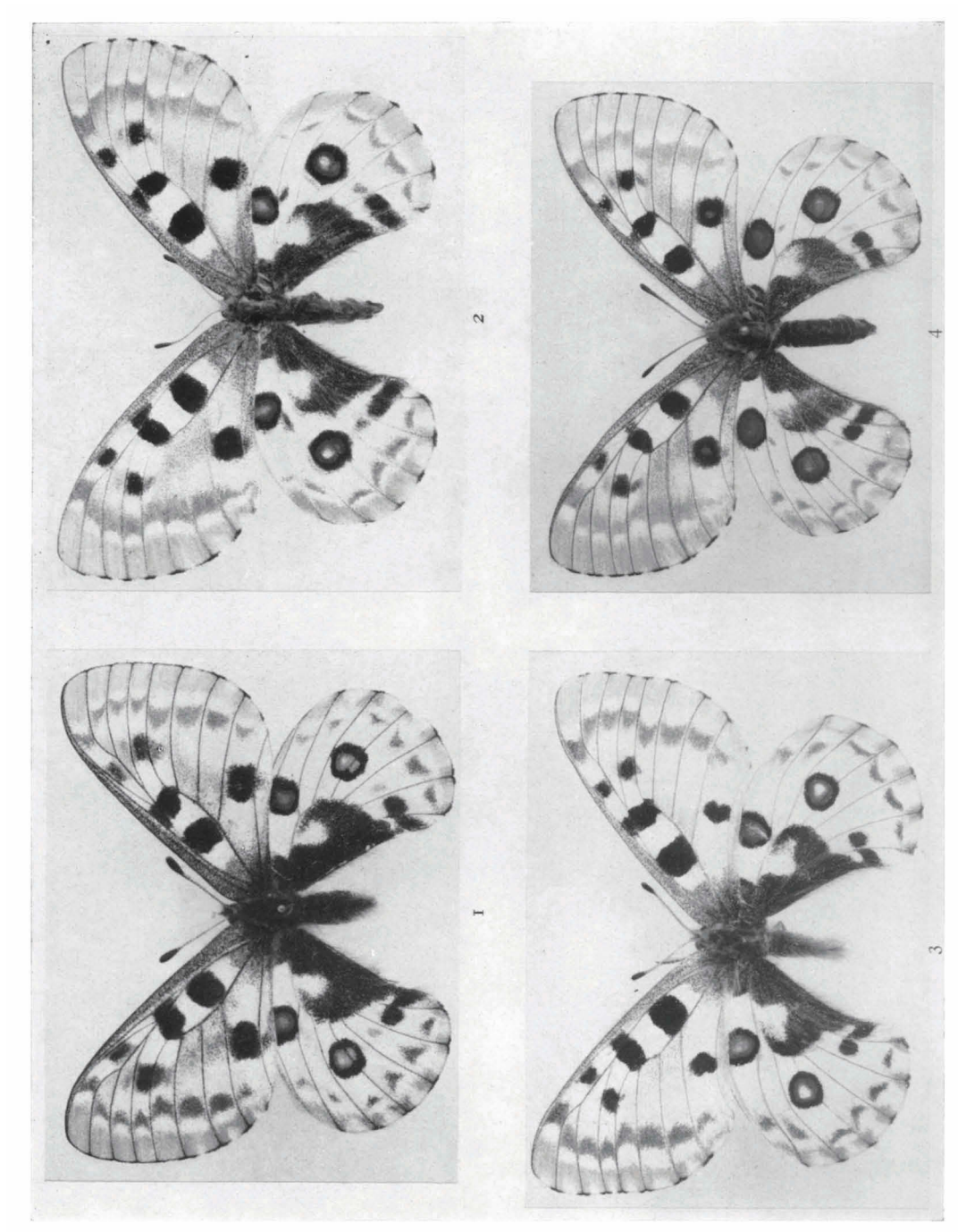


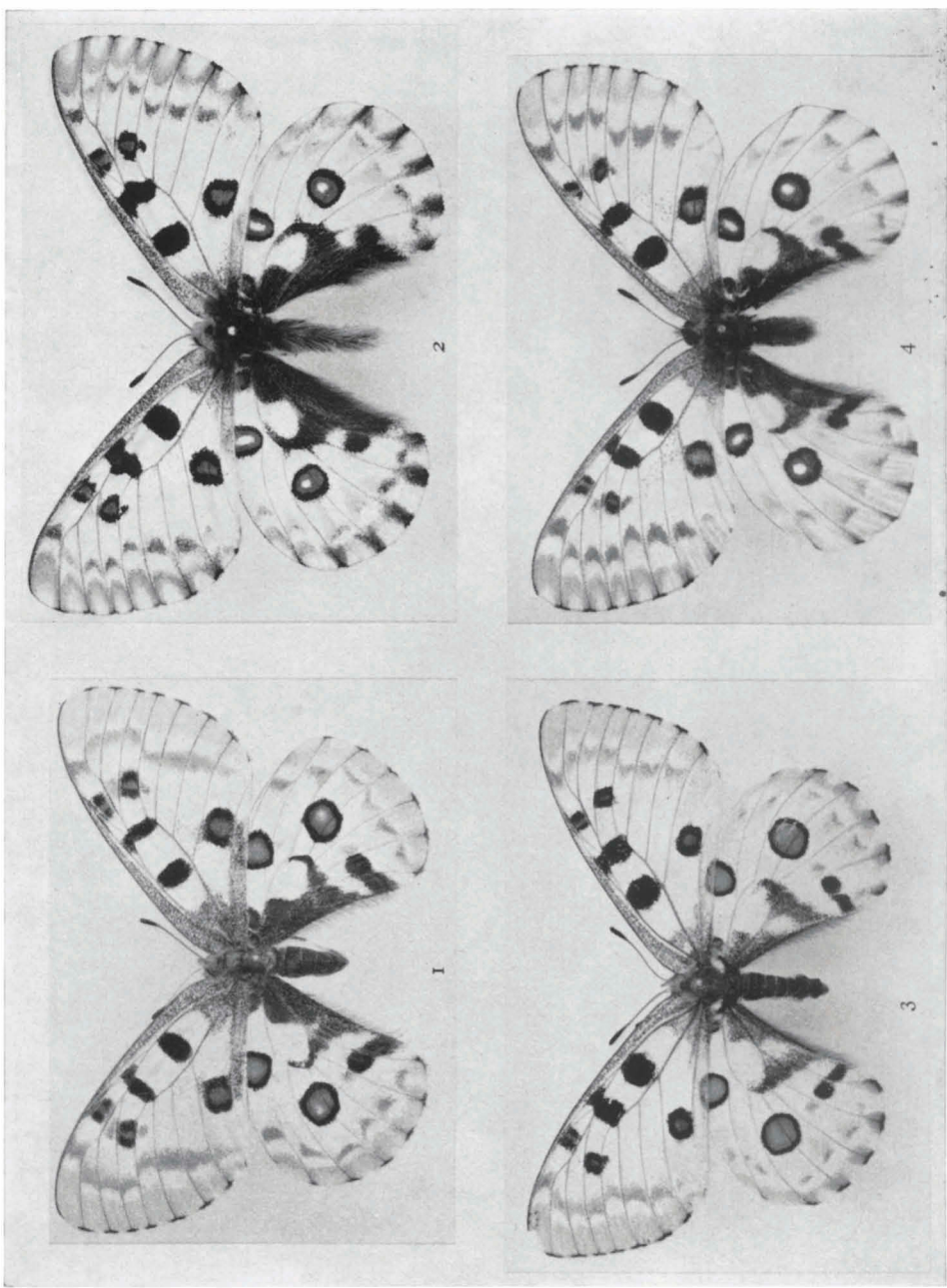


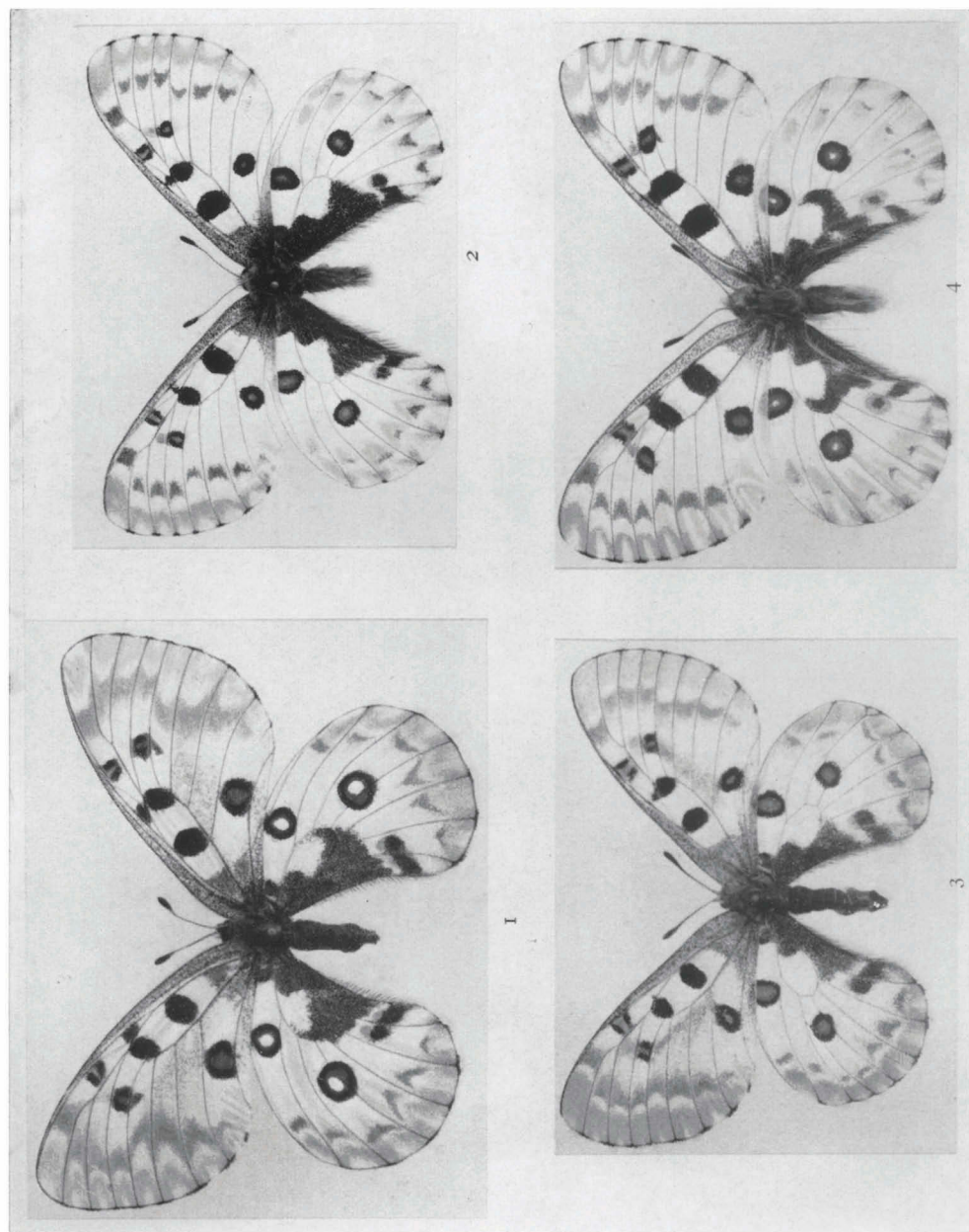


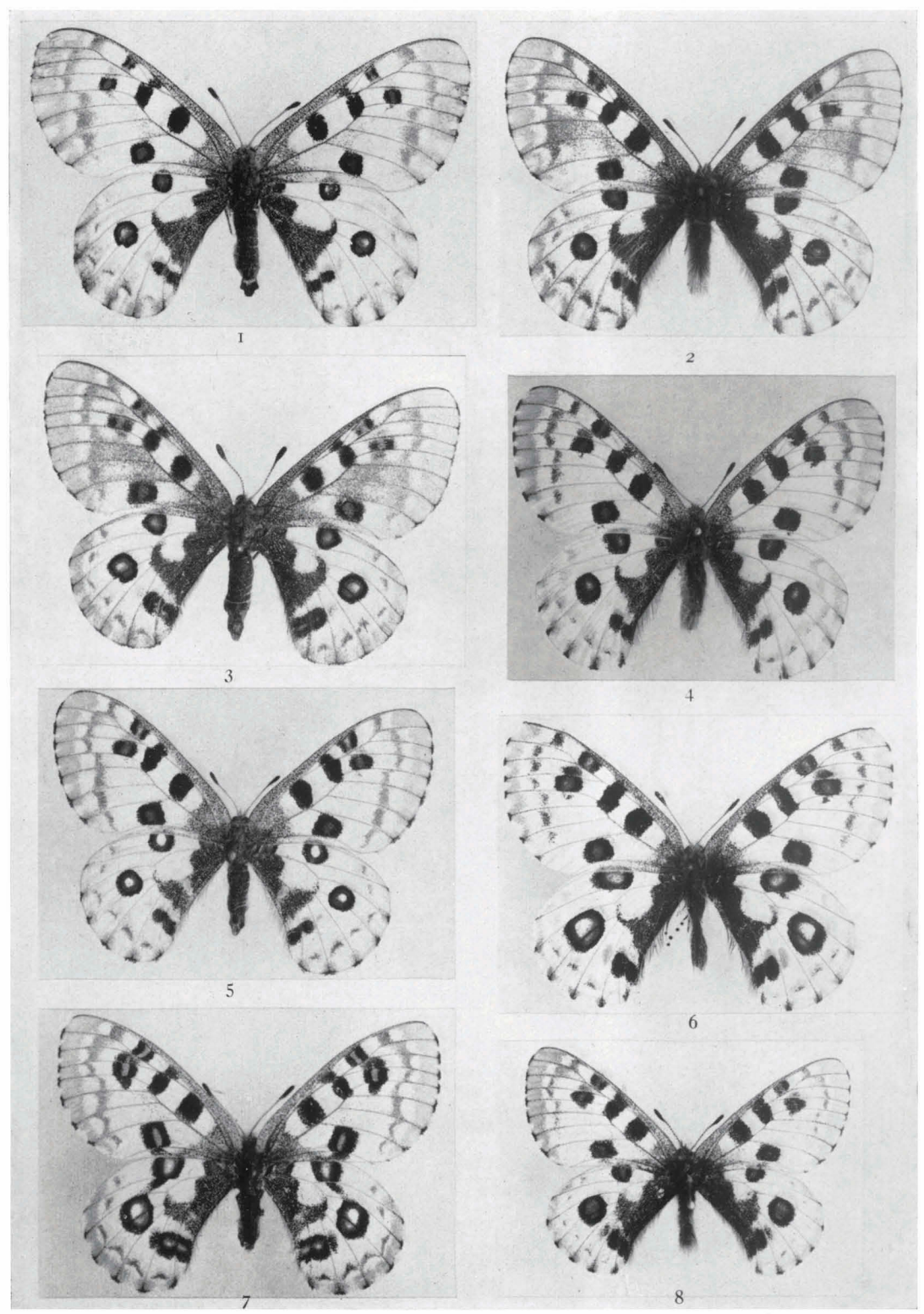


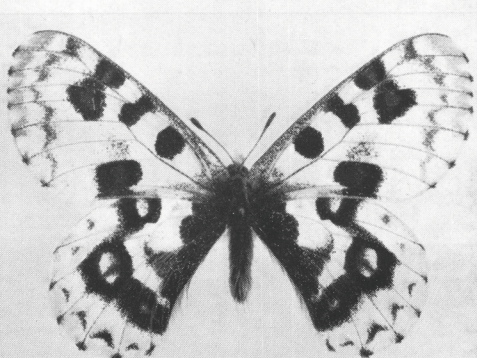
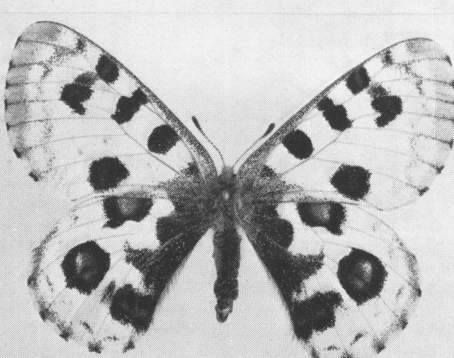
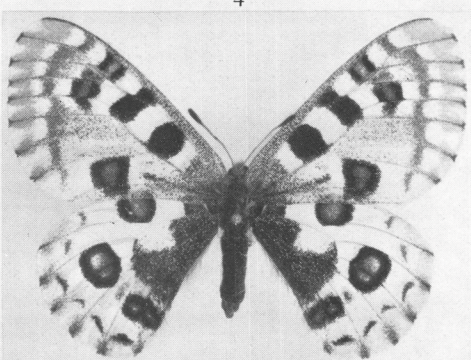
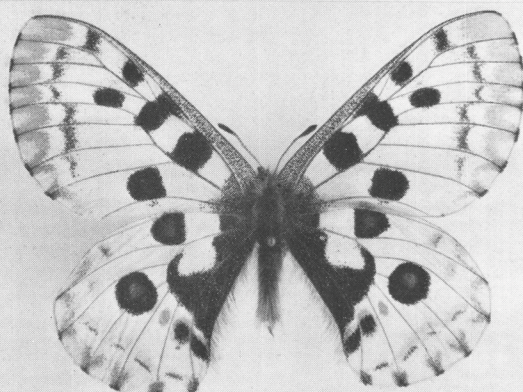
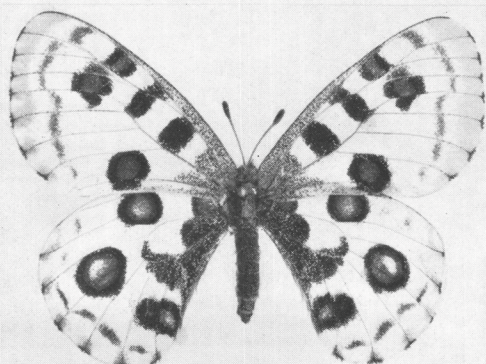
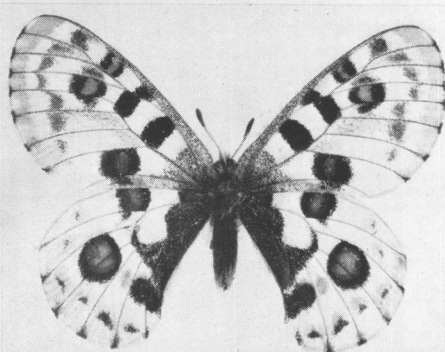
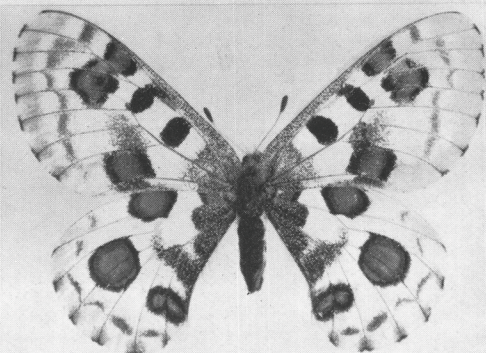
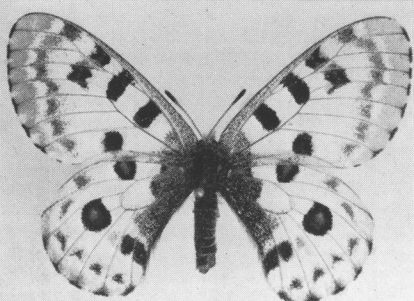












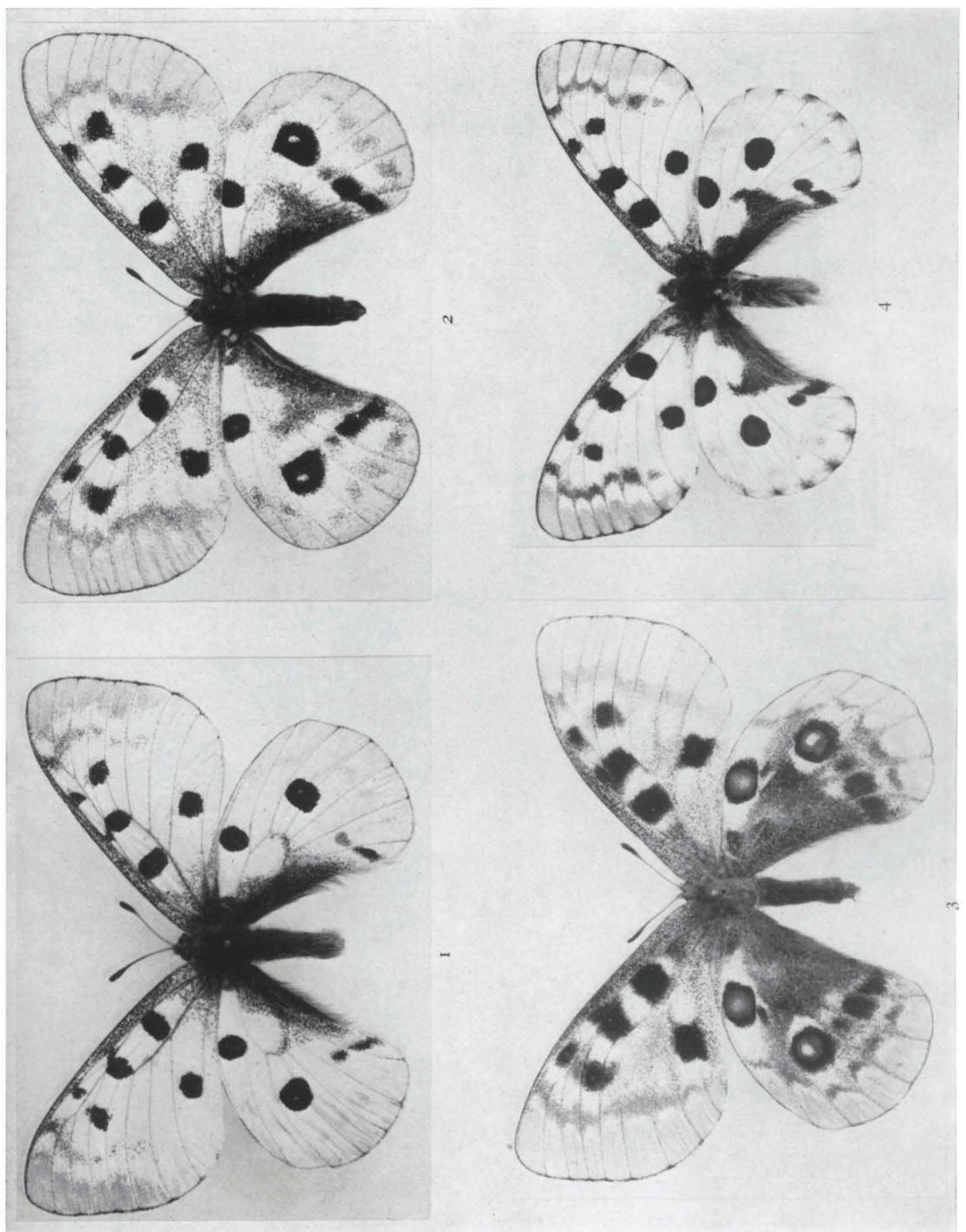
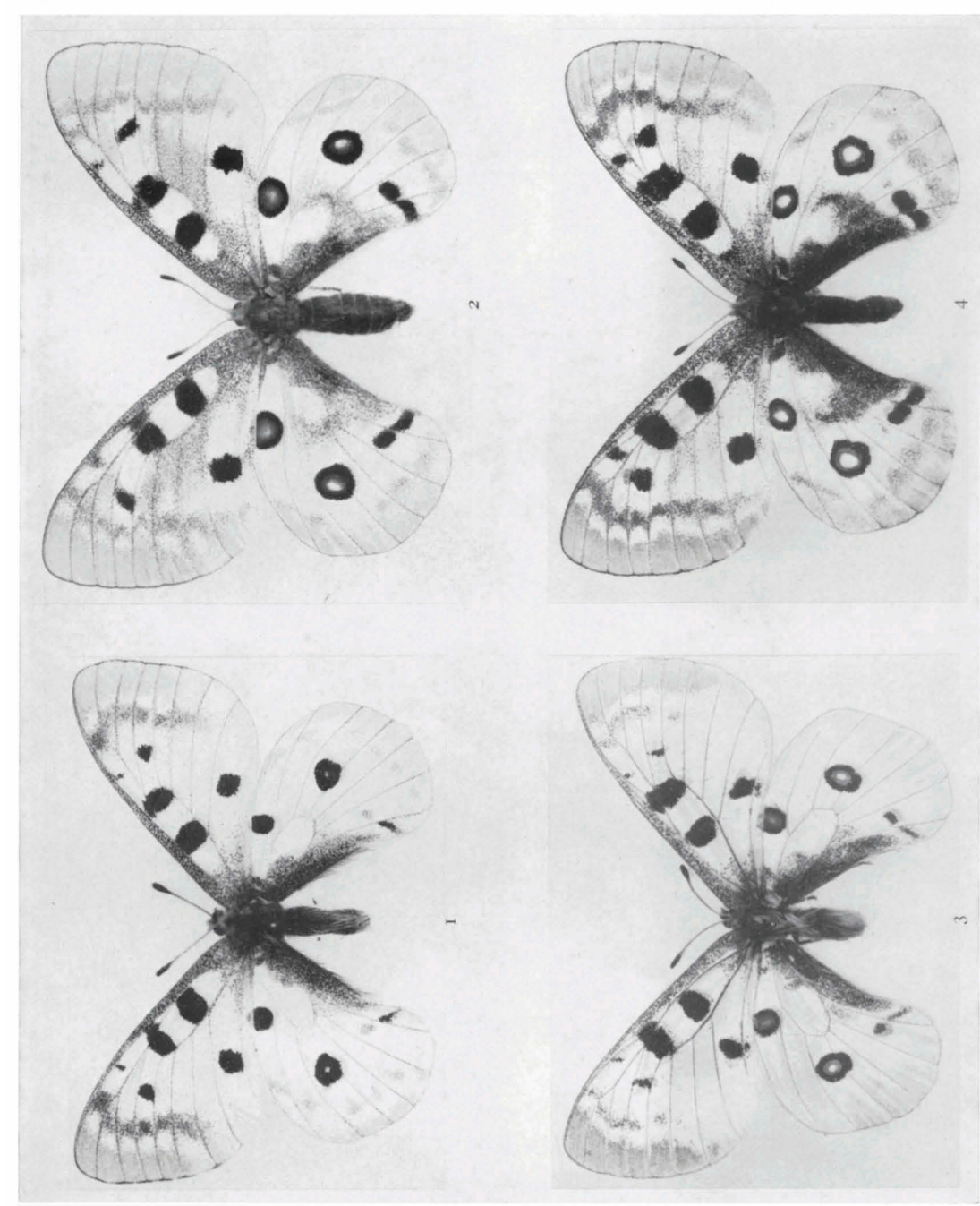
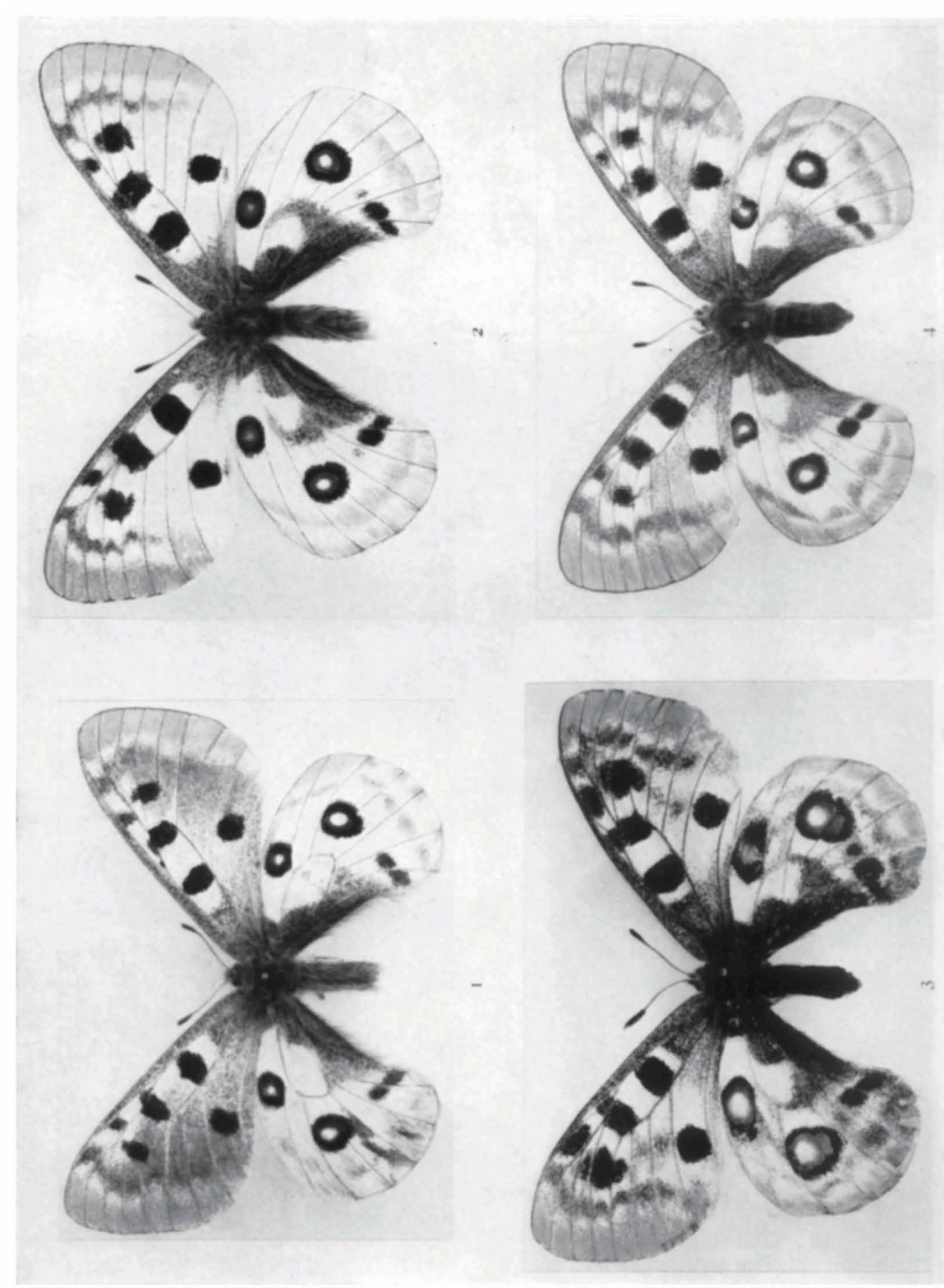
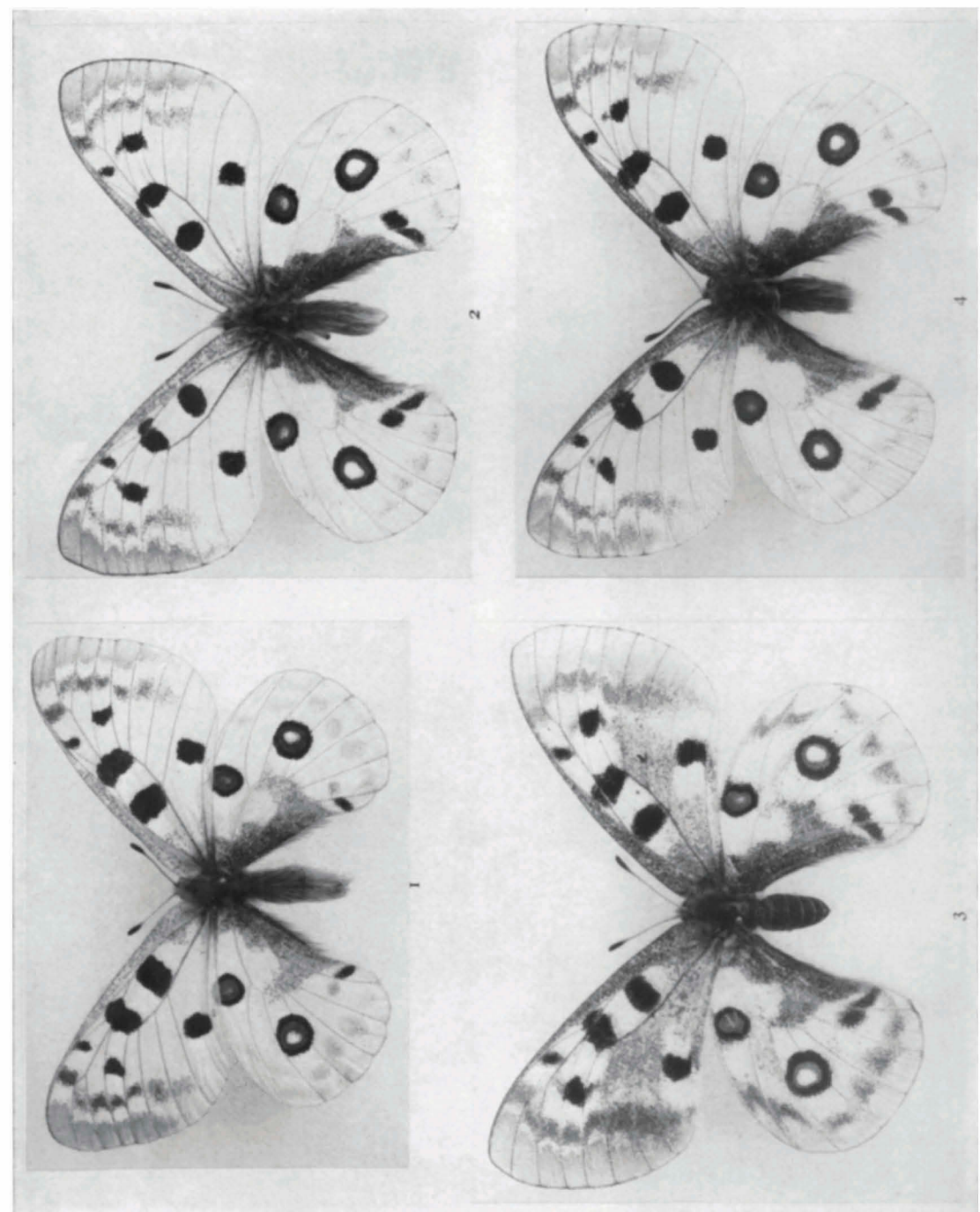
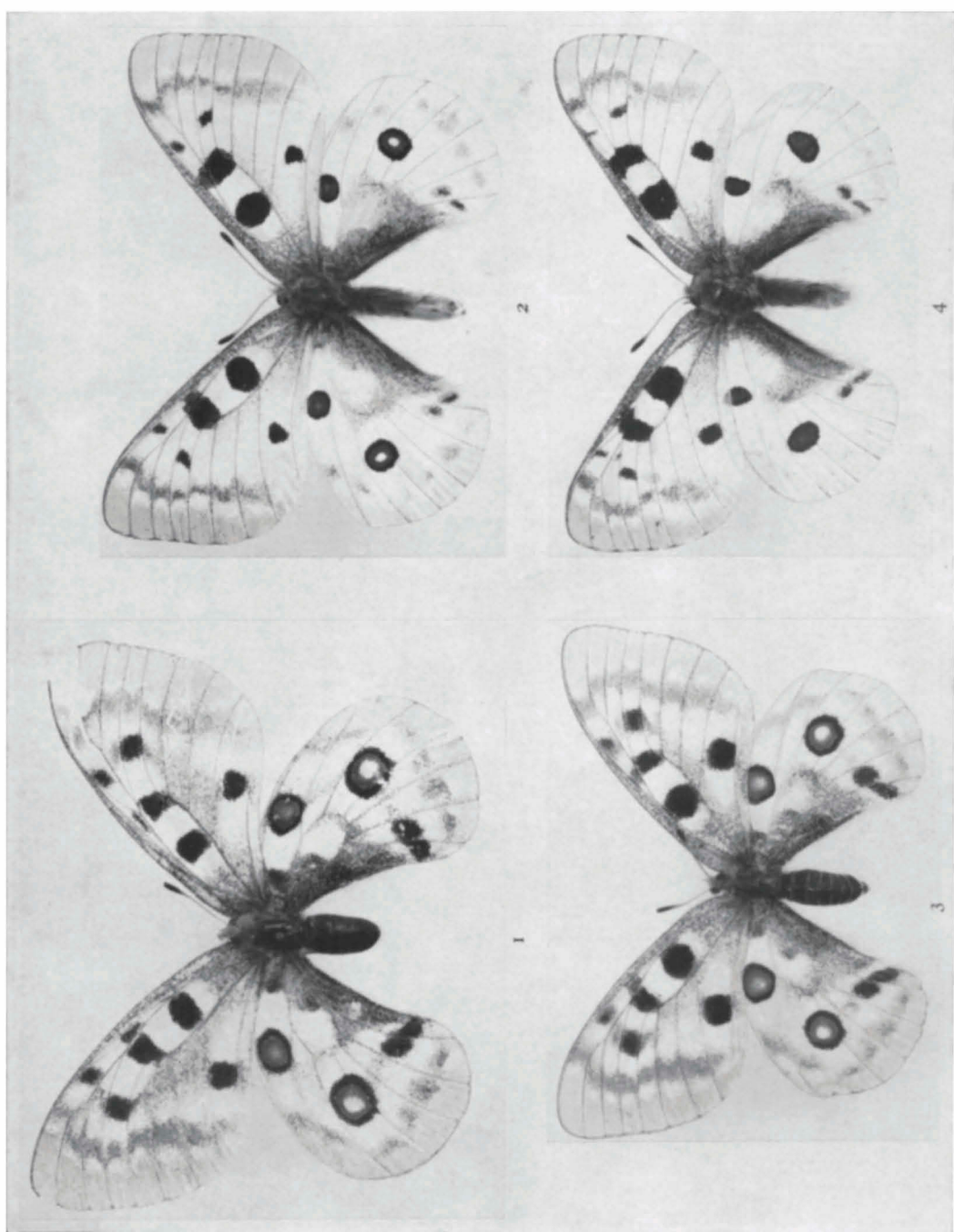


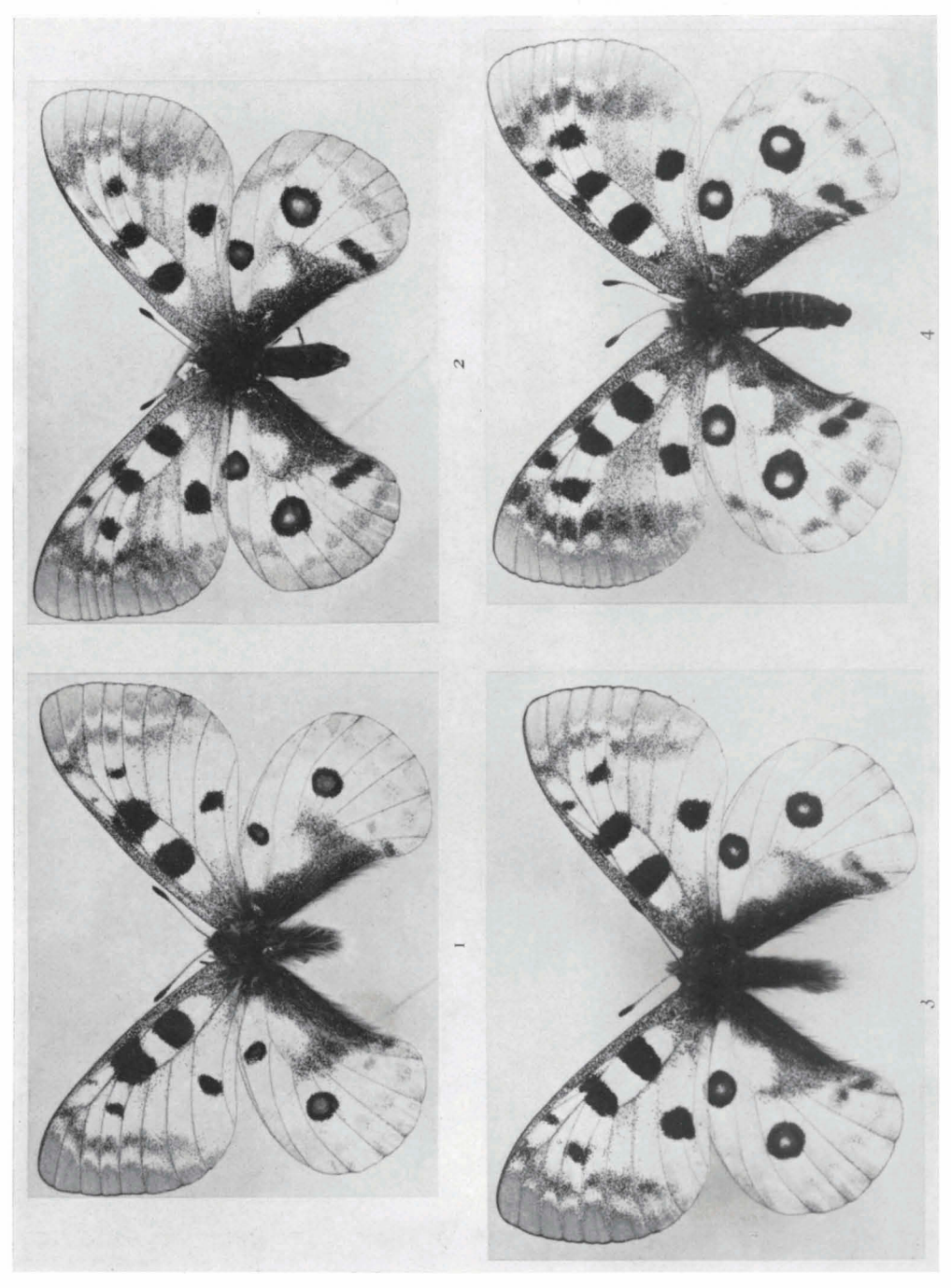
Fig. 3-4, ausserhalb der Reihefolge, siehe no. 725-726.

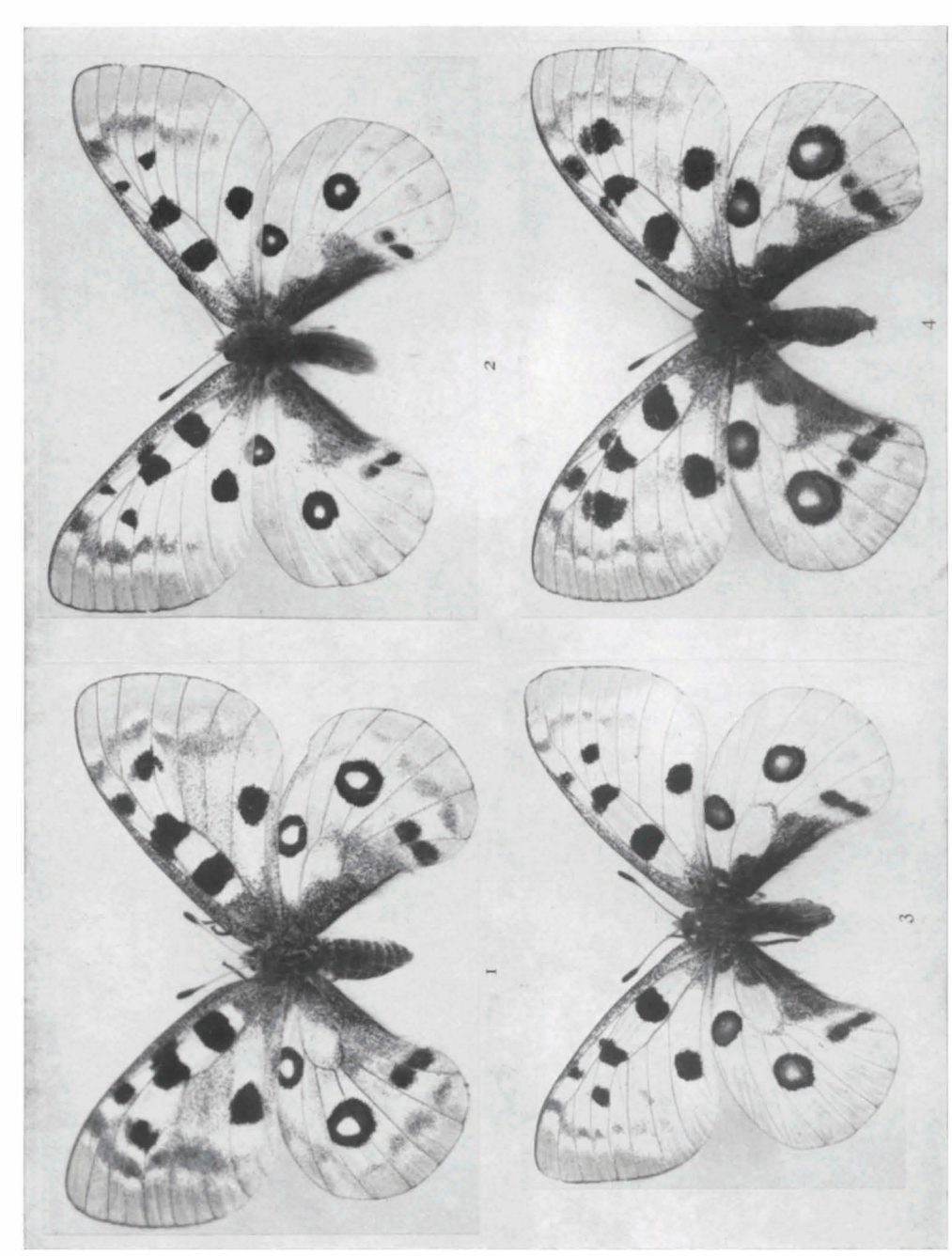


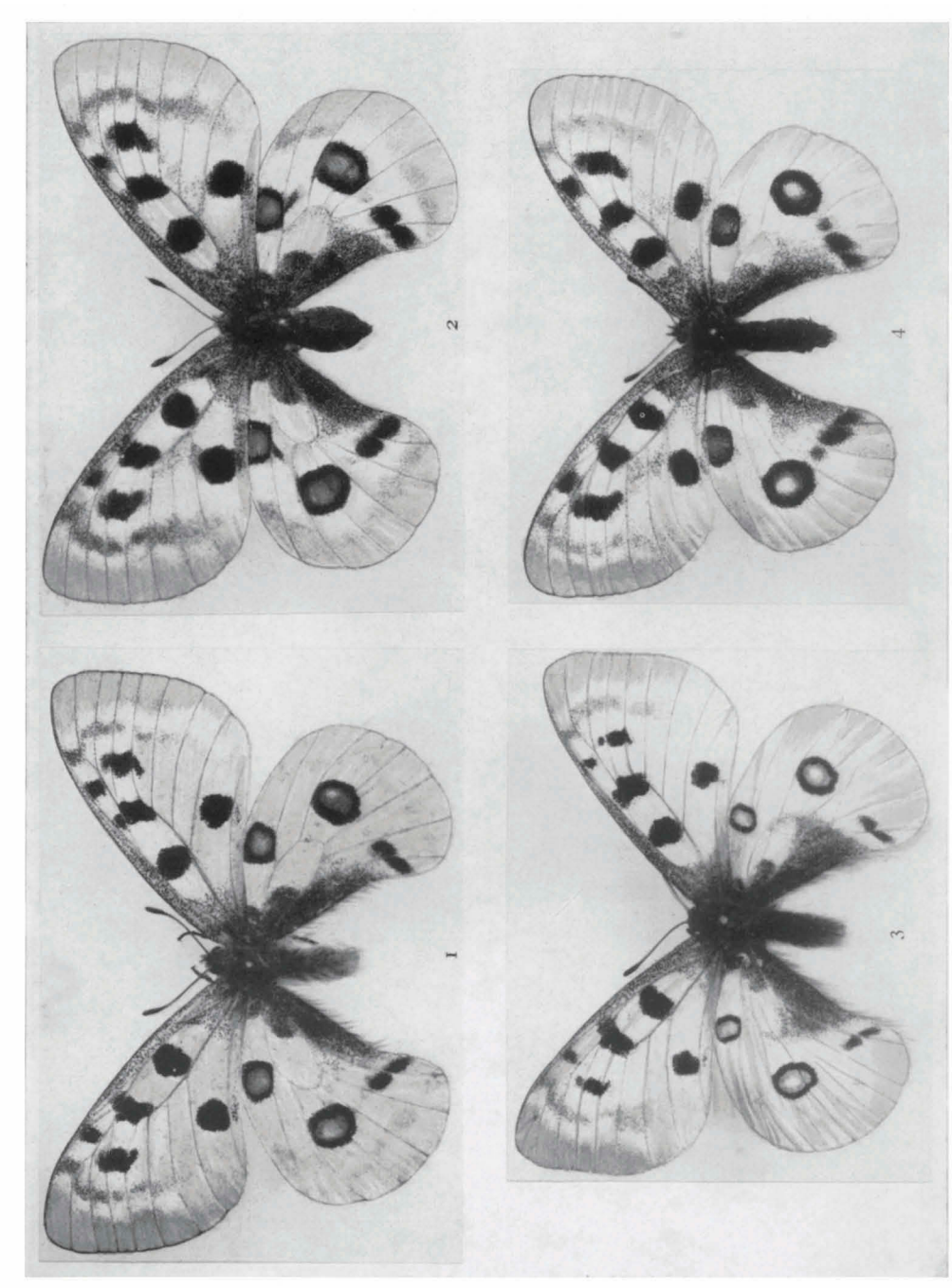


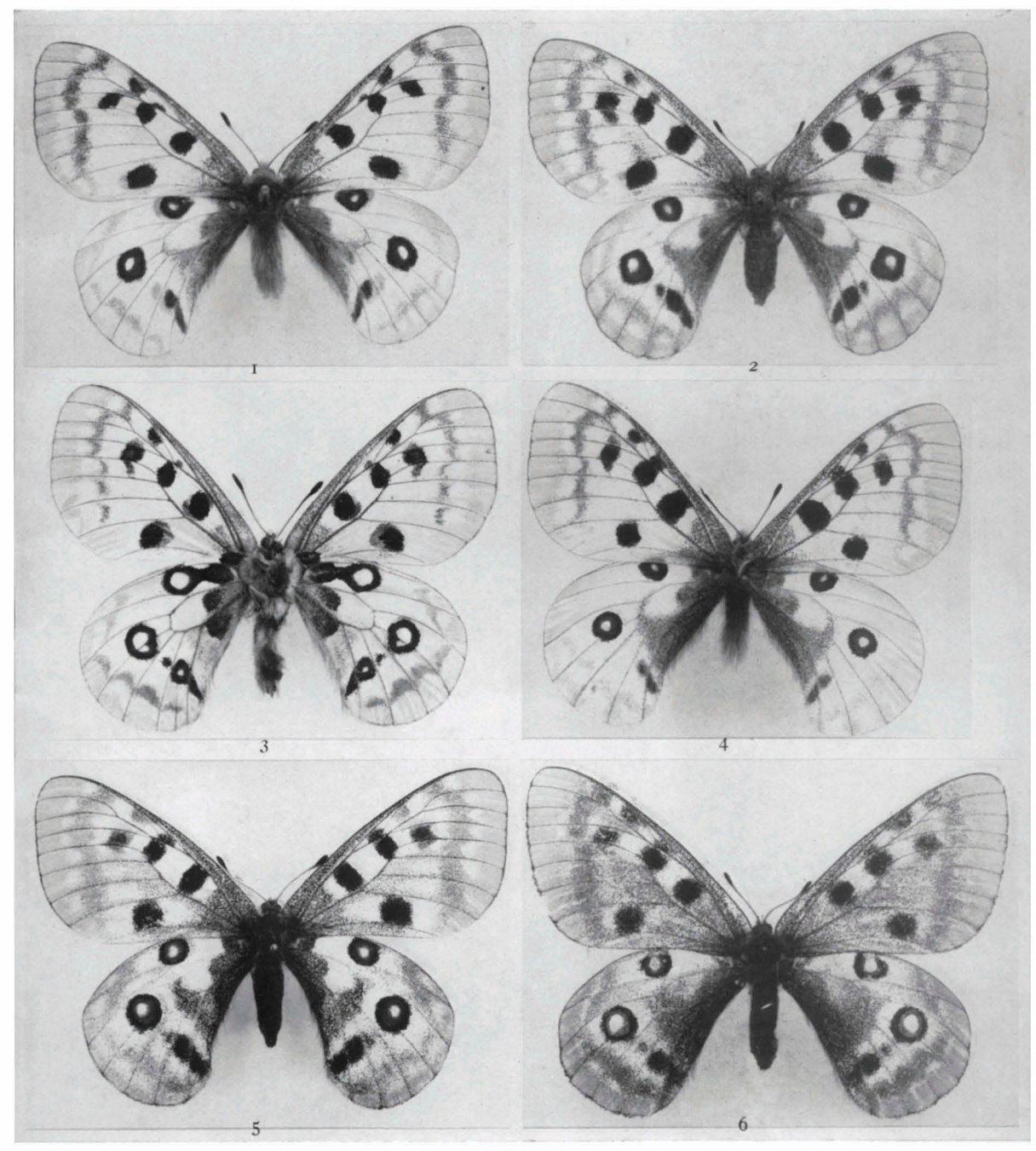


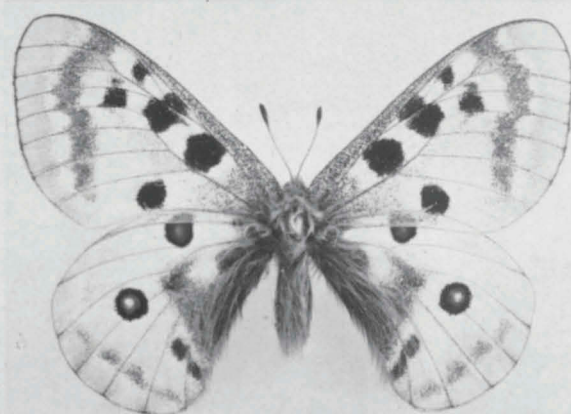
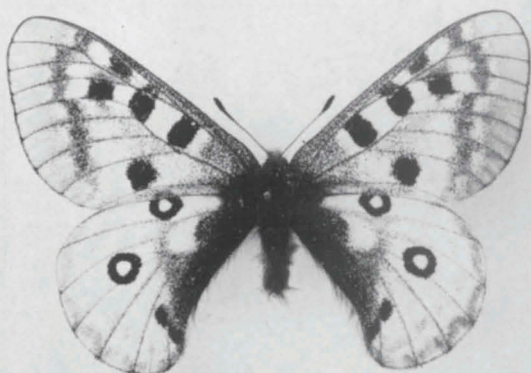
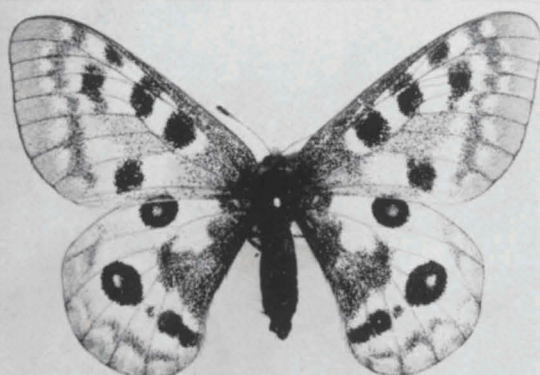
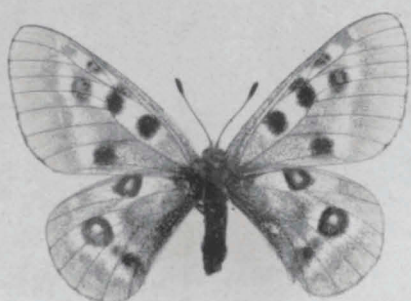


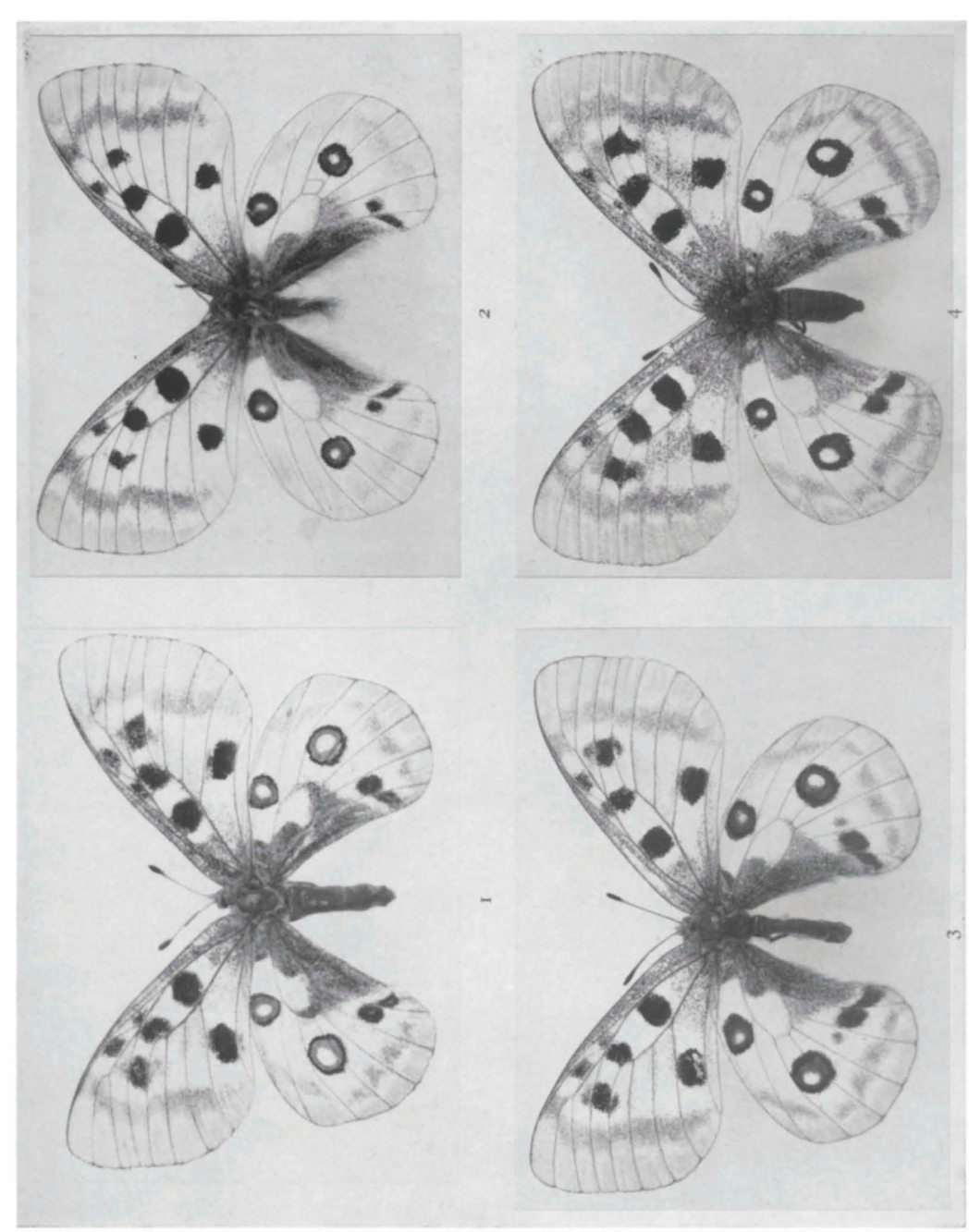


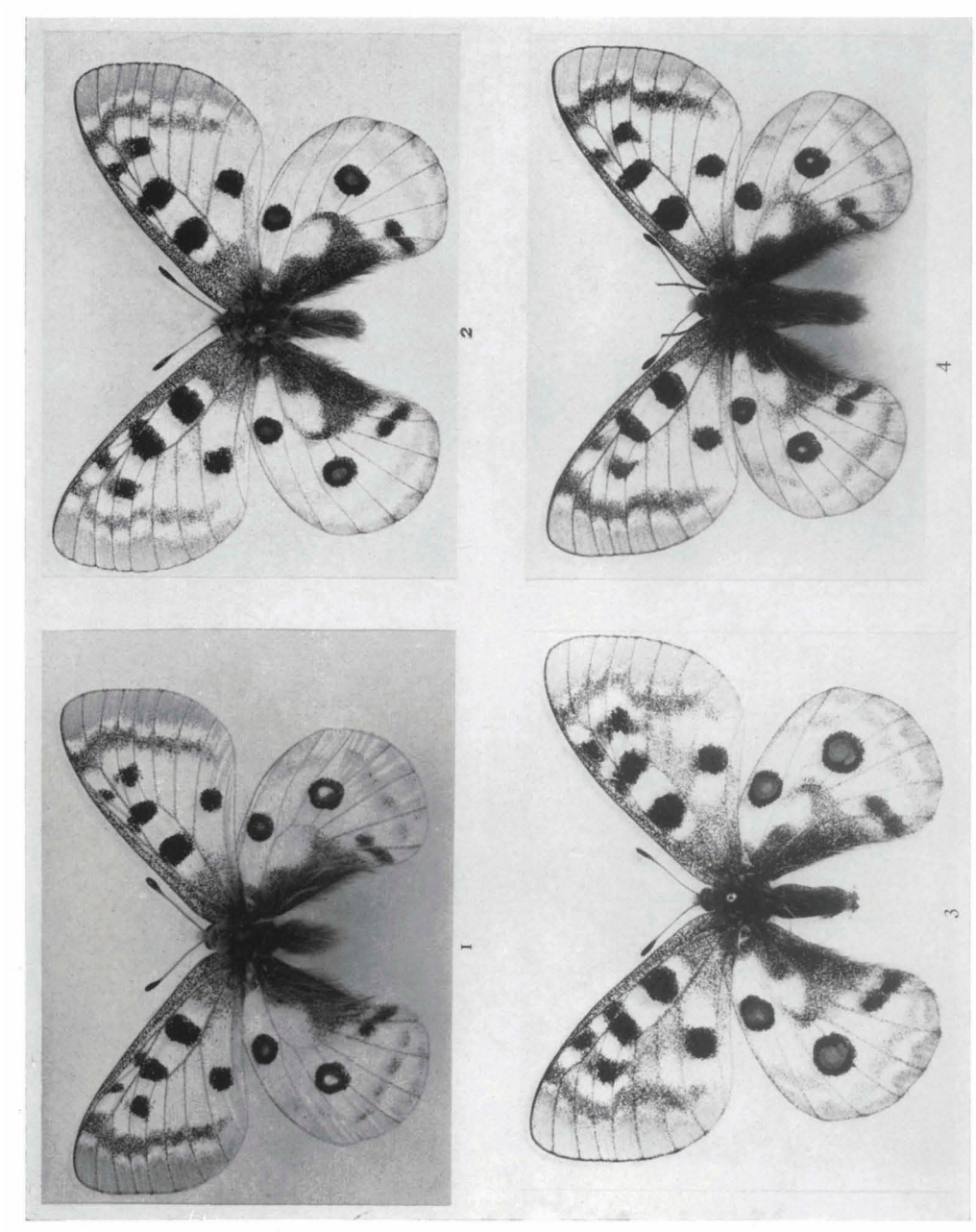


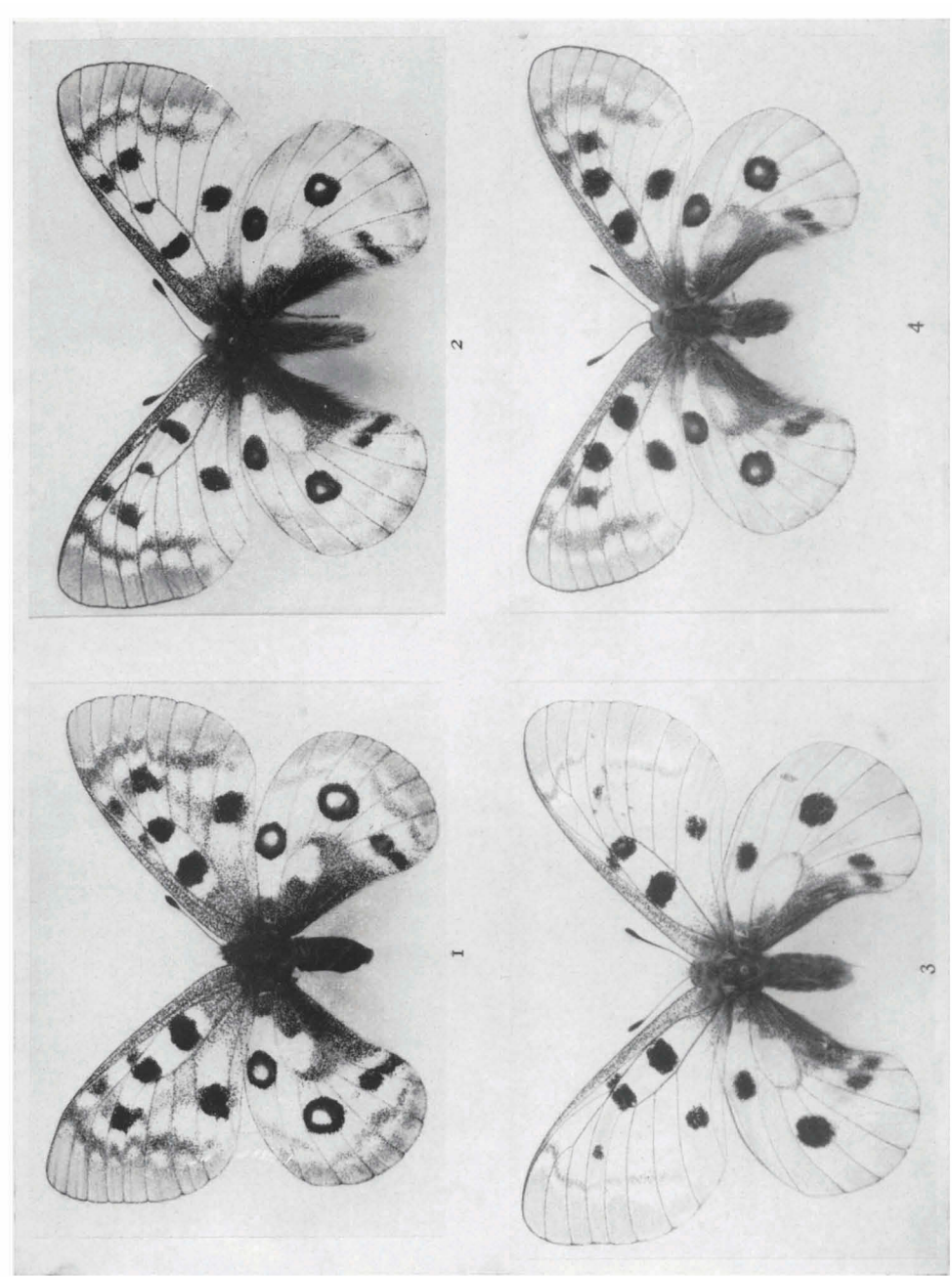


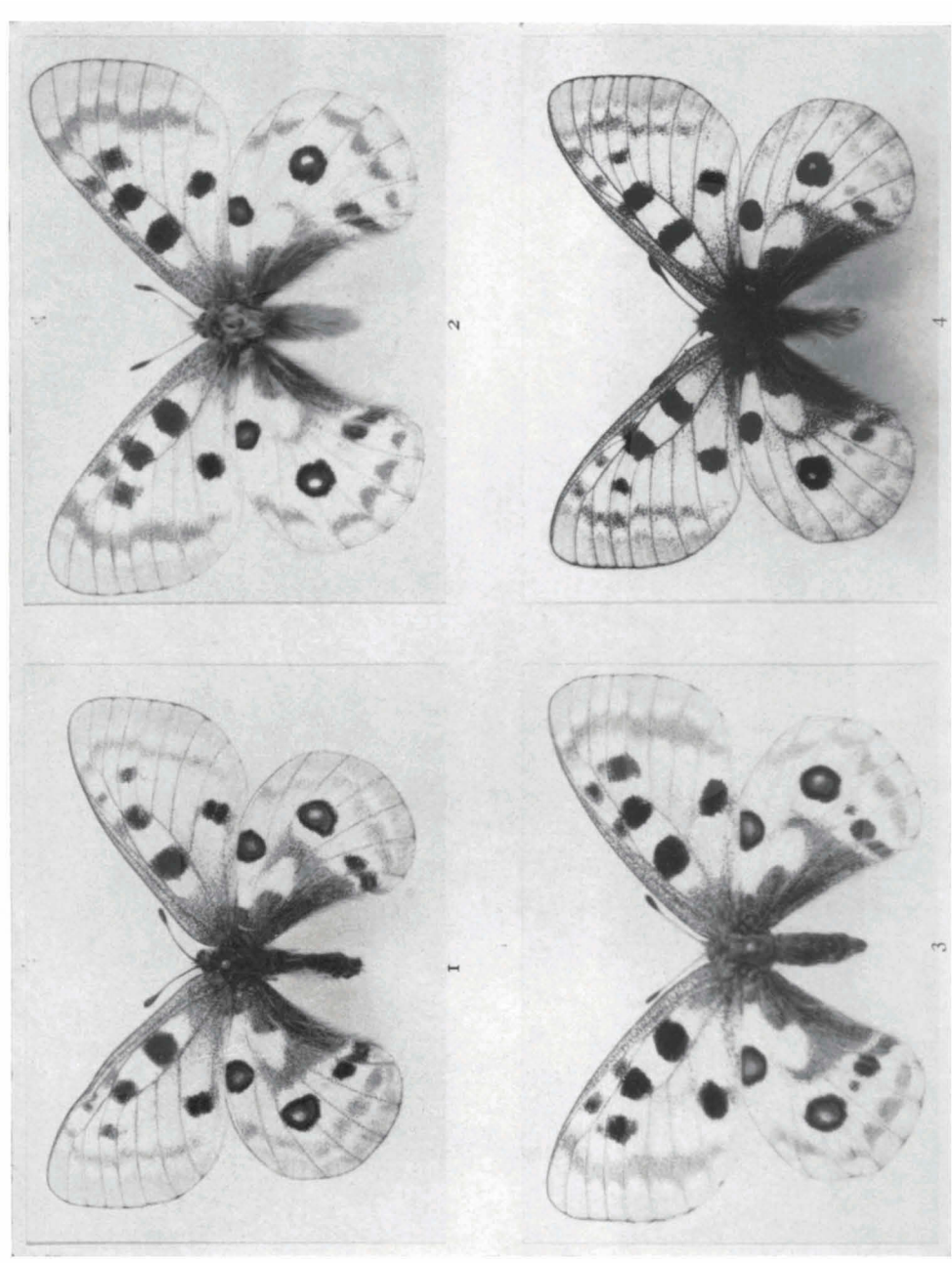


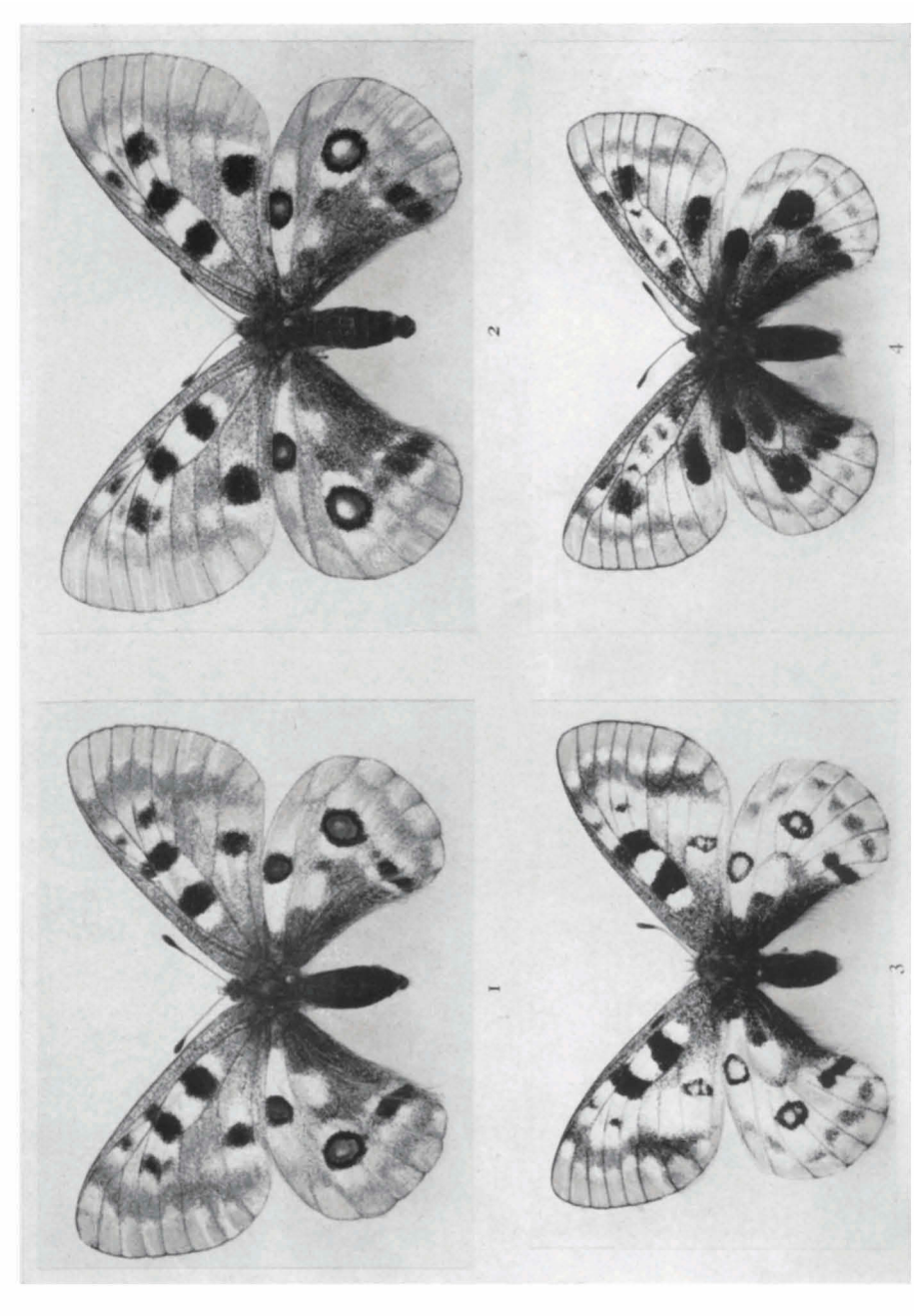


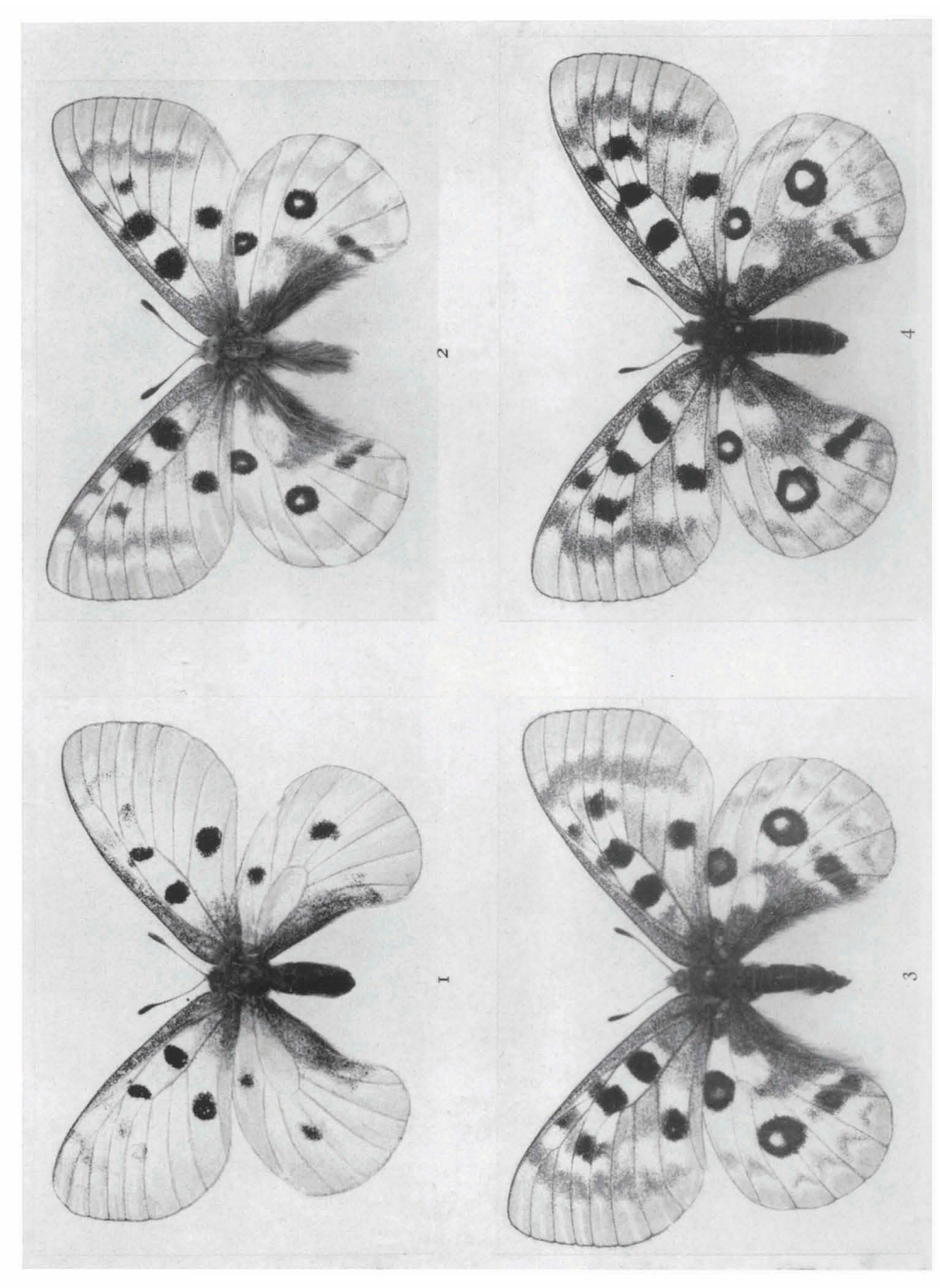


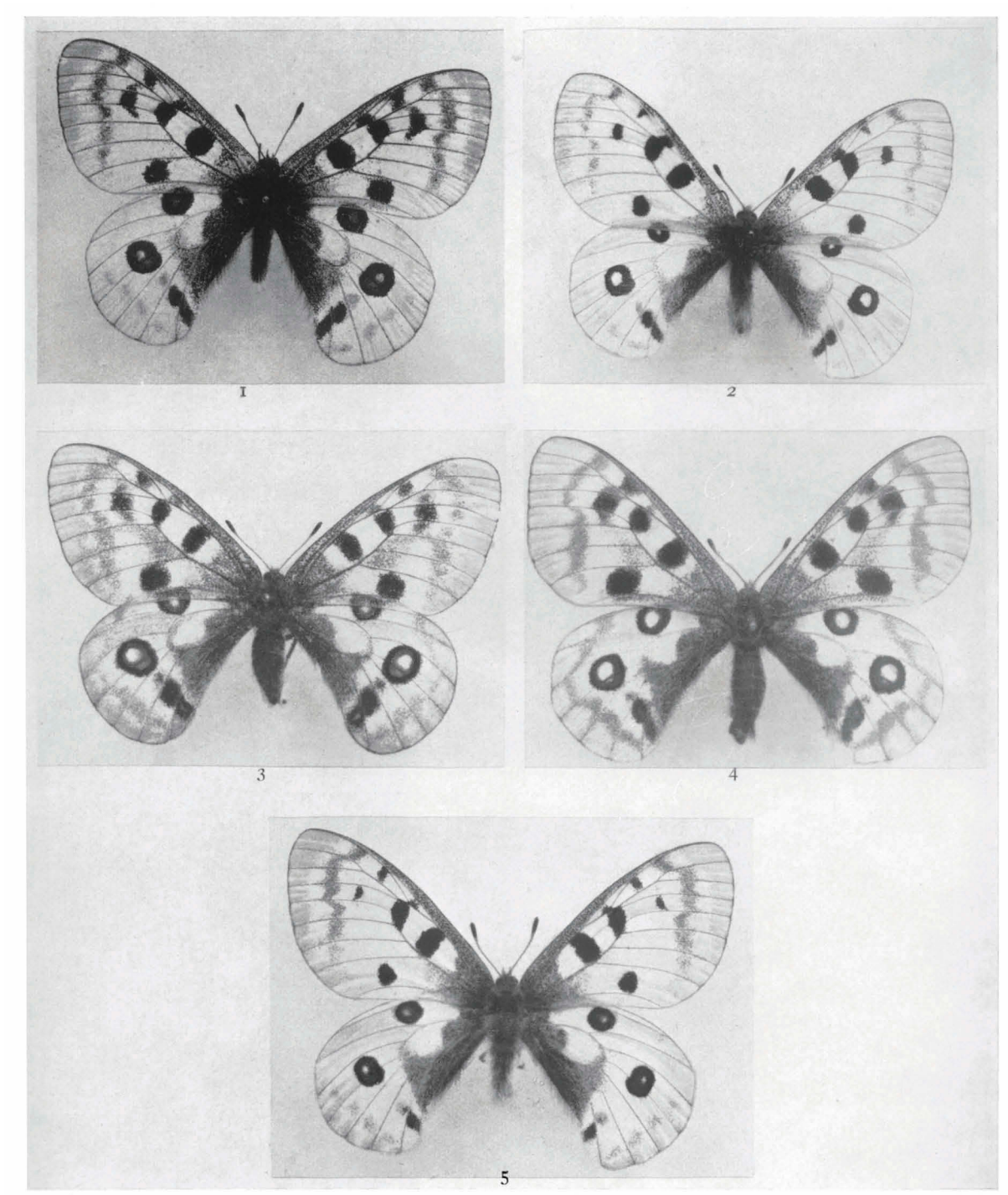


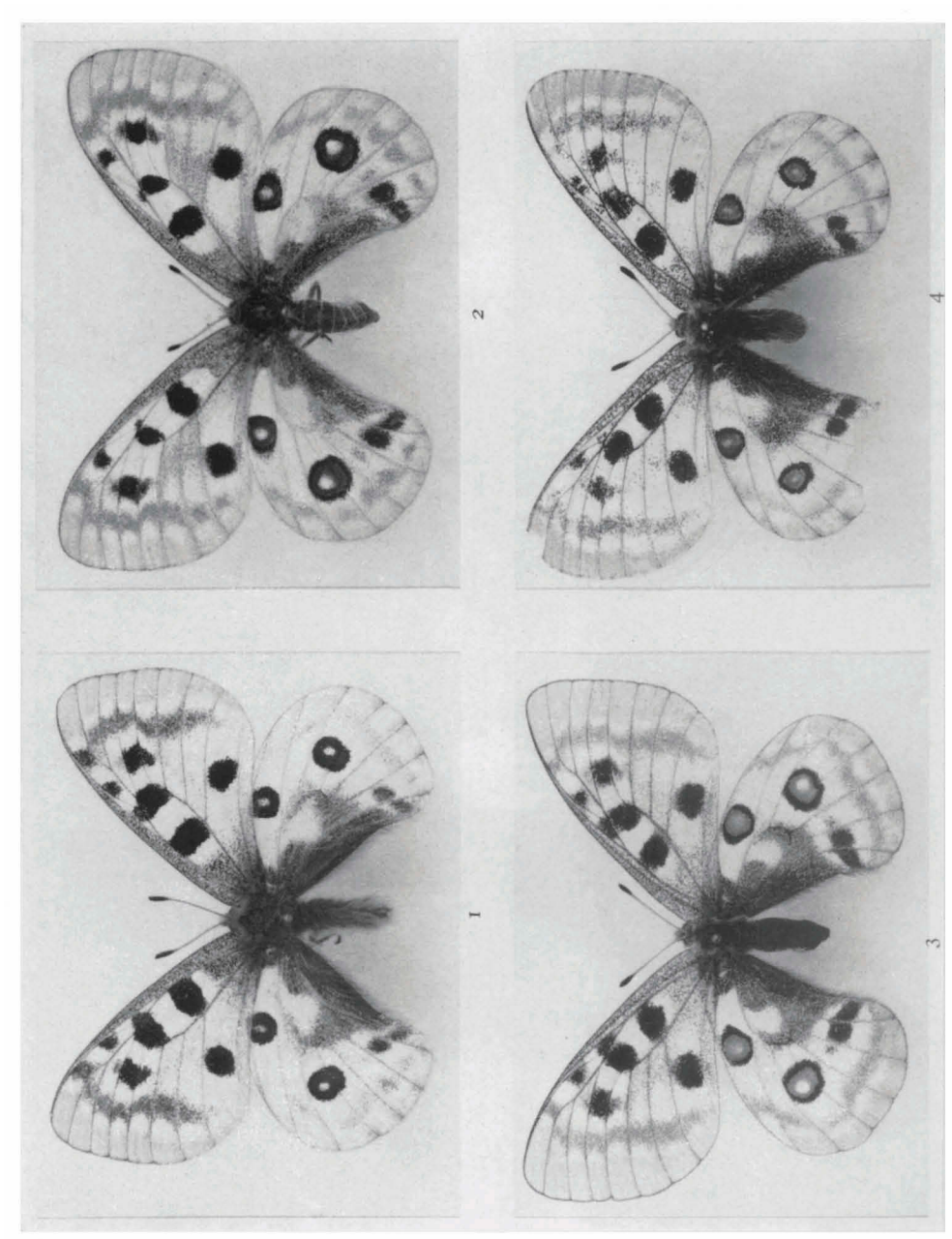


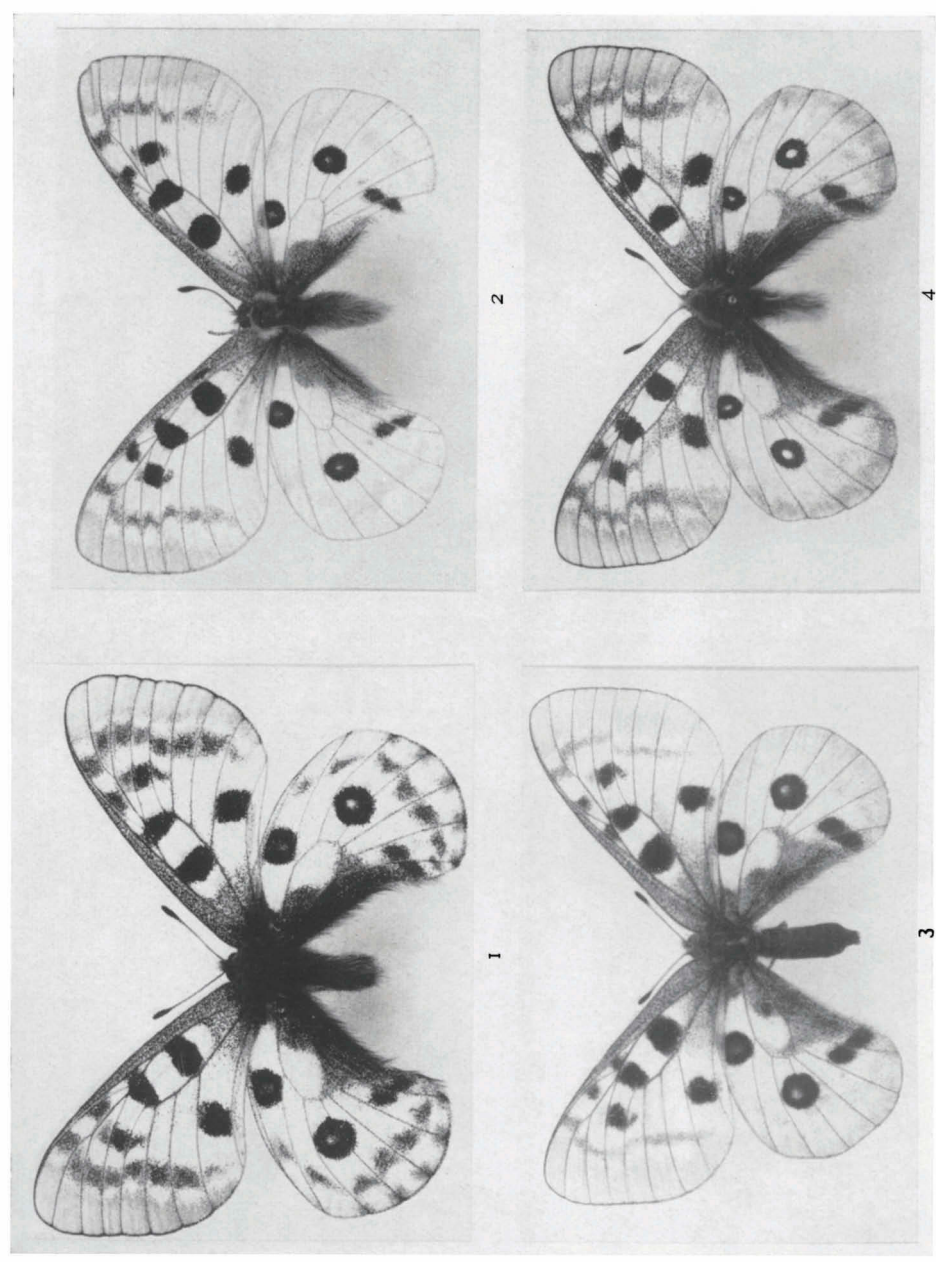


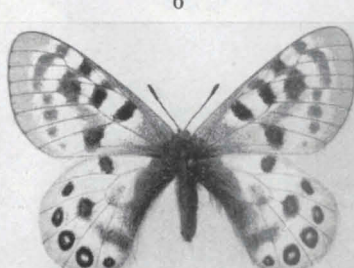
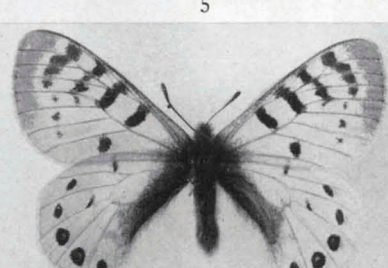
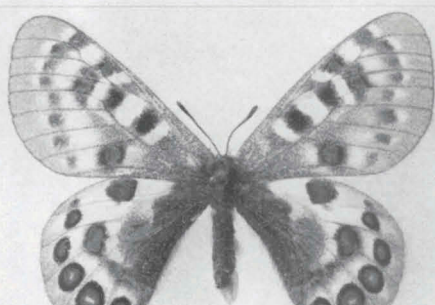
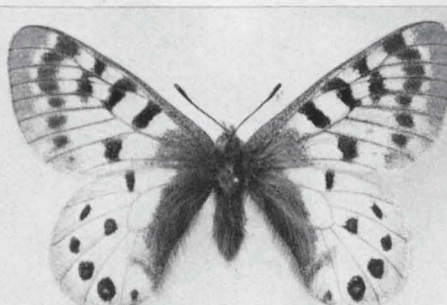
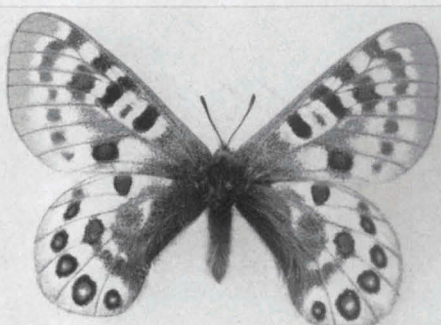
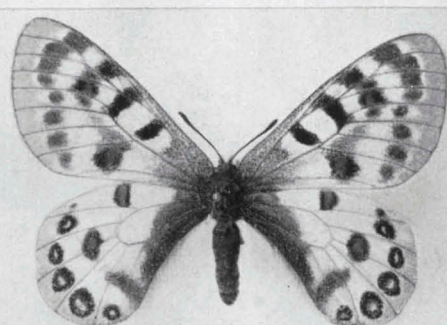
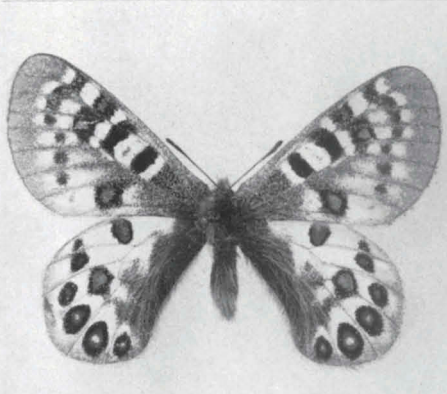
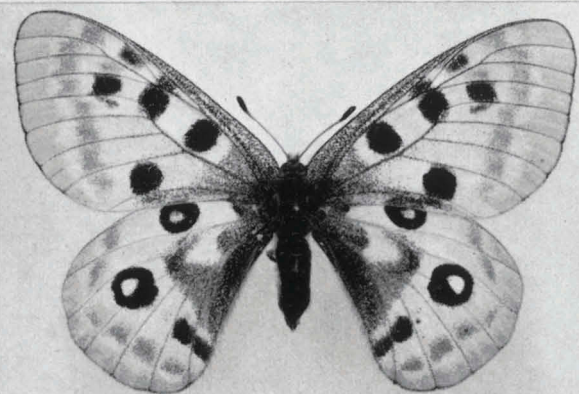


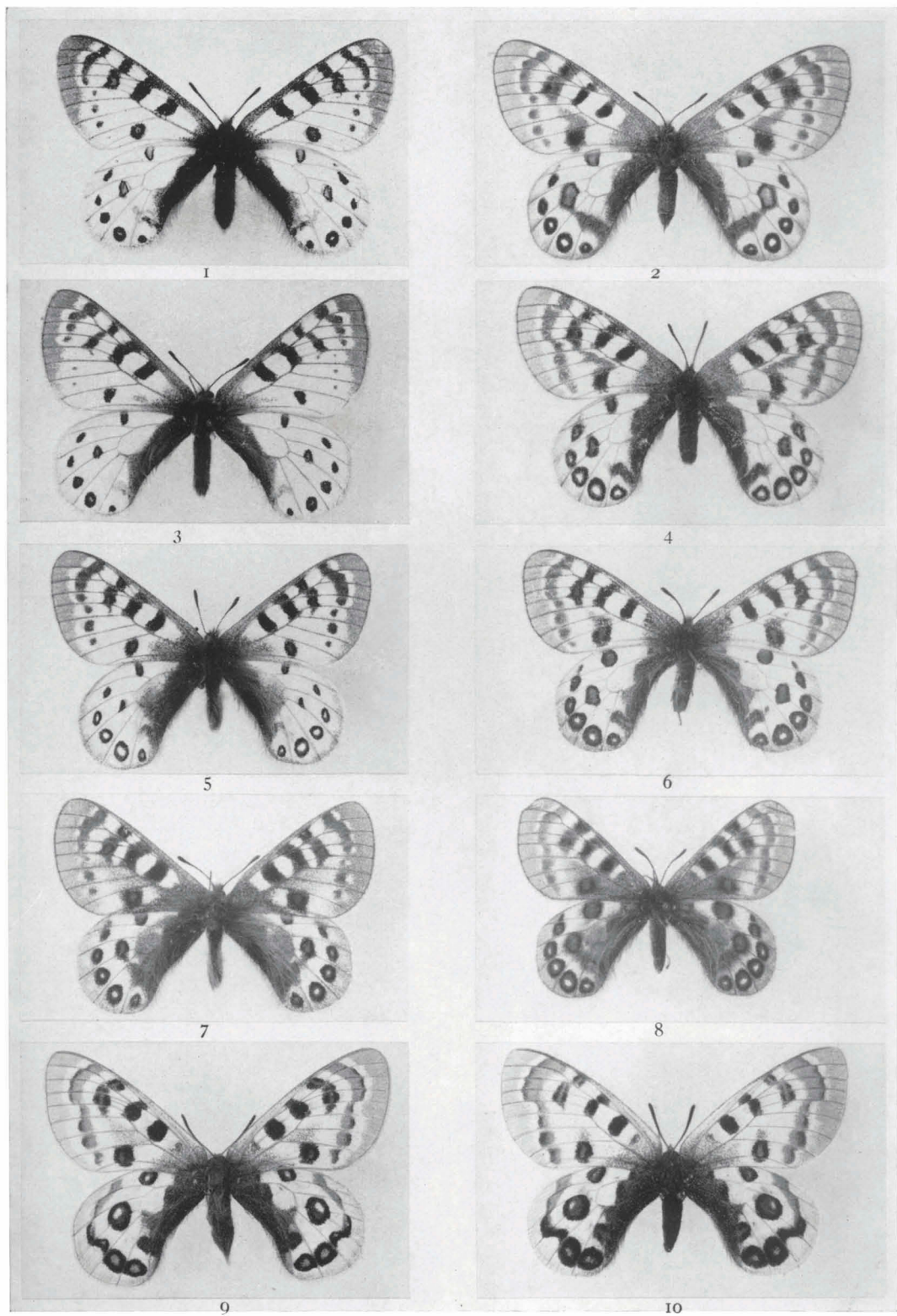


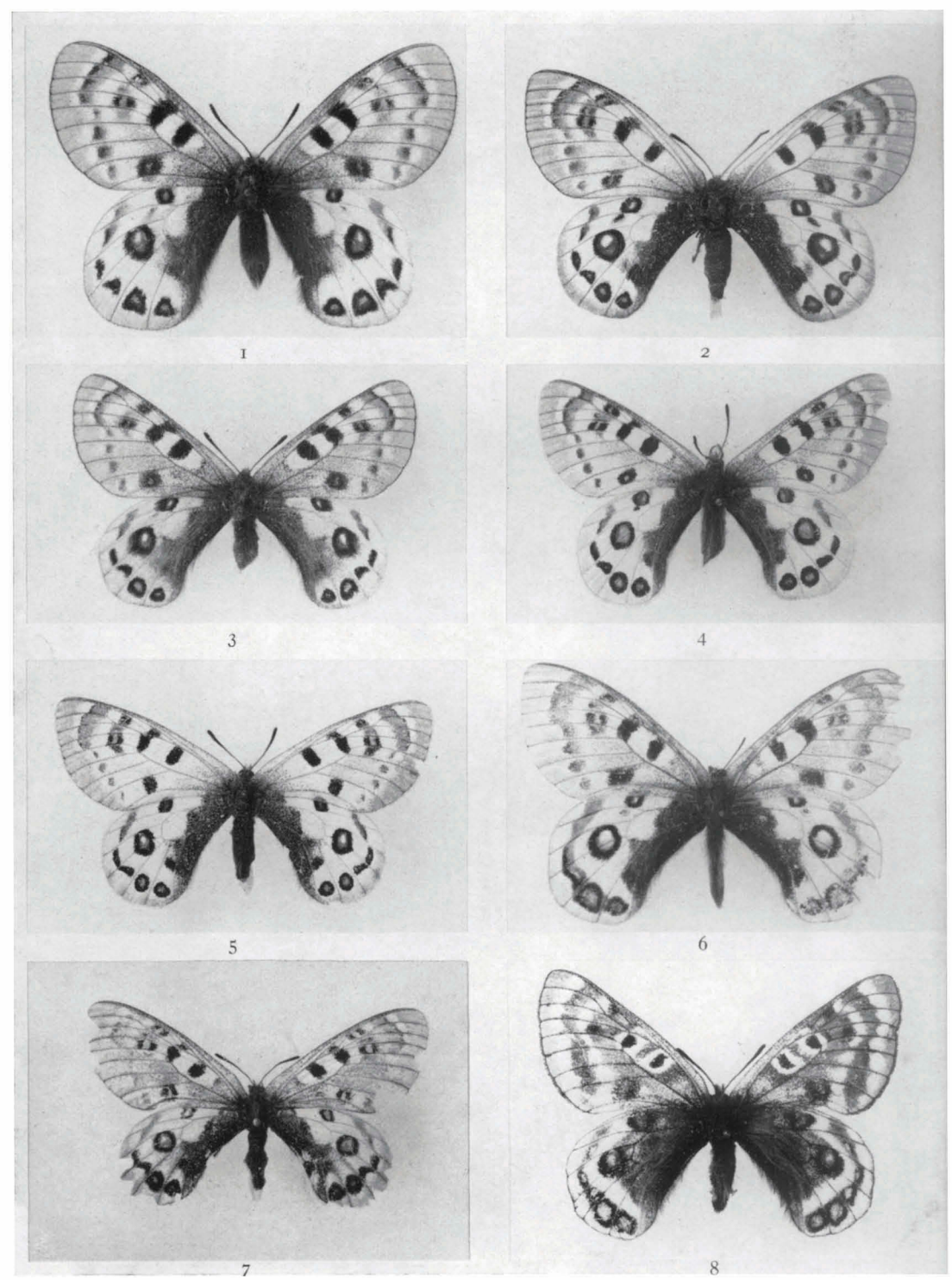


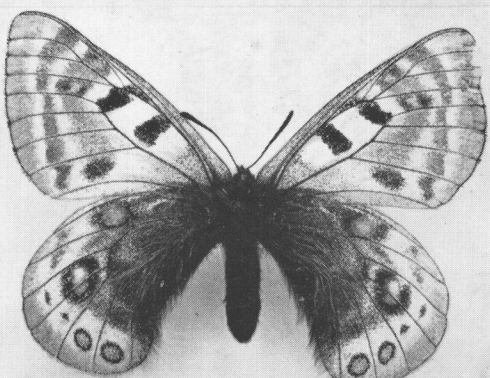
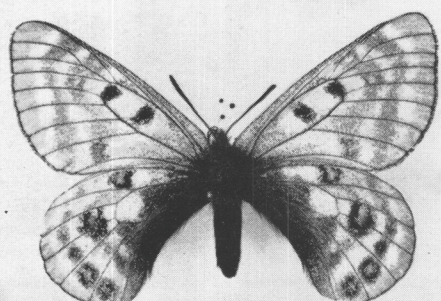
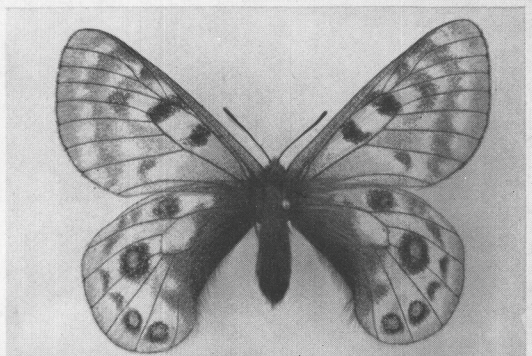
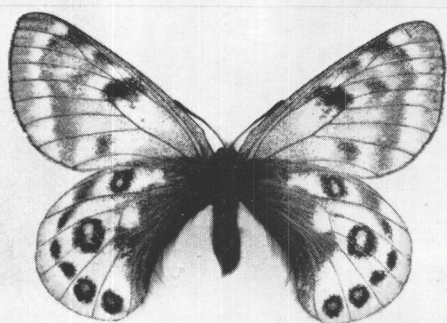
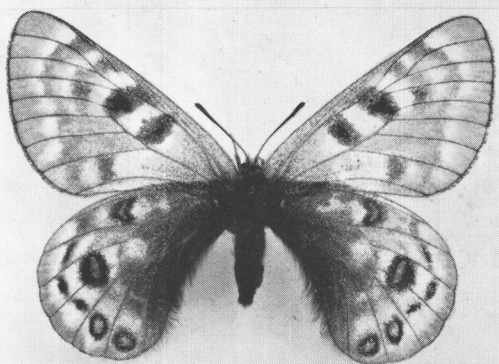
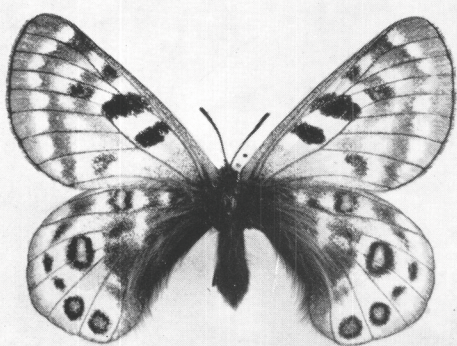
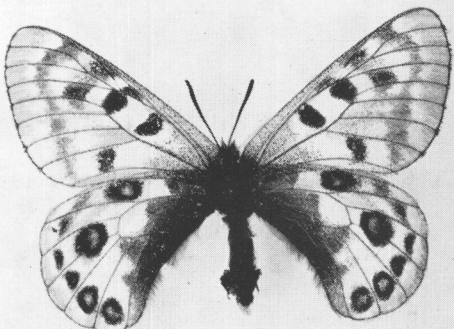
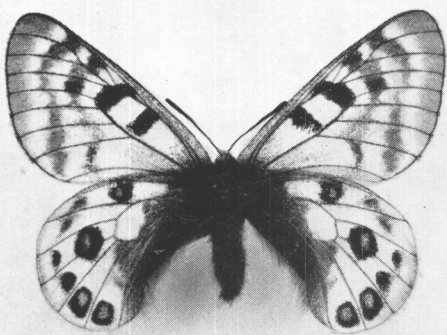


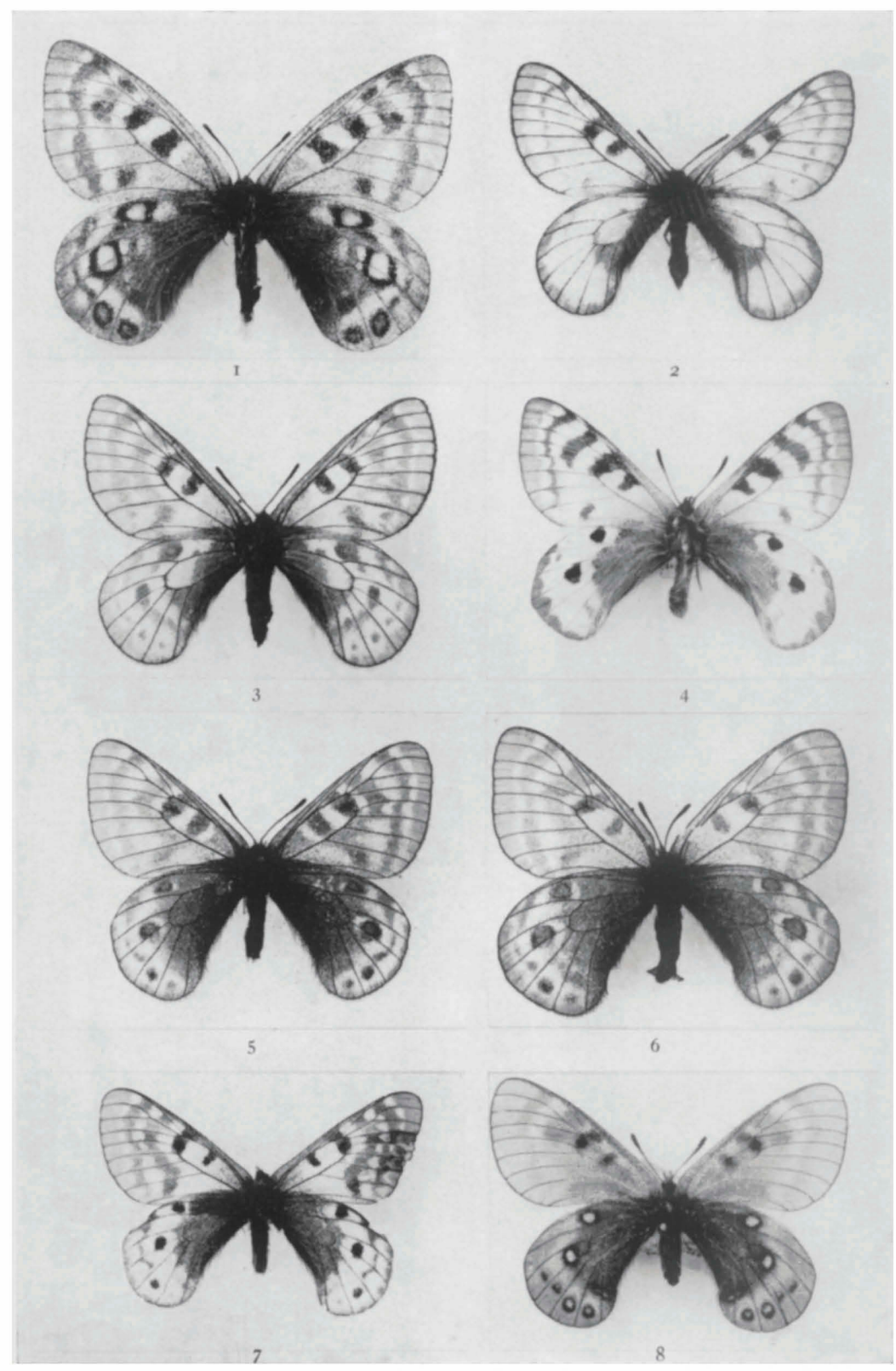


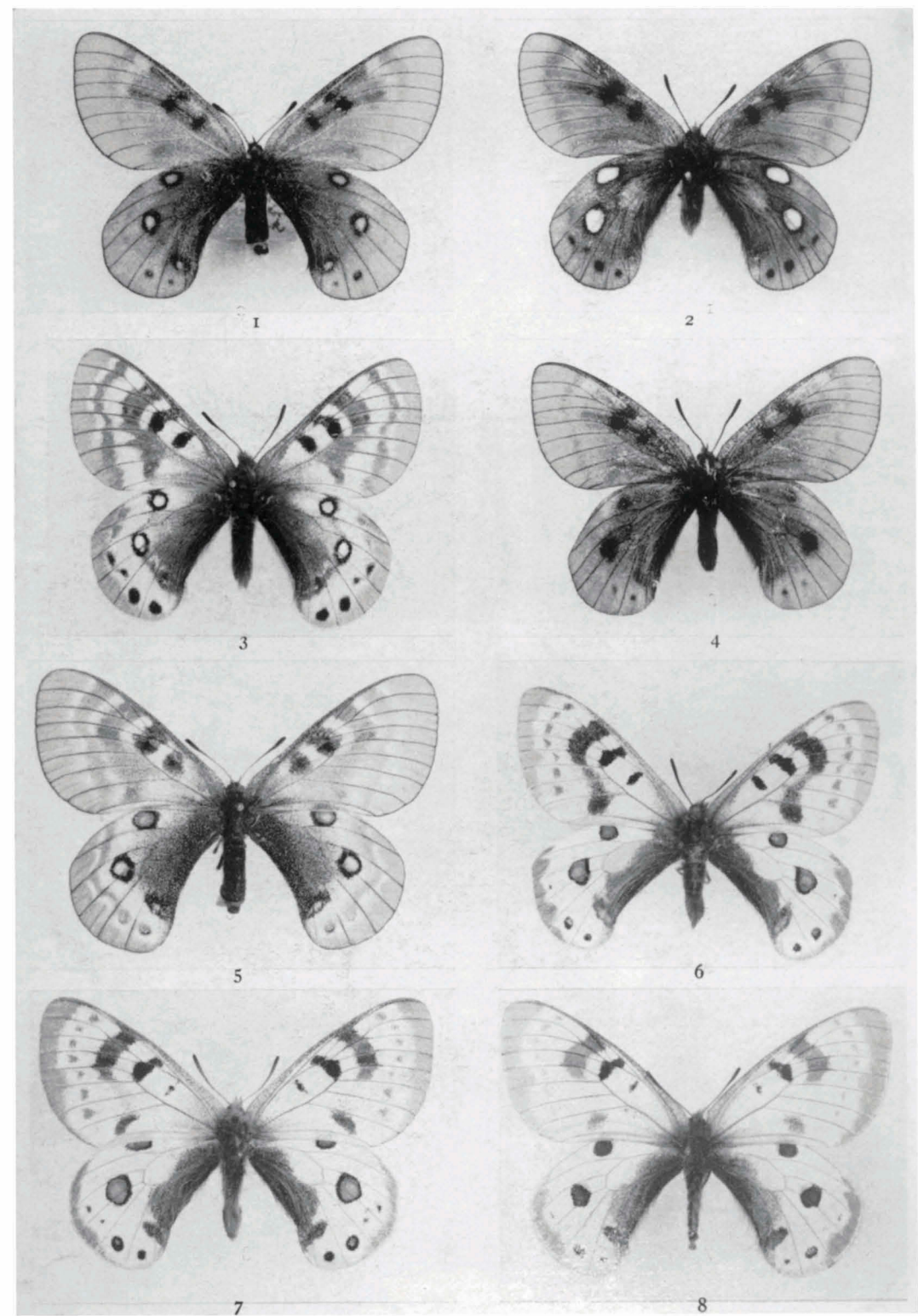


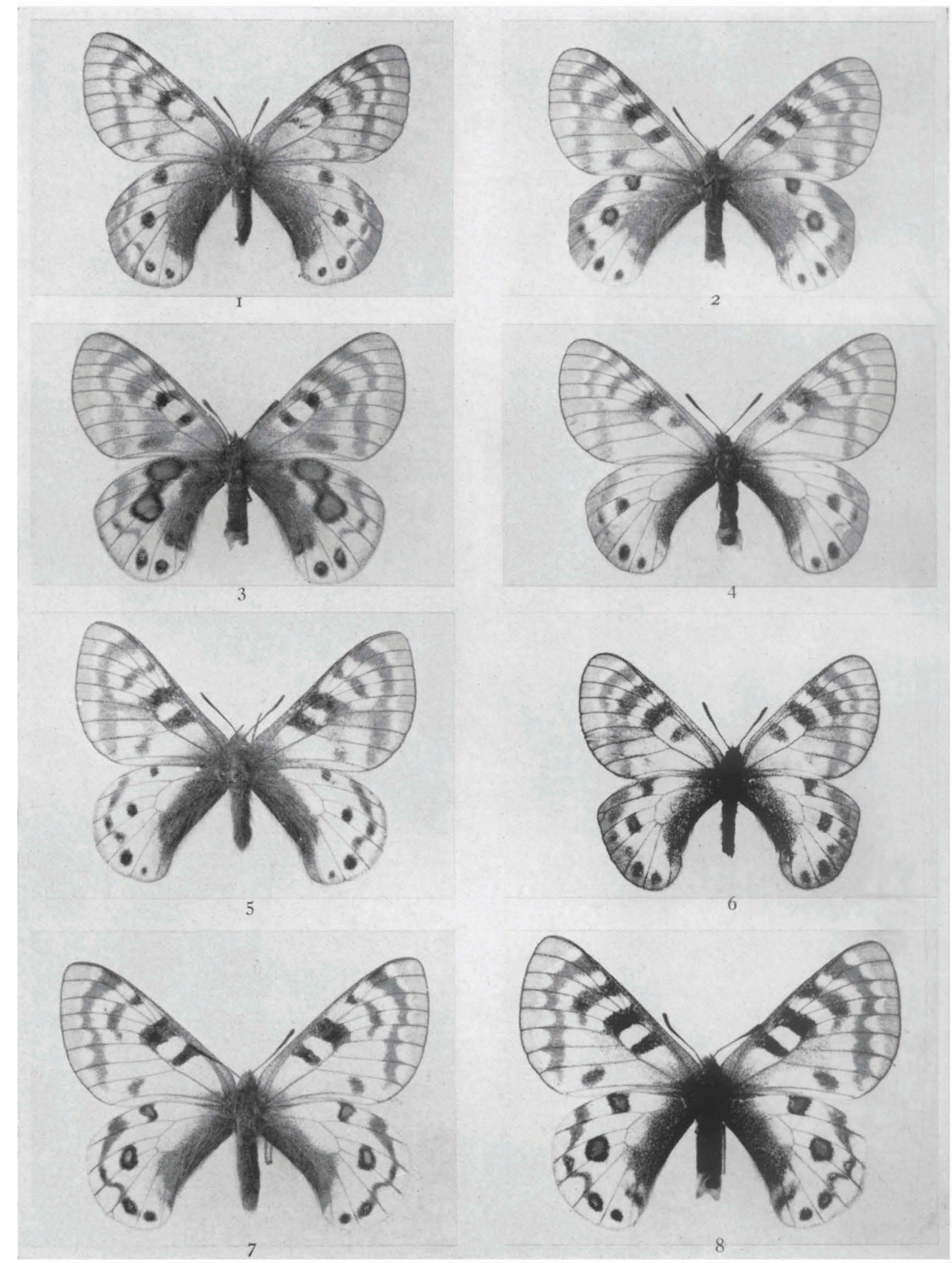


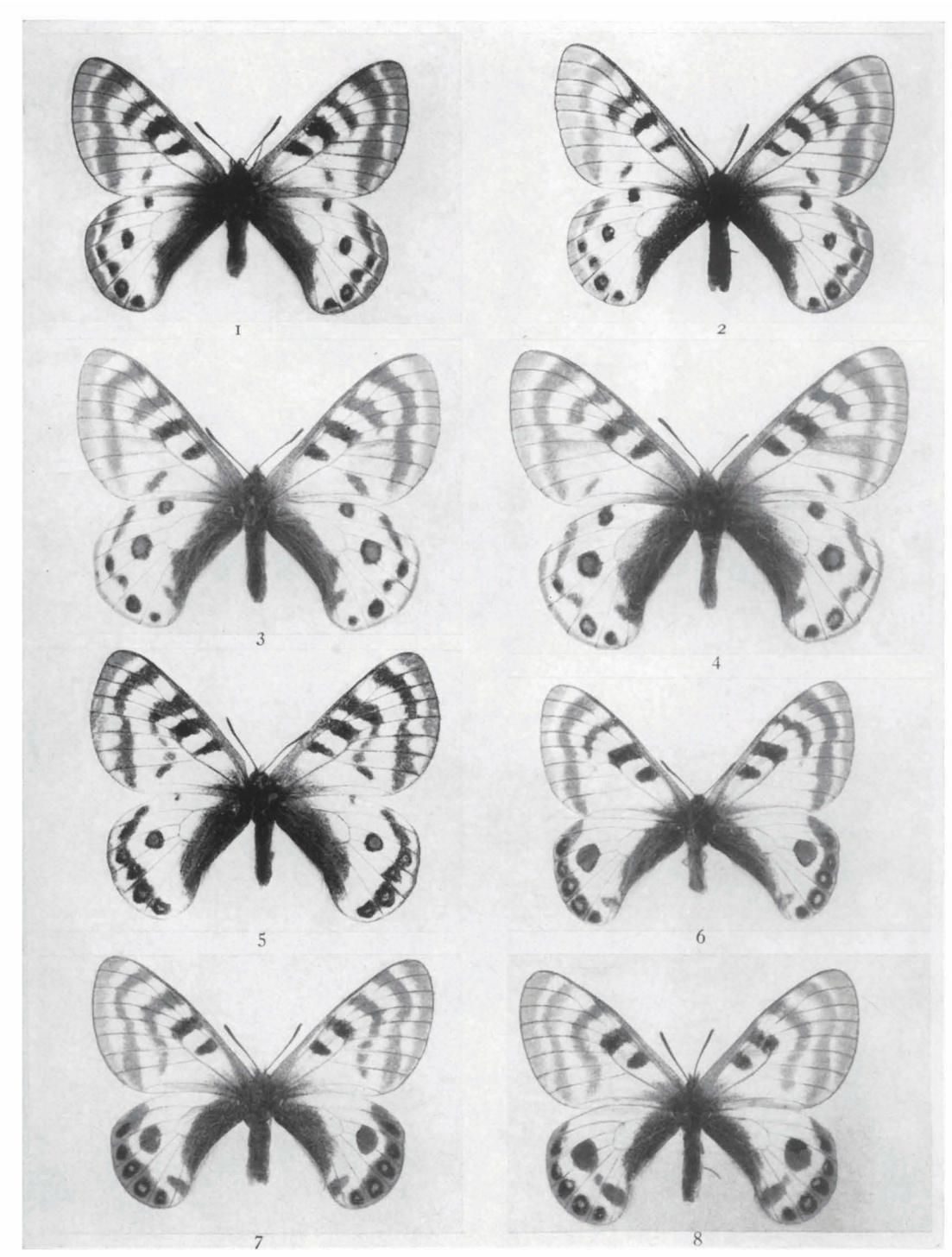


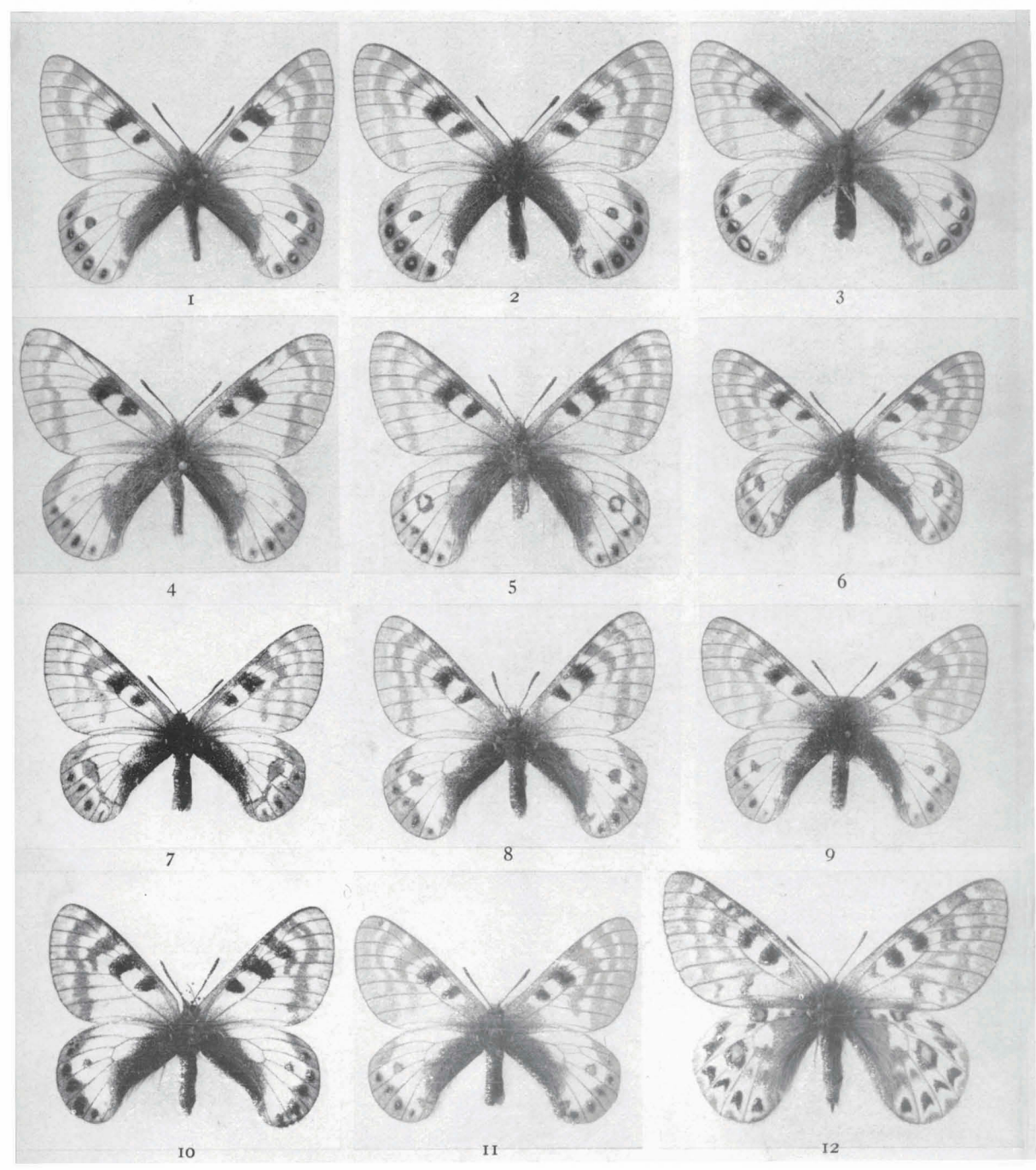


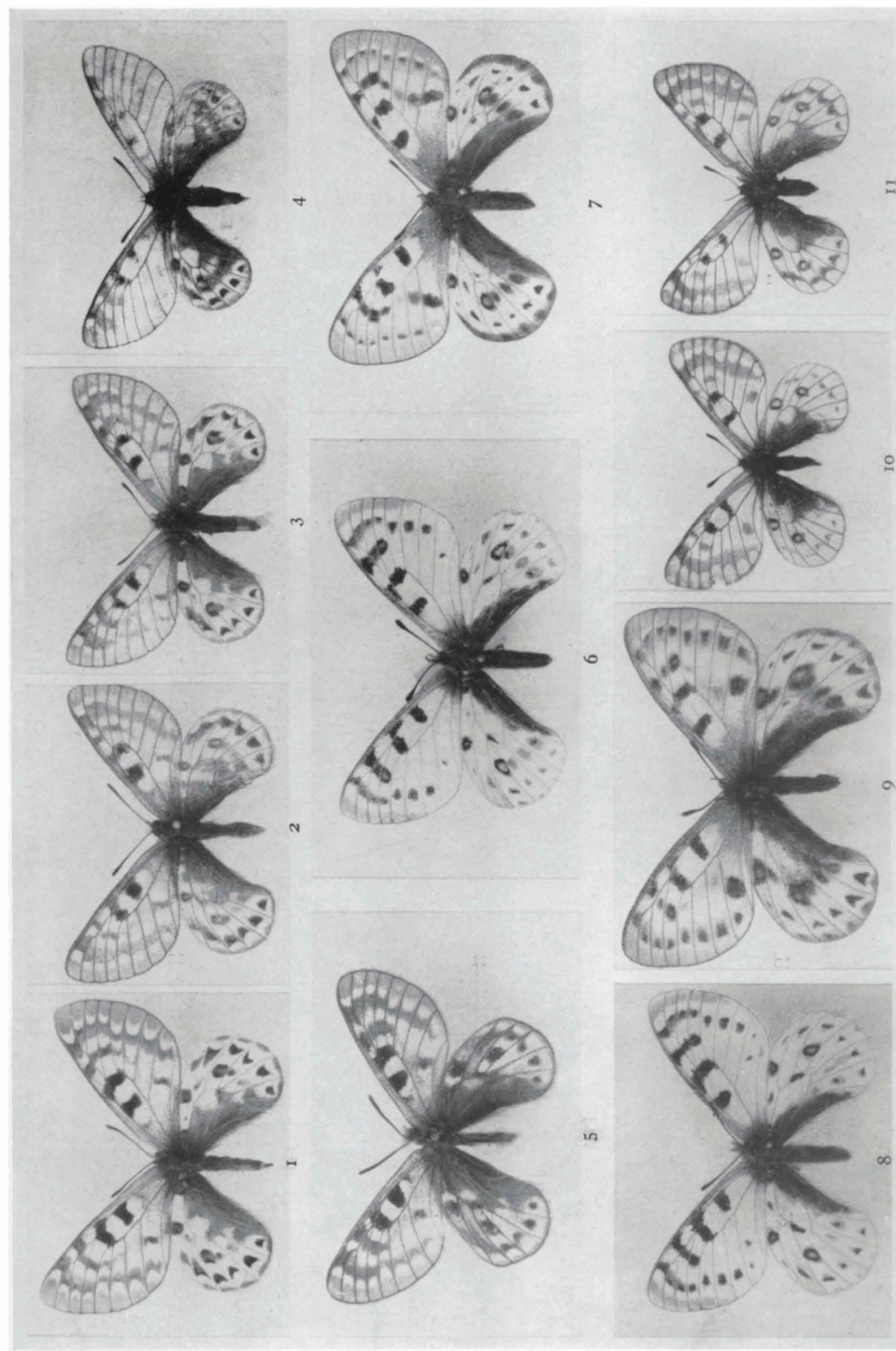


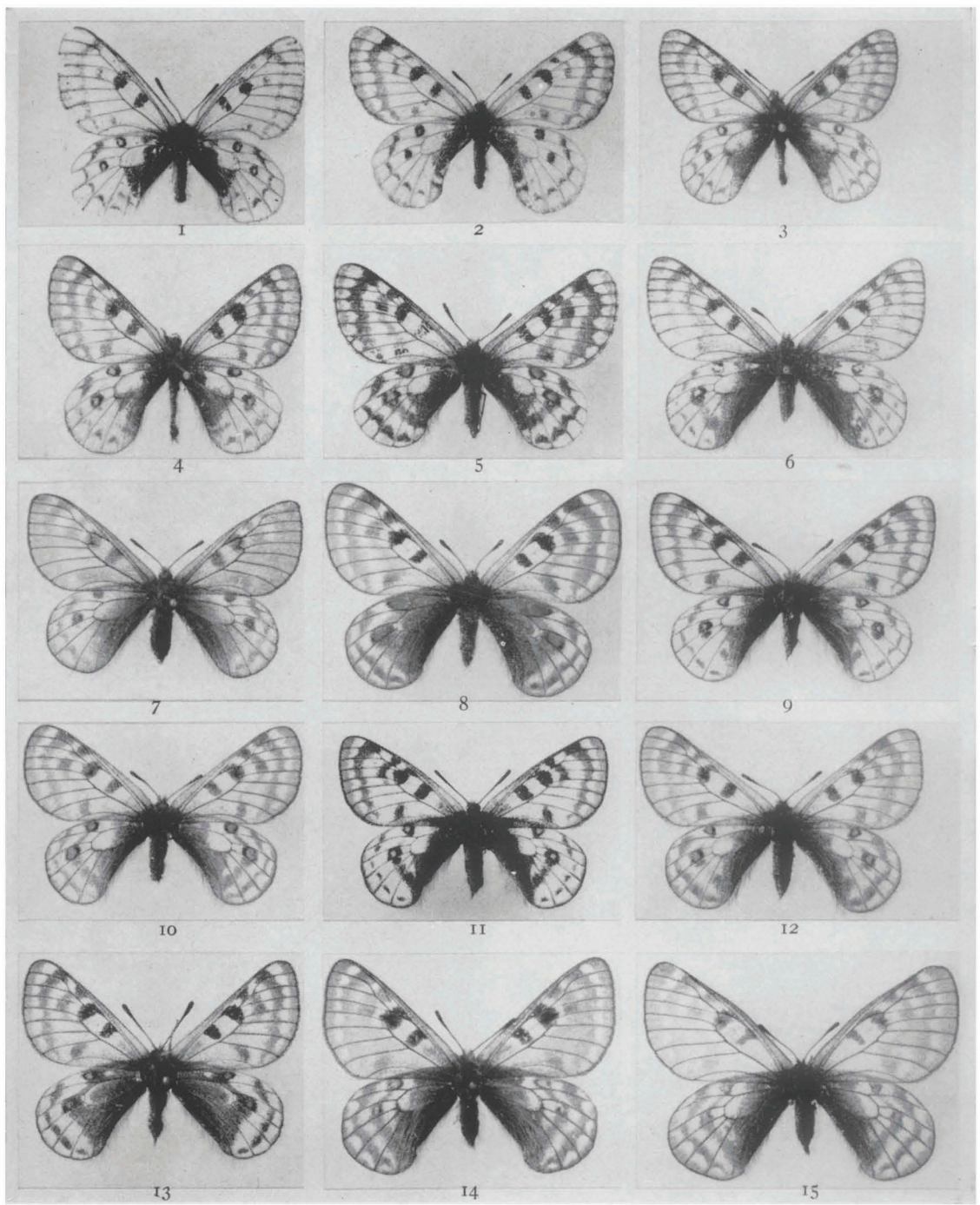


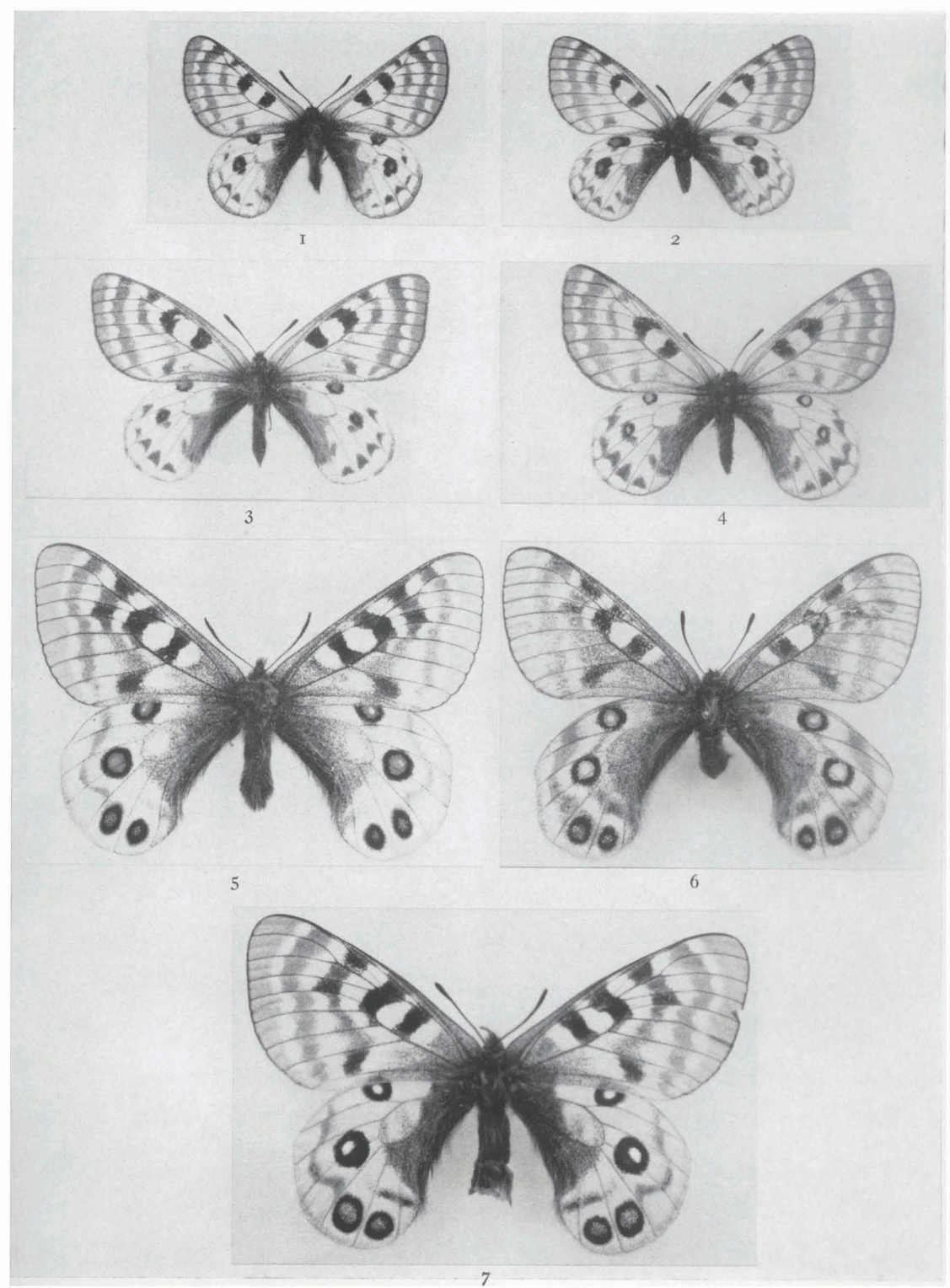


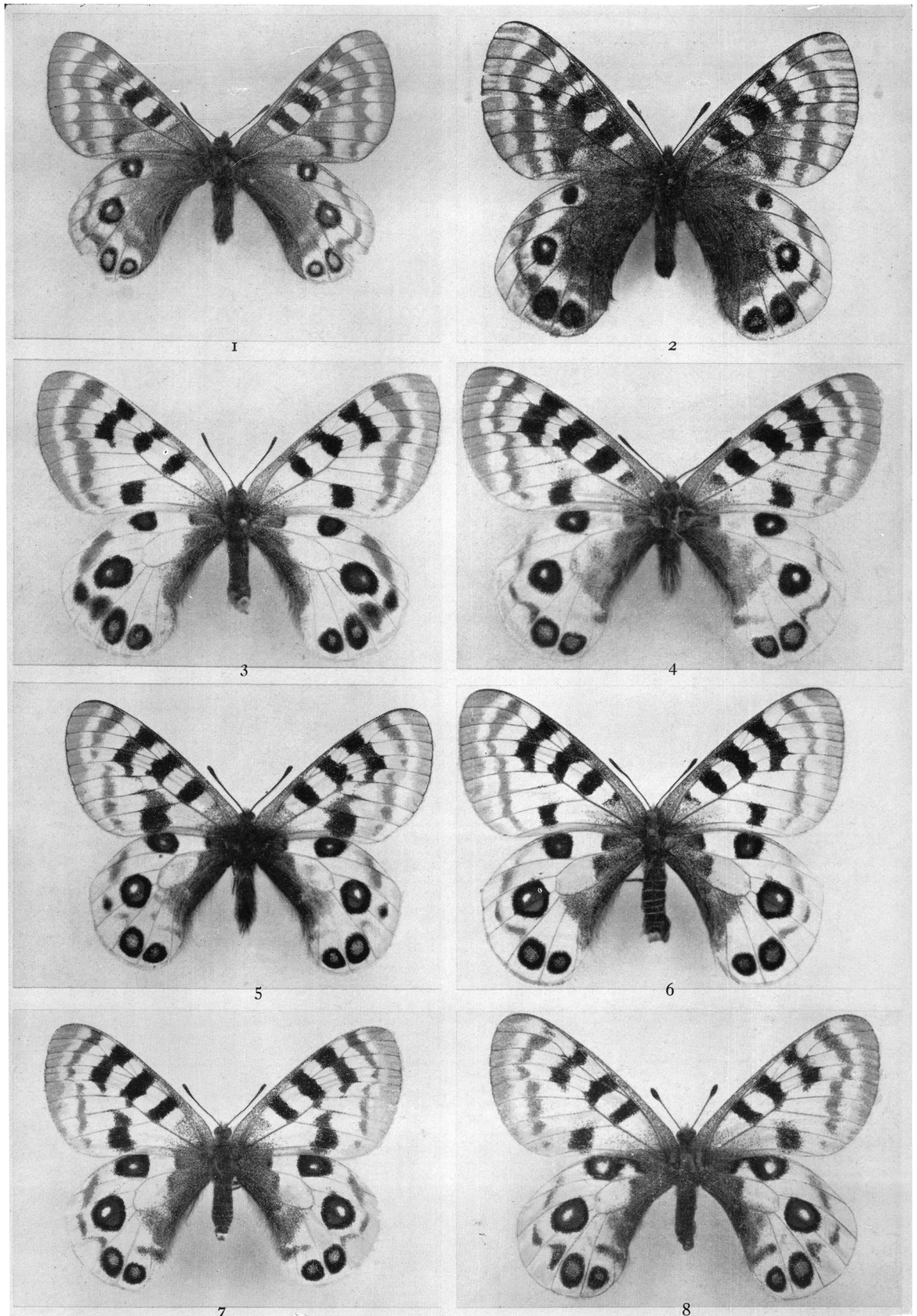












I

2

3

4

5

6

7

8

